



**TUGAS AKHIR - EE 184801**

**ANALISA KINERJA TEKNIK HYBRID BEAMFORMING PADA  
SISTEM LARGE SCALE ARRAY MULTIUSER MISO TERHADAP  
KANAL ACAK**

Dicky Rahmadi Prasetya  
NRP 07111640000093

Dosen Pembimbing  
Dr. Ir. Puji Handayani, M.T.  
Prof. Ir. Gamantyo Hendrantoro, M.Eng., Ph.D.

**DEPARTEMEN TEKNIK ELEKTRO**  
**Fakultas Teknologi Elektro dan Informatika Cerdas**  
**Institut Teknologi Sepuluh Nopember**  
**Surabaya 2020**





**TUGAS AKHIR - EE 184801**

**ANALISA KINERJA TEKNIK HYBRID BEAMFORMING PADA  
SISTEM LARGE SCALE ARRAY MULTIUSER MISO TERHADAP  
KANAL ACAK**

Dicky Rahmadi Prasetya  
NRP 07111640000093

Dosen Pembimbing  
Dr. Ir. Puji Handayani, M.T.  
Prof. Ir. Gamantyo Hendrantoro, M.Eng., Ph.D.

DEPARTEMEN TEKNIK ELEKTRO  
Fakultas Teknologi Elektro dan Informatika Cerdas  
Institut Teknologi Sepuluh Nopember  
Surabaya 2020





**ITS**

Institut  
Teknologi  
Sepuluh Nopember

## **FINAL PROJECT - EE 184801**

# **PERFORMANCE ANALYSIS OF HYBRID BEAMFORMING TECHNIQUES USING LARGE SCALE ARRAY MULTIUSER MISO SYSTEM ON RANDOM CHANNELS**

Dicky Rahmadi Prasetya  
NRP 0711164000093

Dosen Pembimbing  
Dr. Ir. Puji Handayani, M.T.  
Prof. Ir. Gamantyo Hendrantoro, M.Eng., Ph.D.

Electrical Engineering Department  
Faculty of Intelligent Electrical and Informatics Technology  
Institut Teknologi Sepuluh Nopember  
Surabaya 2020



## **PERNYATAAN KEASLIAN TUGAS AKHIR**

Dengan ini saya menyatakan bahwa isi sebagian maupun keseluruhan Tugas Akhir saya dengan judul **“Analisa Kinerja Teknik Hybrid Beamforming Pada Sistem Large Scale Array Multiuser MISO Terhadap Kanal Acak”** adalah benar-benar hasil karya intelektual mandiri, diselesaikan tanpa menggunakan bahan-bahan yang tidak diijinkan dan bukan merupakan karya pihak lain yang saya akui sebagai karya sendiri.

Semua referensi yang dikutip maupun dirujuk telah ditulis secara lengkap pada daftar pustaka. Apabila ternyata pernyataan ini tidak benar, saya bersedia menerima sanksi sesuai peraturan yang berlaku.

Surabaya, Juni 2020



Dicky Rahmadi Prasetya  
NRP. 0711 16 4000 0093



**ANALISA KINERJA TEKNIK HYBRID  
BEAMFORMING PADA SISTEM LARGE SCALE  
ARRAY MULTIUSER MISO TERHADAP KANAL  
ACAK**

**TUGAS AKHIR**

Diajukan Guna Memenuhi Sebagian Persyaratan  
Untuk Memperoleh Gelar Sarjana Teknik

Pada

Bidang Studi Telekomunikasi Multimedia  
Departemen Teknik Elektro  
Fakultas Teknologi Elektro dan Informatika Cerdas  
Institut Teknologi Sepuluh Nopember

Menyetujui:

Dosen Pembimbing I

  
Dr. Ir. Puji Handayani, M.T.  
NIP. 196605101992032002

**SURABAYA  
JUNI, 2020**

*[ Halaman Ini Sengaja Dikosongkan ]*

**ANALISA KINERJA TEKNIK HYBRID  
BEAMFORMING PADA SISTEM LARGE SCALE  
ARRAY MULTIUSER MISO TERHADAP KANAL  
ACAK**

**TUGAS AKHIR**

Diajukan Guna Memenuhi Sebagian Persyaratan  
Untuk Memperoleh Gelar Sarjana Teknik

Pada

Bidang Studi Telekomunikasi Multimedia  
Departemen Teknik Elektro  
Fakultas Teknologi Elektro dan Informatika Cerdas  
Institut Teknologi Sepuluh Nopember

Menyetujui:

Dosen Pembimbing II



Prof. Ir. Gamantyo Hendrantoro, M.Eng., Ph.D.  
NIP. 197011111993031002

**SURABAYA  
JUNI, 2020**

*[ Halaman Ini Sengaja Dikosongkan ]*

# **ANALISA KINERJA TEKNIK HYBRID BEAMFORMING PADA SISTEM LARGE SCALE ARRAY MULTIUSER MISO TERHADAP KANAL ACAK**

**Nama : Dicky Rahmadi Prasetya**

**NRP : 07111640000093**

**Pembimbing I : Dr. Ir. Puji Handayani, M.T.**

**Pembimbing II : Prof. Ir. Gamantyo Hendrantoro, M.Eng.,Ph.D.**

## **ABSTRAK**

Untuk mendukung teknologi 5G dalam memberikan layanan data kecepatan tinggi diperlukan large scale array yang menggunakan antena dalam jumlah banyak untuk mengarahkan pola radiasi ke user tertentu. Teknologi beamforming pada teknologi telekomunikasi sebelumnya menggunakan metode *full digital beamforming* yang tentu tidak cocok jika diterapkan pada teknologi telekomunikasi 5G. Hal ini disebabkan karena metode *full digital beamforming* membutuhkan satu buah *RF chain* tiap antena yang tentu akan menyebabkan peningkatan biaya dan peningkatan konsumsi daya dari komponen *RF chain* pada frekuensi yang tinggi.

Pada tugas akhir ini digunakan metode *hybrid beamforming* yang mana mampu mengurangi jumlah penggunaan dari *RF chain*. Pada tugas akhir ini digunakan sistem multiuser MISO dengan tujuan untuk menguji kinerja metode *hybrid beamforming* pada sistem antena tersebut. Kanal yang digunakan dalam pengujian kinerja dari metode *hybrid beamforming* adalah kanal *independent rayleigh fading* dan *uniformly random line-of-sight*. Dalam menganalisa kinerja dari metode *hybrid beamforming* akan digunakan parameter *spectral efficiency versus signal-to-noise ratio (SNR)*. Dari hasil analisa didapatkan bahwa metode HB memiliki rata-rata kinerja SE lebih baik pada kanal IRF dibanding pada kanal URLOS. Kinerja tersebut dapat dibuktikan dengan pengujian pada SNR 0 dB hingga 30 dB, rata-rata kinerja dari metode HB pada kanal IRF sebesar 17,4758 bits/s/Hz sedangkan pada kanal URLOS sebesar 12,3334 bits/s/Hz.

**Kata Kunci:** Hybrid Beamforming, Multiuser MISO Antena, Independent Rayleigh Fading, UR-LoS, Spectral Efficiency, Signal-to -Noise Ratio (SNR).

*[ Halaman Ini Sengaja Dikosongkan ]*

# **PERFORMANCE ANALYSIS OF HYBRID BEAMFORMING TECHNIQUES USING LARGE SCALE ARRAY MULTIUSER MISO SYSTEM ON RANDOM CHANNELS**

**Name : Dicky Rahmadi Prasetya**  
**NRP : 07111640000093**  
**Supervisor I : Dr. Ir. Puji Handayani, M.T.**  
**Supervisor II : Prof. Ir. Gamantyo Hendrantoro, M.Eng.,Ph.D.**

## **ABSTRACT**

To support 5G technology in providing high speed data services, a large scale array is needed that uses large amounts of antenna to direct the radiation pattern to a particular user. The beamforming technology in the previous telecommunications technology uses the full digital beamforming method which is certainly not suitable if applied to the 5G telecommunications technology. This is because the full digital beamforming method requires one RF chain per antenna which will certainly cause increased costs and increased power consumption of RF chain components at high frequencies.

This final project uses hybrid beamforming method which is able to reduce the amount of use of the RF chain. In this final project the MISO multiuser system is used with the aim to test the performance of the hybrid beamforming method on the antenna system. The canals used in testing the performance of the hybrid beamforming method are independent rayleigh fading channels and uniformly random line-of-sight. In analyzing the performance of the hybrid beamforming method the parameters of spectral efficiency versus signal-to-noise ratio (SNR) will be used. From the analysis it was found that the HB method has an average SE performance better on IRF channels than on URLOS channels. This performance can be proven by testing at SNR 0 dB to 30 dB, the average performance of the HB method on IRF channels is 17.4758 bits / s / Hz while on URLOS channels it is 12.3334 bits / s / Hz.

**Keywords:** Hybrid Beamforming, Multiuser MISO Antena, Independent Rayleigh Fading, UR-LoS, Spectral Efficiency, Singal-to- Noise Ratio (SNR)

*[ Halaman Ini Sengaja Dikosongkan ]*

## KATA PENGANTAR

Puji syukur penulis ucapkan kehadirat Allah SWT, karena atas nikmat dan rahmat karunianya penulis dapat menyelesaikan tugas akhir yang berjudul:

### **Analisa Kinerja Teknik Hybrid Beamforming pada Sistem Large Scale Array Multiuser MISO terhadap Kanal Acak**

Tugas akhir ini disusun untuk memenuhi syarat menyelesaikan studi Strata-1 di departemen Teknik Elektro, Fakultas Teknologi Elektro dan Informatika Cerdas, Institut Teknologi Sepuluh Nopember Surabaya. Selama penyusunan tugas akhir penulis mendapatkan banyak dorongan, bimbingan, arahan, dan uluran tangan dari berbagai pihak. Untuk itu penulis ingin mengucapkan terima kasih kepada:

1. Allah SWT atas limpahan rahmat-Nya, petunjuk-Nya, serta karunia-Nya.
2. Kedua orang tua yang tercinta, Crisna Juda Prasetya, ST, Dwi Indrijani S.Sos, serta adik yang tersayang Raditya Bagas Prasetya yang selalu memberi dukungan dan semangat.
3. Ibu Dr. Ir. Puji Handayani, M.T. dan Bapak Prof. Dr. Ir. Gamantyo Hendrantoro, Ph.D. yang telah memberikan arahan, bimbingan, dukungan, serta motivasi sehingga penulis mampu menyelesaikan tugas akhir.
4. Teman seperjuangan tugas akhir tim “Hybrid Beamforming” Putu Agus Kartika Adhi Pratama.
5. Keluarga pertama di kampus perjuangan, e56, juga keluarga Telkom yang selalu memberikan dukungan dan motivasi dalam proses pengerjaan tugas akhir.

Semoga Tugas Akhir ini dapat bermanfaat bagi pembacanya baik mahasiswa maupun peneliti. Penulis menyadari bahwa dalam tugas akhir ini masih banyak kekurangan sehingga diperlukan kritik dan saran untuk menyempurnakannya.

Surabaya, Juni 2020

Dicky Rahmadi Prasetya

*[ Halaman Ini Sengaja Dikosongkan ]*

## **DAFTAR ISI**

PERNYATAAN KEASLIAN .....	i
ABSTRAK .....	i
ABSTRACT .....	iii
KATA PENGANTAR .....	v
DAFTAR ISI .....	vii
DAFTAR GAMBAR .....	x
DAFTAR TABEL .....	xiii
1 BAB I PENDAHULUAN .....	1
1.1 Latar belakang .....	1
1.2 Perumusan Masalah .....	1
1.3 Tujuan Tugas Akhir .....	2
1.4 Batasan Masalah .....	2
1.5 Metodologi .....	2
1.6 Sistematika Penulisan .....	3
1.7 Relevansi .....	4
2 BAB II TEORI PENUNJANG .....	5
2.1 Teknologi 5G .....	5
2.1.1 Perkembangan Teknologi 5G .....	5
2.1.2 Milimeter-Wave .....	7
2.2 Hybrid Beamforming .....	8
2.2.1 Analog dan Digital Beamforming .....	9
2.3 Sistem Multiuser MISO .....	9
2.3.1 Desain precoding sistem Multiuser MISO .....	11
2.4 Kanal .....	15
2.4.1 Independent Rayleigh Fading .....	15
2.4.2 Uniformly Random Line-of-Sight (URLoS) .....	16

2.5	Pola Radiasi .....	17
3	BAB III METODOLOGI PENGERJAAN .....	19
3.1	Parameter Sistem .....	19
3.2	Pemodelan Sistem .....	21
3.2.1	Pemodelan Transmitter .....	21
3.2.2	Pemodelan Kanal .....	23
3.2.3	Pemodelan Receiver .....	23
3.2.4	Demapping .....	24
3.2.5	Simulasi Analisa <i>Bit Error Rate</i> .....	24
3.2.6	Simualsi <i>Spectral Efficiency versus Signal-to-Noise Ratio (SNR)</i> .....	24
4	BAB IV HASIL DAN ANALISA DATA .....	26
4.1	Perbandingan kinerja antara <i>Hybrid</i> dan <i>Full Digital Beamforming</i> pada kanal <i>Independent Rayleigh Fading</i> dan <i>Uniformly Random Line-of-Sight</i> .....	26
4.1.1	Kanal <i>Independent Rayleigh Fading</i> .....	26
4.1.2	Kanal Uniformly Random Line-of-Sight .....	29
4.2	Perbandingan kinerja metode HB pada kanal IRF dan URLOS dan perbandingan kinerja metode FDB pada kanal IRF dan URLOS .....	33
4.2.1	Perbandingan metode HB pada kanal IRF dan URLOS..	33
4.2.2	Perbandingan metode FDB pada kanal IRF dan URLOS	36
4.3	Perbandingan kinerja metode HB pada kanal IRF dan URLOS yang memiliki perbedaan jumlah RF <i>Chain</i> , jumlah antena pemancar, dan jumlah antena penerima .....	39
4.3.1	Perbandingan metode HB dengan perbedaan jumlah RF <i>Chain</i> menggunakan kanal IRF .....	39
4.3.2	Perbandingan metode HB dengan perbedaan jumlah RF <i>Chain</i> menggunakan kanal URLOS .....	42

4.3.3	Perbandingan metode HB dengan perbedaan jumlah antenna pemancar pada kanal IRF.....	46
4.3.4	Perbandingan menggunakan metode HB dengan perbedaan jumlah antenna pemancar pada kanal URLOS.....	49
4.3.5	Perbandingan menggunakan metode HB dengan perbedaan jumlah user/antena penerima pada kanal IRF.....	52
4.3.6	Perbandingan menggunakan metode HB dengan perbedaan jumlah user/antena penerima pada kanal URLOS.....	54
4.4	Tambahan .....	58
4.4.1	Korelasi Kanal.....	58
4.4.2	Perbandingan metode HB dengan perbedaan sudut pada kanal URLOS yang dibandingkan dengan kanal IRF .....	59
4.4.3	Perbandingan metode HB dengan perbedaan jumlah antena pemancar pada kanal URLOS 5 derajat dan URLOS 20 derajat.....	61
4.4.4	Pola radiasi dari metode HB pada kanal IRF dan pada kanal URLOS 20 derajat .....	64
4.5	Diskusi.....	69
5	BAB V KESIMPULAN DAN SARAN.....	75
5.1	Kesimpulan.....	75
5.2	Saran .....	76
	Daftar Pustaka .....	77
	LAMPIRAN .....	79
6	BIOGRAFI PENULIS .....	290

## DAFTAR GAMBAR

<b>Gambar 2.1</b> . Pengembangan yang dilakukan dari teknologi telekomunikasi sebelumnya ke teknologi telekomunikasi tahun 2020 [2] .....	5
<b>Gambar 2.2</b> . Pengembangan yang dilakukan dari teknologi telekomunikasi sebelumnya ke teknologi telekomunikasi tahun 2020 [2] .....	5
<b>Gambar 2.3</b> Skenario Pengembangan Teknologi Telekomunikasi diatas tahun 2020 [2] .....	6
<b>Gambar 2.4</b> Kriteria yang harus dimiliki 5G [2] .....	7
<b>Gambar 2.5</b> Blok diagram teknik hybrid beamforming[4] .....	8
<b>Gambar 2.6</b> Blok diagram multiuser MISO.....	10
<b>Gambar 2.7</b> Blok diagram sistem MISO[8].....	10
<b>Gambar 2.8</b> Flowchart Algoritma.....	13
<b>Gambar 2.9</b> <i>Uniform linear array</i> dengan $\lambda/2$ dengan hamburan isotropic[11] .....	16
<b>Gambar 2.10</b> $\lambda/2$ uniform linear array dengan lingkungan propagasi line-of-sight[11] .....	17
<b>Gambar 3.1</b> Diagram alur pengerjaan tugas akhir .....	20
<b>Gambar 3.2</b> Diagram model sistem hybrid dan full digital beamforming pada Multiuser MISO .....	21
<b>Gambar 3.3</b> Plot stem dari sampel bit BPSK sinyal informasi .....	22
<b>Gambar 3.4</b> Model receiver multiuser MISO .....	23
<b>Gambar 4.1</b> Grafik perbandingan kinerja SE antara metode HB dan FDB pada kanal IRF .....	27
<b>Gambar 4.2</b> Grafik perbandingan kinerja BER antara metode HB dan FDB pada kanal IRF .....	28
<b>Gambar 4.3</b> Grafik perbandingan kinerja SE antara metode HB dan FDB pada kanal URLOS .....	30
<b>Gambar 4.4</b> Grafik perbandingan kinerja BER antara metode HB dan FDB pada kanal URLOS .....	31
<b>Gambar 4.5</b> Grafik perbandingan kinerja SE metode HB pada kanal IRF dan URLOS.....	33
<b>Gambar 4.6</b> Grafik perbandingan kinerja BER metode pada kanal IRF dan URLOS.....	34
<b>Gambar 4.7</b> Grafik perbandingan kinerja SE metode FDB pada kanal IRF dan URLOS.....	36

<b>Gambar 4.8</b>	Grafik perbandingan kinerja BER metode pada kanal IRF dan URLOS .....	37
<b>Gambar 4.9</b>	Grafik perbandingan kinerja SE pada kanal IRF dengan menggunakan beda jumlah RF <i>chain</i> .....	39
<b>Gambar 4.10</b>	Grafik perbandingan kinerja BER pada kanal IRF dengan menggunakan beda jumlah RF <i>chain</i> .....	40
<b>Gambar 4.11</b>	Grafik perbandingan kinerja SE pada kanal URLOS dengan menggunakan beda jumlah RF <i>chain</i> .....	43
<b>Gambar 4.12</b>	Grafik perbandingan kinerja BER pada kanal URLOS dengan menggunakan beda jumlah RF <i>chain</i> .....	44
<b>Gambar 4.13</b>	Grafik perbandingan kinerja SE pada kanal IRF dengan menggunakan beda jumlah antena pemancar .....	46
<b>Gambar 4.14</b>	Grafik perbandingan kinerja BER pada kanal IRF dengan menggunakan beda jumlah antena pemancar .....	47
<b>Gambar 4.15</b>	Grafik perbandingan kinerja SE pada kanal URLOS dengan menggunakan beda jumlah antena pemancar....	49
<b>Gambar 4.16</b>	Grafik perbandingan kinerja BER pada kanal URLOS dengan menggunakan beda jumlah antena pemancar....	50
<b>Gambar 4.17</b>	Grafik perbandingan kinerja SE pada kanal IRF dengan menggunakan beda jumlah antena penerima.....	52
<b>Gambar 4.18</b>	Grafik perbandingan kinerja BER pada kanal IRF dengan menggunakan beda jumlah antena penerima.....	53
<b>Gambar 4.19</b>	Grafik perbandingan kinerja SE pada kanal URLOS dengan menggunakan beda jumlah antena penerima ....	55
<b>Gambar 4.20</b>	Grafik perbandingan kinerja BER pada kanal URLOS dengan menggunakan beda jumlah antena penerima ....	56
<b>Gambar 4.21</b>	Grafik perbandingan kinerja SE metode HB pada kanal URLOS 5 derajat, URLOS 20 derajat, dan IRF .....	59
<b>Gambar 4.22</b>	Grafik perbandingan kinerja BER metode HB pada kanal URLOS 5 derajat, URLOS 20 derajat, dan IRF .....	60
<b>Gambar 4.23</b>	Grafik perbandingan kinerja SE metode HB dengan beda jumlah antena pemancar pada kanal URLOS 5 derajat dan 20 derajat .....	62
<b>Gambar 4.24</b>	Grafik perbandingan kinerja SE metode HB dengan beda jumlah antena pemancar pada kanal URLOS 5 derajat dan 20 derajat .....	63
<b>Gambar 4.25</b>	Plot polar kanal IRF .....	64
<b>Gambar 4.26</b>	Plot polar kanal IRF dengan rekomendasi sudut.....	64
<b>Gambar 4.27</b>	Plot rectangular kanal IRF dengan rekomendasi sudut..	65

<b>Gambar 4.28</b> Plot rectangular kanal IRF .....	65
<b>Gambar 4.29</b> Plot polar kanal URLOS 5 derajat .....	66
<b>Gambar 4.30</b> Plot polar kanal URLOS 5 derajat dengan plot sudut 6, 11, 16, dan 21 .....	66
<b>Gambar 4.31</b> Plot rectangular kanal URLOS 5 derajat.....	67
<b>Gambar 4.32</b> Plot rectangular kanal URLOS 5 derajat dengan plot sudut 6, 11, 16, dan 21 .....	67
<b>Gambar 4.33</b> Plot rectangular kanal URLOS 20 derajat.....	68
<b>Gambar 4.34</b> Plot polar kanal URLOS 20 derajat dengan plot sudut -40, -20, 0, 20 .....	68
<b>Gambar 4.35</b> Plot rectangular kanal URLOS 20 derajat.....	69
<b>Gambar 4.36</b> Plot rectangular kanal URLOS 20 derajat dengan plot sudut.....	69

## DAFTAR TABEL

<b>Tabel 4.1</b> Data SE metode HB dan FDB pada kanal IRF .....	27
<b>Tabel 4.2</b> Data BER metode HB dan FDB pada kanal IRF.....	28
<b>Tabel 4.3</b> Data SE metode HB dan FDB pada kanal URLOS .....	30
<b>Tabel 4.4</b> Data BER metode HB dan FDB pada kanal URLOS .....	31
<b>Tabel 4.5</b> Data SE metode HB pada kanal IRF dan URLOS .....	33
<b>Tabel 4.6</b> Data BER metode HB pada kanal IRF dan URLOS .....	34
<b>Tabel 4.7</b> Data SE metode FDB pada kanal IRF dan URLOS .....	36
<b>Tabel 4.8</b> Data BER metode FDB pada kanal IRF dan URLOS .....	37
<b>Tabel 4.9</b> Data SE pada kanal IRF dengan perbedaan jumlah RF <i>chain</i> .....	40
<b>Tabel 4.10</b> Data BER pada kanal IRF dengan perbedaan jumlah RF <i>chain</i> .....	41
<b>Tabel 4.11</b> Data SE pada kanal URLOS dengan perbedaan jumlah RF <i>chain</i> .....	43
<b>Tabel 4.12</b> Data BER pada kanal URLOS dengan perbedaan jumlah RF <i>chain</i> .....	44
<b>Tabel 4.13</b> Data SE pada kanal IRF dengan perbedaan jumlah antena pemancar .....	47
<b>Tabel 4.14</b> Data BER pada kanal IRF dengan perbedaan jumlah antena pemancar .....	47
<b>Tabel 4.15</b> Data SE pada kanal URLOS dengan perbedaan jumlah antena pemancar.....	49
<b>Tabel 4.16</b> Data BER pada kanal URLOS dengan perbedaan jumlah antena pemancar.....	50
<b>Tabel 4.17</b> Data SE pada kanal IRF dengan perbedaan jumlah antena penerima.....	52
<b>Tabel 4.18</b> Data BER pada kanal IRF dengan perbedaan jumlah antena penerima.....	53
<b>Tabel 4.19</b> Data SE pada kanal URLOS dengan perbedaan jumlah antena penerima .....	55
<b>Tabel 4.20</b> Data BER pada kanal URLOS dengan perbedaan jumlah antena penerima .....	56
<b>Tabel 4.21</b> Korelasi kanal IRF.....	58
<b>Tabel 4.22</b> Korelasi kanal URLOS 5 derajat.....	58
<b>Tabel 4.23</b> Korelasi kanal URLOS 20 derajat.....	58
<b>Tabel 4.24</b> Data perbandingan kinerja SE metode HB pada kanal URLOS 5 derajat, URLOS 20 derajat, dan IRF .....	59

<b>Tabel 4.25</b> Data perbandingan kinerja BER metode HB pada kanal URLOS 5 derajat, URLOS 20 derajat, dan IRF .....	60
<b>Tabel 4.26</b> Data perbandingan kinerja SE metode HB dengan beda jumlah antena pemancar pada kanal URLOS 5 derajat dan 20 derajat.....	62
<b>Tabel 4.27</b> Data perbandingan kinerja SE metode HB dengan beda jumlah antena pemancar pada kanal URLOS 5 derajat dan 20 derajat.....	63

# BAB I PENDAHULUAN

## 1.1 Latar belakang

Beberapa tahun terakhir, teknologi serta industri telekomunikasi berkembang pesat. Dibuktikan dengan peningkatan penggunaan trafik dari tahun ke tahun. Diikuti dengan pertambahan jumlah pengguna perangkat telekomunikasi yang sejalan dengan penggunaan platform(aplikasi) yang terus meningkat, membuat penggunaan trafik semakin padat tiap tahunnya. Penggunaan video yang juga meningkat tiap tahun baik dari jumlah pengguna, maupun dari tingkat kualitasnya, juga menuntut untuk dapat menggunakan layanan telekomunikasi yang memiliki data rate kencang [1]. Teknologi telekomunikasi 5 Generation atau 5G hadir dengan menawarkan banyak keunggulan dari teknologi sebelumnya diharapkan mampu menjawab kebutuhan serta tantangan di era mendatang [2]. Teknologi 5G memanfaatkan frekuensi yang lebih tinggi dari teknologi sebelumnya, menggunakan gelombang millimeter atau millimeter-wave yang memiliki panjang gelombang dengan rentang 1 mm – 10 mm atau menggunakan frekuensi dengan rentang 30 GHz – 300 GHz [3]. Sejumlah penelitian telah dilakukan terkait dengan penggunaan millimeter-wave untuk aplikasi 5G [4] [5], dan dari hasil penelitian yang telah dilakukan, beberapa diantaranya telah memenuhi kriteria atau standar atau key indicator yang dimiliki 5G [2].

Sistem yang digunakan pada teknologi sebelumnya, yakni full-digital precoding memiliki kompleksitas yang tinggi, selain itu sistem tersebut juga tidak efisien, dan membutuhkan biaya yang cukup besar. Penelitian ini akan membahas mengenai teknik hybrid beamforming, yang tidak hanya menggunakan digital precoding saja, namun juga menggunakan analog precoding. Teknik hybrid beamforming mampu mengurangi kompleksitas sistem, membuat sistem lebih efisien, juga memangkas biaya yang diperlukan untuk merancang sistem tersebut [6].

Penelitian ini menggunakan sistem multiuser MISO (multi-input-single-output) yang nantinya akan diuji pada kanal *independent rayleigh fading* dan *uniformly random line-of-sight*. Kemudian akan dapat diamati kinerja *spectral efficiency* dari metode *hybrid beamforming* pada kedua kanal.

## 1.2 Perumusan Masalah

Rumusan masalah dalam tugas akhir ini adalah sebagai berikut:

1. Bagaimana pengaruh perubahan RF *chain* terhadap kinerja dari metode *hybrid beamforming* dengan sistem Multiuser MISO?
2. Bagaimana kinerja dari metode Hybrid Beamforming dengan sistem Multiuser MISO pada kanal *independent rayleigh fading* dan *uniformly random line-of-sight*?

### 1.3 Tujuan Tugas Akhir

Adapun tujuan dari pengerajan tugas akhir ini adalah sebagai berikut:

1. Menguji kinerja dari metode *hybrid beamforming* terhadap kanal *independent rayleigh fading* dan *uniformly random line-of-sight*.

### 1.4 Batasan Masalah

Batasan masalah dalam tugas akhir ini adalah sebagai berikut:

1. Modulasi yang digunakan untuk *bit stream* informasi adalah BPSK.
2. Teknik yang digunakan dalam penelitian ini yaitu analog precoding dan digital precoding.
3. Antena dengan sistem Multiuser MISO.
4. Jenis kanal yang diujikan yaitu Rayleigh Fading Channel dan Uniformly Random Line-of-Sight (UR-LoS) Channel.
5. Parameter pengujian yang dianalisa yakni pendekatan *spectrum efficiency versus signal-to-noise ratio (SNR)*.

### 1.5 Metodologi

Metodologi yang digunakan pada penelitian tugas akhir ini adalah sebagai berikut:

#### 1. Studi Literatur

Pada tahap studi literatur, hal yang perlu dicari oleh penulis adalah referensi dari publikasi ilmiah, jurnal ilmiah, buku pendukung, dan sumber lainnya sebagai penunjang untuk mengerjakan tugas akhir ini. Kata kunci yang digunakan antara lain adalah millimeter-wave, modulasi BPSK, teknik hybrid beamforming, antenna multiuser MISO, kanal Independent Rayleigh Fading, dan kanal Uniformly Random Line-of-Sight (UR-LoS).

#### 2. Pemodelan dan Perancangan

Tahapan selanjutnya adalah memodelkan semua bagian yang ingin disimulasikan dan diujikan mulai dari metode *hybrid beamforming*, metode *full digital beamforming*, kanal *independent rayleigh fading*, kanal *uniformly random line-of-*

*sight*, juga kondisi-kondisi yang ingin diujikan. Tahap simulasi ini dilakukan dengan bantuan software MATLAB.

3. Hasil dan Analisa Data

Hasil dari pengujian pada dua kanal yang berbeda akan di analisis hasilnya menggunakan parameter *spectral efficiency versus Signal-to-Noise Ratio (SNR)*. Hasil pengujian antara kedua kanal juga akan dibandingkan pada kondisi-kondisi yang telah ditentukan.

4. Kesimpulan dan Saran

Dari hasil pengujian dan analisa yang telah dilakukan akan ditarik kesimpulan-kesimpulan yang menggambarkan hasil dari simulasi. Kemudian akan diberikan saran mengenai kegiatan penelitian yang telah dilakukan.

## 1.6 Sistematika Penulisan

Sistematika penulisan pada laporan tugas akhir ini adalah sebagai berikut:

BAB I

### Pendahuluan

Pada bab ini dijelaskan mengenai latar belakang, permasalahan, tujuan, batasan masalah, metodologi, sistematika penulisan dan relevansi pada tugas akhir.

BAB II

### Teori Penunjang

Pada bab ini dijelaskan mengenai teori perkembangan teknologi 5G, spektrum yang digunakan pada teknologi 5G, teori hybrid beamforming, macam antena serta kanal yang akan digunakan dalam simulasi tugas akhir.

BAB III

### Metodologi

Pada bab ini dijelaskan menganai perancangan dan pemodelan sistem Multiuser MISO pada kabal *independent rayleigh fading* dan *uniformly random line-of-sight*

BAB IV

### Hasil dan Analisa Data

Pada bab ini dijelaskan mengenai analisa terhadap hasil simulasi yang telah dilakukan menggunakan metode *hybrid beamforming* dengan sistem Multiuser MISO

BAB V	Kesimpulan dan Saran
	Pada bab ini penulis akan memberikan kesimpulan dari hasil analisa simulasi yang telah dilakukan serta memberi saran yang dapat di implementasikan pada penelitian mendatang.

## 1.7 Relevansi

Hasil dari penelitian tugas akhir ini diharapkan dapat memberikan manfaat sebagai berikut:

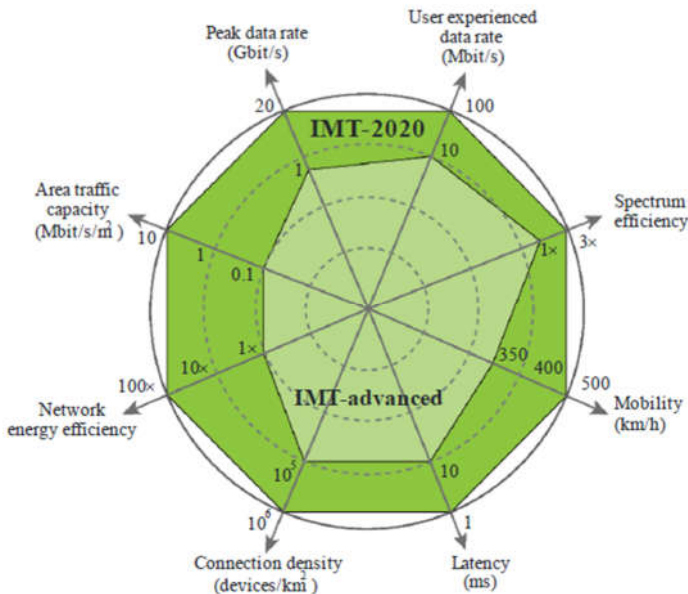
1. Memberikan gambaran mengenai kinerja dari sistem Multiuser MISO pada kanal *independent rayleigh fading* dan *uniformly random line-of-sight*.

## BAB II TEORI PENUNJANG

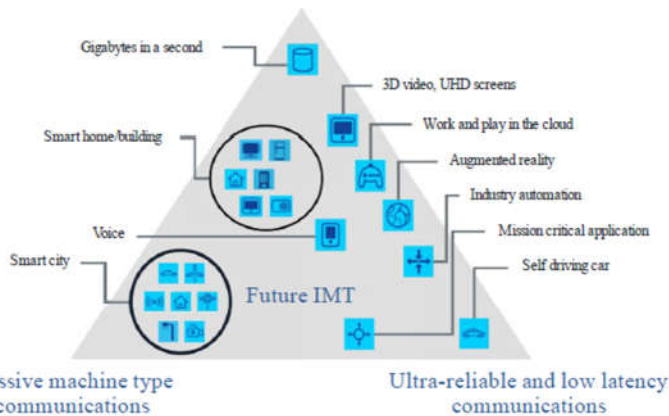
### 2.1 Teknologi 5G

#### 2.1.1 Perkembangan Teknologi 5G

Perkembangan zaman selalu diikuti dengan perkembangan teknologi, khususnya teknologi telekomunikasi. Teknologi telekomunikasi semakin dituntut untuk melayani pengguna dalam skala yang massif yang disertai dengan kebutuhan-kebutuhan yang mengikutinya. Dahulu teknologi telekomunikasi yang hanya memfasilitasi komunikasi antar manusia, kini memiliki tantangan untuk dapat memfasilitasi komunikasi antar mesin. Tantangan kolaborasi teknologi telekomunikasi dalam melayani manusia dan mesin memiliki harapan agar kedepannya menjadi fasilitator dalam mengembangkan sektor industry, pendidikan, kesehatan, keamanan, transportasi, dan edukasi[2].



**Gambar 2.1 .** Pengembangan yang dilakukan dari teknologi telekomunikasi sebelumnya ke teknologi telekomunikasi tahun 2020 [2]



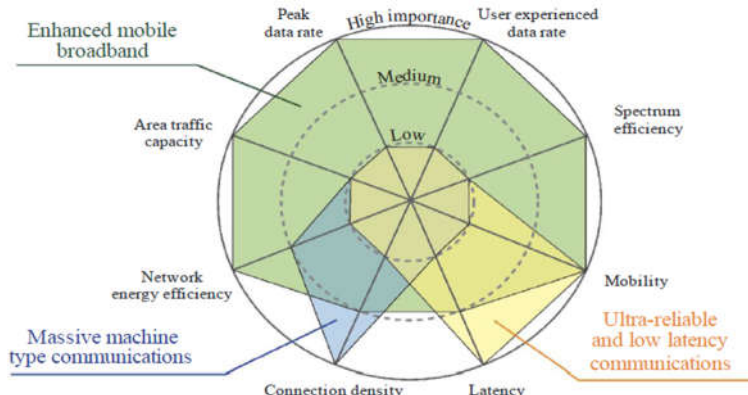
**Gambar 2.3 Skenario Pengembangan Teknologi Telekomunikasi diatas tahun 2020 [2]**

Melihat lebih detail peran dari teknologi telekomunikasi di masa mendatang, maka teknologi telekomunikasi harus memiliki beberapa kriteria sebagai berikut[2]:

1. Infrastruktur nirkabel untuk menghubungkan dunia: teknologi telekomunikasi akan menjadi pilar yang mewadahi layanan seluler dan pertukaran informasi. Kedepannya, pengguna pribadi maupun pengguna profesional akan difasilitasi dengan berbagai macam aplikasi dan layanan yang mampu menunjang kehidupan yang lebih baik.
2. Membuka peluang terjadinya pasar baru di bidang informasi dan teknologi(digital): perkembangan teknologi telekomunikasi kelak akan membuka peluang terbukanya pasar baru di bidang informasi dan teknologi. Seperti *big data analyzer, data science, programmer*.
3. Menjembatani kesenjangan platform digital: teknologi telekomunikasi kedepan diharapkan mampu mengurangi gap yang ada dengan membuat *platform* maupun *device* yang mudah digunakan dan dikendalikan.
4. Cara baru dalam komunikasi: teknologi telekomunikasi dituntut untuk menyediakan layanan yang mampu menghubungkan manusia tanpa dibatasi oleh jarak dan waktu.

5. Bentuk baru dalam pendidikan: perkembangan teknologi telekomunikasi diharapkan mampu mempermudah manusia dalam belajar dengan menyediakan *digital textbooks*, *cloud-based storage of knowledge*, juga membuat *e-learning* dan sebagainya.

Secara garis besar, perkembangan teknologi 5G dibagi menjadi tiga garis besar: *Enhanced mobile broadband (eMBB)*, *Ultra-reliable and low latency communications (URLLC)*, dan *Massive machine type communications (mMTC)*. Tiap pengembangan memiliki ranah kembang yang akan dispesifikkan berdasarkan pengguna layanan telekomunikasi. Seperti halnya URLLC berfokus pada *self-driving car*, *augmented reality*, *industry automation*, yang memiliki ciri *low latency* dan *High Reliability (low error rate)*. Sedangkan mMTC lebih berfokus pada perancangan dan pembangunan *smart city* dengan kriteria yang wajib dimiliki yaitu *improved link budget*, *low device complexity*, *long device battery life*, *high density device deployment*. Komunikasi antar manusia termasuk kedalam *Enchanced Mobile Broadband* yang mana akan dirancang memiliki kriteria *low latency* dan *higher spectral efficiency*[2].



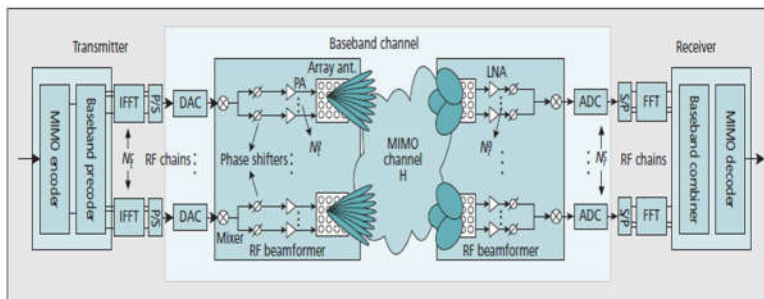
**Gambar 2.4** Kriteria yang harus dimiliki 5G [2]

### 2.1.2 Milimeter-Wave

Teknologi 5G yang hadir, menggunakan *millimeter-wave* dengan rentang panjang gelombang 1 mm – 10 mm, atau dengan rentang frekuensi sekitar 30 GHz – 300 GHz[3][4][5]. Rentang frekuensi 30 GHz – 300 GHz dipilih karena selain memiliki bandwidth yang sangat lebar, juga mampu memfasilitasi terjadinya transmisi data rate yang kencang (*high speed data rate transmission*). Berbeda dengan penggunaan frekuensi rendah, memang panjang gelombang yang dihasilkan lebih panjang, yang mampu melayani area yang luas, juga dan menembus bangunan gedung dengan mudah, *millimeter-wave* yang memiliki panjang gelombang yang pendek mampu lebih menghemat, mengoptimalkan, juga mengefisiensi spektrum frekuensi yang digunakan, juga menambah tingkat keamanan transmisi[3]. Beberapa penelitian telah dilakukan dan mendapatkan hasil yang sesuai harapan yakni *data rate* kencang yang menembus angka satu hingga puluhan Gbps, sehingga millimeter-wave bisa digunakan dan diterapkan untuk teknologi 5G, dengan segala pertimbangan dan kelebihan yang ditawarkan[4][5].

## 2.2 Hybrid Beamforming

Precoding adalah teknik yang mendukung terjadinya beamforming pada multi antenna, pada kasus ini array antenna. Pada teknologi sebelumnya, precoding yang digunakan adalah *full-digital precoding* yang mana membutuhkan satu *RF chain* tiap satu elemen antennanya. Precoding pada teknologi sebelumnya dirasa kurang layak digunakan untuk array antenna dalam skala besar, dikarenakan tingginya biaya dan tingginya konsumsi daya dari komponen *RF chain* apabila dioperasikan menggunakan *millimeter-wave*.



Gambar 2.5 Blok diagram teknik hybrid beamforming[4]

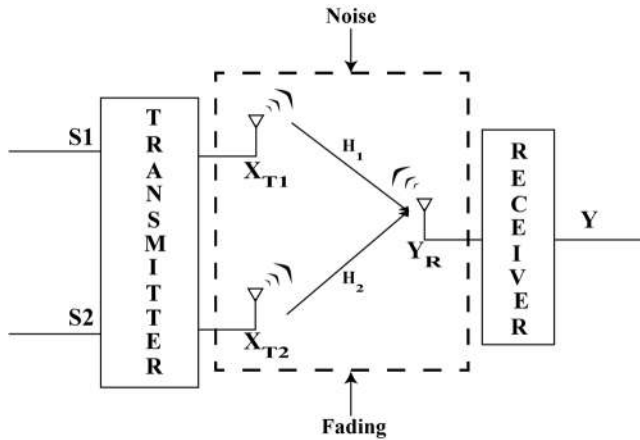
### **2.2.1 Analog dan Digital Beamforming**

Analog beamforming adalah sebuah metode yang telah diusulkan lebih dari 50 tahun yang lalu. Konsep dari analog beamforming ini adalah untuk mengontrol fase dari tiap sinyal transmisi menggunakan *phase shifter* dengan harga yang terjangkau. Antena analog beamforming tersusun oleh matriks hybrid dan *fixed phase shifter*. Switch/saklar frekuensi radio selektif digunakan untuk memfasilitasi terjadinya fungsi *beam steering* yang berfungsi dalam mengarahkan beam [12].

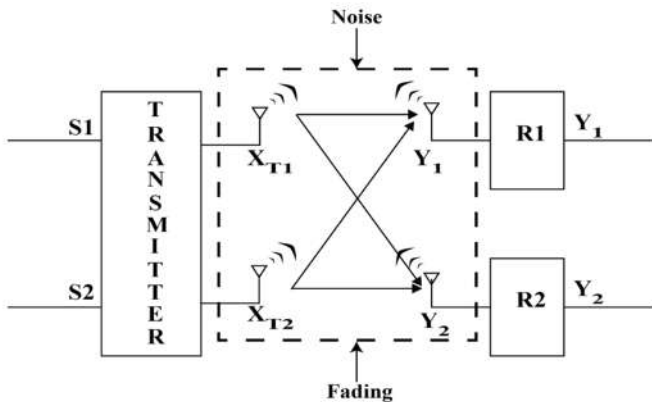
Digital beamforming memiliki banyak kegunaan seperti estimasi DOA (*direction-of-arrival*), pengontrolan terprogram dari pola radiasi antena, dan pengarahan adaptif terhadap beamnya. Beamforming lama (*full digital beamforming*) hanya bekerja/diterapkan pada baseband yang dapat berfungsi untuk mengontrol fase dan amplitudo dari sinyal. Frekuensi *carrier* sinyal yang telah terproses pada baseband tadi perlu untuk mendapat *up converter* dari RF chain yang berisikan *digital-to-analog converter* (DAC), *mixer*, and *power amplifier*. Respon dari RF chain tersebut nantinya akan dikombinasikan dengan elemen antena, dengan kata lain tiap elemen array antena harus diperkuat oleh sebuah RF chain. Hal ini yang menyebabkan penggunaan metode *full digital beamforming* dengan jumlah antena yang relatif besar (akibat penggunaan frekuensi yang tinggi) tidak cocok, akibat dari penggunaan daya yang boros dan biaya yang dibutuhkan untuk merealisasikan mahal [12].

## **2.3 Sistem Multiuser MISO**

Penggunaan *millimeter-wave* sebagai media transmisi menuntut pemancar untuk mampu memfasilitasi terbentuknya *beamforming* yang sangat terarah ke pengguna. *Millimeter-wave* juga membuka peluang untuk penggunaan antena dalam jumlah yang banyak dalam satu wujud dikarenakan memiliki panjang gelombang yang pendek dibanding dengan penggunaan frekuensi pada teknologi sebelumnya[6]. Dua hal ini menjadi penyebab munculnya kemungkinan penggunaan banyak antena (atau *array antenna*) pada pemancar. Semakin banyak antena yang digunakan, maka bentuk beam yang dibentuk akan semakin terarah[7].



**Gambar 2.7** Blok diagram sistem MISO[8]



**Gambar 2.6** Blok diagram multiuser MISO

Sistem MISO atau multi-input-single-output adalah sistem dengan antena pemancar jamak dan hanya memiliki satu penerima dengan satu antena tiap penerima, sedangkan sistem multi user MISO adalah sistem dengan antena pemancar jamak yang memiliki beberapa penerima atau

*user equipment* (UE) dengan satu antena tiap penerima. Kapasitas kanal MISO bisa ditentukan dengan rumus berikut [8]:

$$C = M_t B \log_2 \left( 1 + \frac{S}{N} \right) \quad (2.1)$$

Keterangan:

C = Kapasitas kanal (bits/s)

Mt = Jumlah antena transmisi

B = Bandwidth (Hz)

$\frac{S}{N}$  = Signal-to-noise ratio

*Spectral efficiency* berbeda dengan kapasitas kanal. Kapasitas kanal adalah sebuah parameter yang menjelaskan kapasitas data rate yang dapat ditampung oleh suatu kanal per satuan waktu (sekon) dengan satuan bits/s. Sedangkan *spectral efficiency* adalah sebuah parameter yang mana menjelaskan pengefisienan penggunaan dari spektrum frekuensi, yang dapat diketahui dengan  $SE = C / B$ , dimana SE adalah *spectral efficiency* dalam satuan bits/s/Hz, C adalah kapasitas kanal dan B adalah bandwidth. Kemudian, *spectral efficiency* yang dimaksud hanya pada sisi beamforming dan tidak pada keseluruhan sistem telekomunikasi.

### 2.3.1 Desain precoding sistem Multiuser MISO

#### 2.3.1.1 Desain Digital Precoder

Pada tugas akhir ini dipertimbangkan penggunaan ZF (*Zero forcing*) beamforming dengan alokasi daya sebagai bagian dari *digital precoder* dengan dimensi rendah untuk mengatasi *inter-user interference*. *Digital precoder* dengan *zero forcing* dapat dicari dengan rumus berikut [4]:

$$\mathbf{V}_D^{ZF} = \mathbf{V}_{RF}^H \mathbf{H}^H (\mathbf{H} \mathbf{V}_{RF} \mathbf{H}^H)^{-1} \mathbf{P}^{\frac{1}{2}} = \tilde{\mathbf{V}}_D \mathbf{P}^{\frac{1}{2}} \quad (2.2)$$

dimana  $\mathbf{H} = [\mathbf{h}_1, \dots, \mathbf{h}_K]^H$ ,  $\tilde{\mathbf{V}}_D = \mathbf{V}_{RF}^H \mathbf{H}^H (\mathbf{H} \mathbf{V}_{RF} \mathbf{V}_{RF}^H \mathbf{H}^H)^{-1}$  dan  $\mathbf{P} = diag(p_1, \dots, p_K)$  dengan  $p_K$  mendenotasikan daya yang diterima pada user ke-k. Dengan mengasumsikan RF *precoder* yang mungkin/layak digunakan, semua desain daya tersebut dapat diperoleh dari persamaan berikut:

$$\max_{p_1, \dots, p_K} \sum_{k=1}^K \beta_k \log_2 \left( 1 + \frac{p_k}{\sigma^2} \right) \quad (2.3)$$

$$s.t. Tr(\tilde{\mathbf{Q}} \mathbf{P}) \leq P, \quad (2.4)$$

dimana  $\tilde{\mathbf{Q}} = \tilde{\mathbf{V}}_D^H \mathbf{V}_{RF}^H \mathbf{V}_{RF} \tilde{\mathbf{V}}_D$ . Solusi optimal untuk menyelesaikan permasalahan tersebut dapat diperoleh dengan cara *water-filling* yaitu:

$$p_k = \frac{1}{\tilde{q}_{kk}} \max \left\{ \frac{\beta_k}{\lambda} - \tilde{q}_{kk} \sigma^2, 0 \right\}, \quad (2.5)$$

dimana  $\tilde{q}_{kk}$  adalah elemen diagonal ke-k dari  $\tilde{\mathbf{Q}}$  dan  $\lambda$  dipilih sebagaimana sehingga  $\sum_{k=1}^K \max \left\{ \frac{\beta_k}{\lambda} - \tilde{q}_{kk}\sigma^2, 0 \right\} = P$ .

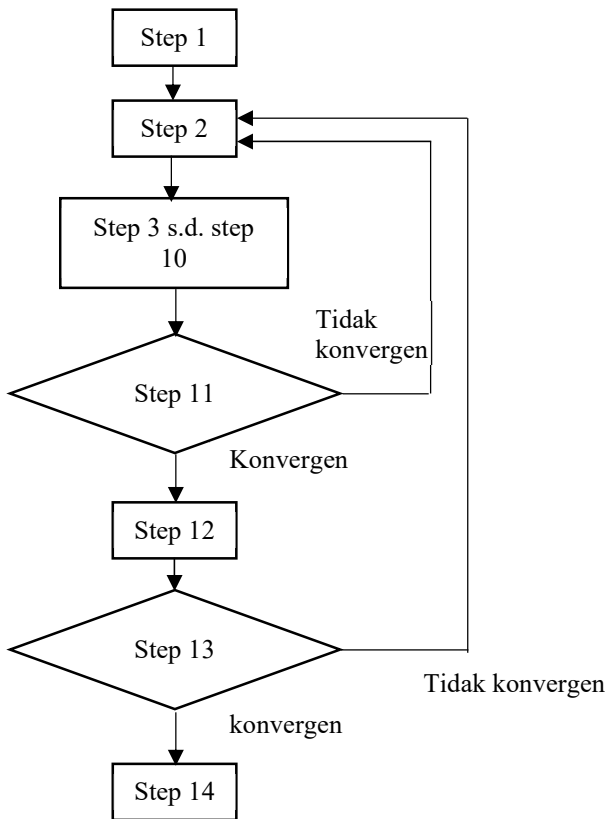
### 2.3.1.2 Desain RF/Analog Precoder

Desain *hybrid precoder* untuk sistem Multiuser MISO dapat dilihat pada algoritma berikut [4]:

Parameter yang dibutuhkan:  $\beta_k, P, \sigma^2$

1. Mulai dengan  $\mathbf{V}_{RF}$  yang mungkin/layak dan  $\mathbf{P} = \mathbf{I}_K$
2. **for**  $j = 1 \rightarrow N^{RF}$  **do**
3.     hitung  $\mathbf{A}_j = \mathbf{P}^{-\frac{1}{2}} \mathbf{H} \tilde{\mathbf{V}}_{RF}^j (\tilde{\mathbf{V}}_{RF}^j)^H \mathbf{H}^H \mathbf{P}^{-\frac{1}{2}}$
4.     **For**  $i = 1 \rightarrow M$  **do**
5.         hitung  $\zeta_{ij}^B, \zeta_{ij}^D, \eta_{ij}^B, \eta_{ij}^D$
6.         hitung  $\theta_{i,j}^{(1)}$  dan  $\theta_{i,j}^{(2)}$  berdasarkan persamaan (3.12)
7.         cari  $\theta_{ij}^{opt} = \text{argmin} \left( \hat{f}(\theta_{i,j}^{(1)}), \hat{f}(\theta_{i,j}^{(2)}) \right)$
8.         tetapkan  $\mathbf{V}_{RF}(i, j) = e^{-j\theta_{ij}^{opt}}$ .
9.     **end for**
10. **end for**
11. Cek konvergensi dari RF *precoder*. Jika sudah, lanjutkan; jika belum, kembali ke langkah 2.
12. Cari  $\mathbf{P} = \text{diag}[p_1, \dots, p_K]$  menggunakan *water-filling* seperti pada persamaan (3.4)
13. Cek konvergensi dari keseluruhan algoritma. Jika sudah, lanjutkan; jika belum, kembali ke langkah 2.
14. Hitung  $\mathbf{V}_D = \mathbf{V}_{RF}^H \mathbf{H}^H (\mathbf{H} \mathbf{V}_{RF} \mathbf{V}_{RF}^H \mathbf{H}^H)^{-1} \mathbf{P}^{\frac{1}{2}}$ .

Pada awal algoritma pencarian analog/RF precoder disebutkan bahwa memerlukan beberapa parameter, yang diasumsikan seperti  $\beta_k = 1, P = 1 \text{ Watt}, \text{ dan } \sigma^2 = 0.1 \text{ sampai } 1000$ .



**Gambar 2.8** Flowchart Algoritma

Pada step pertama, maksud dari  $\mathbf{V}_{RF}$  yang mungkin/layak adalah  $\mathbf{V}_{RF} = \mathbf{1}_{N \times N^{RF}}$  dan  $\mathbf{P}$  adalah matriks identitas yang berukuran  $K \times K$ . Pada step ketiga, yang dimaksud dengan  $\tilde{\mathbf{V}}_{RF}^j$  adalah sub-matriks dari  $\mathbf{V}_{RF}$  yang mana kolom ke- $j$  telah dihilangkan. Pada step kelima,  $\zeta_{ij}^B, \zeta_{ij}^D, \eta_{ij}^B, \eta_{ij}^D$  dapat dicari melalui algoritma-algoritma berikut:

$$\tilde{\mathbf{H}} = \mathbf{P}^{-\frac{1}{2}} \mathbf{H} \quad (2.6)$$

$$\mathbf{B}_j = \tilde{\mathbf{H}}^H \mathbf{A}_j^{-2} \tilde{\mathbf{H}} \quad (2.7)$$

$$\mathbf{D}_j = \tilde{\mathbf{H}}^H \mathbf{A}_j^{-1} \tilde{\mathbf{H}} \quad (2.8)$$

$$\zeta_{ij}^B = \mathbf{B}_j(i, i) + 2Re\{\sum_{k \neq i, m \neq i} \mathbf{V}_{RF}^*(k, j)\mathbf{B}_j(k, m)\mathbf{V}_{RF}(m, j)\}, \quad (2.9)$$

$$\zeta_{ij}^D = \mathbf{D}_j(i, i) + 2Re\{\sum_{k \neq i, m \neq i} \mathbf{V}_{RF}^*(k, j)\mathbf{D}_j(k, m)\mathbf{V}_{RF}(m, j)\}, \quad (2.10)$$

$$\eta_{ij}^B = \sum_{l \neq i} \mathbf{B}_j(i, l) \mathbf{V}_{RF}(l, j), \quad (2.11)$$

$$\eta_{ij}^D = \sum_{l \neq i} \mathbf{D}_j(i, l) \mathbf{V}_{RF}(l, j), \quad (2.12)$$

Pada step keenam,  $\theta_{i,j}^{(1)}$  dan  $\theta_{i,j}^{(2)}$  dapat dicari melalui algoritma berikut:

$$\theta_{i,j}^{(1)} = -\phi_{i,j} + \sin^{-1}\left(\frac{z_{ij}}{|c_{ij}|}\right),$$

$$\theta_{i,j}^{(2)} = \pi - \phi_{i,j} - \sin^{-1}\left(\frac{z_{ij}}{|c_{ij}|}\right), \quad (2.13)$$

dimana  $c_{ij} = (1 + \zeta_{ij}^D)\eta_{ij}^B - \zeta_{ij}^B\eta_{ij}^D$ ,  $z_{ij} = Im\{2(\eta_{ij}^B) * \eta_{ij}^D\}$ , dan

$$\phi_{i,j} = \begin{cases} \sin^{-1}\left(\frac{Im\{c_{ij}\}}{|c_{ij}|}\right), & \text{jika } Re\{c_{ij}\} \geq 0, \\ \pi - \sin^{-1}\left(\frac{Im\{c_{ij}\}}{|c_{ij}|}\right), & \text{jika } Re\{c_{ij}\} < 0. \end{cases} \quad (2.14)$$

Pada step ketujuh,  $\hat{f}(\theta_{i,j}^{(1)})$  dan  $\hat{f}(\theta_{i,j}^{(2)})$  dapat dicari dengan cara mensubstitusikan  $\theta_{i,j}^{(1)}$  dan  $\theta_{i,j}^{(2)}$  kedalam  $\hat{f}(\mathbf{V}_{RF})$ , dimana:

$$\hat{f}(\mathbf{V}_{RF}) = NTr(\mathbf{A}_j^{-1}) - N \frac{\zeta_{ij}^B + 2Re\{\mathbf{V}_{RF}^*(i,j)\eta_{ij}^B\}}{1 + \zeta_{ij}^D + 2Re\{\mathbf{V}_{RF}^*(i,j)\eta_{ij}^D\}}, \quad (2.15)$$

dimana

$$\mathbf{V}_{RF}(i, j) = e^{-j\theta_{i,j}} \quad (2.16)$$

dimana

$$|\mathbf{V}_{RF}(i, j)|^2 = 1, \forall i, j. \quad (2.17)$$

sehingga didapat  $\theta_{ij}^{opt}$  sebagai berikut:

$$\theta_{ij}^{opt} = \underset{\theta_{i,j}^{(1)}, \theta_{i,j}^{(2)}}{\operatorname{argmin}} (\hat{f}(\theta_{i,j}^{(1)}), \hat{f}(\theta_{i,j}^{(2)})) \quad (2.18)$$

Setelah menjalankan serangkaian proses diatas, kita telah bisa Menyusun sebuah iterative mulai dari membangkitkan RF *precoder* yang mungkin/layak dan melakukan *update*/pembaharuan elemen-elemen RF *precoder* secara sekuensial berdasarkan  $\theta_{ij}^{opt}$  yang didapat hingga algoritma konvergen terhadap minimizer lokal  $\hat{f}(\mathbf{V}_{RF})$ . Kemudian dengan menggunakan RF *precoder* yang didapat, dapat dilakukan pencarian nilai  $\mathbf{P}$  menggunakan teori water-filling seperti pada algoritma (3.4). Iterasi

terhadap kedua langkah ini dilakukan terus menerus hingga mendapatkan hasil yang konvergen untuk keseluruhan algoritma[4].

## 2.4 Kanal

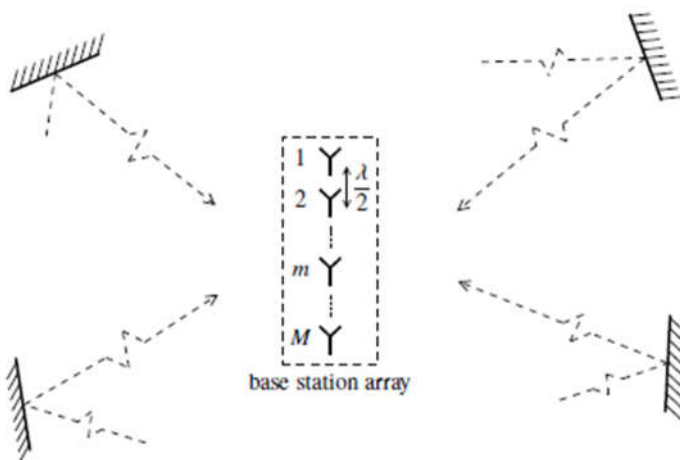
Kanal adalah segala hal yang ada diantara pemancar dan penerima. Dalam hal ini bisa diartikan sebagai media transmisi dalam telekomunikasi. Wujud dari media transmisi ini juga bermacam, seperti: *free space* (kondisi ideal), atmosfer, kabel, dan optik[9]. Sinyal yang melewati media transmisi, tentu akan mengalami perubahan akibat adanya penguatan dan pelemahan. Terjadinya perubahan ini disebabkan oleh adanya peristiwa refleksi, difraksi, dan scattering[10]. Media transmisi yang diasumsikan tidak memiliki penyebab rugi-rugi transmisi(kanal ideal) bisa disebut dengan *free space loss*. Pada penelitian ini, digunakan dua macam kanal untuk menguji hasil dari *beamforming*, yaitu kanal *Independent Rayleigh Fading* dan *Uniformly Random Line-of-Sight*.

### 2.4.1 Independent Rayleigh Fading

*Independent Rayleigh Fading* adalah kanal yang memiliki lingkungan atau media yang padat dan memiliki hamburan isotropik. Dengan mengasumsikan bahwa setiap antenna mampu melihat superposisi dari banyak sinyal yang merupakan hamburan independen. Dengan demikian, *fading* bersifat independen di tiap antenna yang berbeda[10]. Pada *independent Rayleigh fading* berlaku  $E\{|g_k^m|^2\} = \beta_k$  dan  $E\{g_k^m * g_{k'}^{m'}\} = 0$ , ketika  $k' \neq k$  atau  $m' \neq m$ . Dengan hukum *large numbers*:

$$\frac{1}{M} \|g_k\|^2 \rightarrow \beta_k, \quad M \rightarrow \infty, \quad k = 1, \dots, K, \quad (2.19)$$

$$\frac{1}{M} g_k^H g_{k'}, \rightarrow 0, \quad M \rightarrow 0, \quad k \neq k'. \quad (2.20)$$



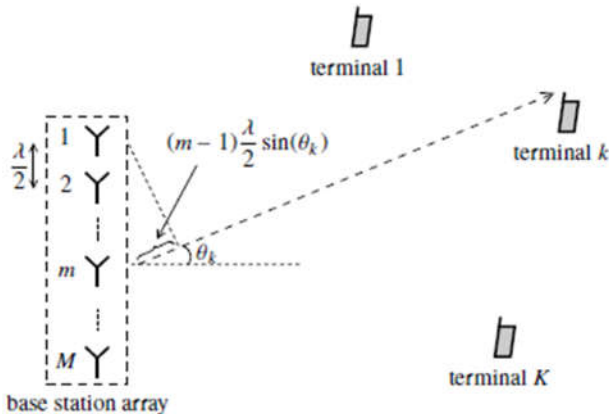
**Gambar 2.9** Uniform linear array dengan  $\lambda/2$  dengan hamburan isotropic[11]

#### 2.4.2 Uniformly Random Line-of-Sight (URLoS)

Berbeda dengan *Independent Rayleigh Fading*, yang mana tiap antena bersifat independen dalam menangkap sinyal hamburan isotropic, pada *Uniformly Random Line-of-Sight*, semua terminal dalam kondisi *line-of-sight*. Pada kanal ini, tiap sinyal dari terminal yang masuk, saling mempengaruhi kualitas antena penerima yang disebabkan oleh adanya perbedaan jarak antar antena dan sudut datang sinyal terhadap lokasi antena penerima[11]. Pada gambar di bawah, diasumsikan terminal ke-k terletak pada medan jauh dari antena array dan memiliki sudut  $\theta_k$  yang diukur relatif terhadap *array boresight*, maka:

$$g_k = \sqrt{\beta_k} e^{i\phi_k} [1 \ e^{-i\pi \sin(\theta_k)} \ \dots \ e^{-i(M-1)\pi \sin(\theta_k)}]^T, \quad (2.21)$$

dimana  $\theta_k$  bernilai acak yang terdistribusi secara *uniform* antara  $-\pi$  dan  $\pi$ , yang memodelkan pergeseran fasa yang terkait dengan rentang acak antara antena array dan terminal ke-k.



**Gambar 2.10**  $\lambda/2$  uniform linear array dengan lingkungan propagasi line-of-sight[11]

Jika ada dua terminal  $k$  dan  $k'$ , dengan sudut  $\theta_k$  dan  $\theta_{k'}$ , sedemikian rupa sehingga  $\theta_k \neq \theta_{k'}$ ,

$$\begin{aligned} \frac{1}{M} g_k^H g_{k'} &= \frac{1}{M} \sqrt{\beta_k \beta_{k'}} e^{-i(\theta_k - \theta_{k'})} \sum_{m=0}^{M-1} e^{im\pi(\sin(\theta_k) - \sin(\theta_{k'}))} \\ &= \frac{1}{M} \sqrt{\beta_k \beta_{k'}} e^{-i(\theta_k - \theta_{k'})} \frac{1 - e^{iM\pi(\sin(\theta_k) - \sin(\theta_{k'}))}}{1 - e^{i\pi(\sin(\theta_k) - \sin(\theta_{k'}))}} \\ &\rightarrow 0. \quad M \rightarrow \infty, \end{aligned} \quad (2.22)$$

juga,

$$\frac{1}{M} \|g_k\|^2 = \beta_k, \quad k = 1, \dots, K. \quad (2.23)$$

## 2.5 Pola Radiasi

Pola radiasi diperoleh menggunakan rumus *array factor*. Dari plot pola radiasi ini dapat diketahui pola radiasi dari metode hybrid precoding atau hybrid beamforming yang telah digunakan. Persamaan rumus *array factor* dituliskan sebagai berikut:

$$AF(\psi) = \sum_{n=0}^{N-1} A_n e^{jn\beta d \cos\theta + \alpha} \quad (2.24)$$

$$f(\psi) = \frac{AF(\psi)}{\max[AF(\psi)]} \quad (2.25)$$

Dimana  $AF(\psi)$  adalah *array factor*. N adalah jumlah antena jamak yang digunakan,  $A_n$  adalah magnitudo dari matriks  $\mathbf{V}_{RF}\mathbf{V}_D$ ,  $\beta$  adalah ketetapan fasa yakni  $\frac{2\pi}{\lambda}$ ,  $d$  adalah jarak antar elemen antena yakni  $\frac{\lambda}{2}$ ,  $\theta$  adalah sudut yang dibentuk antara elemen antena pada pemancar (*base station*) dengan elemen antena pada penerima, dan  $\alpha$  adalah fasa dari matriks  $\mathbf{V}_{RF}\mathbf{V}_D$ .

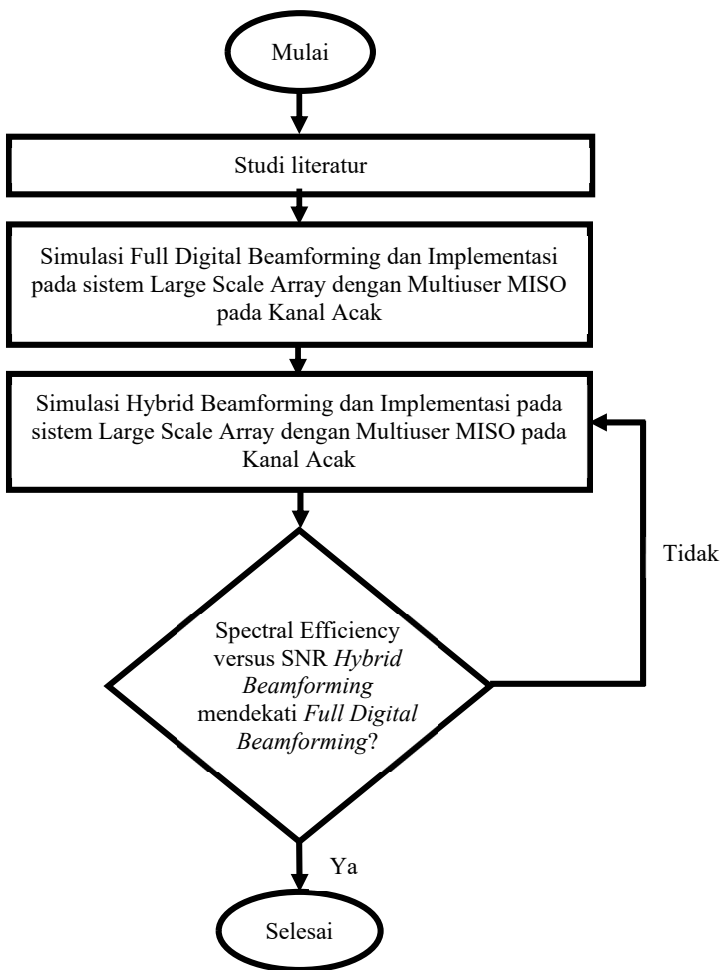
## BAB III METODOLOGI PENGERJAAN

Pada bab tiga ini dijelaskan mengenai tahapan-tahapan dalam penggerjaan tugas akhir. Akan dipaparkan juga mengenai alur penggerjaan tugas akhir serta pemodelan sistem yang akan digunakan dalam penggerjaan kedepannya. Tugas akhir ini membahas tentang analisa kinerja dari metode hybrid beamforming pada sistem antena multiuser MISO. Kinerja dari metode hybrid beamforming akan dibandingkan terhadap metode fulldigital beamforming. Parameter yang akan digunakan dalam menguji kinerja metode tersebut adalah *spectral efficiency versus signal-to-noise ratio (SNR)* yang mana akan diujikan pada kanal *independent Rayleigh fading* dan kanal *uniformly random line-of-sight (UR-LoS)*. Akan dilakukan beberapa kali pengujian dengan jumlah elemen yang berbeda yang kemudian akan dianalisa sehingga akan diperolah konfigurasi jumlah rf chain pada *digital and analog precoding* yang memiliki *spectrall efficiency versus signal-to-noise ratio* yang mendekati metode *full digital beamforming*. Dalam pemodelan simulasi ini digunakan *software Matlab* versi R2019b.

### 3.1 Parameter Sistem

Pada tugas akhir ini akan digunakan beberapa parameter dalam proses simulasi seperti:

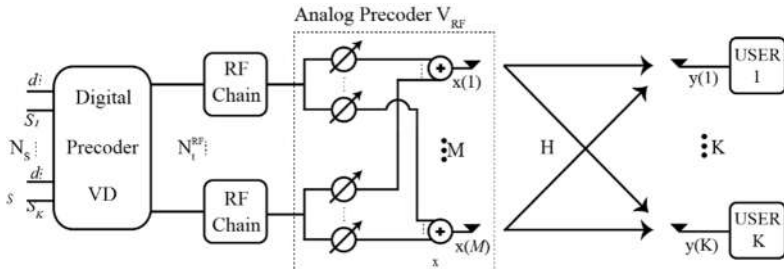
- a) Modulasi yang digunakan untuk *bit stream* informasi adalah BPSK.
- b) Konfigurasi sistem yang di variasikan adalah jumlah rf chain, jumlah antena pemancar, dan jumlah user/antena penerima.
- c) *Hybrid beamforming* dimodelkan dengan jumlah RF chain sebanyak setengah dari jumlah RF chain pada *full digital beamforming*.
- d) Antena dengan sistem Multiuser MISO.
- e) Kanal yang digunakan adalah kanal *Independent Rayleigh Fading* dan kanal *Uniformly Random Line-of-Sight (UR-LoS)*.
- f) Menggunakan pendekatan *spectrum efficiency versus signal-to-noise ratio (SNR)* dalam pengujian kinerja metode beamforming.



**Gambar 3.1** Diagram alur penggerjaan tugas akhir

### 3.2 Pemodelan Sistem

Secara garis besar model sistem yang akan dipakai pada tugas akhir ini digambarkan pada Gambar 3.2, yang selanjutkan akan dijelaskan lebih detail mengenai bagian-bagiannya.



**Gambar 3.2** Diagram model sistem hybrid dan full digital beamforming pada Multiuser MISO

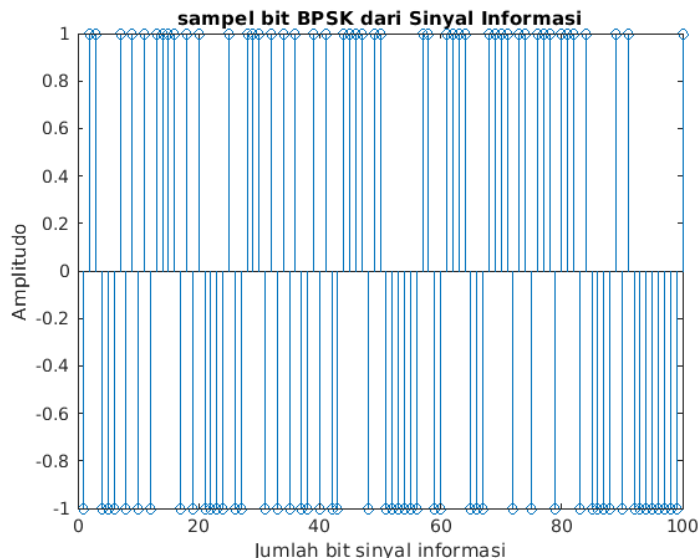
#### 3.2.1 Pemodelan Transmitter

Transmitter adalah bagian yang memiliki fungsi untuk mengirimkan/mentransmisikan sinyal informasi yang diinginkan. Pada gambar 3.2 dapat kita lihat bahwa bagian transmitter memiliki komponen-komponen yang akan dilalui oleh sinyal informasi sebelum nantinya akan dikirimkan atau dipancarkan oleh antena pemancar. Terdapat beberapa komponen seperti sinyal informasi( $s$ ), user ( $K$ ), *data stream* ( $d$ ), jumlah antena ( $M$ ), *Digital precoder* ( $V_D$ ), *Analog precoder* ( $V_{RF}$ ), *RF chain*, dan *phase shifter*. Jika kita lihat mulai awal, sinyal informasi akan masuk ke *Digital Precoder* ( $V_D$ ) terlebih dahulu yang akan diolah oleh precoder lalu dikirim ke *RF chain* yang ada. Setelah itu, sinyal yang sudah melalui *Digital precoder* akan masuk ke komponen *Analog precoder* ( $V_{RF}$ ) yang berisi komponen *phase shifter*. Setelah itu sinyal informasi yang telah melewati serangkaian proses akan di pancarkan oleh antena pemancar dan disebut sinyal transmisi( $x$ ). Secara matematis akan dituliskan sebagai berikut:

$$x = \mathbf{V}_{RF} \mathbf{V}_D s = \sum_{l=1}^K \mathbf{V}_{RF} \mathbf{V}_{D_l} s_l \quad (3.1)$$

Penggunaan *full digital beamforming* pada spektrum frekuensi *milimeter wave* dirasa tidak mungkin karena membutuhkan jumlah *RF chain* yang banyak yakni 1 *RF chain* tiap antena, yang mana membutuhkan banyak biaya dalam merealisasikannya. Dengan metode *hybrid beamforming*, penggunaan *RF chain* dapat ditekan menjadi sejumlah  $N_{RF} = N_S$ , dimana  $N_S = K d$ , dan  $K$  merepresentasikan jumlah

user dan  $d$  merepresentasikan jumlah data stream tiap usernya. Pada pelaksanaan tugas akhir ini akan dibangkitkan jumlah bit bpsk sinyal informasi sebanyak 1000-bit tiap usernya. Pada model umum sistem multiuser MISO ini, akan digunakan jumlah user sebanyak 4 user, sehingga total dari jumlah bit bpsk sinyal informasi yang akan dibangkitkan yakni sebanyak 4000-bit sinyal. Berikut adalah plot stem dari 100 sampel bit BPSK dalam bentuk baseband ekivalen:



**Gambar 3.3** Plot stem dari sampel bit BPSK sinyal informasi

### 3.2.2.1 Desain Digital Precoder

Matriks digital precoding ( $\mathbf{V}_D$ ) dapat diperoleh setelah memenuhi beberapa persyaratan, yakni: matriks  $\mathbf{V}_{RF}$  telah memenuhi syarat konvergen (pada persamaan 11) dan pencarian daya menggunakan teorema *water-filling* telah mencapai konvergen (pada persamaan 13). Setelah itu akan didapat  $\mathbf{V}_D$  yang relevan sesuai dengan keadaan atau kondisi sistem.

### 3.2.2.2 Desain RF/Analog Precoder

Dimulai dengan menentukan matriks  $\mathbf{V}_{RF} = \mathbf{1}_{NxN^{RF}}$ , kemudian dilanjutkan hingga step ke 11 dan akan berulang hingga mendapatkan matriks  $\mathbf{V}_{RF}$  yang konvergen. Kemudian dilanjutkan pada pencarian nilai

$\mathbf{P}$  menggunakan  $\mathbf{V}_{RF}$  yang telah konvergen yang nantinya akan digunakan dalam perhitungan pencarian matriks  $\mathbf{V}_D$ .

### 3.2.2 Pemodelan Kanal

Untuk menguji kinerja dari dua metode yakni *hybrid beamforming* dan *full digital beamforming* maka pada tugas akhir ini digunakan dua tipe kanal yang berbeda, yaitu kanal *independent rayleigh fading* dan kanal *uniformly random line-of-sight*. Karena dua tipe kanal ini memiliki karakteristik yang berbeda, maka kita dapat melihat perbandingan antara kinerja kedua metode tersebut.

#### 3.2.2.1 Kanal Independent Rayleigh Fading

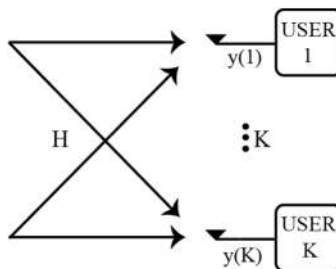
Kanal *independent rayleigh fading* adalah kanal yang memiliki hamburan isotropik yang padat dan tidak memiliki lintasan *line of sight*. Pada simulasi pemodelan kanal, digunakan kanal *independent rayleigh* yang memiliki elemen acak independen dengan *mean* nol dan terdistribusi kompleks normal  $(0, \beta_k)$  dimana  $\beta_k$  diasumsikan bernilai 1.

#### 3.2.2.2 Kanal Uniformly Random Line-of-Sight

Kanal *uniformly random line-of-sight* adalah tipe kanal yang tidak memiliki hamburan lokal dan semua penerimanya (*terminal*) memiliki lintasan *line-of-sight* (langsung) terhadap antena pemancar. Pada percobaan ini akan digunakan selisih sudut antar user sebesar 5 derajat.

### 3.2.3 Pemodelan Receiver

Model dari receiver yang digunakan pada tugas akhir ini digambarkan sebagai berikut:



**Gambar 3.4** Model receiver multiuser MISO

Dapat dilihat pada hambar diatas bahwa penerima pada sistem *multiuser MISO* hanya berupa antena *receive* saja. Sinyal informasi yang telah melalui serangkaian proses pada pemancar dan juga telah melewati kanal, akan diterima dan disimolkan dengan  $y$ . Secara matematis dapat dituliskan seperti berikut:

$$y_k = \mathbf{H}_k \mathbf{V}_{RF} \mathbf{V}_D \mathbf{s}_k + \mathbf{z}_k \quad (3.2)$$

### 3.2.4 Demapping

Sinyal yang diterima ( $y$ ) masih dalam bentuk sinyal transmit, sehingga perlu diolah untuk mengubah sinyal transmit menjadi sinyal informasi kembali. Sehingga pada simulasi ini digunakan demapping seperti berikut:

$$\tilde{y}_k = \begin{cases} 1, & \text{jika } \text{real}(y) > 0 \\ -1, & \text{jika } \text{real}(y) < 0 \end{cases} \quad (3.3)$$

dimana  $\tilde{y}_k$  merepresentasikan sinyal terima yang telah diolah menjadi seperti sinyal informasi yang dikirimkan.

### 3.2.5 Simulasi Analisa Bit Error Rate

Setelah mendapatkan serta mengolah sinyal terima yang telah memiliki format yang sama dengan sinyal informasi yang dikirimkan, langkah selanjutnya adalah melakukan pengecekan *bit error rate*. Pengecekan ini bertujuan untuk mengetahui apakah ada kesalahan yang terjadi pada saat proses pengiriman bit sinyal informasi. Pengecekan *bit error rate* ini juga dapat melihat bagaimana kondisi kelayakan sistem dalam proses transmisi. Simulasi *bit error rate* yang dilakukan pada tugas akhir ini dijelaskan melalui persamaan 3.20

$$BER = \frac{\text{jumlah bit error}}{\text{total bit}} \quad (3.4)$$

### 3.2.6 Simualsi Spectral Efficiency versus Signal-to-Noise Ratio (SNR)

Simulasi *spectral efficiency versus signal-to-noise ratio (SNR)* adalah langkah terakhir yang dilakukan agar dapat mengetahui kinerja dari kedua metode yang diinginkan. Dari grafik *spectral efficiency versus signal-to-noise ratio (SNR)* ini nantinya dapat dianalisa mengenai hubungan antara kenaikan nilai SNR dengan kualitas kinerja kedua metode yang dilihat pada grafik *spectral efficiency*. *Spectral efficiency* disimbolkan dengan  $R_k$  yang mana adalah *rate expression* untuk user k [4].

$$R_k = \log_2 \left( 1 + \frac{|\mathbf{h}_k^H \mathbf{V}_{RF} \mathbf{V}_{D_k}|^2}{\sigma^2 + \sum_{l \neq k} |\mathbf{h}_k^H \mathbf{V}_{RF} \mathbf{V}_{D_l}|^2} \right)$$

Dimana  $\mathbf{V}_{D_l}$  adalah kolom ke- $l$  dari digital precoder. Menggunakan sifat dari *Zero Forcing beamforming*, maka  $|\mathbf{h}_k^H \mathbf{V}_{RF} \mathbf{V}_{D_k}| = \sqrt{p_k}$  dan  $|\mathbf{h}_k^H \mathbf{V}_{RF} \mathbf{V}_{D_l}| = 0$  untuk semua  $l \neq k$ .

## BAB IV HASIL DAN ANALISA DATA

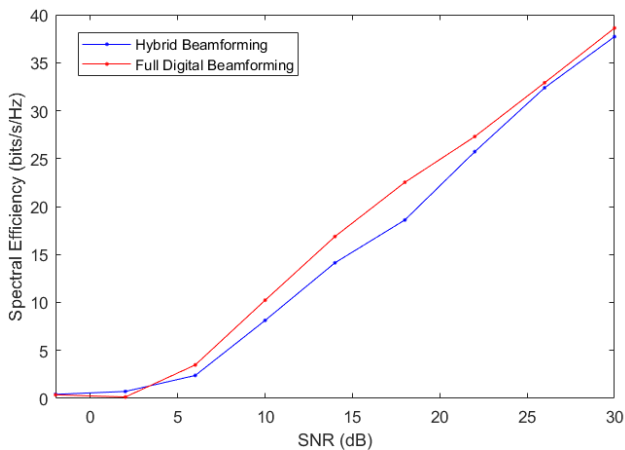
Pada bab ini akan ditampilkan hasil simulasi dari teknik *hybrid beamforming* (HB) dan *full digital beamforming* (FDB) yang diujikan pada dua kanal yaitu kanal *independent rayleigh fading* (IRF) dan *uniformly random line-of-sight* (URLOS). Kemudian akan dianalisa kinerja kedua metode terhadap dua kanal yang berbeda. Pada bab ini akan dibagi menjadi tiga bagian, yang pertama berisi perbandingan kinerja antara HB dan FDB pada dua kanal yang berbeda. Hal ini bertujuan untuk memeriksa apakah metode HB telah sesuai atau belum. Bagian kedua berisi hasil simulasi antara kanal IRF dengan URLOS saat menggunakan metode HB dan pada saat metode FDB. Pada bagian ketiga akan ditampilkan perbandingan kinerja SE pada masing-masing kanal dengan metode HB yang memiliki jumlah RF *chain* (NRF) yang berbeda, jumlah antena pemancar yang berbeda, dan jumlah antena penerima yang berbeda. Dari perbedaan komponen yang telah disebutkan diatas, parameter *spectral efficiency* (SE) versus *signal-to-noise ratio* (SNR) dan *Bit Error Rate* (BER) akan membantu dalam menganalisa kinerja dari kedua metode.

### 4.1 Perbandingan kinerja antara *Hybrid* dan *Full Digital Beamforming* pada kanal *Independent Rayleigh Fading* dan *Uniformly Random Line-of-Sight*

Pada simulasi ini akan didapatkan grafik perbandingan kinerja dari metode HB dan FDB yang akan dilihat dari SE vs SNR. Pada percobaan ini akan digunakan 64 pemancar (Tx), 4 user (4 antena penerima/Rx), serta 1 RF chain untuk metode HB dan 2 RF chain untuk metode FDB.

#### 4.1.1 Kanal *Independent Rayleigh Fading*

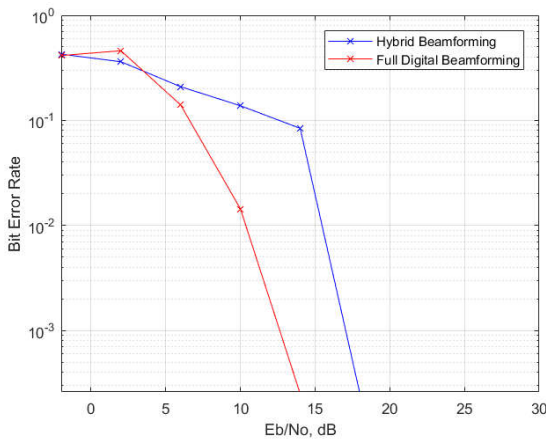
Hasil dari simulasi dapat dilihat pada gambar 4.1 dan gambar 4.2. Adapun tabel 4.1 dan tabel 4.2 yang akan membantu memperjelas dari pembacaan gambar 4.1 dan gambar 4.2.



**Gambar 4.1** Grafik perbandingan kinerja SE antara metode HB dan FDB pada kanal IRF

**Tabel 4.1** Data SE metode HB dan FDB pada kanal IRF

SNR	Spectral Efficiency	
	Hybrid Beamforming	Full Digital Beamforming
-2	0,4223	0,3686
2	0,7246	0,1458
6	2,39	3,488
10	8,132	10,23
14	14,14	16,88
18	18,6	22,53
22	25,72	27,29
26	32,39	32,91
30	37,71	38,61



**Gambar 4.2** Grafik perbandingan kinerja BER antara metode HB dan FDB pada kanal IRF

**Tabel 4.2** Data BER metode HB dan FDB pada kanal IRF

SNR	BER	
	Hybrid Beamforming	Full Digital Beamforming
-2	0,4272	0,4143
2	0,3613	0,4601
6	0,2091	0,1401
10	0,1378	0,01436
14	0,084	0,00025
18	0,00025	0,00025
22	0,00025	0,00025
26	0,00025	0,00025
30	0,00025	0,00025

Kinerja dari metode HB dan FDB yang ditampilkan pada gambar 4.1 dan tabel 4.1 menunjukkan bahwa pada saat SNR rendah (0-10 dB) metode HB memiliki rata-rata kinerja SE sebesar 3,74887 bits/s/Hz dan metode FDB memiliki rata-rata kinerja SE sebesar 4,62127 bits/s/Hz. Pada saat SNR sedang (10-20 dB) metode HB memiliki rata-rata kinerja SE sebesar 16,37 bits/s/Hz dan metode FDB memiliki rata-rata kinerja SE

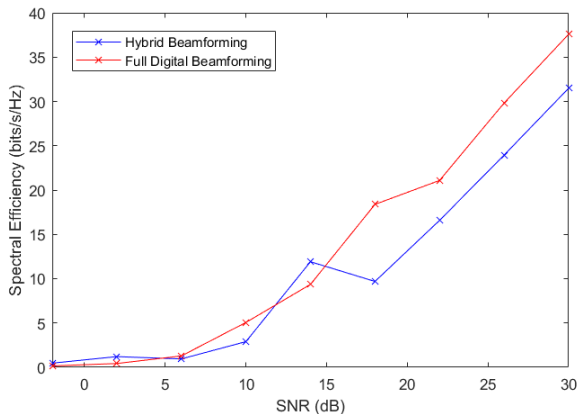
sebesar 19,705 bits/s/Hz. Pada saat SNR tinggi (20-30 dB) metode HB memiliki rata-rata kinerja SE sebesar 31,94 bits/s/Hz dan metode FDB memiliki rata-rata kinerja SE sebesar 32,9367 bits/s/Hz. Untuk keseluruhan SNR dari 0 dB hingga 30 dB (rata-rata keseluruhan), metode HB memiliki rata-rata kinerja SE sebesar 17,4758 bits/s/Hz dan metode FDB memiliki rata-rata kinerja SE sebesar 19,0105 bits/s/Hz.

Pengujian BER pada kedua metode ini digambarkan pada gambar 4.2 dan dipaparkan data tiap plotnya pada tabel 4.2. Dapat dilihat pada SNR rendah (0-10 dB) tepatnya pada saat  $\text{SNR} = 2 \text{ dB}$ , metode HB memiliki BER sebesar 0,3613 sedangkan FDB memiliki BER 0,4601 yang mana masih lebih tinggi. Akan tetapi pada saat  $\text{SNR} = 6 \text{ dB}$ , metode FDB dengan BER 0,1401 telah berada pada posisi di bawah HB dengan BER 0,2091. Pada SNR sedang (10-20), saat  $\text{SNR} = 14 \text{ dB}$  dapat dilihat bahwa metode FDB telah mencapai BER 0,00025 yang artinya kemungkinan terjadi error kecil, sedangkan untuk metode HB memiliki BER 0,084 yang mana masih cukup tinggi. Pada SNR tinggi (20-30 dB) kedua metode telah memiliki kemungkinan untuk terjadi error kecil dengan BER 0,00025.

Jika dilihat dari gambar 4.1 dan tabel 4.1, simulasi ini membuktikan bahwa kinerja SE metode HB telah mendekati kinerja SE metode FDB. Sedangkan jika melihat perbandingan BER pada gambar 4.2 dan tabel 4.2, metode FDB lebih dulu memiliki tingkat kemungkinan error yang rendah dengan BER 0,00025 sedangkan walaupun metode HB masih memiliki tingkat error yang relatif tinggi pada saat SNR sedang, metode HB akan menyusul memiliki tingkat error yang rendah dengan BER 0,00025 pada saat SNR tinggi.

#### 4.1.2 Kanal Uniformly Random Line-of-Sight

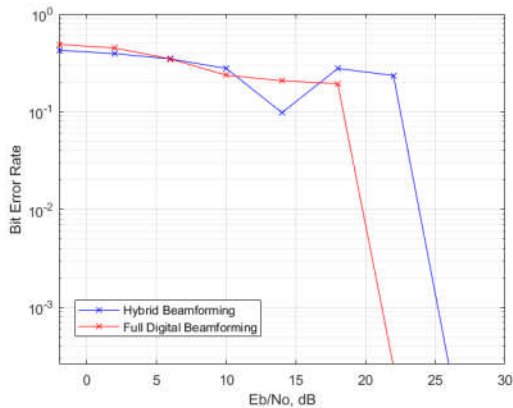
Hasil dari simulasi dapat dilihat pada gambar 4.3 dan gambar 4.4. Adapun tabel 4.3 dan tabel 4.3 yang akan membantu memperjelas dari pembacaan gambar 4.3 dan gambar 4.4.



**Gambar 4.3** Grafik perbandingan kinerja SE antara metode HB dan FDB pada kanal URLOS

**Tabel 4.3** Data SE metode HB dan FDB pada kanal URLOS

SNR	Spectral Efficiency	
	Hybrid Beamforming	Full Digital Beamforming
-2	0,4716	0,1572
2	1,206	0,4304
6	0,9474	1,283
10	2,897	5,062
14	11,91	9,355
18	9,687	18,39
22	16,58	21.08
26	23,95	29,82
30	31,49	37,58



**Gambar 4.4** Grafik perbandingan kinerja BER antara metode HB dan FDB pada kanal URLOS

**Tabel 4.4** Data BER metode HB dan FDB pada kanal URLOS

SNR	BER	
	Hybrid Beamforming	Full Digital Beamforming
-2	0,4254	0,4882
2	0,3922	0,4484
6	0,3462	0,3461
10	0,2772	0,2364
14	0,09769	0,2074
18	0,2766	0,1934
22	0,2346	0,00025
26	0,00025	0,00025
30	0,00025	0,00025

Dapat dilihat kinerja dari kedua metode pada gambar 4.3 dan tabel 4.3 menunjukkan pada saat SNR rendah (0-10 dB) metode HB memiliki

rata-rata kinerja SE sebesar 1,68347 bits/s/Hz dan metode FDB memiliki rata-rata kinerja SE sebesar 2,25847 bits/s/Hz. Pada saat SNR sedang (10-20 dB) metode HB memiliki rata-rata kinerja SE sebesar 10,7985 bits/s/Hz dan metode FDB memiliki rata-rata kinerja SE sebesar 13,8725 bits/s/Hz. Pada saat SNR tinggi (20-30 dB) metode HB memiliki rata-rata kinerja SE sebesar 24,0067 bits/s/Hz dan metode FDB memiliki rata-rata kinerja SE sebesar 22,4667 bits/s/Hz. Sementara untuk total rata-rata kinerja kedua metode dari 0 dB sampai 30 dB, HB memiliki rata-rata kinerja total sebesar 12,3334 bits/s/Hz dan FDB memiliki rata-rata kinerja total sebesar 12,7401 bits/s/Hz.

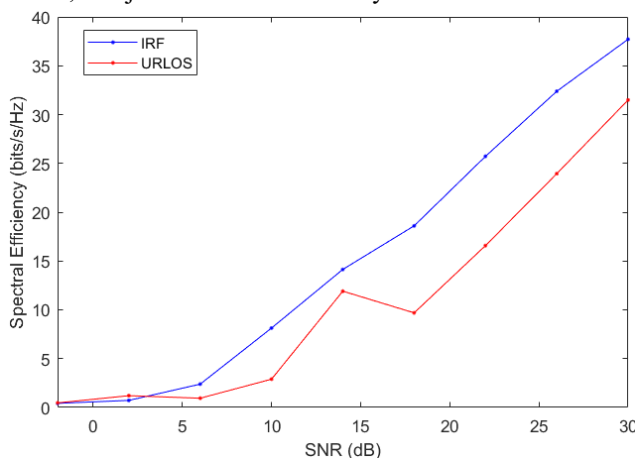
Pengujian BER pada kedua metode ini digambarkan pada gambar 4.4 dan dipaparkan data tiap plotnya pada tabel 4.4. Dapat dilihat pada SNR rendah (0-10 dB) saat  $\text{SNR} = 2$ , metode HB dengan BER 0,3922 berada sedikit di bawah metode FDB dengan BER 0,4484. Pada saat  $\text{SNR} = 10$  dB, metode FDB dengan BER 0,2364 berada sedikit di bawah metode HB yang memiliki BER 0,3922. Juga dapat dilihat pada SNR rendah, kedua metode masih memiliki tingkat kemungkinan terjadi error yang cukup tinggi. Pada SNR sedang (10-20 dB) saat  $\text{SNR} = 4$  dB, metode HB dengan BER 0,09769 berada di bawah metode FDB yang memiliki BER 0,2074. Akan tetapi pada saat  $\text{SNR} = 18$  dB, metode HB yang memiliki BER = 0,2766 kembali naik menjadi semakin tinggi dan berada diatas metode FDB yang memiliki BER = 0,1934. Pada SNR sedang ini dapat dilihat bahwa metode HB sempat berada di bawah metode FDB pada saat  $\text{SNR} = 14$  dB yang kemudian naik kembali pada saat  $\text{SNR} = 18$  dB, sedangkan metode FDB belum menunjukkan penurunan BER yang signifikan. Pada SNR tinggi (20-30 dB) saat  $\text{SNR} = 22$  dB, metode FDB telah mencapai BER 0,00025, sedangkan metode HB masih memiliki angka BER yang tinggi yaitu 0,2346. Pada saat  $\text{SNR} = 26$  dB hingga 30 dB, kedua metode baik HB dan FDB telah menunjukkan angka BER yang rendah yaitu 0,00025. Pada SNR tinggi dapat dilihat bahwa pada saat  $\text{SNR} = 22$  dB, metode FDB lebih dulu memiliki angka BER yang kecil, yang artinya memiliki kemungkinan error yang kecil, yang mana berarti precoding ini akan bekerja dengan baik sejak  $\text{SNR} = 22$  dB, sedangkan metode HB baru memiliki angka BER yang rendah yaitu 0,00025 sejak  $\text{SNR} = 26$  dB.

Dapat dilihat baik dari gambar 4.3 dan tabel 4.3 juga gambar 4.4 dan tabel 4.4, metode HB telah berhasil mendekati kinerja SE dan BER dari metode FDB. Ini juga membuktikan bahwa metode HB dapat memiliki kinerja SE dan BER yang mendekati metode FDB pada kanal URLoS.

## 4.2 Perbandingan kinerja metode HB pada kanal IRF dan URLOS dan perbandingan kinerja metode FDB pada kanal IRF dan URLOS

### 4.2.1 Perbandingan metode HB pada kanal IRF dan URLOS

Pada bagian ini akan ditampilkan hasil simulasi metode HB pada kanal IRF dan kanal URLOS. Dari simulasi ini, akan dibandingkan kinerja metode HB pada kedua kanal yang berbeda. Metode HB disini menggunakan jumlah antenna pemancar (tx) sejumlah 64 antena, user sejumlah 4, dan jumlah RF chain sebanyak 1.

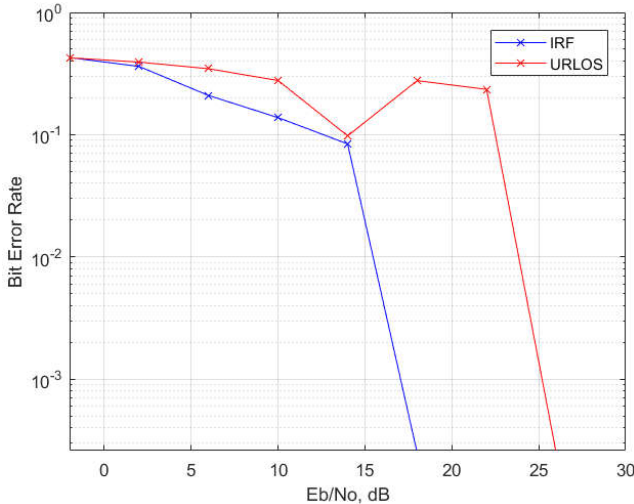


**Gambar 4.5** Grafik perbandingan kinerja SE metode HB pada kanal IRF dan URLOS

**Tabel 4.5** Data SE metode HB pada kanal IRF dan URLOS

SNR	Spectral Efficiency (HB)	
	IRF	URLOS
-2	0,4223	0,4716
2	0,7246	1,206
6	2,39	0,9474
10	8,132	2,897
14	14,14	11,91

18	18,6	9,687
22	25,72	16,58
26	32,39	23,95
30	37,71	31,49



**Gambar 4.6** Grafik perbandingan kinerja BER metode pada kanal IRF dan URLOS

**Tabel 4.6** Data BER metode HB pada kanal IRF dan URLOS

SNR	BER (HB)	
	IRF	URLOS
-2	0,4272	0,4254
2	0,3613	0,3922
6	0,2091	0,3462
10	0,1378	0,2772
14	0,084	0,09769
18	0,00025	0,2766
22	0,00025	0,2346
26	0,00025	0,00025
30	0,00025	0,00025

Dapat dilihat melalui gambar 4.5 dan tabel 4.5 pada saat SNR rendah (0-10 dB) metode HB pada kanal IRF memiliki rata-rata kinerja SE sebesar 3,74887 bits/s/Hz yang mana lebih tinggi jika dibandingkan dengan metode HB pada kanal URLOS yang memiliki rata-rata kinerja SE sebesar 1,68347 bits/s/Hz. Pada SNR sedang (10-20 dB) metode HB pada kanal IRF memiliki rata-rata kinerja SE sebesar 16,37 bits/s/Hz yang lebih tinggi dibandingkan dengan metode HB pada kanal URLOS yang memiliki rata-rata kinerja SE sebesar 10,7985 bits/s/Hz. Pada SNR tinggi (20-30 dB) metode HB pada kanal IRF memiliki rata-rata kinerja SE sebesar 31,94 bits/s/Hz yang lebih tinggi dibandingkan metode HB pada kanal URLOS yang memiliki rata-rata kinerja SE sebesar 24,0067 bits/s/Hz. Untuk total rata-rata kinerja pada SNR 0 sampai 30 dB, metode HB pada kanal IRF memiliki total rata-rata kinerja SE sebesar 17,4758 bits/s/Hz, sedangkan metode HB pada kanal URLOS memiliki total rata-rata kinerja SE sebesar 12,3334 bits/s/Hz. Pada grafik 4.5 dan tabel 4.5 dapat dilihat bahwa secara keseluruhan, metode HB pada kanal IRF memiliki kinerja SE yang lebih baik dibandingkan dengan metode HB pada kanal URLOS.

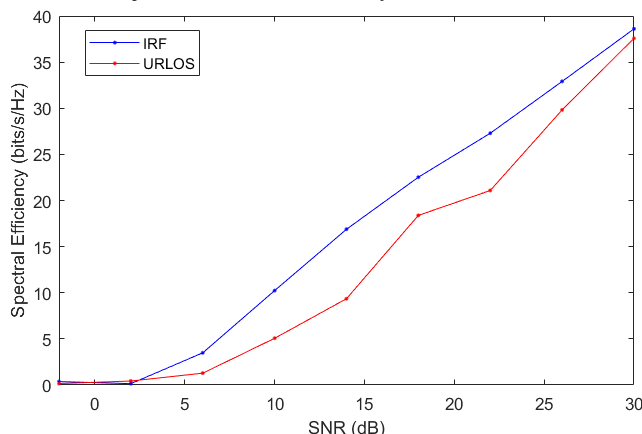
Pengujian BER pada metode HB dengan kanal IRF dan kanal URLOS dijelaskan dan dipaparkan oleh gambar 4.6 dan tabel 4.6. Dari gambar 4.6 dan tabel 4.6 dapat kita lihat dan ketahui bahwa pada SNR rendah (0-10 dB) saat  $\text{SNR} = 2 \text{ dB}$ , metode HB pada kanal IRF yang memiliki BER sebesar 0,3613 berada sedikit dibawah metode HB pada kanal URLOS yang memiliki BER sebesar 0,3922. Begitu juga untuk  $\text{SNR} = 6 \text{ dB}$  dan  $\text{SNR} = 10 \text{ dB}$ , metode HB pada kanal IRF memiliki BER sebesar 0,2091 dan 0,1378 yang mana berada di bawah metode HB pada kanal URLOS dengan BER sebesar 0,3462 dan 0,2772. Pada SNR sedang (10-20 dB), saat  $\text{SNR} = 14 \text{ dB}$ , metode HB dengan kanal IRF memiliki BER sebesar 0,084 yang mana berada di bawah metode HB dengan kanal URLOS yang memiliki BER sebesar 0,09769. Saat  $\text{SNR} = 18 \text{ dB}$ , metode HB dengan kanal IRF terlihat telah memiliki BER sebesar 0,00025, sedangkan metode HB dengan kanal URLOS memiliki BER sebesar 0,2766. Pada saat SNR tinggi (20-30 dB), untuk metode HB dengan kanal IRF, telah memiliki BER yang konstan sebesar 0,00025. Sedangkan untuk metode HB dengan kanal URLOS, pada saat  $\text{SNR} = 22 \text{ dB}$  masih memiliki nilai BER yang cukup tinggi yaitu sebesar 0,2346, dan akan menuju 0,00025 pada  $\text{SNR} = 26 \text{ dB}$  yang konstan hingga  $\text{SNR} = 30 \text{ dB}$ . Dari sini dapat dilihat pada secara rata-rata, baik saat SNR rendah, sedang,

maupun tinggi, metode HB dengan kanal IRF memiliki BER yang lebih rendah dibandingkan dengan metode HB dengan kanal URLOS.

Secara keseluruhan dari gambar 4.6 dan tabel 4.6 menunjukkan bahwa jenis kanal memiliki pengaruh terhadap kinerja metode HB. Secara keseluruhan baik dari kinerja SE maupun tingkat BER, metode HB dengan kanal IRF menunjukkan performa yang lebih baik dibandingkan dengan metode HB dengan kanal URLOS.

#### 4.2.2 Perbandingan metode FDB pada kanal IRF dan URLOS

Pada bagian ini akan ditampilkan hasil simulasi metode FDB pada kanal IRF dan kanal URLOS. Dari simulasi ini, akan dibandingkan kinerja metode FDB pada kedua kanal yang berbeda. Metode FDB disini menggunakan jumlah antenna pemancar (tx) sejumlah 64 antena, user sejumlah 4, dan jumlah RF chain sebanyak 2.

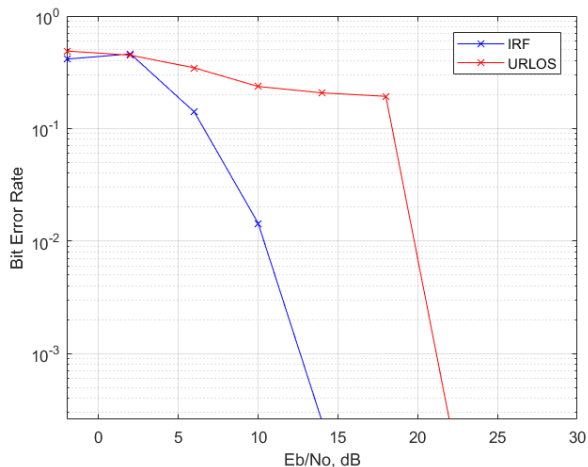


**Gambar 4.7** Grafik perbandingan kinerja SE metode FDB pada kanal IRF dan URLOS

**Tabel 4.7** Data SE metode FDB pada kanal IRF dan URLOS

SNR	Spectral Efficiency (FDB)	
	IRF	URLOS
-2	0,3686	0,1572
2	0,1458	0,4304
6	3,488	1,283
10	10,23	5,062

14	16,88	9,355
18	22,53	18,39
22	27,29	21,08
26	32,91	29,82
30	38,61	37,58



**Gambar 4.8** Grafik perbandingan kinerja BER metode pada kanal IRF dan URLOS

**Tabel 4.8** Data BER metode FDB pada kanal IRF dan URLOS

SNR	BER (FDB)	
	IRF	URLOS
-2	0,4143	0,4882
2	0,4601	0,4484
6	0,1401	0,3461
10	0,01436	0,2364
14	0,00025	0,2074
18	0,00025	0,1934
22	0,00025	0,00025
26	0,00025	0,00025
30	0,00025	0,00025

Dapat dilihat pada Gambar 4.7 dan Tabel 4.7 pada saat SNR rendah (0-10 dB) metode FDB pada kanal IRF memiliki rata-rata kinerja SE sebesar 4,62127 bits/s/Hz yang lebih tinggi dibandingkan dengan metode FDB pada kanal URLOS memiliki rata-rata kinerja SE sebesar 2,25847 bits/s/Hz. Pada SNR sedang (10-20 dB) metode FDB pada kanal IRF memiliki rata-rata kinerja SE sebesar 19,705 bits/s/Hz yang mana lebih tinggi jika dibandingkan dengan metode FDB pada kanal URLOS yang memiliki rata-rata kinerja SE sebesar 4,6775 bits/s/Hz. Pada SNR tinggi (20-30 dB) metode FDB pada kanal IRF memiliki rata-rata kinerja SE sebesar 32,9367 bits/s/Hz yang mana lebih tinggi dibandingkan dengan metode FDB pada kanal URLOS yang memiliki rata-rata kinerja SE sebesar 22,4667 bits/s/Hz. Secara keseluruhan, dapat dilihat baik pada gambar grafik maupun data tabel bahwa rata-rata kinerja SE pada metode FDB dengan kanal IRF lebih baik dibanding dengan rata-rata kinerja SE pada metode FDB dengan kanal URLOS. Juga dapat diketahui bahwa untuk SNR 0 dB sampai 30 dB, metode FDB dengan kanal IRF memiliki rata-rata kinerja SE sebesar 19,0105 bits/s/Hz yang mana lebih tinggi dibandingkan dengan rata-rata kinerja SE dengan metode FDB pada kanal URLOS sebesar 12,7401 bits/s/Hz.

Pada Gambar 4.8 dan Tabel 4.8 dapat dilihat pada saat SNR rendah (0-10 dB) tepatnya saat  $\text{SNR} = 2 \text{ dB}$ , metode FDB dengan kanal IRF dengan BER sebesar 0,4601 berada sedikit diatas metode FDB dengan kanal URLOS dengan BER sebesar 0,4484. Saat  $\text{SNR} = 6 \text{ dB}$ , metode FDB dengan kanal IRF mulai menunjukkan penurunan BER yang signifikan dengan BER sebesar 0,1401, sedangkan metode FDB dengan kanal URLOS hanya mengalami sedikit penurunan dengan BER sebesar 0,3461. Pada saat SNR sedang (10-20 dB), saat  $\text{SNR} = 14 \text{ dB}$ , metode FDB dengan kanal IRF telah mencapai titik BER yang paling rendah yang dicapainya yaitu pada BER sebesar 0,00025, sedangkan metode FDB dengan kanal URLOS masih memiliki BER yang tinggi yaitu sebesar 0,2074. Pada saat SNR tinggi (20-30m dB) saat  $\text{SNR} = 22 \text{ dB}$ , metode FDB dengan kanal IRF masih konstan berada di titik terendahnya yakni BER sebesar 0,00025 yang terus konstan hingga mencapai  $\text{SNR} = 30 \text{ dB}$ . Sedangkan metode FDB dengan kanal URLOS baru mencapai titik yang paling rendah yang bisa dicapai pada saat  $\text{SNR} = 22 \text{ dB}$  dengan BER sebesar 0,00025 yang terus konstan hingga  $\text{SNR} = 30 \text{ dB}$ .

Dari Gambar 4.7 dan Tabel 4.7 dapat diketahui bahwa secara keseluruhan rata-rata kinerja SE dari metode FDB dengan kanal IRF lebih baik dibandingkan dengan metode FDB dengan kanal URLOS. Juga pada

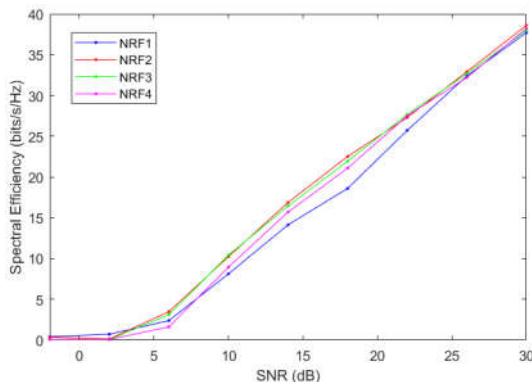
gambar 4.8 dan tabel 4.8 dapat diketahui bahwa metode FDB dengan kanal IRF memiliki kemungkinan error yang kecil sejak SNR = 14 dB hingga SNR = 30 dB, dengan BER sebesar 0,00025. Sedangkan untuk metode FDB pada kanal URLOS memiliki kemungkinan error yang kecil sejak SNR = 24 dB hingga SNR = 30 dB.

### 4.3 Perbandingan kinerja metode HB pada kanal IRF dan URLOS yang memiliki perbedaan jumlah RF *Chain*, jumlah antena pemancar, dan jumlah antena penerima

Pada bagian ini akan ditampilkan perbandingan simulasi kinerja SE pada kanal IRF dan URLOS yang dibandingkan dengan menggunakan perbedaan jumlah NRF, jumlah antena pemancar, dan jumlah antena penerima. Hasil dari simulasi akan dibandingkan kinerjanya dengan menggunakan parameter *spectrum efficiency* (SE) *versus signal-to-noise ratio* (SNR).

#### 4.3.1 Perbandingan metode HB dengan perbedaan jumlah RF *Chain* menggunakan kanal IRF

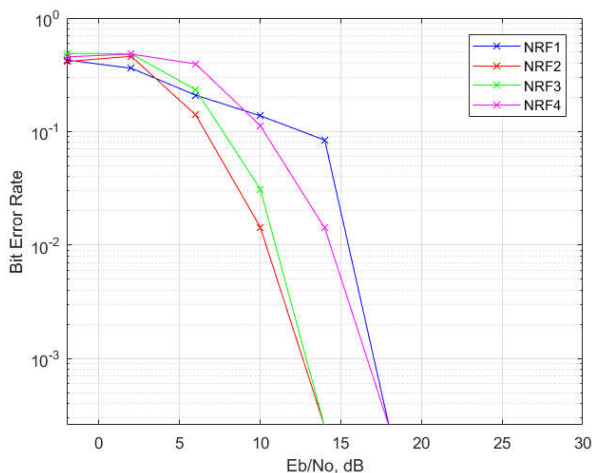
Pada simulasi ini akan dibandingkan kinerja SE yang memiliki perbedaan jumlah RF chain menggunakan kanal IRF. Pengujian ini memiliki tujuan untuk menguji kinerja dari SE apabila memiliki jumlah RF *chain* yang melebihi FDB (NRF2 = 2\*Ns). Jumlah pemancar yang digunakan adalah sebanyak 64, jumlah antena penerima yang digunakan adalah sebanyak 4, dan jumlah RF *chain* yang digunakan adalah NRF1 = 1\*N, NRF2 = 2\*Ns, NRF3 = 3\*Ns, dan NRF4 = 4\*Ns.



**Gambar 4.9** Grafik perbandingan kinerja SE pada kanal IRF dengan menggunakan beda jumlah RF *chain*

**Tabel 4.9** Data SE pada kanal IRF dengan perbedaan jumlah RF *chain*

SNR	Spectral Efficiency			
	NRF1	NRF2	NRF3	NRF4
-2	0,4223	0,3686	0,08338	0,08717
2	0,7246	0,1458	0,06314	0,09251
6	2,39	3,488	3,133	1,615
10	8,132	10,23	10,42	8,963
14	14,14	16,88	16,44	15,71
18	18,6	22,53	21,93	21,09
22	25,72	27,29	27,67	27,51
26	32,39	32,91	32,66	32,2
30	37,71	38,61	37,98	38,21



**Gambar 4.10** Grafik perbandingan kinerja BER pada kanal IRF dengan menggunakan beda jumlah RF *chain*

**Tabel 4.10** Data BER pada kanal IRF dengan perbedaan jumlah RF *chain*

SNR	BER			
	NRF1	NRF2	NRF3	NRF4
-2	0,4272	0,4143	0,4878	0,4552
2	0,3613	0,4601	0,4842	0,481
6	0,2091	0,1401	0,2335	0,3942
10	0,1378	0,01436	0,03106	0,1129
14	0,084	0,00025	0,00025	0,01411
18	0,00025	0,00025	0,00025	0,00025
22	0,00025	0,00025	0,00025	0,00025
26	0,00025	0,00025	0,00025	0,00025
30	0,00025	0,00025	0,00025	0,00025

Dari Gambar 4.9 dan Tabel 4.9, dapat diamati bahwa pada saat SNR rendah (0-10 dB) rata-rata kinerja SE dari NRF3 dengan rata-rata kinerja SE sebesar 4,53871 bits/s/Hz lebih tinggi dibanding dengan yang lain, disusul oleh rata-rata kinerja SE NRF1 dengan rata-rata kinerja SE sebesar 3,74887 bits/s/Hz, kemudian disusul oleh rata-rata kinerja SE NRF4 sebesar 3,55684 bits/s/Hz, dan yang paling memiliki kinerja paling rendah pada SNR rendah adalah NRF2 dengan rata-rata kinerja SE sebesar 0,0486. Pada saat SNR sedang (10-20 dB) dapat diamati bahwa rata-rata kinerja SE yang paling tinggi adalah NRF2 sebesar 19,705 bits/s/Hz, kemudian disusul oleh rata-rata kinerja SE NRF3 sebesar 19,185 bits/s/Hz, lalu rata-rata kinerja SE NRF4 sebesar 18,4 bits/s/Hz, dan rata-rata kinerja SE yang paling rendah adalah rata-rata kinerja SE NRF1 sebesar 16,37 bits/s/Hz. Pada saat SNR tinggi (20-30 dB) dapat diamati bahwa rata-rata kinerja SE yang paling tinggi adalah rata-rata kinerja SE NRF2 sebesar 32,9367 bits/s/Hz, kemudian disusul oleh rata-rata kinerja SE NRF3 sebesar 32,77 bits/s/Hz, lalu rata-rata kinerja SE NRF4 sebesar 32,64 bits/s/Hz, dan yang memiliki rata-rata kinerja SE paling rendah adalah NRF1 sebesar 31,94 bits/s/Hz. Dapat diamati juga, secara menyeluruh dari SNR 0 hingga 30 dB, rata-rata kinerja SE NRF2 lebih unggul dibanding yang lain dengan rata-rata kinerja SE sebesar 19,0105 bits/s/Hz, disusul oleh rata-rata kinerja SE NRF3 sebesar 18,787 bits/s/Hz, kemudian rata-rata kinerja SE NRF4 sebesar 18,1738 bits/s/Hz, dan yang paling rendah adalah rata-rata kinerja SE dari NRF1 sebesar

17,4758 bits/s/Hz. Jika melihat Gambar 4.9, kita dapat mengetahui bahwa kinerja SE dari NRF3 dan NRF4 hampir mendekati NRF2, akan tetapi telah diamati melalui rata-rata dari 0 hingga 30 dB bahwa rata-rata kinerja SE yang paling baik dimiliki oleh NRF2 (FDB), disusul oleh NRF3, NRF4, dan yang terakhir NRF1(HB).

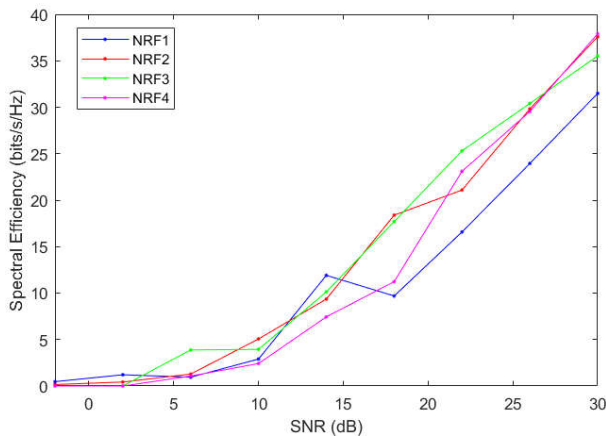
Kemdian dapat diamati grafik BER pada Gambar 4.10 dan data BER dari Tabel 4.10. Pada SNR rendah (0-10 dB) dapat dilihat pada saat SNR = 2 dB, keempat model *precoding* belum menunjukkan perbedaan yang signifikan, dapat dilihat NRF1 memiliki BER sebesar 0,3613, NRF2 memiliki BER sebesar 0,4601, NRF3 memiliki BER sebesar 0,4842, dan NRF4 memiliki BER sebesar 0,481. Akan tetapi saat SNR = 10, sudah bisa dilihat penurunan yang cukup signifikan. Jika dibandingkan, maka saat SNR = 10 dengan NRF2 memiliki BER yang paling rendah dibanding lainnya dengan BER sebesar 0,01436, kemudian disusul oleh NRF3 yang memiliki BER sebesar 0,03106 yang berada sedikit diatas NRF2, lalu disusul oleh NRF4 dengan BER sebesar 0,1129 dan NRF1 dengan BER sebesar 0,1378 yang mana masih memiliki kemungkinan tingkat kesalahan yang cukup tinggi. Pada saat SNR sedang (10-20 dB) saat SNR = 14 dB, dapat dilihat bahwa NRF2 dan NRF3 lebih dulu mencapai titik BER yang paling rendah yang dapat dicapainya yaitu BER sebesar 0,00025. Sedangkan NRF4 dan NRF1 masih memiliki BER yang cukup tinggi dimana BER NRF4 = 0,01411 yang kemudian disusul oleh NRF1 dengan BER 0,084. Pada saat SNR = 18 dB, semua model *precoding* dengan beda jumlah RF *chain* untuk NRF1 dan NRF4 telah mencapai titik BER paling rendah di 0,00025, juga NRF2 dan NRF3 masih berada pada titik itu, dan keseluruhan model *precoding* dengan beda RF *chain* konstan hingga SNR tinggi (SNR = 30 dB).

Dari pengamatan terhadap Gambar 4.9, Tabel 4.9, Gambar 4.10, dan Tabel 4.10, dapat diketahui bahwa penambahan jumlah RF *chain* pada pemancar tidak terlalu memiliki dampak yang signifikan terhadap kinerja SE, juga dapat dilihat tidak memiliki dampak yang signifikan terhadap pengujian BER.

#### **4.3.2 Perbandingan metode HB dengan perbedaan jumlah RF Chain menggunakan kanal URLOS**

Pada simulasi ini akan dibandingkan kinerja SE yang memiliki perbedaan jumlah RF *chain* menggunakan kanal URLOS. Pengujian ini memiliki tujuan untuk menguji kinerja dari SE apabila memiliki jumlah RF *chain* yang melebihi FDB (NRF2 = 2\*N<sub>s</sub>) yang kemudian akan dibandingkan dengan kinerja dari metode HB dan FDB. Jumlah pemancar

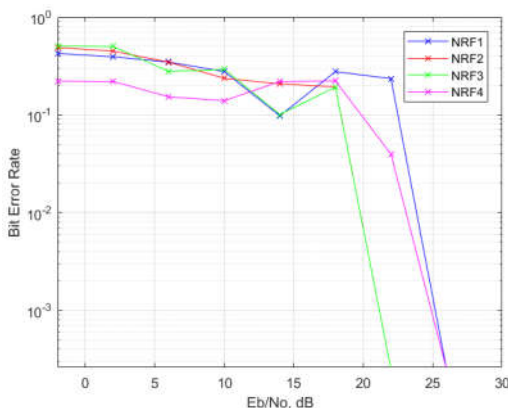
yang digunakan adalah sebanyak 64, jumlah antena penerima yang digunakan adalah sebanyak 4, dan jumlah RF *chain* yang digunakan adalah NRF1 = 1\*N, NRF2 = 2\*Ns, NRF3 = 3\*Ns, dan NRF4 = 4\*Ns.



**Gambar 4.11** Grafik perbandingan kinerja SE pada kanal URLOS dengan menggunakan beda jumlah RF *chain*

**Tabel 4.11** Data SE pada kanal URLOS dengan perbedaan jumlah RF *chain*

SNR	Spectral Efficiency			
	NRF1	NRF2	NRF3	NRF4
-2	0,4716	0,1572	0	0
2	1,206	0,4304	0	0
6	0,9474	1,283	3,879	1,07
10	2,897	5,062	3,938	2,416
14	11,91	9,355	10,12	7,437
18	9,687	18,39	17,7	11,23
22	16,58	21,08	25,3	23,1
26	23,95	29,82	30,41	29,54
30	31,49	37,58	35,51	37,9



**Gambar 4.12** Grafik perbandingan kinerja BER pada kanal URLOS dengan menggunakan beda jumlah RF *chain*

**Tabel 4.12** Data BER pada kanal URLOS dengan perbedaan jumlah RF *chain*

SNR	BER			
	NRF1	NRF2	NRF3	NRF4
-2	0,4254	0,4882	0,5065	0,2215
2	0,3922	0,4484	0,4995	0,2196
6	0,3462	0,3461	0,2779	0,1529
10	0,2772	0,2364	0,2915	0,1394
14	0,09769	0,2074	0,1007	0,2194
18	0,2766	0,1934	0,1921	0,2226
22	0,2346	0,00025	0,00025	0,03958
26	0,00025	0,00025	0,00025	0,00025
30	0,00025	0,00025	0,00025	0,00025

Pada Gambar 4.11 dan Tabel 4.11 dapat diamati bahwa untuk SNR rendah (0-10 dB), rata-rata kinerja yang paling tinggi ditempati oleh NRF3 dengan rata-rata kinerja SE sebesar 2,60567 bits/s/Hz, kemudian dibawanya ditempati oleh NRF2 dengan rata-rata kinerja SE sebesar 2,25847 bits/s/Hz, lalu NRF1 dengan rata-rata kinerja SE sebesar 1,68347 bits/s/Hz, dan NRF4 dengan rata-rata kinerja SE sebesar 1,162 bits/s/Hz. Pada SNR sedang (10-20 dB) rata-rata kinerja SE NRF3 sebesar 13,91

bits/s/Hz menempati urutan kinerja yang paling tinggi, kemudian NRF2 yang memiliki selisih sedikit dengan rata-rata kinerja SE sebesar 13,8725 bits/s/Hz, lalu NRF1 yang memiliki rata-rata kinerja SE sebesar 10,7985 bits/s/Hz, dan yang paling rendah adalah NRF4 dengan rata-rata kinerja SE sebesar 9,3335 bits/s/Hz. Pada SNR tinggi (20-30 dB) rata-rata kinerja SE NRF3 berada yang paling tinggi dengan rata-rata kinerja SE sebesar 30,4067 bits/s/Hz, kemudian NRF4 dengan rata-rata kinerja SE sebesar 30,18 bits/s/Hz, NRF1 dengan rata-rata kinerja SE 24,0067 bits/s/Hz, dan NRF2 dengan besar rata-rata kinerja SE 22,4667 bits/s/Hz. Jika diamati dari SNR 0 dB sampai 30 dB, maka rata-rata kinerja SE tertinggi adalah saat menggunakan 3 RF *chain* (NRF3) dengan rata-rata kinerja SE sebesar 15,8571 bits/s/Hz, diikuti oleh NRF4 yang memiliki rata-rata kinerja SE sebesar 14,0866 bits/s/Hz, lalu NRF2 dengan rata-rata kinerja SE sebesar 12,7401 bits/s/Hz, dan yang paling rendah adalah NRF1 dengan rata-rata kinerja SE sebesar 12,3334 bits/s/Hz.

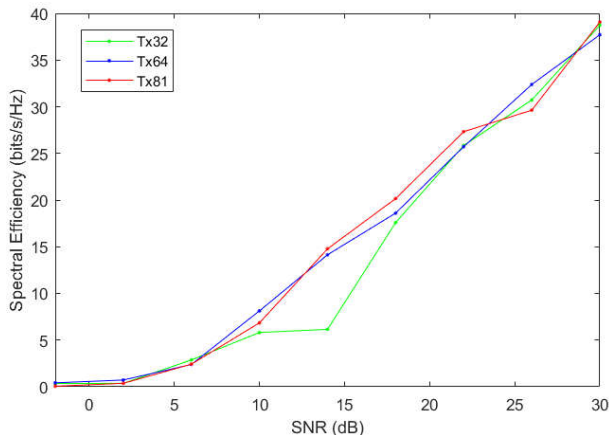
Kemudian mengamati Gambar 4.12 dan Tabel 4.12, saat SNR rendah (0-10 dB) saat  $\text{SNR} = 2 \text{ dB}$ , NRF4 memiliki BER yang paling rendah dibanding lainnya dengan BER sebesar 0,2196, sementara diatasnya terdapat NRF1 dengan BER sebesar 0,3922, NRF2 dengan BER sebesar 0,4484, dan yang paling tinggi NRF3 dengan BER sebesar 0,4995. Saat  $\text{SNR} = 10 \text{ dB}$ , NRF4 masih memiliki BER yang paling rendah dibanding lainnya dengan BER sebesar 0,1394, kemudian diatasnya terdapat NRF2 dengan BER sebesar 0,2364, lalu NRF1 dengan BER sebesar 0,2772, dan yang paling tinggi adalah NRF3 dengan BER sebesar 2,915. Dari sini dapat dilihat bahwa untuk SNR rendah, NRF4 paling stabil meskipun angka BERnya masih cukup tinggi, sedangkan untuk NRF1, NRF2, dan NRF3, masih memiliki angka BER yang belum konstan/stabil dan memiliki BER yang tinggi. Saat SNR sedang (10-20 dB) saat  $\text{SNR} = 14 \text{ dB}$ , kinerja BER yang paling rendah dimiliki oleh NRF1 dengan besar BER 0,09769 yang memiliki sedikit selisih dengan NRF3 dengan BER sebesar 0,1007, kemudian NRF2 yang berada diatas NRF1 dan NRF3 dengan BER sebesar 0,2074, dan yang paling besar adalah BER dari NRF4 dengan besar BER sebesar 0,2194. Kemudian pada saat  $\text{SNR} = 18 \text{ dB}$ , BER paling rendah adalah NRF3 dengan BER sebesar 0,1921, disusul NRF2 dengan BER sebesar 0,1934, lalu NRF4 dengan BER sebesar 0,2226, dan yang paling tinggi adalah NRF1 dengan BER sebesar 0,2766. Pada saat SNR tinggi (20-30 dB), saat  $\text{SNR} = 22 \text{ dB}$ , NRF2 dan NRF3 telah mencapai titik paling rendah yang dapat dicapainya dengan BER sebesar 0,00025 dan konstan hingga  $\text{SNR} = 30 \text{ dB}$ .

dB. Sedangkan pada SNR = 22 dB, untuk NRF4 dengan BER sebesar 0,03958 berada di bawah NRF1 dengan BER 0,2346 yang mana angka BER nya masih cukup tinggi. NRF1 dan NRF4 baru mencapai BER terendah pada SNR = 26 dB dengan BER sebesar 0,00025 yang konstan hingga SNR = 30 dB.

Dari hasil pengamatan Gambar 4.11, Tabel 4.11, Gambar 4.12, dan Tabel 4.12, dapat dilihat bahwa penambahan RF *chain* pada kanal URLOS untuk NRF3 dan NRF4 mendapat rata-rata kinerja SE yang lebih baik dibanding dengan NRF2 (FDB) dan NRF1 (HB), akan tetapi untuk BER, NRF3 memiliki angka BER yang lebih rendah dibanding NRF2 (FDB) pada SNR sedang dan SNR tinggi, sedangkan NRF4 memiliki BER diatas NRF1 (HB) namun masih dibawah NRF2 (FDB) dan NRF3.

#### 4.3.3 Perbandingan metode HB dengan perbedaan jumlah antena pemancar pada kanal IRF

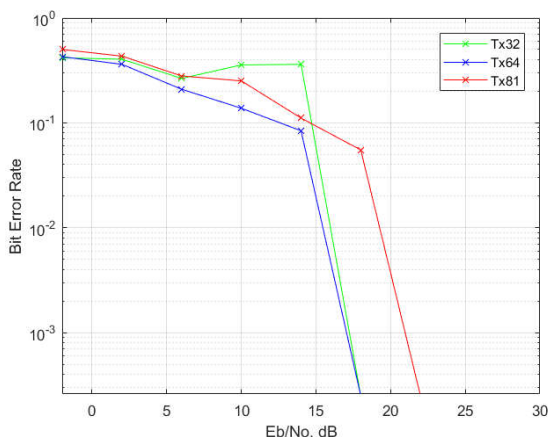
Pada bagian ini akan dibandingkan kinerja dari jumlah antena pemancar menggunakan metode *hybrid* pada kanal IRF. Jumlah antena pemancar yang digunakan adalah 81 (Tx81), 64 (Tx64), dan 32 (Tx32) antena. Menggunakan RF *chain* sebanyak 1\*N<sub>s</sub>, dan menggunakan 4 antena penerima.



**Gambar 4.13** Grafik perbandingan kinerja SE pada kanal IRF dengan menggunakan beda jumlah antena pemancar

**Tabel 4.13** Data SE pada kanal IRF dengan perbedaan jumlah antena pemancar

SNR	Spectral Efficiency		
	Tx32	Tx64	Tx81
-2	0,351	0,4223	0,05848
2	0,3677	0,7246	0,3707
6	2,875	2,39	2,421
10	5,817	8,132	6,849
14	6,151	14,14	14,77
18	17,59	18,6	20,16
22	25,84	25,72	27,33
26	30,72	32,39	29,63
30	38,73	37,71	39,07



**Gambar 4.14** Grafik perbandingan kinerja BER pada kanal IRF dengan menggunakan beda jumlah antena

**Tabel 4.14** Data BER pada kanal IRF dengan perbedaan jumlah antena pemancar

SNR	BER		
	Tx32	Tx64	Tx81
-2	0,417	0,4272	0,5003
2	0,4041	0,3613	0,4328

6	0,2652	0,2091	0,2799
10	0,3565	0,1378	0,2511
14	0,3612	0,084	0,111
18	0,00025	0,00025	0,05514
22	0,00025	0,00025	0,00025
26	0,00025	0,00025	0,00025
30	0,00025	0,00025	0,00025

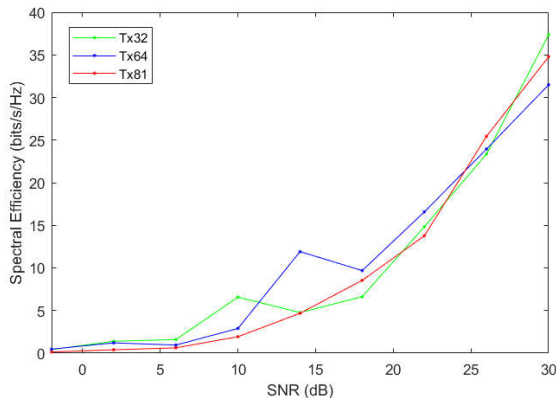
Pada Gambar 4.13 dan Tabel 4.13, dapat diamati bahwa pada saat SNR rendah (0-10 dB) rata-rata kinerja SE dari Tx32 adalah 3,0199 bits/s/Hz, yang berada dibawah Tx81 dengan rata-rata kinerja SE sebesar 3,21357 bits/s/Hz dan dibawah Tx64 dengan rata-rata kinerja SE sebesar 3,74887 bits/s/Hz. Saat SNR sedang (10-20 dB) rata-rata kinerja SE Tx32 sebesar 11,8705 bits/s/Hz dibawah rata-rata kinerja SE Tx64 sebesar 16,37 bits/s/Hz, juga dibawah rata-rata kinerja SE Tx81 sebesar 17,465 bits/s/Hz. Kemudian untuk SNR tinggi (20-30 dB) rata-rata kinerja SE Tx32 berada paling bawah dengan rata-rata kinerja sebesar 31,7633 bits/s/Hz, kemudian diatasnya terdapat rata-rata kinerja SE dari Tx64 sebesar 31,94 bits/s/Hz, dan yang paling tinggi adalah rata-rata kinerja SE dari Tx81 sebesar 32,01 bits/s/Hz. Jika dilihat pada saat SNR 0 dB hingga 30 dB, maka rata-rata kinerja SE yang paling kecil adalah rata-rata kinerja SE dari Tx32 sebesar 16,0113 bits/s/Hz, kemudian diatasnya terdapat rata-rata kinerja SE dari Tx64 sebesar 17,4758 bits/s/Hz, dan yang paling tinggi adalah rata-rata kinerja SE Tx81 sebesar 17,5751 bits/s/Hz.

Pada Gambar 4.14 dan Tabel 14.14 dapat dilihat saat SNR rendah (0-10 dB) saat  $\text{SNR} = 10 \text{ dB}$ , Tx64 memiliki angka BER yang paling kecil yaitu sebesar 0,1378, kemudian diatasnya terdapat Tx81 dengan BER sebesar 0,2511, dan yang tertinggi adalah Tx32 dengan BER sebesar 0,3565. Saat SNR sedang (10-20 dB) dapat dilihat bahwa saat  $\text{SNR} = 14 \text{ dB}$ , Tx64 dengan BER sebesar 0,084 merupakan angka BER yang paling kecil yang kemudian diatasnya terdapat BER dari Tx81 sebesar 0,111, dan yang paling tinggi adalah BER dari Tx32 sebesar 0,3612. Pada saat  $\text{SNR} = 18 \text{ dB}$ , Tx32 dan Tx64 lebih dulu mencapai titik BER yang paling rendah yang bisa dicapai, yakni 0,00025, sedangkan Tx81 masih memiliki BER yang cukup tinggi di angka 0,05514. Untuk SNR tinggi (20-30 dB), pada saat SNR 22, Tx81 baru mencapai titik terendah yang bisa dicapai dengan BER sebesar 0,00025, dan ketiganya memiliki BER yang konstan di angka 0,00025 hingga SNR = 30 dB.

Jika mengamati Gambar 4.13 dan Tabel 4.13 menunjukkan bahwa semakin banyak jumlah antena pemancar, maka rata-rata kinerja SE yang didapat juga semakin tinggi. Sedangkan jika melihat Gambar 4.14 dan Tabel 4.14 menunjukkan bahwa Tx64 memiliki kinerja yang terbaik dibanding Tx32 dan Tx81.

#### 4.3.4 Perbandingan menggunakan metode HB dengan perbedaan jumlah antena pemancar pada kanal URLOS

Pada bagian ini akan dibandingkan kinerja dari jumlah antena pemancar menggunakan metode *hybrid* pada kanal URLOS. Jumlah antena pemancar yang digunakan adalah 81 (Tx81), 64 (Tx64), dan 32 (Tx32) antena. Menggunakan RF *chain* sebanyak  $1^*N_s$ , dan menggunakan 4 antena penerima.

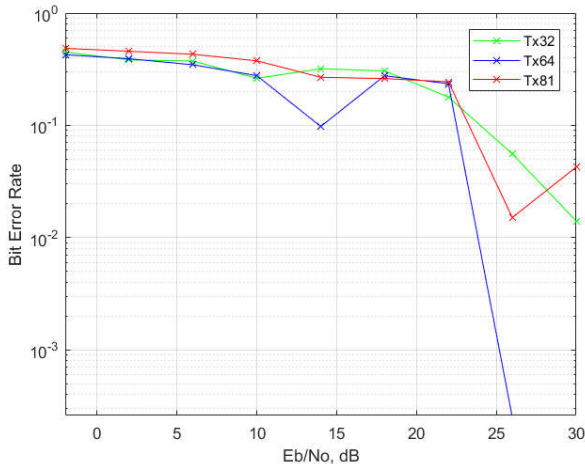


**Gambar 4.15** Grafik perbandingan kinerja SE pada kanal URLOS dengan menggunakan beda jumlah antena pemancar

**Tabel 4.15** Data SE pada kanal URLOS dengan perbedaan jumlah antena pemancar

SNR	Spectral Efficiency		
	Tx32	Tx64	Tx81
-2	0,4207	0,4716	0,1373
2	1,395	1,206	0,394
6	1,592	0,9474	0,6221
10	6,57	2,897	1,927
14	4,762	11,91	4,681

18	6,626	9,687	8,544
22	14,84	16,58	13,79
26	23,35	23,95	25,43
30	37,35	31,49	34,78



**Gambar 4.16** Grafik perbandingan kinerja BER pada kanal URLOS dengan menggunakan beda jumlah antena pemancar

**Tabel 4.16** Data BER pada kanal URLOS dengan perbedaan jumlah antena pemancar

SNR	BER		
	Tx32	Tx64	Tx81
-2	0,4497	0,4254	0,48583
2	0,3834	0,3922	0,4569
6	0,3737	0,3462	0,4296
10	0,2626	0,2772	0,3755
14	0,3193	0,09769	0,268
18	0,3053	0,2766	0,2609
22	0,01787	0,2346	0,2444
26	0,05564	0,00025	0,01508
30	0,01406	0,00025	0,04247

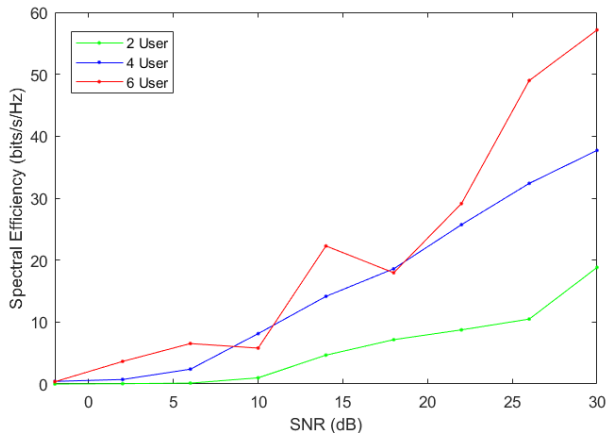
Dapat dilihat pada Gambar 4.15 dan Tabel 4.15, dapat diamati pada saat SNR rendah (0-10 dB), rata-rata kinerja SE untuk Tx32 adalah sebesar 3,18567 bits/s/Hz, sedangkan rata-rata kinerja SE untuk Tx64 adalah sebesar 1,68347 bits/s/Hz, dan untuk Tx81 memiliki rata-rata kinerja SE sebesar 0,98103 bits/s/Hz. Saat SNR sedang (10-20 dB), rata-rata kinerja SE untuk Tx32 adalah sebesar 5,694 bits/s/Hz, sedangkan rata-rata kinerja SE untuk Tx64 adalah sebesar 10,7985 bits/s/Hz, dan rata-rata kinerja SE untuk Tx81 adalah sebesar 6,6125 bits/s/Hz. Untuk SNR tinggi (20-30 dB) rata-rata kinerja SE untuk Tx32 adalah 25,18 bits/s/Hz, sedangkan rata-rata kinerja SE untuk Tx64 adalah 24,0067 bits/s/Hz, dan rata-rata kinerja SE untuk Tx81 adalah 24,6667 bits/s/Hz. Dari sini dapat diketahui bahwa untuk SNR rendah, rata-rata kinerja SE Tx32 lebih baik dibanding yang lain, untuk SNR sedang rata-rata kinerja SE Tx64 lebih baik dibanding yang lain, dan untuk SNR tinggi rata-rata kinerja SE Tx32 adalah yangh paling baik dibanding yang lain. Kemudian untuk SNR 0 dB hingga 30 dB, Tx64 memiliki rata-rata kinerja SE paling baik yaitu sebesar 12,3334 bits/s/Hz, disusul oleh Tx32 dengan rata-rata kinerja SE sebesar 12,0606 bits/s/Hz, dan yang paling rendah adalah rata-rata kinerja SE dari Tx81 yaitu sebesar 11,271 bits/s/Hz.

Dapat dilihat pada Gambar 4.16 dan Tabel 4.16, dapat diamati pada saat SNR rendah (0-10 dB), pada SNR = 10 dB, Tx32 memiliki BER yang paling rendah yaitu sebesar 0,2626, kemudian Tx64 memiliki BER sebesar 0,2772, sedangkan Tx81 memiliki BER yang paling tinggi yaitu 0,3755. Pada saat SNR sedang (10-20 dB), pada SNR = 14 dB, Tx64 memiliki BER sebesar 0,09769 yang merupakan yang paling kecil walaupun masih memiliki tingkat kemungkinan error yang tinggi, kemudian Tx81 yang memiliki BER sebesar 0,268 yang berada diatas Tx64, dan Tx32 memiliki BER sebesar 0,3193. Kemudian saat SNR tinggi (20-30 dB) pada saat SNR = 26 dB, Tx64 telah mencapai titik terendah yang bisa dicapainya yaitu 0,00025 dan terus konstan hingga SNR = 30 dB. Sementara pada saat SNR = 26 dB, Tx81 yang memiliki BER sebesar 0,01508 berada di bawah Tx32 dengan BER 0,05564. Saat SNR = 30 dB, Tx32 memiliki BER sebesar 0,01406, sementara Tx81 memiliki BER sebesar 0,04247.

Dari Gambar 4.15, Tabel 4.15, Gambar 4.16, dan Tabel 4.16 dapat diamati bahwa pemancar dengan jumlah 64 antena lebih baik dari segi rata-rata kinerja SE dan angka BER dibandingkan dengan jumlah antena 32 dan antena 81 pada kanal URLOS.

#### 4.3.5 Perbandingan menggunakan metode HB dengan perbedaan jumlah user/antena penerima pada kanal IRF

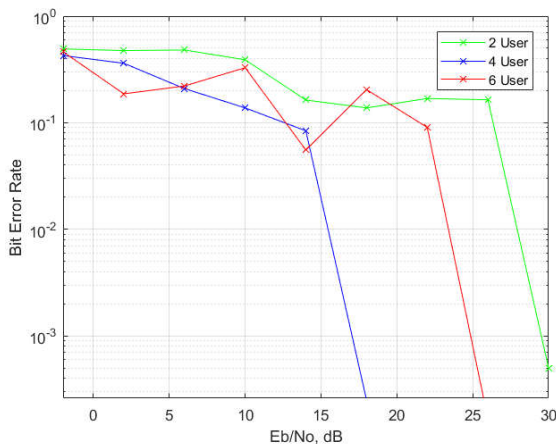
Pada bagian ini akan ditampilkan perbandingan metode HB dengan perbedaan jumlah user. Jumlah antena pemancar yang digunakan adalah 64, jumlah RF *chain* yang digunakan adalah  $1^*N_s$ , sementara jumlah antena penerima yang digunakan adalah 2 user, 4 user, dan 6 user.



**Gambar 4.17** Grafik perbandingan kinerja SE pada kanal IRF dengan menggunakan beda jumlah antena penerima

**Tabel 4.17** Data SE pada kanal IRF dengan perbedaan jumlah antena penerima

SNR	Spectral Efficiency		
	2 User	4 User	8 User
-2	0	0,4223	0,3678
2	0,04838	0,7246	3,643
6	0,1429	2,39	6,53
10	0,9937	8,132	5,795
14	4,656	14,14	22,29
18	7,158	18,6	17,96
22	8,741	25,72	29,13
26	10,48	32,39	48,99
30	18,81	37,71	57,51



**Gambar 4.18** Grafik perbandingan kinerja BER pada kanal IRF dengan menggunakan beda jumlah antena penerima

**Tabel 4.18** Data BER pada kanal IRF dengan perbedaan jumlah antena penerima

SNR	BER		
	2 User	4 User	8 User
-2	0,4928	0,4272	0,4627
2	0,4754	0,3613	0,1867
6	0,4815	0,2091	0,2213
10	0,3897	0,1378	0,3285
14	0,1633	0,084	0,05544
18	0,1378	0,00025	0,2044
22	0,1689	0,00025	0,09057
26	0,1641	0,00025	0,0001667
30	0,0005	0,00025	0,0001667

Pada Gambar 4.17 dan Tabel 4.17 dapat diamati bahwa pada saat SNR rendah (0-10 dB) saat menggunakan 2 user memiliki rata-rata kinerja SE sebesar 0,39499 bits/s/Hz, sedangkan saat menggunakan 4 user memiliki rata-rata kinerja SE sebesar 3,74887 bits/s/Hz, dan untuk 6 user memiliki rata-rata kinerja SE sebesar 5,532267 bits/s/Hz. Kemudian saat SNR sedang (10-20 dB) rata-rata kinerja SE yang diperoleh pada 2 user adalah 5,907 bits/s/Hz, sedangkan rata-rata kinerja SE yang diperoleh

pada 4 user adalah 16,37 bits/s/Hz, dan untuk 6 user diperoleh rata-rata kinerja SE sebesar 20,125 bits/s/Hz. Pada saat SNR tinggi (20-30 dB), rata-rata kinerja SE yang diperoleh pada 2 user adalah 12,677 bits/s/Hz, sedangkan rata-rata kinerja SE yang diperoleh pada 4 user adalah 31,94 bits/s/Hz, dan untuk 6 user rata-rata kinerja SE yang diperoleh adalah 45,21 bits/s/Hz. Sementara untuk SNR dari 0 dB hingga 30 dB, rata-rata kinerja SE yang diperoleh pada 2 user adalah 6,37875 bits/s/Hz, sedangkan rata-rata kinerja SE yang diperoleh pada 4 user adalah 17,4758 bits/s/Hz, dan untuk 6 user rata-rata kinerja yang diperoleh adalah 23,981 bits/s/Hz.

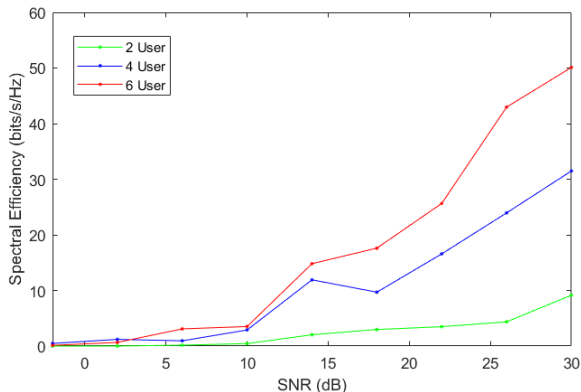
Pada Gambar 4.18 dan tabel 4.18, dapat diamati bahwa pada saat SNR rendah (0-10 dB) tepatnya saat  $\text{SNR} = 10 \text{ dB}$ , BER dari user 2 memiliki angka yang paling tinggi yaitu 0,4754, kemudian terdapat BER dari user 6 di bawah user 2 yang memiliki BER sebesar 0,3285, dan user 4 dengan BER yang paling kecil yaitu 0,1378. Kemudian saat BER sedang (10-20 dB) pada saat  $\text{SNR} = 18 \text{ dB}$ , metode HB dengan 4 user telah mencapai titik BER terendah yang dapat dicapainya yaitu 0,00025 yang konstan hingga  $\text{SNR} = 30 \text{ dB}$ . Kemudian pada saat  $\text{SNR} = 18$ , metode HB dengan 6 user memiliki BER dengan angka yang paling tinggi yaitu 0,2044 dan metode HB dengan 2 user memiliki BER sebesar 0,1378. Pada saat SNR tinggi (20-30 dB), saat  $\text{SNR} = 26 \text{ dB}$ , metode HB dengan user 6 telah mencapai titik yang paling rendah yang dapat dicapai yaitu 0,00017 dan konstan hingga  $\text{SNR} = 30 \text{ dB}$ , sementara metode HB dengan 2 user memiliki BER sebesar 0,1641. Saat  $\text{SNR} = 30 \text{ dB}$ , user 2 telah mencapai BER yang paling rendah yang dapat dicapainya sebesar 0,0005.

Dari Gambar 4.17 dan Tabel 4.17 diamati bahwa metode HB dengan 2 user memiliki rata-rata kinerja SE yang paling bawah, sedangkan untuk metode HB dengan 4 user memiliki rata-rata kinerja SE yang berada di atas user 2, dan yang paling tinggi adalah metode HB dengan 6 user. Meskipun begitu, pada pengamatan Gambar 4.18 dan Tabel 4.18, diketahui bahwa BER yang terbaik dimiliki oleh metode HB dengan 4 user, yang kemudian disusul oleh metode HB dengan 6 user yang baru bisa mencapai kondisi sedikit error pada  $\text{SNR} = 26 \text{ dB}$ , dan yang terburuk adalah metode HB dengan menggunakan 2 user.

#### **4.3.6 Perbandingan menggunakan metode HB dengan perbedaan jumlah user/antena penerima pada kanal URLOS**

Pada bagian ini akan ditampilkan perbandingan metode HB dengan perbedaan jumlah user. Jumlah antena pemancar yang digunakan adalah

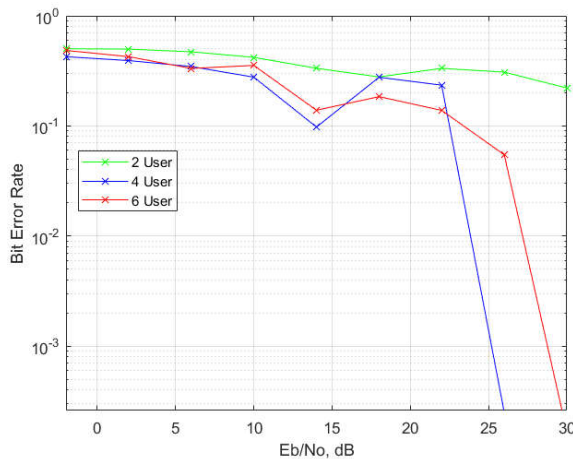
64, jumlah RF *chain* yang digunakan adalah  $1 \times N_s$ , sementara jumlah antena penerima yang digunakan adalah 2 user, 4 user, dan 6 user.



**Gambar 4.19** Grafik perbandingan kinerja SE pada kanal URLOS dengan menggunakan beda jumlah antena penerima

**Tabel 4.19** Data SE pada kanal URLOS dengan perbedaan jumlah antena penerima

SNR	Spectral Efficiency		
	2 User	4 User	8 User
-2	0	0,4716	0,1362
2	0	1,206	0,6535
6	0,1626	0,9474	3,092
10	0,4456	2,897	3,514
14	2,033	11,91	14,82
18	2,979	9,687	17,61
22	3,484	16,58	25,64
26	4,36	23,95	42,97
30	9,15	31,49	50,11



**Gambar 4.20** Grafik perbandingan kinerja BER pada kanal URLOS dengan menggunakan beda jumlah antena penerima

**Tabel 4.20** Data BER pada kanal URLOS dengan perbedaan jumlah antena penerima

SNR	BER		
	2 User	4 User	8 User
-2	0,5026	0,4254	0,4851
2	0,4984	0,3922	0,4259
6	0,4712	0,3462	0,3329
10	0,4198	0,2772	0,3544
14	0,3339	0,09769	0,1389
18	0,2786	0,2766	0,1845
22	0,3334	0,2346	0,1384
26	0,3081	0,00025	0,05467
30	0,221	0,00025	0,0001667

Pada Gambar 4.19 dan Tabel 4.19 dapat diamati bahwa pada saat SNR rendah (0-10 dB) rata-rata kinerja SE dari metode HB dengan 2 user adalah sebesar 0,20273 bits/s/Hz, sedangkan rata-rata kinerja SE dari metode HB dengan 4 user adalah 1,68347 bits/s/Hz, dan untuk 6 user memperoleh rata-rata kinerja SE sebesar 2,41983. Pada saat SNR sedang

(10-20 dB) rata-rata kinerja SE dari metode HB dengan 2 user adalah sebesar 2,506 bits/s/Hz, sedangkan metode HB dengan 4 user memperoleh rata-rata kinerja SE sebesar 10,7985 bits/s/Hz, dan untuk 6 user mendapatkan rata-rata kinerja SE sebesar 16,215 bits/s/Hz. Pada SNR tinggi (20-30 dB) metode HB dengan 2 user memperoleh rata-rata kinerja SE sebesar 5,66467 bits/s/Hz, sedangkan metode HB dengan 4 user memperoleh rata-rata kinerja SE sebesar 24,0067 bits/s/Hz, dan untuk 6 user mendapatkan rata-rata kinerja SE sebesar 39,5733 bits/s/Hz. Sementara untuk SNR dari 0 dB hingga 30 dB, metode HB dengan 2 user memperoleh rata-rata kinerja SE sebesar 2,82678 bits/s/Hz, sedangkan metode HB dengan 4 user memiliki rata-rata kinerja SE sebesar 12,3334 bits/s/Hz, dan untuk 6 user memperoleh rata-rata kinerja SE sebesar 19,8012 bits/s/Hz.

Pada Gambar 4.20 dan Tabel 4.20 dapat diamati pada saat SNR rendah (0-10 dB) saat  $\text{SNR} = 10 \text{ dB}$ , metode HB dengan 2 user memiliki BER sebesar 0,4198, sedangkan metode HB dengan 4 user memiliki BER sebesar 0,2772, dan untuk metode HB dengan 6 user memiliki BER sebesar 0,3544. Pada saat SNR sedang (10-20 dB), saat  $\text{SNR} = 18 \text{ dB}$ , metode HB dengan 2 user memiliki BER sebesar 0,2786, sedangkan metode HB dengan 4 user memiliki BER sebesar 0,2766, dan untuk metode HB dengan 6 user memiliki BER sebesar 0,1845. Pada saat SNR tinggi (20-30 dB) saat  $\text{SNR} = 26 \text{ dB}$ , metode HB dengan user 4 lebih dulu mencapai titik paling rendah yang dapat dicapai yaitu BER sebesar 0.00025 dan terus konstan hingga  $\text{SNR} = 30 \text{ dB}$ . Saat  $\text{SNR} = 26 \text{ dB}$ , metode HB dengan 2 user dan 6 user masih memiliki angka BER yang tinggi yaitu sebesar 0,3081 dan 0,05467. Pada saat  $\text{SNR} = 30 \text{ dB}$ , metode HB dengan 2 user masih memiliki angka BER yang tinggi yaitu sebesar 0,221, sedangkan metode HB dengan 6 user mencapai titik terendah yang bisa dicapai yaitu sebesar 0,00017.

Dari pengamatan Gambar 4.19, dan Tabel 4.19, dapat diketahui bahwa untuk rata-rata kinerja SE yang paling tinggi dicapai oleh metode HB dengan 6 user, kemudian diikuti oleh metode HB dengan 6 user, dan yang paling rendah adalah metode HB dengan 2 user. Meskipun begitu, dapat diamati juga pada Gambar 4.20 dan Tabel 4.20, bahwa metode HB dengan 4 user memiliki angka BER yang paling baik dibanding dengan jumlah antena penerima lainnya.

## 4.4 Tambahan

Pada sub bab ini akan diberikan penjelasan mengenai korelasi kanal, juga akan ditampilkan perbandingan metode HB dengan perbedaan sudut antar pada kanal URLOS yang dibandingkan dengan kanal IRF, perbandingan metode HB dengan perbedaan jumlah antena pemancar pada kanal URLOS, dan pola radiasi.

### 4.4.1 Korelasi Kanal

**Tabel 4.21** Korelasi kanal IRF

Tabel Korelasi Kanal IRF				
	1	2	3	4
1	1	-0,074	0,0504	0,0669
2	-0,074	1	0,0362	0,0476
3	0,0504	0,0362	1	-0,1016
4	0,0669	0,0476	-0,1016	1

**Tabel 4.22** Korelasi kanal URLOS 5 derajat

Tabel Korelasi Kanal URLOS 5 drjt				
	1	2	3	4
1	1	-0,0227	-0,0283	0,0318
2	-0,0227	1	-0,0329	0,0358
3	-0,0283	-0,0329	1	0,066
4	0,0318	0,0358	0,066	1

**Tabel 4.23** Korelasi kanal URLOS 20 derajat

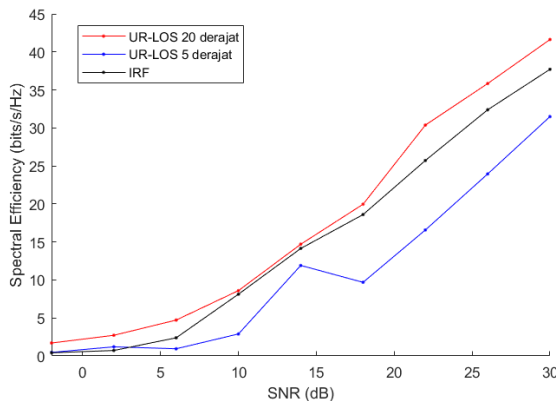
Tabel Korelasi Kanal URLOS 20 drjt				
	1	2	3	4
1	1	0,0304	0	-0,0149
2	0,0304	1	0	0,0049
3	0	0	1	0
4	-0,0149	0,0049	0	1

Pada sub bab berisi data dari korelasi yang terjadi pada masing-masing kanal. Pada tabel 4.21 terdapat data korelasi kanal IRF yang mana

bersifat independen antar elemennya, dimana maksud independen adalah antar kanalnya tidak saling mempengaruhi. Berbeda halnya dengan pada kanal URLOS yang akan saling mempengaruhi. Dapat dilihat pada tabel 4.22 dan 4.23, dapat dilihat serta dibandingkan tiap-tiap elemennya bahwa korelasi pada kanal URLOS 20 derajat lebih kecil jika dibandingkan dengan korelasi pada kanal URLOS 5 derajat. Semakin tinggi nilai dari korelasi kanal, maka kinerja baik SE dan BER akan semakin menurun.

#### 4.4.2 Perbandingan metode HB dengan perbedaan sudut pada kanal URLOS yang dibandingkan dengan kanal IRF

Akan ditampilkan perbandingan antara metode HB pada kanal IRF dengan metode HB pada kanal URLOS 5 derajat dan 20 derajat untuk mengetahui pengaruh dari korelasi kanal.

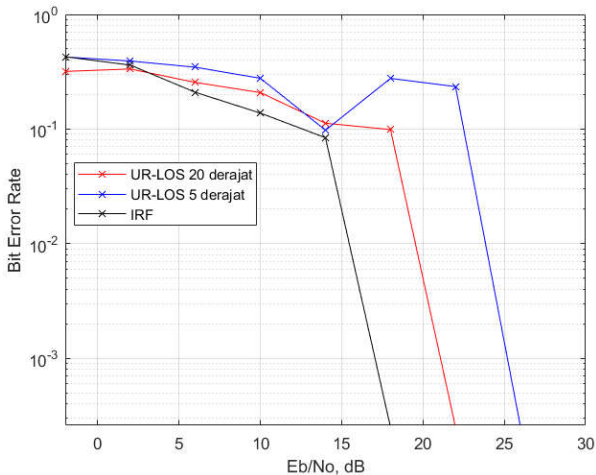


**Gambar 4.21** Grafik perbandingan kinerja SE metode HB pada kanal URLOS 5 derajat, URLOS 20 derajat, dan IRF

**Tabel 4.24** Data perbandingan kinerja SE metode HB pada kanal URLOS 5 derajat, URLOS 20 derajat, dan IRF

SNR	Spectral efficiency		
	IRF	URLOSS5	URLOSS20
-2	0,4223	0,4716	1,705
2	0,7246	1,206	2,721
6	2,39	0,9474	4,723
10	8,132	2,897	8,6

14	14,14	11,91	14,7
18	18,6	9,687	19,96
22	25,72	16,58	30,37
26	32,39	23,95	35,84
30	37,71	31,49	41,63



**Gambar 4.22** Grafik perbandingan kinerja BER metode HB pada kanal URLOS 5 derajat, URLOS 20 derajat, dan IRF

**Tabel 4.25** Data perbandingan kinerja BER metode HB pada kanal URLOS 5 derajat, URLOS 20 derajat, dan IRF

SNR	HB IRF vs URLOS 5,20		
	IRF	URLOS5	URLOS20
-2	0,4272	0,4254	0,3184
2	0,3613	0,3922	0,3342
6	0,2091	0,3462	0,2552
10	0,1378	0,2772	0,2079
14	0,084	0,09769	0,1124
18	0,00025	0,2766	0,09889

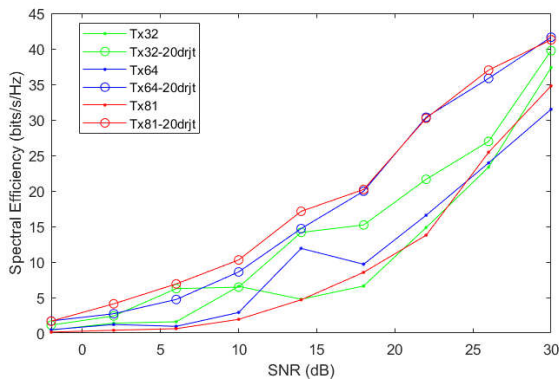
22	0,00025	0,2346	0,00025
26	0,00025	0,00025	0,00025
30	0,00025	0,00025	0,00025

Pada Gambar 4.21 dan Tabel 4.24 dapat dilihat bahwa terdapat peningkatan kinerja pada kanal URLOS 20 derajat dibandingkan dengan kanal URLOS 5 derajat. Hal ini membuktikan bahwa pada simulasi yang dilakukan sebelumnya dengan kanal URLOS 5 derajat terjadi korelasi kanal yang cukup mempengaruhi kinerja dari SE pada kanal URLOS. Dapat dilihat dari Gambar 33 bahwa kanal URLOS 20 derajat memiliki grafik kinerja SE yang paling baik dibandingkan dengan kanal IRF dan kanal URLOS 5 derajat.

Pada Gambar 4.22 dan Tabel 4.25, dapat dilihat bahwa terdapat perbaikan kinerja BER pada kanal URLOS 20 derajat jika dibandingkan dengan kanal URLOS 5 derajat. Dapat dilihat bahwa kinerja BER 0,00025 pada kanal URLOS 20 derajat dapat dicapai sejak SNR 22 dB, sedangkan pada kanal URLOS 5 derajat baru dapat mencapai pada saat SNR 26 dB. Secara keseluruhan kinerja BER IRF adalah yang paling baik jika dengan yang lain, diikuti dengan kinerja BER kanal URLOS 20 derajat, dan yang paling buruk adalah kinerja BER kanal URLOS 5 derajat.

#### **4.4.3 Perbandingan metode HB dengan perbedaan jumlah antena pemancar pada kanal URLOS 5 derajat dan URLOS 20 derajat**

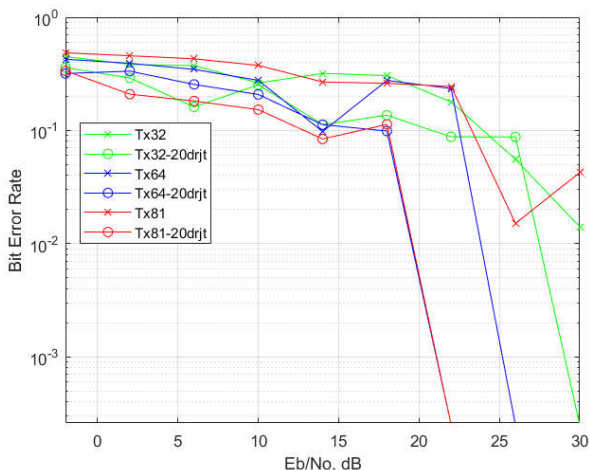
Akan ditampilkan perbandingan antara perbedaan jumlah antena pada kanal URLOS 5 derajat dan URLOS 20 derajat untuk mengetahui pengaruh dari korelasi kanal yang terjadi.



**Gambar 4.23** Grafik perbandingan kinerja SE metode HB dengan beda jumlah antena pemancar pada kanal URLOS 5 derajat dan 20 derajat

**Tabel 4.26** Data perbandingan kinerja SE metode HB dengan beda jumlah antena pemancar pada kanal URLOS 5 derajat dan 20 derajat

SNR	Spectral efficiency					
	32	64	81	32(20)	64(20)	81(20)
-2	0,4207	0,4716	0,1373	1,124	1,705	1,678
2	1,395	1,206	0,394	2,406	2,721	4,116
6	1,592	0,9474	0,6221	6,253	4,723	6,914
10	6,57	2,897	1,927	6,457	8,6	10,29
14	4,762	11,91	4,681	14,17	14,7	17,13
18	6,626	9,687	8,544	15,21	19,96	20,21
22	14,84	16,58	13,79	21,63	30,37	30,22
26	23,35	23,95	25,43	26,97	35,84	37
30	37,35	31,49	34,78	39,74	41,63	41,27



**Gambar 4.24** Grafik perbandingan kinerja SE metode HB dengan beda jumlah antena pemancar pada kanal URLOS 5 derajat dan 20 derajat

**Tabel 4.27** Data perbandingan kinerja SE metode HB dengan beda jumlah antena pemancar pada kanal URLOS 5 derajat dan 20 derajat

SNR	Beda Jumlah Pemancar Kanal URLOS					
	32	64	81	32(20)	64(20)	81(20)
-2	0,4497	0,4254	0,48583	0,3594	0,3184	0,3359
2	0,3834	0,3922	0,4569	0,2911	0,3342	0,2092
6	0,3737	0,3462	0,4296	0,1615	0,2552	0,1819
10	0,2626	0,2772	0,3755	0,2529	0,2079	0,1527
14	0,3193	0,09769	0,268	0,1127	0,1124	0,08408
18	0,3053	0,2766	0,2609	0,1364	0,09889	0,1131
22	0,01787	0,2346	0,2444	0,08772	0,00025	0,00025
26	0,05564	0,00025	0,01508	0,08767	0,00025	0,00025
30	0,01406	0,00025	0,04247	0,00025	0,00025	0,00025

Dapat dilihat pada Gambar 4.23 dan Tabel 4.26 bahwa kinerja SE pada kanal URLOS 20 derajat meningkat pada semua jumlah pemancar

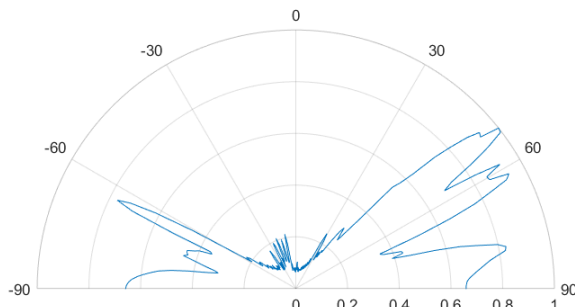
jika dibandingkan dengan kanal URLOS 5 derajat. Hal ini juga membuktikan bahwa simulasi yang dilakukan sebelumnya mengalami korelasi kanal yang membuat kinerja SE semakin menurun.

Dapat dilihat pada Gambar 4.24 dan Tabel 4.27 bahwa terjadi perbaikan kinerja BER pada semua jumlah pemancar pada kanal URLOS 20 derajat jika dibandingkan dengan kinerja BER URLOS 5 derajat. Ini membuktikan bahwa pada saat simulasi BER URLOS 5 derajat terdapat korelasi kanal yang menyebabkan kinerja BER menjadi lebih buruk.

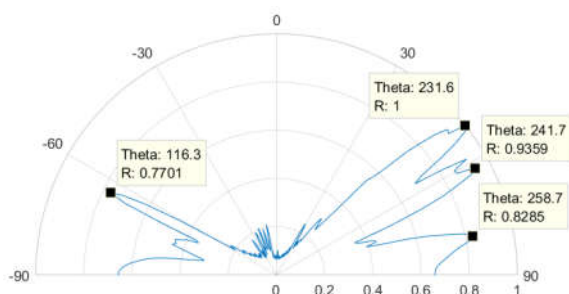
#### 4.4.4 Pola radiasi dari metode HB pada kanal IRF dan pada kanal URLOS 20 derajat

##### 4.4.4.1 Pola radiasi pada kanal IRF

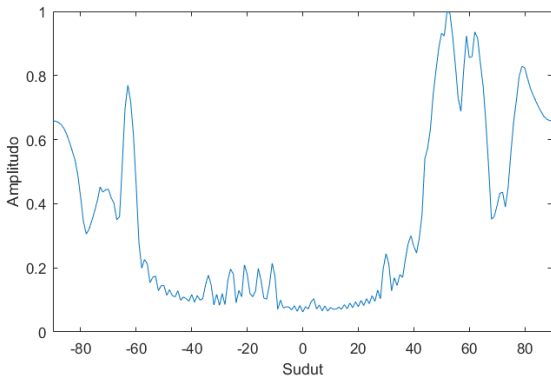
Berikut adalah plot pola radiasi pada kanal IRF:



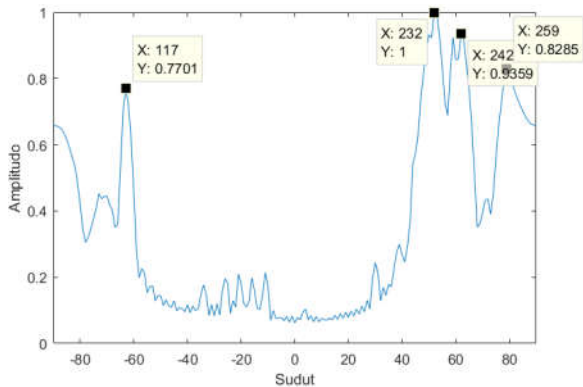
**Gambar 4.25** Plot polar kanal IRF



**Gambar 4.26** Plot polar kanal IRF dengan rekomendasi sudut



**Gambar 4.28** Plot rectangular kanal IRF



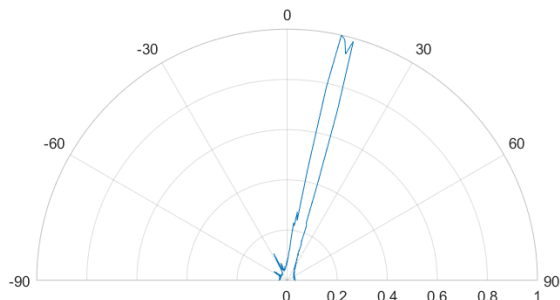
**Gambar 4.27** Plot rectangular kanal IRF dengan rekomendasi sudut

Dapat dilihat pada Gambar 37 dan Gambar 38 adalah plot polar dari pola radiasi kanal IRF, dimana karena pada simulasi ini digunakan jumlah antena penerima sebanyak empat, maka akan diberikan empat rekomendasi lokasi dari antena penerima yang akan mendapatkan pancaran radiasi dengan amplitudo yang tinggi. Karena menggunakan antena ULA (*Uniform Linear Array*) maka arah pancaran pola radiasinya adalah azimuth/horizontal. Pancaran dari ULA adalah dengan rentang derajat -90 hingga 90, dimana pada plot rectangular, -90

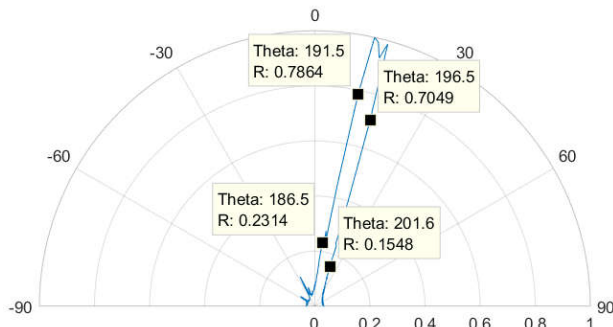
dituliskan dengan 90 derajat, 0 dituliskan dengan 180 derajat, dan 90 dituliskan dengan 270 derajat. Maka rekomendasi sudut yang disarankan adalah -64 derajat yang terletak pada 116,3 derajat pada plot polar dan rectangular, kemudian 51 derajat yang terletak pada 231,6 derajat pada plot polar dan rectangular, selanjutnya 61 derajat yang terletak pada 241,7 derajat pada plot polar dan rectangular, dan yang terakhir adalah 79 derajat yang terletak pada 258,7 pada plot polar dan rectangular.

#### **4.4.4.2 Pola radiasi pada kanal URLOS 5 derajat**

Berikut adalah plot pola radiasi pada kanal URLOS 5 derajat:

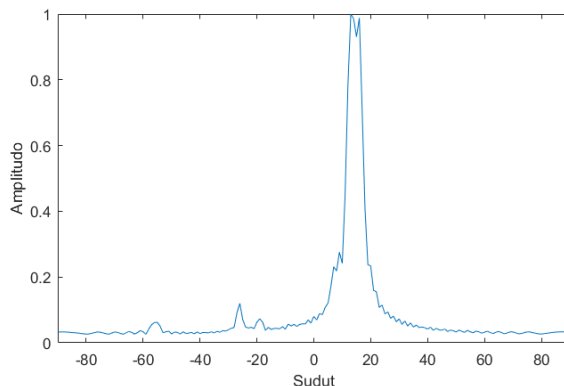


**Gambar 4.29** Plot polar kanal URLOS 5 derajat

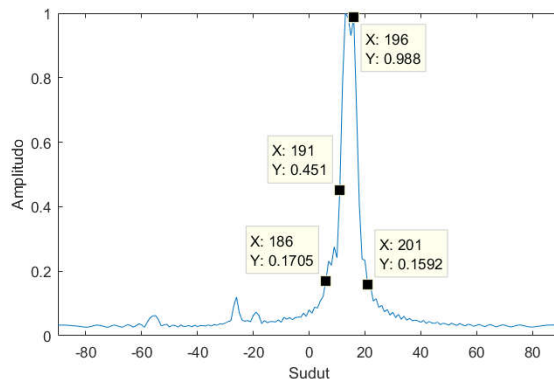


**Gambar 4.30** Plot polar kanal URLOS 5 derajat dengan plot sudut 6, 11, 16, dan 21

Pada kanal URLOS 5 derajat, sudut yang digunakan dalam simulasi adalah 6 derajat yang terletak pada 186 derajat, 11 derajat yang terletak pada 191 derajat, 16 derajat yang terletak pada 196 derajat, dan 21 derajat yang terletak pada 201 derajat.



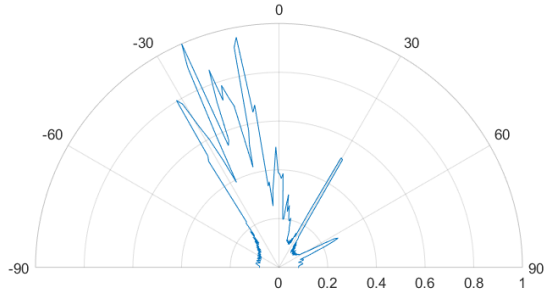
**Gambar 4.31** Plot rectangular kanal URLOS 5 derajat



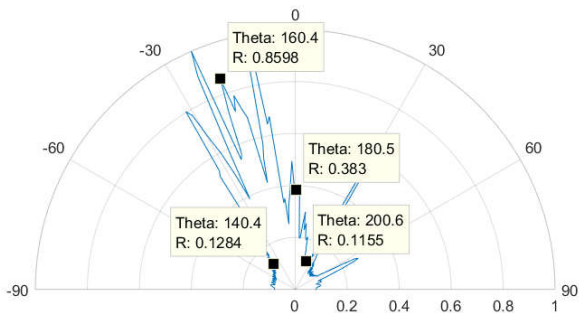
**Gambar 4.32** Plot rectangular kanal URLOS 5 derajat dengan plot sudut 6, 11, 16, dan 21

#### 4.4.4.3 Pola radiasi pada kanal URLOS 20 derajat

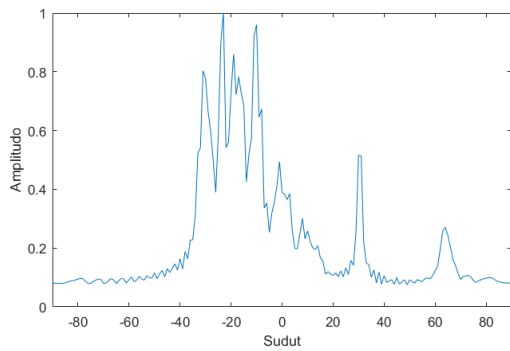
Pada kanal URLOS 20 derajat, sudut yang digunakan dalam simulasi adalah -40 derajat yang terletak pada 140 derajat, -20 derajat yang terletak pada 160 derajat, 0 derajat yang terletak pada 180 derajat, dan 20 derajat yang terletak pada 220 derajat.



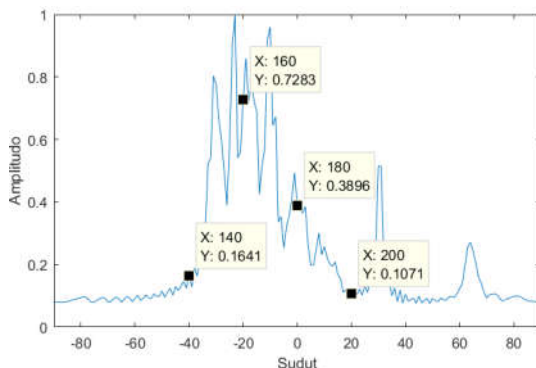
**Gambar 4.33** Plot rectangular kanal URLOS 20 derajat



**Gambar 4.34** Plot polar kanal URLOS 20 derajat dengan plot sudut -40, -20, 0, 20



**Gambar 4.35** Plot rectangular kanal URLOS 20 derajat



**Gambar 4.36** Plot rectangular kanal URLOS 20 derajat dengan plot sudut

## 4.5 Diskusi

Pada perbandingan kinerja antara Hybrid dan Full Digital Beamforming pada kanal IRF, kinerja dari metode HB dapat menyerupai kinerja dari metode FDB dengan syarat memiliki jumlah RF chain setengah dari jumlah RF chain yang dimiliki oleh FDB. Dibuktikan dengan rata-rata kinerja SE untuk SNR tinggi (20-30 dB), metode HB memiliki rata-rata kinerja SE sebesar 31,94 bits/s/Hz sedangkan metode

FDB memiliki rata-rata kinerja SE sebesar 32,9367 bits/s/Hz. Dari hasil analisis BER juga diketahui bahwa metode FDB dapat mencapai kinerja BER yang paling baik (paling rendah) tepatnya pada 0,00025 pada saat SNR = 14 dB, sedangkan metode HB pada saat SNR = 14 dB memiliki BER sebesar 0,084 dan baru dapat mencapai BER yang paling baik tepatnya 0,00025 saat SNR = 18 dB.

Pada perbandingan kinerja antara Hybrid dan Full Digital Beamforming pada kanal URLOS, kinerja dari metode HB dapat menyerupai kinerja dari metode FDB dengan syarat memiliki jumlah RF chain setengah dari jumlah RF chain yang dimiliki oleh FDB. Dibuktikan dengan rata-rata kinerja SE untuk SNR tinggi (20-30 dB), metode HB memiliki rata-rata kinerja SE sebesar 24,0067 bits/s/Hz sedangkan metode FDB memiliki rata-rata kinerja SE sebesar 22,4667 bits/s/Hz. Dari hasil analisis BER juga diketahui bahwa metode FDB dapat mencapai kinerja BER yang paling baik (paling rendah) tepatnya pada 0,00025 pada saat SNR = 22 dB, sedangkan metode HB pada saat SNR = 22 dB memiliki BER sebesar 0,2346 dan baru dapat mencapai BER yang paling baik tepatnya 0,00025 saat SNR = 26 dB.

Pada perbandingan kinerja metode HB pada kanal IRF dan URLOS, metode HB pada kanal IRF memiliki rata-rata kinerja SE lebih baik dibandingkan dengan metode HB pada kanal URLOS. Dibuktikan dengan rata-rata kinerja SE untuk SNR dari 0 dB hingga 30 dB, metode HB pada kanal IRF memiliki rata-rata kinerja SE sebesar 17,4758 bits/s/Hz sedangkan metode HB pada kanal URLOS memiliki rata-rata kinerja SE sebesar 12,3334 bits/s/Hz. Dari hasil analisis BER juga diketahui bahwa metode HB pada kanal IRF dapat mencapai kinerja BER yang paling baik (paling rendah) tepatnya pada 0,00025 pada saat SNR = 18 dB, sedangkan metode HB pada kanal URLOS pada saat SNR = 18 dB memiliki BER yang masih tinggi yakni sebesar 0,2766 dan baru dapat mencapai BER yang paling baik tepatnya 0,00025 saat SNR = 26 dB.

Pada perbandingan kinerja metode FDB pada kanal IRF dan URLOS, metode FDB pada kanal IRF memiliki rata-rata kinerja SE lebih baik dibandingkan dengan metode FDB pada kanal URLOS. Dibuktikan dengan rata-rata kinerja SE untuk SNR dari 0 dB hingga 30 dB, metode FDB pada kanal IRF memiliki rata-rata kinerja SE sebesar 19,0105 bits/s/Hz sedangkan metode FDB pada kanal URLOS memiliki rata-rata kinerja SE sebesar 12,7401 bits/s/Hz. Dari hasil analisis BER juga diketahui bahwa metode FDB pada kanal IRF dapat mencapai kinerja BER yang paling baik (paling rendah) tepatnya pada 0,00025 pada saat

SNR = 14 dB, sedangkan metode FDB pada kanal URLOS pada saat SNR = 14 dB memiliki BER yang masih tinggi yakni sebesar 0,2074 dan baru dapat mencapai BER yang paling baik tepatnya 0,00025 saat SNR = 22 dB.

Pada perbandingan jumlah RF chain pada kanal IRF dimana metode HB adalah sistem dengan jumlah RF chain = 1 (NRF1), metode FDB adalah sistem dengan jumlah RF chain = 2 (NRF2), dibandingkan dengan jumlah RF chain = 3 (NRF3), dan jumlah RF chain = 4 (NRF4), menunjukkan bahwa penambahan jumlah RF chain tidak menambah performa dibandingkan dengan pada saat jumlah NRF2 (metode FDB), akan tetapi meningkatkan kinerja SE dan BER jika dibandingkan dengan NRF1 (metode HB). Hal tersebut dibuktikan dengan rata-rata kinerja SE untuk SNR tinggi (20-30 dB), NRF2 memiliki rata-rata kinerja SE yang paling tinggi yaitu sebesar 19,0105 bits/s/Hz, kemudian NRF3 memiliki rata-rata kinerja SE dibawahnya yaitu sebesar 18,787 bits/s/Hz, kemudian NRF4 memiliki rata-rata kinerja SE sebesar 18,1738 bits/s/Hz, dan yang paling rendah adalah NRF1 dengan rata-rata kinerja SE sebesar 17,4758 bits/s/Hz. Dari pengamatan gambar dan tabel BER, dapat dilihat bahwa metode FDB dengan NRF2 (2 RF chain) memiliki angka BER yang baik, diikuti oleh NRF3, kemudian NRF4 dan NRF1. Hal tersebut dapat dilihat pada saat SNR = 14 dB, NRF2 dan NRF3 lebih dulu mencapai titik terendah yaitu BER sebesar 0,00025, sedangkan pada SNR = 14 dB, NRF4 dan NRF1 memiliki BER sebesar 0,01411 dan 0,084. NRF4 dan NRF1 baru dapat mencapai BER yang paling rendah saat SNR = 18 dB.

Pada perbandingan jumlah RF chain pada kanal URLOS dimana metode HB adalah sistem dengan jumlah RF chain = 1 (NRF1), metode FDB adalah sistem dengan jumlah RF chain = 2 (NRF2), dibandingkan dengan jumlah RF chain = 3 (NRF3), dan jumlah RF chain = 4 (NRF4), menunjukkan bahwa penambahan jumlah RF chain membuat rata-rata kinerja SE meningkat jika dibandingkan dengan NRF2(metode FDB) dan NRF1 (metode HB). Hal tersebut dibuktikan dengan rata-rata kinerja SE untuk SNR tinggi (20-30 dB), rata-rata kinerja SE untuk NRF3 adalah sebesar 15,8571 bits/s/Hz, kemudian rata-rata kinerja SE untuk NRF4 adalah sebesar 14,0866 bits/s/Hz, lalu rata-rata kinerja SE untuk NRF2 adalah sebesar 12,7401 bits/s/Hz, dan rata-rata kinerja SE untuk NRF1 adalah sebesar 12,3334 bits/s/Hz. Dari pengamatan pada gambar dan tabel BER dapat dilihat bahwa metode FDB (NRF2) dan NRF3 pada saat SNR = 22 dB mencapai angka BER yang paling kecil yaitu 0,00025, sedangkan

pada saat SNR = 22 dB, NRF1 dan NRF4 masih memiliki BER yang tinggi di angka 0,2346 dan 0,03958.

Pada perbandingan metode HB pada kanal IRF dengan menggunakan jumlah pemancar yang berbeda dimana jumlah antena pemancar yang digunakan adalah 32 (Tx32), 64 (Tx64), dan 81 (Tx81), membuktikan bahwa dari penambahan jumlah antena membuat rata-rata kinerja SE untuk antena dengan jumlah pemancar yang lebih banyak meningkat jika dibandingkan dengan jumlah pemancar yang sedikit. Dibuktikan dengan rata-rata kinerja SE untuk SNR dari 0 dB hingga 30 dB, rata-rata kinerja SE yang diperoleh untuk Tx81 adalah 17,5751 bits/s/Hz, kemudian untuk Tx64 adalah 17,4758 bits/s/Hz, dan untuk Tx32 adalah 38,73 bits/s/Hz. Sedangkan saat mengamati gambar dan tabel BER dapat dilihat bahwa Tx64 adalah jumlah antena pemancar yang memiliki BER yang paling baik. Dapat dilihat pada SNR = 18 dB, BER dari Tx64 telah mencapai angka yang paling kecil yaitu 0,00025, begitu juga dengan Tx32. Sedangkan pada saat SNR = 18 dB, BER dari Tx81 memiliki angka sebesar 0,05514 dan baru mencapai BER yang paling rendah pada saat SNR = 22 dB. Meskipun Tx32 dan Tx64 pada saat SNR = 18 dB mampu mencapai BER paling kecil secara bersamaan, tetapi dari pengamatan grafik pada gambar dan pada tabel dapat dilihat bahwa untuk rentang SNR 0 dB hingga 30 dB, Tx64 selalu memiliki nilai BER yang lebih kecil.

Sedangkan pada perbandingan metode HB pada kanal URLOS dengan menggunakan jumlah pemancar yang berbeda dimana jumlah antena pemancar yang digunakan adalah 32 (Tx32), 64 (Tx64), dan 81 (Tx81), membuktikan bahwa dari penambahan jumlah antena pemancar tidak menambah rata-rata kinerja SE dari metode HB pada kanal URLOS. Dibuktikan dengan rata-rata kinerja SE untuk SNR dari 0 dB hingga 30 dB, rata-rata kinerja SE yang diperoleh untuk Tx64 adalah 12,3334 bits/s/Hz, kemudian untuk Tx32 adalah 12,0606 bits/s/Hz, dan untuk Tx81 adalah 11,271 bits/s/Hz. Pada gambar dan tabel BER dapat dilihat bahwa hanya Tx64 yang mampu mencapai kondisi BER yang sangat kecil. Dibuktikan dengan pada saat SNR = 26 dB, BER dari Tx64 mampu mencapai 0,00025, sedangkan untuk Tx32 masih tinggi dengan nilai BER sebesar 0,05564, juga Tx81 dengan BER sebesar 0,01508. Hingga SNR = 30 dB, Tx32 dan Tx81 belum mampu mencapai angka BER yang rendah.

Pada perbandingan metode HB pada kanal IRF dengan menggunakan perbedaan jumlah user/antena penerima 2, 4, dan 6, membuktikan bahwa dari penambahan jumlah user/antenna penerima memperoleh rata-rata

kinerja SE yang semakin meningkat. Dibuktikan dengan rata-rata kinerja SE untuk SNR dari 0 dB hingga 30 dB, rata-rata kinerja SE yang diperoleh untuk user 2 adalah 6,37875 bits/s/Hz, kemudian rata-rata kinerja SE untuk user 4 adalah 17,4758 bits/s/Hz, dan rata-rata kinerja SE untuk user 6 adalah 23,981 bits/s/Hz. Meskipun user 6 memiliki rata-rata kinerja SE yang paling tinggi, user 6 masih belum bisa mencapai angka BER yang terbaik. Dibuktikan dengan pada saat  $\text{SNR} = 18 \text{ dB}$ , user 4 telah berhasil mencapai angka BER paling rendah yaitu 0,00025, sedangkan user 6 memiliki BER sebesar 0,2044, dan user 2 memiliki BER sebesar 0,1378. User 6 baru mencapai BER yang paling rendah saat  $\text{SNR} = 26 \text{ dB}$ , sedangkan user 2 baru mencapai BER yang paling rendah saat 30 dB. Dari sini dapat diketahui bahwa meskipun user 6 memiliki rata-rata kinerja SE yang paling baik, tetapi user 6 memiliki BER yang kurang baik.

Pada perbandingan metode HB pada kanal URLOS dengan menggunakan perbedaan jumlah user/antena penerima 2, 4, dan 6, membuktikan bahwa dari penambahan jumlah user/antenna penerima memperoleh rata-rata kinerja SE yang semakin meningkat. Dibuktikan dengan rata-rata kinerja SE untuk SNR dari 0 dB hingga 30 dB, rata-rata kinerja SE yang diperoleh untuk user 2 adalah 2,82678 bits/s/Hz, kemudian rata-rata kinerja SE untuk user 4 adalah 12,3334 bits/s/Hz, dan rata-rata kinerja SE untuk user 6 adalah 19,8012 bits/s/Hz. Dari pengamatan terhadap gambar dan tabel BER dapat diamati bahwa user 2 memiliki pencapaian BER yang paling buruk mulai dari 0 dB hingga 30 dB. User 6 walaupun memiliki rata-rata kinerja SE yang paling tinggi, akan tetapi memiliki pencapaian BER yang buruk, dibuktikan dengan BER yang dicapai baru menunjukkan angka yang sangat rendah saat SNR benar-benar mendekati 30 dB. Sedangkan user 4 memiliki pencapaian BER terbaik, dibuktikan dengan pada saat  $\text{SNR} = 26$ , user 4 telah berhasil mencapai BER yang paling rendah yang mampu dicapai, yakni sebesar 0,00025.

Pada sub bab tambahan telah dijelaskan mengenai pengaruh korelasi kanal. Dimulai dari penjabaran data korelasi kanal pada kanal IRF, URLOS 5 derajat, dan URLOS 20 derajat. Diketahui bahwa pada kanal URLOS 5 derajat memiliki korelasi kanal yang lebih tinggi jika dibandingkan dengan URLOS 20 derajat. Kemudian untuk pengecekan efek dari terjadinya korelasi kanal maka dilakukan pengujian terhadap kinerja SE dan BER pada metode HB dengan membandingkan pada kanal IRF, URLOS 5 derajat, dan URLOS 20 derajat. Diketahui dari hasil kinerja SE dan BER bahwa pada kanal URLOS 5 derajat dimana terjadi

korelasi kanal yang cukup besar, mengalami penurunan kinerja SE dan BER yang telah dibuktikan dengan data gambar dan tabel. Kemudian dilakukan juga pengujian kinerja SE dan BER selanjutnya dengan melakukan perbandingan terhadap jumlah antena pemancar yang berbeda pada kanal URLOS, didapatkan bahwa, untuk kanal URLOS 20 derajat pada semua jumlah antena pemancarnya (32, 64, dan 81) mengalami pengingkatan kinerja SE dan perbaikan kinerja BER yang telah dibuktikan dengan gambar dan tabel. Dari dua percobaan yang telah dilakukan dapat diketahui bahwa kanal yang memiliki korelasi kanal yang besar akan mengalami penurunan kinerja SE dan BER.

Lalu, dilakukan plot pola radiasi baik polar maupun rectangular agar dapat mengetahui arah dari pola radiasi antena yang disimulasikan. Pada kanal IRF, direkomendasikan agar antena penerima (antena Rx), berada pada daerah yang memiliki pola radiasi dengan amplitudo yang cukup tinggi yaitu pada -64 derajat, 51 derajat, 61 derajat, dan 79 derajat, karena pada saat simulasi mengalami kesulitan dalam melakukan plotting, maka data yang seharusnya digambarkan dengan rentang -90 hingga 90 derajat, akhirnya digambarkan dengan 90 hingga 270 derajat, dimana -64 derajat terletak pada 116,3 derajat, 51 derajat terletak pada 231,6 derajat, 61 derajat diletakkan pada 241,7 derajat, dan 79 derajat diletakkan pada 258,7 derajat. Kemudian pada kanal URLOS 5 derajat digunakan sudut 6, 11, 16, dan 21 derajat, dimana 6 derajat terletak pada 186 derajat, 11 derajat terletak pada 191 derajat, 16 derajat terletak pada 196 derajat, dan 21 derajat terletak pada 201 derajat. Kemudian pada kanal URLOS 20 derajat, digunakan sudut -40 derajat yang terletak pada 140 derajat, -20 derajat yang terletak pada 160 derajat, 0 derajat yang terletak pada 180 derajat, dan 20 derajat terletak pada 200 derajat. Dapat dilihat pada gambar plot polar kanal URLOS 5 derajat dimana semua user berada pada posisi main lobe, sedangkan pada kanal URLOS 20 derajat dimana pada -20 dan 0 derajat mendapat main lobe, sementara -40 dan 20 mendapat minor lobe. Analisa yang dapat diberikan adalah terjadi sedikit error terhadap akurasi precoding, sehingga diprediksi bahwa terjadi pergeseran arah pola radiasi terhadap lokasi antena pemancar. Kemudian, meskipun kanal URLOS 20 derajat mendapat pola radiasi yang kurang bagus jika dibanding dengan kanal URLOS 5 derajat, namun kinerja dari SE dan BER dari kanal URLOS 20 derajat berada diatas URLOS 5 derajat, hal tersebut dikarenakan terjadinya korelasi kanal yang menyebabkan penurunan kinerja dari kanal URLOS 5 derajat.

## BAB V KESIMPULAN DAN SARAN

### 5.1 Kesimpulan

Berdasarkan analisa dan pembahasan terhadap simulasi kinerja SE dan BER sistem Multiuser MISO pada kanal IRF dan URLOS pada bab 4, maka berikut adalah beberapa hal yang bisa disimpulkan:

1. Sistem MISO adalah akronim dari *Multi Input Single Output*, dimana pada sisi pemancar memiliki jumlah antena lebih dari satu buah sedangkan pada sisi penerima hanya memiliki satu buah antena penerima.
2. Pada kanal IRF dan URLOS, kinerja dari metode HB dapat menyerupai kinerja dari metode FDB dengan syarat memiliki jumlah RF chain setengah dari jumlah RF chain yang dimiliki oleh FDB.
3. Metode HB dan metode FDB pada kanal IRF memiliki rata-rata kinerja SE lebih baik dibandingkan dengan metode HB dan metode FDB pada kanal URLOS.
4. Pada perbandingan jumlah RF chain pada kanal IRF, menunjukkan bahwa penambahan jumlah RF chain tidak menambah performa dibandingkan dengan pada saat jumlah NRF2 (metode FDB), akan tetapi meningkatkan kinerja SE dan BER jika dibandingkan dengan NRF1 (metode HB). Sedangkan pada kanal URLOS, menunjukkan bahwa penambahan jumlah RF chain membuat rata-rata kinerja SE meningkat jika dibandingkan dengan NRF2 (metode FDB) dan NRF1 (metode HB).
5. Pada perbandingan metode HB pada kanal IRF dengan menggunakan perbedaan jumlah pemancar, membuktikan bahwa dari penambahan jumlah antena membuat rata-rata kinerja SE untuk antena dengan jumlah pemancar yang lebih banyak meningkat dibandingkan dengan jumlah pemancar yang sedikit. Sedangkan pada kanal URLOS, membuktikan bahwa penambahan jumlah antena pemancar tidak menambah rata-rata kinerja SE dari metode HB.
6. Pada perbandingan metode HB pada kanal IRF dan URLOS dengan menggunakan perbedaan jumlah user/antena penerima 2, 4, dan 6, membuktikan bahwa dari penambahan jumlah user/antenna penerima memperoleh rata-rata kinerja SE yang semakin meningkat.

7. Pengaruh perbedaan sudut yang tidak cukup jauh menyebabkan terjadinya korelasi pada kanal URLOS yang akan membuat kinerja SE semakin menurun.

## 5.2 Saran

Setelah melakukan pemodelan, analisa, dan penarikan kesimpulan, penulis memberikan saran untuk pengembangan penelitian pada topik Multiuser MISO sebagai berikut:

1. Untuk mendapatkan grafik SE yang semakin bagus sebaiknya dapat memperbanyak pembangkitan iterasi kanal tiap rentang SNRnya.
2. Perlu ada penelitian lebih lanjut mengenai jenis kanal lainnya pada sistem Multiuser MISO dengan metode *hybrid beamforming*.
3. Menentukan perbedaan sudut antara antena penerima (Rx) yang cukup jauh agar tidak terjadi korelasi kanal.

## Daftar Pustaka

- 1 C. A. Balanis, Antenna Theory: Analysis and Design, Hoboken, New Jersey: John Wiley & Sons, Inc., 2005.
- 2 I. T. Union, "IMT Vision - Framework and overall objectives of the future development of IMT for 2020 and beyond," Electronic Publication, Geneva, 2015.
- 3 I. T. Union, "IMT traffic estimates for the years 2020 to 2030," Electronic Publication, Geneva, 2015.
- 4 F. Sohrabi and W. Yu, "Hybrid Digital and Analog Beamforming Design for Large-Scale Antenna Arrays," *IEEE Journal of Selected Topics in Signal Processing*, vol. 10(3), pp. 510-513, 2016.
- 5 S. R. Saunders and A. A. Zavala, Antennas and Propagation for Wireless Communication Systems, Chichester, England: John Wiley & Sons Ltd, 2007.
- 6 W. Roh, J.-Y. Seol, J. Park, B. Lee, J. Lee, Y. Kim, J. Cho and K. Cheun, "Millimeter-Wave Beamforming as an Enabling Technology for 5G Cellular Communications: Theoretical Feasibility and Prototype Results," *IEEE Communications Magazine*, vol. 52(2), pp. 106-113, 2014.
- 7 T. L. Marzetta, E. G. Larsson, H. Yang and H. Q. Ngo, Fundamentals of Massive MIMO, Cambridge, United Kingdom: Cambridge University Press, 2016.
- 8 T. Kim, J. Park, J.-Y. Seol, S. Jeong, J. Cho and W. Roh, "Tens of Gbps Support with mmWave Beamforming Systems for Next Generation Communications," in *IEEE Global Communications Conference (GLOBECOM)*, Korea, 2013.
- 9 M. C. Jeruchim, P. Balaban and K. S. Shanmugan, Simulation of Communication Systems: Modelling, Methodology, and Techniques, New York: Kluwer Academic Publishers, 2002.
- 10 N. C. Giri, A. Sahoo, J. R. Swain, P. Kumar, A. Nayak and P. Debogoswami, "Capacity & Performance Comparison of

- SISO and MIMO System for Next Generation Network (NGN)," *International Journal of Advanced Research in Computer Engineering & Technology (IJARCET)*, vol. 3, no. 9, 2014.
- 11 F. C. Commission, "Millimeter Wave Propagation: Spectrum Management Implications," *Office of Engineering and Technology*, vol. 70, pp. 1-7, 1997.
- 12 E. Ali, M. Ismail, R. Nordin and N. F. Abdulah, "Beamforming techniques for massive MIMO systems in 5G: overview, classification, and trends for future research.," *Frontiers of Information Technology & Electronic Engineering*, vol. 18, no. 6, pp. 753-772, 2017.

## LAMPIRAN

### LISTING PROGRAM

```
%%%%%%%%
%MATLAB SCRIPT PERBANDINGAN HB VS FDB IRF
%%%%%%%
clear all;
close all;
clc;

m = 64; k = 4; %JUMLAH ANTENA
P = 1; %Daya dalam Watt
s = 1; %menurut analisa, WAJIB
[Jml Ns == Jml m];
k_user = k;
Ns = s*k_user;
N_tx = m;
N_rf = Ns; %untuk syarat Hybrid
Beamforming
N_rf2 = 2*Ns; %untuk syarat Full
Digital Beamforming

SNR_dB = -2:4:30; %range SNR in dB
SNR_lin = 10.^ (SNR_dB/10); % range SNR in linear
power
N = 9;

for SNRsiz = 1 : length(SNR_dB)
    SNR = SNR_lin(SNRsiz);
    variance = P/SNR;
    for n = 1:N
        variancekanal = 1;
        h_km =
sqrt(variancekanal/2)*(randn([m],[k])+(1i)*randn([m],[k])); %small scale fading berdasar
Jumlah antena dan user
        g_km = h_km;
        g_kmt = transpose(g_km);
```

```

Pp = eye(k); %step 2
beta_kp = ones([1, 1]);

v_rf = randi([1], N_tx, N_rf); %step
1
v_rf1 = randi([1], N_tx, N_rf);
v_rf2 = randi([1], N_tx, N_rf);
vrf_opt = randi([1], N_tx, N_rf);
argmin = randi([1], N_tx, N_rf)*5;
selisih = 1;
temp_topt = randi([1], N_tx, N_rf)*20;
teta_opt = ones(N_tx, N_rf);
teta_opt2 = ones(N_tx, N_rf);
cnt2 = 0;
while 1
cnt = 0;
while 1
for J = 1:1:N_rf%step 1
Hbar = Pp^(-1/2) * g_kmt;
v_rfj = v_rf;
v_rfj(:,J) = [];
A = Pp^(-1/2) * g_kmt *
v_rfj * v_rfj' * g_kmt' * Pp^(-1/2);
A2 = inv(A) * inv(A);
A1 = inv(A);
B = Hbar' * A2 * Hbar;
D = Hbar' * A1 * Hbar;
B2 = Hbar' * A2 * Hbar;
D2 = Hbar' * A1 * Hbar;
for ii = 1:1:N_tx
temp = 0;
temp2 = 0;
for K = 1:1:N_tx
for M = 1:1:N_tx
if K == ii && M == ii
v_rf1(K,J) = v_rf(K,J);
v_rf1(M,J) = v_rf(M,J);
temp = temp +
(conj(v_rf1(K,J)) * B(K,M) * v_rf1(M,J));

```

```

temp2          = temp2+
(conj(v_rf1(K,J)) * D(K,M) * v_rf1(M,J));
end
end
temporary1(ii,J)    = temp;
temporary2(ii,J)    = temp2;
si_ijB(ii,J)      = B(ii,ii) +
2*real(temporary1(ii,J));
si_ijD(ii,J)      = D(ii,ii) +
2*real(temporary2(ii,J));
temp3    = 0;
temp4    = 0;
for L = 1:N_rf
if L~= ii
v_rf2(L,J)      =
v_rf(L,J);
temp3          = temp3
+ (B2(ii,L) * v_rf2(L,J));
temp4          = temp4
+ (D2(ii,L) * v_rf2(L,J));
end
end
n_ijB(ii,J)      = temp3;
n_ijD(ii,J)      = temp4;
c_ij(ii,J)       =
((1+si_ijD(ii,J))*n_ijB(ii,J)) - (si_ijB(ii,J) *
n_ijD(ii,J));
z_ij(ii,J)       =
imag((2*n_ijB(ii,J)) * n_ijD(ii,J));
if real(c_ij(ii,J)) >= 0
psi_ij(ii,J)   =
asin(imag(c_ij(ii,J))/abs(c_ij(ii,J)));
elseif real(c_ij(ii,J)) < 0
psi_ij(ii,J)   = pi -
(asin(imag(c_ij(ii,J))/abs(c_ij(ii,J))))-
end
teta_ij1(ii,J)   = (((-
1)*psi_ij(ii,J)) +
asin(z_ij(ii,J)/abs(c_ij(ii,J))));


```

```

teta_ij2(ii,J)      = (pi +
((-1)*psi_ij(ii,J)) - asin(z_ij(ii,J)/abs(c_ij(ii,J)))) ;
vrf_ij1(ii,J)      = exp(-li*angle(teta_ij1(ii,J)));
vrf_ij2(ii,J)      = exp(-li*angle(teta_ij2(ii,J)));
f_vrf1(ii,J)       = (m * trace(inv(A))) - (m * (si_ijB(ii,J) +
2*real(conj(vrf_ij1(ii,J)) * n_ijB(ii,J)))/(1 + si_ijD(ii,J) +
2*real(conj(vrf_ij1(ii,J))*n_ijD(ii,J)))); f_vrf2(ii,J)       = (m * trace(inv(A))) - (m * (si_ijB(ii,J) +
2*real(conj(vrf_ij2(ii,J)) * n_ijB(ii,J)))/(1 + si_ijD(ii,J) +
2*real(conj(vrf_ij2(ii,J))*n_ijD(ii,J)))); argmin2(ii,J)     =
argmin(ii,J);
argmin(ii,J)        =
min(angle(f_vrf1(ii,J)),angle(f_vrf2(ii,J)));
if argmin(ii,J) ==
f_vrf1(ii,J) %%INI MENCARI TETA OPTIMUM
teta_opt(ii,J) =
angle(f_vrf1(ii,J));
elseif argmin(ii,J) ~=
f_vrf1(ii,J)
teta_opt(ii,J) =
angle(f_vrf2(ii,J));
end
vrf_opt(ii,J)      = exp(-li*(teta_opt(ii,J))); %%INI MENCARI VRF_OPT --
STEP 8
v_rf(ii,J) = vrf_opt(ii,J);
end
end
selisih = abs(argmin2(ii,J) -
argmin(ii,J));
if selisih <= 0.3
cnt = cnt + 1;

```

```

        break
    end

    if isnan(A)
        variancekanal = 1;
        h_km =
        sqrt(variancekanal/2)*(randn([m],[k])+((1i)*randn([m],[k]))); %small scale fading berdasar
        Jumlah antena dan user
        g_km = h_km;
        g_kmt = transpose(g_km);
        Pp = eye(k);

%step 2
        beta_kp = ones([1, 1]);
        v_rf = randi([1], N_tx,
N_rf); %step 1
    end

    cnt = cnt+1;

end
cnt = cnt + 1;
Pmirning = 0;
for k2 = 1:k
    % STEP 12 MEMBUAT P
    vbar_d = vrf_opt' *
g_kmt' * (g_kmt * vrf_opt * vrf_opt' * g_kmt') ^-
1;
    Qbar = vbar_d' *
vrf_opt' * vrf_opt * vbar_d;
    M1 = vrf_opt' *
g_kmt' * g_kmt * vrf_opt; %UNTUK MENGHITUNG
EIGENVALUE VRF*KANAL
    lambda = svd(M1);
    qkk = Qbar(k2,k2);
    for k3 = 1:1:size(M1,1)
        PK1(k3) = beta_kp/lambda(k3)
    - qkk * variance;

```

```

if PK1(k3) >= 0 && PK1(k3)
<= 10
    PK2 = PK1(k3);
elseif PK1(k3) <= 0
    PK2 = 0;
end
end
Pmiring = Pmiring +
PK2;
pk = 1/qkk * PK2;
Pp(k2,k2) = pk;
PPP = beta_kp *
log2(1+ (pk/variance));
Rk(k2) = log2(1+
(sqrt(pk)/variance));
if Pmiring == 0
    Pmiring = 1;
end
end
if trace(Qbar*Pp) <= P &&
(log10(Pmiring)*10) >= ((log10(P)*10)-0.5)
%((log10(1/variance)*10)-7) %&& trace(Pp) <= k %
&&
cnt2 = cnt2+1;
break
end
cnt2 = cnt2+1;
end
VD = vbar_d * (Pp)^(1/2);
sum1(SNRsize,n) = sum(Rk);
SE_IRF1 = real(sum1);

%%%%%%%%%%%%%
jumlah_signal = 1000;
for stream = 1:1:jumlah_signal
    jumlah_data = Ns;
    genbpsk(:,stream) =
rand(jumlah_data, 1)>0.5;

```

```

        sigbpsk(:,stream)      =
2*genbpsk(:,stream) -1;

        y(:,stream)           = g_kmt *
vrf_opt * VD * sigbpsk(:,stream);
        detektor              =
real(y)>0;
        for sinyal2= 1:Ns
            if detektor(sinyal2,stream) ==1
                sinyal_rx(sinyal2, stream) = 1;
            else sinyal_rx(sinyal2,stream) = -1;
            end
        end
    end
    nErr(n,SNRsize) = size(find([detektor-
genbpsk]),1);
    nErr(nErr==0) = 1;
end

for n1 = 1:N
variancekanall = 1;
h_km1 =
sqrt(variancekanall/2)*(randn([m],[k])+((1i)*randn([m],[k]))); %small scale fading berdasar
Jumlah antena dan user
g_km1 = h_km1;
g_kmt1 = transpose(g_km1);
Pp1          = eye(k);           %step 2
beta_kp1     = ones([1, 1]);

v_rf1         = randi([1, N_tx, N_rf2]);
%step 1
v_rf11        = randi([1, N_tx, N_rf2]);
v_rf21        = randi([1, N_tx, N_rf2]);
vrf_opt1      = randi([1, N_tx, N_rf2]);
argmin1       = randi([1, N_tx, N_rf2])*5;
selisih1      = 1;
temp_topt1    = randi([1, N_tx, N_rf2])*20;
teta_opt1     = ones(N_tx, N_rf2);
teta_opt21    = ones(N_tx, N_rf2);

```

```

cnt21 = 0;
while 1
cnt1 = 0;
while 1
    for J1 = 1:1:N_rf2%step 1
        Hbar1      = Pp1^(-1/2) * g_kmt1;
        v_rfj1     = v_rf1;
        v_rfj1(:,J) = [];
        A1          = Pp1^(-1/2) * g_kmt1
* v_rfj1 * v_rfj1' * g_kmt1' * Pp1^(-1/2);
        A21         = inv(A1) * inv(A1);
        A11         = inv(A1);
        B1          = Hbar1' * A21 *
Hbar1;
        D1          = Hbar1' * A11 *
Hbar1;
        B21         = Hbar1' * A21 *
Hbar1;
        D21         = Hbar1' * A11 *
Hbar1;
        for ii1 = 1:1:N_tx
            temp1   = 0;
            temp21  = 0;
                for K1= 1:1:N_tx
                    for M1 = 1:1:N_tx
                        if K1 ~= ii1 && M1 ~= ii1
                            v_rf11(K1,J1) =
v_rf1(K1,J1);
                            v_rf11(M1,J1) =
v_rf1(M1,J1);
                            temp1           = temp1
+ (conj(v_rf11(K1,J1)) * B1(K1,M1) *
v_rf11(M1,J1));
                            temp21           =
temp21+ (conj(v_rf11(K1,J1)) * D1(K1,M1) *
v_rf11(M1,J1));
                        end
                    end
                end

```

```

temporary11(iil,J1)      =
temp1;
temporary21(iil,J1)      =
temp21;
si_ijB1(iil,J1)          =
B1(iil,iil) + 2*real(temporary11(iil,J1));
si_ijD1(iil,J1)          =
D1(iil,iil) + 2*real(temporary21(iil,J1));
temp31 = 0;
temp41 = 0;
for L1 = 1:N_rf2
if L1~= iil
    v_rf21(L1,J1)      =
v_rf1(L1,J1);
    temp31             =
temp31 + (B21(iil,L1) * v_rf21(L1,J1));
    temp41             =
temp41 + (D21(iil,L1) * v_rf21(L1,J1));
end
end
n_ijB1(iil,J1)          =
temp31;
n_ijD1(iil,J1)          =
temp41;
c_ij1(iil,J1)           =
((1+si_ijD1(iil,J1))*n_ijB1(iil,J1)) -
(si_ijB1(iil,J1) * n_ijD1(iil,J1));
z_ij1(iil,J1)           =
imag((2*n_ijB1(iil,J1) * n_ijD1(iil,J1));
if real(c_ij1(iil,J1)) >= 0
    psi_ij1(iil,J1)   =
asin(imag(c_ij1(iil,J1))/abs(c_ij1(iil,J1)));
elseif real(c_ij1(iil,J1)) <
0
    psi_ij1(iil,J1)   = pi -
(asin(imag(c_ij1(iil,J1))/abs(c_ij1(iil,J1))));
end
teta_ij11(iil,J1)       = (((-
1)*psi_ij1(iil,J1)) +
asin(z_ij1(iil,J1)/abs(c_ij1(iil,J1))));


```

```

teta_ij21(iil,J1)      = (pi +
((-1)*psi_ij1(iil,J1)) -
asin(z_ij1(iil,J1)/abs(c_ij1(iil,J1)))) ;
vrf_ij11(iil,J1)      = exp(-
li*angle(teta_ij11(iil,J1)));
vrf_ij21(iil,J1)      = exp(-
li*angle(teta_ij21(iil,J1));
f_vrf11(iil,J1)       = (m *
trace(inv(A1))) - (m * (si_ijB1(iil,J1) +
2*real(conj(vrf_ij11(iil,J1)) *
n_ijB1(iil,J1)))/(1 + si_ijD1(iil,J1) +
2*real(conj(vrf_ij11(iil,J1))*n_ijD1(iil,J1)))) )
;
f_vrf21(iil,J1)       = (m *
trace(inv(A1))) - (m * (si_ijB1(iil,J1) +
2*real(conj(vrf_ij21(iil,J1)) *
n_ijB1(iil,J1)))/(1 + si_ijD1(iil,J1) +
2*real(conj(vrf_ij21(iil,J1))*n_ijD1(iil,J1)))) )
;
argmin21(iil,J1)      =
argmin1(iil,J1);
argmin1(iil,J1)      =
min(angle(f_vrf11(iil,J1)),angle(f_vrf21(iil,J1)))
);
if argmin1(iil,J1) ==
f_vrf11(iil,J1) %%INI MENCARI TETA OPTIMUM
teta_opt1(iil,J1) =
angle(f_vrf11(iil,J1));
elseif argmin1(iil,J1) ~=
f_vrf11(iil,J1)
teta_opt1(iil,J1) =
angle(f_vrf21(iil,J1));
end
vrf_opt1(iil,J1)      = exp(-
li*(teta_opt1(iil,J1))); %%INI MENCARI VRF_OPT --
STEP 8
v_rf1(iil,J1) =
vrf_opt1(iil,J1);
end
end

```

```

        selisih1 = abs(argmin21(iil,J1) -
argmin1(iil,J1));
        if selisih1 <= 0.3
            cnt1 = cnt1 + 1;
            break
        end

        if isnan(A1)
            variancekanall = 1;
            h_kml =
sqrt(variancekanall/2)*(randn([m],[k])+((1i)*ran-
dn([m],[k]))); %small scale fading berdasar
Jumlah antena dan user
            g_kml = h_kml;
            g_kmt1 = transpose(g_kml);
            Pp1 = eye(k);
%step 2
            beta_kp1 = ones([1, 1]);
            v_rfl = randi([1], N_tx,
N_rf2); %step 1
        end

        cnt1 = cnt1+1;

    end
    cnt1 = cnt1 + 1;
    Pmirung1 = 0;
    for k21 = 1:k
        % STEP 12 MEMBUAT P
        vbar_d1 = vrf_opt1' *
g_kmt1' * (g_kmt1 * vrf_opt1 * vrf_opt1' *
g_kmt1')^-1;
        Qbar1 = vbar_d1' *
vrf_opt1' * vrf_opt1 * vbar_d1;
        M11 = vrf_opt1' *
g_kmt1' * g_kmt1 * vrf_opt1; %UNTUK MENGHITUNG
EIGENVALUE VRF*KANAL
        lambda1 = svd(M11);
        qkk1 =
Qbar1(k21,k21);
    end

```

```

        for k31 = 1:size(M11,1)
            PK11(k31) =
beta_kp1/lambda1(k31) - qkk1 * variance;
                if PK11(k31) >= 0 &&
PK11(k31) <= 10
                    PK21 = PK11(k31);
                elseif PK11(k31) <= 0
                    PK21 = 0;
                end
            end
            Pmiring1 = Pmiring1 +
PK21;
            pk1 = 1/qkk1 *
PK21;
            Pp1(k21,k21) = pk1;
            PPP1 = beta_kp1 *
log2(1+ (pk1/variance));
            Rk1(k21) = log2(1+
(sqrt(pk1)/variance));
            if Pmiring1 == 0
                Pmiring1 = 1;
            end
        end
        if trace(Qbar1*Pp1) <= P &&
(log10(Pmiring1)*10) >= ((log10(P)*10)-0.5)
%((log10(1/variance)*10)-7) %&& trace(Pp) <= k %
&&
            cnt21 = cnt21+1;
            break
        end
        cnt21 = cnt21+1;
    end
    VD1 = vbar_d1 * (Pp1)^(1/2);
    sum11(SNRsize,n) = sum(Rk1);
    SE_IRFlirf2 = real(sum11);
%%%%%%%%%%%%%
%%%%%%%%%%%%%
%%%%%%%%%%%%%
%%%%%%%%%%%%%
%%%%%%%%%%%%%
jumlah_signall = 1000;

```

```

for stream1 = 1:1:jumlah_signal1
    jumlah_data1 = Ns;
    genbpsk1(:,stream1) =
rand(jumlah_data1, 1)>0.5;
    sigbpsk1(:,stream1) =
2*genbpsk1(:,stream1) -1;
    y1(:,stream1) = g_kmt1 *
vrf_opt1 * VD1 * sigbpsk1(:,stream1);
    detektor1 = real(y1)>0;
    for sinyal21= 1:Ns
        if detektor1(sinyal21,stream1) ==1
            sinyal_rx1(sinyal21, stream1) =
1;
        else sinyal_rx1(sinyal21,stream1) =
-1;
        end
    end
end
nErr1(n,SNRsize) = size(find([detektor1-
genbpsk1]),1);
nErr1(nErr1==0) = 1;
end
end

simBER = nErr/(jumlah_signal*Ns);
simBERirf2 = nErr1/(jumlah_signal1*Ns);

figure(1)
plot(SNR_dB, mean(SE_IRF1,2), 'bx-'); hold on;
plot(SNR_dB, mean(SE_IRF1irf2,2), 'rx-'); hold on;
%plot(SNR_dB, mean(SE_IRF1irf3,2), 'b.-'); hold on;
%plot(SNR_dB, mean(SE_IRF1irf4,2), 'r.-'); hold on;
legend('Hybrid Beamforming','Full Digital
Beamforming'); %,'NRF3','NRF4');
xlabel('SNR');
ylabel('Spectral Efficiency');
title('Spectral Efficiency vs SNR kanal IRF');

```

```
figure(2)
semilogy(SNR_dB,mean(simBER,1),'bx-'); hold on;
semilogy(SNR_dB,mean(simBERirf2,1),'rx-'); hold on;
%semilogy(SNR_dB,mean(simBERirf3,1),'bx-'); hold on;
%semilogy(SNR_dB,mean(simBERirf4,1),'rx-'); hold on;
axis([-10 30 10^-5 0.5])
grid on
legend('Hybrid Beamforming','Full Digital Beamforming');
xlabel('Eb/No, dB');
ylabel('Bit Error Rate');
title('Bit error probability curve for BPSK modulation kanal IRF');
```

```
%MATLAB SCRIPT PERBANDINGAN HB VS FDB URLOS
clear all;
close all;
clc;

m = 64; k = 4; %JUMLAH ANTENA
P = 1; %Daya dalam Watt
s = 1; %menurut analisa, WAJIB
[Jml_Ns == Jml_m];
k_user = k;
Ns = s*k_user;
N_tx = m;
N_rf = Ns; %untuk syarat Hybrid Beamforming
N_rf2 = 2*Ns; %untuk syarat Full Digital Beamforming

SNR_dB = -2:4:30; %range SNR in dB
SNR_lin = 10.^((SNR_dB/10)); % range SNR in linear power
N = 9;

for SNRsiz = 1 : length(SNR_dB)
    SNR = SNR_lin(SNRsiz);
    variance = P/SNR;
    for n = 1:N
        g_km = [];
        thet = 6 + (0.5 - (-6).*rand(1,1));
%pembangkitan theta dari 6 sampai 12
        g = randi([0 1],1,1)>=0.5;
%pembangkitan biner 0 1
        g2 = 2*g-1; %pembangkitan bpsk
        thett = (g2.*thet);
        %theta = asind(thett);

        beta_k = 1;
```

```

psi          = -pi + (pi - (-
pi).*randn(k,1)); %pembangkitan psi dari -pi
sampai pi
it          = randi([0 1],k,1)>=0.5;
itb         = (it*2)-1;
psii        = (itb.*psi);

for kurlos      = 1:1:k
for murlos       = 1:1:m
    theta_k(murlos,kurlos) = thetta +
(5*(kurlos-1)); %selisih 0.5 derajat antar
antena
    ekurung(murlos,kurlos) = ((1*exp((-1i)* (murlos-
1)*pi*sind(theta_k(murlos,kurlos))))));
end
ekurungt           =
transpose(ekurung);
g_km2(:,kurlos)      = (sqrt(beta_k)
.* exp(1i*psii(kurlos))) * ekurungt(kurlos,:);
end
g_kmt           = transpose(g_km2);

Pp          = eye(k);          %step 2
beta_kp      = ones([1, 1]);
v_rf         = randi([1], N_tx, N_rf); %step
1
v_rf1        = randi([1], N_tx, N_rf);
v_rf2        = randi([1], N_tx, N_rf);
vrf_opt      = randi([1], N_tx, N_rf);
argmin       = randi([1], N_tx, N_rf)*5;
selisih      = 1;
temp_topt    = randi([1], N_tx, N_rf)*20;
teta_opt     = ones(N_tx, N_rf);
teta_opt2    = ones(N_tx, N_rf);
cnt2 = 0;
while 1
cnt = 0;
while 1

```

```

for J = 1:1:N_rf%step 1
    Hbar          = Pp^(-1/2) * g_kmt;
    v_rfj         = v_rf;
    v_rfj(:,J)    = [];
    A             = Pp^(-1/2) * g_kmt *
v_rfj * v_rfj' * g_kmt' * Pp^(-1/2);
    A2            = inv(A) * inv(A);
    A1            = inv(A);
    B             = Hbar' * A2 * Hbar;
    D             = Hbar' * A1 * Hbar;
    B2            = Hbar' * A2 * Hbar;
    D2            = Hbar' * A1 * Hbar;
    for ii = 1:1:N_tx
        temp       = 0;
        temp2      = 0;
        for K = 1:1:N_tx
            for M = 1:1:N_tx
                if K ~= ii && M ~= ii
                    v_rf1(K,J) = v_rf(K,J);
                    v_rf1(M,J) = v_rf(M,J);
                    temp       = temp +
(conj(v_rf1(K,J)) * B(K,M) * v_rf1(M,J));
                    temp2      = temp2+
(conj(v_rf1(K,J)) * D(K,M) * v_rf1(M,J));
                end
            end
        temporary1(ii,J)   = temp;
        temporary2(ii,J)   = temp2;
        si_ijB(ii,J)     = B(ii,ii) +
2*real(temporary1(ii,J));
        si_ijD(ii,J)     = D(ii,ii) +
2*real(temporary2(ii,J));
        temp3       = 0;
        temp4       = 0;
        for L = 1:N_rf
            if L~= ii
                v_rf2(L,J)           =
v_rf(L,J);
            end
        end
    end
end

```

```

temp3 = temp3
+ (B2(ii,L) * v_rf2(L,J));
temp4 = temp4
+ (D2(ii,L) * v_rf2(L,J));
end
end
n_ijB(ii,J) = temp3;
n_ijD(ii,J) = temp4;
c_ij(ii,J) =
((1+si_ijD(ii,J))*n_ijB(ii,J)) - (si_ijB(ii,J) *
n_ijD(ii,J));
z_ij(ii,J) =
imag((2*n_ijB(ii,J)) * n_ijD(ii,J));
if real(c_ij(ii,J)) >= 0
psi_ij(ii,J) =
asin(imag(c_ij(ii,J))/abs(c_ij(ii,J)));
elseif real(c_ij(ii,J)) < 0
psi_ij(ii,J) = pi -
(asin(imag(c_ij(ii,J))/abs(c_ij(ii,J))));
end
teta_ij1(ii,J) = (((-
1)*psi_ij(ii,J)) +
asin(z_ij(ii,J)/abs(c_ij(ii,J))));
teta_ij2(ii,J) = (pi +
((-1)*psi_ij(ii,J)) -
asin(z_ij(ii,J)/abs(c_ij(ii,J))));
vrf_ij1(ii,J) = exp(-
li*angle(teta_ij1(ii,J)));
vrf_ij2(ii,J) = exp(-
li*angle(teta_ij2(ii,J)));
f_vrf1(ii,J) = (m *
trace(inv(A))) - (m * ( (si_ijB(ii,J) +
2*real(conj(vrf_ij1(ii,J)) * n_ijB(ii,J)))/(1 +
si_ijD(ii,J) +
2*real(conj(vrf_ij1(ii,J)) * n_ijD(ii,J))))));
f_vrf2(ii,J) = (m *
trace(inv(A))) - (m * ( (si_ijB(ii,J) +
2*real(conj(vrf_ij2(ii,J)) * n_ijB(ii,J)))/(1 +
si_ijD(ii,J) +
2*real(conj(vrf_ij2(ii,J)) * n_ijD(ii,J))))));

```

```

        argmin2(ii,J)      =
argmin(ii,J);
        argmin(ii,J)      =
min(angle(f_vrf1(ii,J)),angle(f_vrf2(ii,J)));
        if argmin(ii,J) ==
f_vrf1(ii,J) %% INI MENCARI TETA OPTIMUM
        teta_opt(ii,J) =
angle(f_vrf1(ii,J));
        elseif argmin(ii,J) ~=
f_vrf1(ii,J)
        teta_opt(ii,J) =
angle(f_vrf2(ii,J));
        end
        vrf_opt(ii,J) = exp(-
1i*(teta_opt(ii,J))); %INI MENCARI VRF_OPT --
STEP 8
        v_rf(ii,J) = vrf_opt(ii,J);
    end
end
selisih = abs(argmin2(ii,J) -
argmin(ii,J));
        if selisih <= 0.3
        cnt = cnt + 1;
        break
    end

        if isnan(A)
        g_km = [];
        thet = 6 + (0.5 - (
6).*rand(1,1)); %pembangkitan theta dari 6
sampai 12 derajat
        g = randi([0 1],1,1)>=0.5;
%pembangkitan biner 0 1
        g2 = 2*g-1; %pembangkitan bpsk
        thett = (g2.*thet);

beta_k = 1;

```

```

psi = -pi + (pi - (-pi).*randn(k,1)); %pembangkitan psi dari -pi sampai pi
it = randi([0 1],k,1)>=0.5;
itb = (it*2)-1;
psii = (itb.*psi);

for kurlos = 1:k
    for murlos = 1:m
        theta_k(murlos,kurlos) = thett
+ (5*(kurlos-1)); %selisih 0.5 derajat antar antena
        ekurung(murlos,kurlos) =
((1*exp((-1i)*(murlos-
1)*pi*sind(theta_k(murlos,kurlos))))));
    end
    ekurungt =
transpose(ekurung);
    g_km2(:,kurlos) =
(sqrt(beta_k) .* exp(li*psii(kurlos))) *
ekurungt(kurlos,:);
end
g_kmt = transpose(g_km2);
end

cnt = cnt+1;

end
cnt = cnt + 1;
Pmiring = 0;
for k2 = 1:k
% STEP 12 MEMBUAT P
    vbar_d = vrf_opt' *
g_kmt' * (g_kmt * vrf_opt * vrf_opt' * g_kmt') ^-
1;
    Qbar = vbar_d' *
vrf_opt' * vrf_opt * vbar_d;

```

```

M1 = vrf_opt' *
g_kmt' * g_kmt * vrf_opt; %UNTUK MENGHITUNG
EIGENVALUE VRF*KANAL
lambda = svd(M1);
qkk = Qbar(k2,k2);
for k3 = 1:1:size(M1,1)
PK1(k3) = beta_kp/lambda(k3)
- qkk * variance;
if PK1(k3) >= 0 && PK1(k3)
<= 10
    PK2 = PK1(k3);
elseif PK1(k3) <= 0
    PK2 = 0;
end
end
Pmiring = Pmiring +
PK2;
pk = 1/qkk * PK2;
Pp(k2,k2) = pk;
PPP = beta_kp *
log2(1+ (pk/variance));
Rk(k2) = log2(1+
(sqrt(pk)/variance));
if Pmiring == 0
    Pmiring = 1;
end
if trace(Qbar*Pp) <= P &&
(log10(Pmiring)*10) >= ((log10(P)*10)-0.5)
%((log10(1/variance)*10)-7) %&& trace(Pp) <= k %
&&
cnt2 = cnt2+1;
break
end
cnt2 = cnt2+1;
end
VD = vbar_d * (Pp)^(1/2);
sum1(SNRsize,n) = sum(Rk);
SE_URLS = real(sum1);

```

```

%%%%%%%%%%%%%
%%%%%%%%%%%%%
%%%%%%%%%%%%%
jumlah_signal = 1000;
for stream = 1:1:jumlah_signal
    jumlah_data = Ns;
    genbpsk(:,stream) =
rand(jumlah_data, 1)>0.5;
    sigbpsk(:,stream) =
2*genbpsk(:,stream) -1;

    y(:,stream) = g_kmt *
vrf_opt * VD * sigbpsk(:,stream);
    detektor =
real(y)>0;
    for sinyal2= 1:Ns
        if detektor(sinyal2,stream) ==1
            sinyal_rx(sinyal2, stream) = 1;
        else sinyal_rx(sinyal2,stream) = -1;
        end
    end
end
nErr(n,SNRsize) = size(find([detektor-
genbpsk]),1);
nErr(nErr==0) = 1;
end

for n1 = 1:N
g_km1 = [];
thet1 = 6 + (0.5 - (-6).*rand(1,1));
%pembangkitan theta dari 6 sampai 12 derajat
g1 = randi([0 1],1,1)>=0.5;
%pembangkitan biner 0 1
g21 = 2*g1-1; %pembangkitan bpsk
thett1 = (g21.*thet1);
beta_k1 = 1;
psi1 = -pi + (pi - (-
pi).*randn(k,1)); %pembangkitan psi dari -pi
sampai pi

```

```

it1          = randi([0 1],k,1)>=0.5;
itb1         = (it1*2)-1;
psiil        = (itb1.*psiil);

for kurlos1    = 1:1:k
for murlos1    = 1:1:m
theta_k1(murlos1,kurlos1) = thett1 +
(5*(kurlos1-1)); %selisih 0.5 derajat antar
antena
ekurung1(murlos1,kurlos1) = ((1*exp((-1i)* (murlos1-
1)*pi*sind(theta_k1(murlos1,kurlos1))))) ;
end
ekurungt1           =
transpose(ekurung1);
g_km21(:,kurlos1)   =
(sqrt(beta_k1) .* exp(li*psiil(kurlos1))) * ekurungt1(kurlos1,:);
end
g_kmt1           = transpose(g_km21);

Pp1            = eye(k);           %step 2
beta_kp1       = ones([1, 1]);
v_rf1          = randi([1], N_tx, N_rf2);
%step 1
v_rf11         = randi([1], N_tx, N_rf2);
v_rf21         = randi([1], N_tx, N_rf2);
vrf_opt1       = randi([1], N_tx, N_rf2);
argmin1        = randi([1], N_tx, N_rf2)*5;
selisih1       = 1;
temp_topt1     = randi([1], N_tx, N_rf2)*20;
teta_opt1      = ones(N_tx, N_rf2);
teta_opt21     = ones(N_tx, N_rf2);
cnt21 = 0;
while 1
cnt1 = 0;
while 1
for J1 = 1:1:N_rf2%step 1
Hbar1          = Pp1^(-1/2) * g_kmt1;

```

```

    v_rfj1      = v_rf1;
    v_rfj1(:,J) = [];
    A1          = Pp1^(-1/2) * g_kmt1
* v_rfj1 * v_rfj1' * g_kmt1' * Pp1^(-1/2);
    A21         = inv(A1) * inv(A1);
    A11         = inv(A1);
    B1          = Hbar1' * A21 *
Hbar1;
    D1          = Hbar1' * A11 *
Hbar1;
    B21         = Hbar1' * A21 *
Hbar1;
    D21         = Hbar1' * A11 *
Hbar1;
    for iil = 1:1:N_tx
        temp1   = 0;
        temp21  = 0;
        for K1= 1:1:N_tx
            for M1 = 1:1:N_tx
                if K1 ~= iil && M1 ~= iil
                    v_rf11(K1,J1) =
v_rf1(K1,J1);
                    v_rf11(M1,J1) =
v_rf1(M1,J1);
                    temp1           = temp1
+ (conj(v_rf11(K1,J1)) * B1(K1,M1) *
v_rf11(M1,J1));
                    temp21           =
temp21+ (conj(v_rf11(K1,J1)) * D1(K1,M1) *
v_rf11(M1,J1));
                end
            end
        end
        temporary11(iil,J1)   =
temp1;
        temporary21(iil,J1)   =
temp21;
        si_ijB1(iil,J1)     =
B1(iil,iil) + 2*real(temporary11(iil,J1));

```

```

        si_ijD1(iil,J1)      =
D1(iil,iil) + 2*real(temporary21(iil,J1));
        temp31    = 0;
        temp41    = 0;
        for L1 = 1:N_rf2
        if L1~= iil
            v_rf21(L1,J1)      =
v_rf1(L1,J1);
            temp31           =
temp31 + (B21(iil,L1) * v_rf21(L1,J1));
            temp41           =
temp41 + (D21(iil,L1) * v_rf21(L1,J1));
        end
        end
        n_ijB1(iil,J1)      =
temp31;
        n_ijD1(iil,J1)      =
temp41;
        c_ij1(iil,J1)       =
((1+si_ijD1(iil,J1))*n_ijB1(iil,J1)) -
(si_ijB1(iil,J1) * n_ijD1(iil,J1));
        z_ij1(iil,J1)       =
imag((2*n_ijB1(iil,J1)) * n_ijD1(iil,J1));
        if real(c_ij1(iil,J1)) >= 0
            psi_ij1(iil,J1) =
asin(imag(c_ij1(iil,J1))/abs(c_ij1(iil,J1)));
        elseif real(c_ij1(iil,J1)) <
0
            psi_ij1(iil,J1) = pi -
(asin(imag(c_ij1(iil,J1))/abs(c_ij1(iil,J1)))) ;
        end
        teta_ij11(iil,J1)   = (((-
1)*psi_ij1(iil,J1)) +
asin(z_ij1(iil,J1)/abs(c_ij1(iil,J1)))) ;
        teta_ij21(iil,J1)   = (pi +
((-1)*psi_ij1(iil,J1)) -
asin(z_ij1(iil,J1)/abs(c_ij1(iil,J1)))) ;
        vrf_ij11(iil,J1)   = exp(-
li*angle(teta_ij11(iil,J1)));

```

```

        vrf_ij21(iil,J1)      = exp(-
li*angle(teta_ij21(iil,J1)));
        f_vrf11(iil,J1)      = (m *
trace(inv(A1))) - (m * ( (si_ijB1(iil,J1) +
2*real(conj(vrf_ij11(iil,J1)) *
n_ijB1(iil,J1)))/(1 + si_ijD1(iil,J1) +
2*real(conj(vrf_ij11(iil,J1))*n_ijD1(iil,J1)))) )
;
        f_vrf21(iil,J1)      = (m *
trace(inv(A1))) - (m * ( (si_ijB1(iil,J1) +
2*real(conj(vrf_ij21(iil,J1)) *
n_ijB1(iil,J1)))/(1 + si_ijD1(iil,J1) +
2*real(conj(vrf_ij21(iil,J1))*n_ijD1(iil,J1)))) )
;
        argmin21(iil,J1)      =
argmin1(iil,J1);
        argmin1(iil,J1)      =
min(angle(f_vrf11(iil,J1)),angle(f_vrf21(iil,J1)))
);
        if argmin1(iil,J1) ==
f_vrf11(iil,J1) %%INI MENCARI TETA OPTIMUM
            teta_opt1(iil,J1) =
angle(f_vrf11(iil,J1));
        elseif argmin1(iil,J1) ==
f_vrf11(iil,J1)
            teta_opt1(iil,J1) =
angle(f_vrf21(iil,J1));
        end
        vrf_opt1(iil,J1)      = exp(-
li*(teta_opt1(iil,J1))); %INI MENCARI VRF_OPT --
STEP 8
        v_rf1(iil,J1) =
vrf_opt1(iil,J1);
        end
        end
        selisih1 = abs(argmin21(iil,J1) -
argmin1(iil,J1));
        if selisih1 <= 0.3
            cnt1 = cnt1 + 1;
            break

```

```

        end

        if isnan(A1)
            g_kml = [];
            thet1    = 6 + (0.5 - (-6).*rand(1,1)); %pembangkitan theta dari 6 sampai 12 derajat
            g1       = randi([0 1],1,1)>=0.5;
            %pembangkitan biner 0 1
            g21      = 2*g1-1; %pembangkitan bpsk
            thett1   = (g21.*thet1);
            beta_k1  = 1;
            psi1     = -pi + (pi - (-pi).*randn(k,1)); %pembangkitan psi dari -pi sampai pi
            it1      = randi([0 1],k,1)>=0.5;
            itb1     = (it1*2)-1;
            psii1    = (itb1.*psi1);

            for kurlos1      = 1:1:k
                for murlos1    = 1:1:m
                    theta_k1(murlos1,kurlos1) = thett1 + (5*(kurlos1-1)); %selisih 0.5 derajat antar antena
                    ekurung1(murlos1,kurlos1) = ((1*exp((-1i)*(murlos1-1)*pi*sind(theta_k1(murlos1,kurlos1))))));
                end
                ekurungtl          =
                transpose(ekurung1);
                g_km21(:,kurlos1)   =
                (sqrt(beta_k1) .* exp(1i*psii1(kurlos1))) * ekurungtl(kurlos1,:);
            end
            g_kmt1      = transpose(g_km21);
        end

        cnt1 = cnt1+1;

```

```

    end
    cnt1 = cnt1 + 1;
    Pmiring1 = 0;
    for k21 = 1:k
        % STEP 12 MEMBUAT P
        vbar_d1 = vrf_opt1' *
g_kmt1' * (g_kmt1 * vrf_opt1 * vrf_opt1' *
g_kmt1')^-1;
        Qbar1 = vbar_d1' *
vrf_opt1' * vrf_opt1 * vbar_d1;
        M11 = vrf_opt1' *
g_kmt1' * g_kmt1 * vrf_opt1; %UNTUK MENGHITUNG
EIGENVALUE VRF*KANAL
        lambda1 = svd(M11);
        qkk1 =
Qbar1(k21,k21);
        for k31 = 1:size(M11,1)
            PK11(k31) =
beta_kp1/lambda1(k31) - qkk1 * variance;
            if PK11(k31) >= 0 &&
PK11(k31) <= 10
                PK21 = PK11(k31);
            elseif PK11(k31) <= 0
                PK21 = 0;
            end
        end
        Pmiring1 = Pmiring1 +
PK21;
        pk1 = 1/qkk1 *
PK21;
        Pp1(k21,k21) = pk1;
        PPP1 = beta_kp1 *
log2(1+ (pk1/variance));
        Rk1(k21) = log2(1+
(sqrt(pk1)/variance));
        if Pmiring1 == 0
            Pmiring1 = 1;
        end
    end

```

```

        if trace(Qbar1*Pp1) <= P &&
(log10(Pmirroring1)*10) >= ((log10(P)*10)-0.5)
%((log10(1/variance)*10)-7) %&& trace(Pp) <= k %
&&
        cnt21 = cnt21+1;
        break
    end
    cnt21 = cnt21+1;
end
VD1 = vbar_d1 * (Pp1)^(1/2);
sum11(SNRsize,n) = sum(Rk1);
SE_URLOS2 = real(sum11);

%%%%%%%%%%%%%
%%%%%%%%%%%%%
%%%%%%%%%%%%%
%%%%%%%%%%%%%
%%%%%%%%%%%%%
%%%%%%%%%%%%%
jumlah_signall = 1000;
for stream1 = 1:1:jumlah_signall
    jumlah_data1 = Ns;
    genbpsk1(:,stream1) =
rand(jumlah_data1, 1)>0.5;
    sigbpsk1(:,stream1) =
2*genbpsk1(:,stream1) -1;
    y1(:,stream1) = g_kmt1 *
vrf_opt1 * VD1 * sigbpsk1(:,stream1);
    detektor1 = real(y1)>0;
    for sinyal21= 1:Ns
        if detektor1(sinyal21,stream1) ==1
            sinyal_rx1(sinyal21, stream1) =
1;
        else sinyal_rx1(sinyal21,stream1) =
-1;
        end
    end
nErr1(n,SNRsize) = size(find([detektor1-
genbpsk1]),1);
nErr1(nErr1==0) = 1;
end
end

```

```

simBERurlos      = nErr/(jumlah_signal*Ns);
simBERurlos2     = nErr1/(jumlah_signal1*Ns);

figure(1)
plot(SNR_dB, mean(SE_URLOS,2), 'bx-'); hold on;
plot(SNR_dB, mean(SE_URLOS2,2), 'rx-'); hold on;
%plot(SNR_dB, mean(SE_IRF1irf3,2), 'b.-'); hold on;
%plot(SNR_dB, mean(SE_IRF1irf4,2), 'r.-'); hold on;
legend('Hybrid Beamforming','Full Digital Beamforming'); %,'NRF3','NRF4');
xlabel('SNR');
ylabel('Spectral Efficiency');
title('Spectral Efficiency vs SNR kanal URLOS');

figure(2)
semilogy(SNR_dB,mean(simBERurlos,1), 'bx-'); hold on;
semilogy(SNR_dB,mean(simBERurlos2,1), 'rx-');
hold on;
%semilogy(SNR_dB,mean(simBERirf3,1), 'bx-'); hold on;
%semilogy(SNR_dB,mean(simBERirf4,1), 'rx-'); hold on;
axis([-10 30 10^-5 0.5])
grid on
legend('Hybrid Beamforming','Full Digital Beamforming');
xlabel('Eb/No, dB');
ylabel('Bit Error Rate');
title('Bit error probability curve for BPSK modulation kanal URLOS');

```

```

%%%%%%%%%%%%%
% MATLAB SCRIPT PERBANDINGAN KANAL IRF VS URLOS
HB
%%%%%%%%%%%%%

clear all;
close all;
clc;

m = 64; k = 4; %JUMLAH ANTENA
P = 1; %Daya dalam Watt
s = 1; %menurut analisa, WAJIB
[Jml_Ns == Jml_m];
k_user = k;
Ns = s*k_user;
N_tx = m;
N_rf = Ns; %untuk syarat Hybrid
Beamforming
%N_rf2 = 2*Ns; %untuk syarat Full
Digital Beamforming

SNR_dB = -2:4:30; %range SNR in dB
SNR_lin = 10.^ (SNR_dB/10); % range SNR in linear
power
N = 9;

for SNRsize = 1 : length(SNR_dB)
    SNR = SNR_lin(SNRsize);
    variance = P/SNR;
    for n = 1:N
        variancekanal = 1;
        h_km =
sqrt(variancekanal/2)*(randn([m], [k]) + ((1i)*randn([m], [k]))); %small scale fading berdasar
Jumlah antena dan user
        g_km = h_km;
        g_kmt = transpose(g_km);
        Pp = eye(k); %step 2
        beta_kp = ones([1, 1]);

```

```

v_rf          = randi([1], N_tx, N_rf); %step
1
v_rf1         = randi([1], N_tx, N_rf);
v_rf2         = randi([1], N_tx, N_rf);
vrf_opt       = randi([1], N_tx, N_rf);
argmin        = randi([1], N_tx, N_rf)*5;
selisih       = 1;
temp_topt     = randi([1], N_tx, N_rf)*20;
teta_opt      = ones(N_tx, N_rf);
teta_opt2     = ones(N_tx, N_rf);
cnt2 = 0;
while 1
cnt = 0;
    while 1
        for J = 1:1:N_rf%step 1
            Hbar           = Pp^(-1/2) * g_kmt;
            v_rfj          = v_rf;
            v_rfj(:,J)     = [];
            A               = Pp^(-1/2) * g_kmt *
v_rfj * v_rfj' * g_kmt' * Pp^(-1/2);
            A2              = inv(A) * inv(A);
            A1              = inv(A);
            B               = Hbar' * A2 * Hbar;
            D               = Hbar' * A1 * Hbar;
            B2              = Hbar' * A2 * Hbar;
            D2              = Hbar' * A1 * Hbar;
            for ii = 1:1:N_tx
                temp   = 0;
                temp2  = 0;
                for K = 1:1:N_tx
                    for M = 1:1:N_tx
                        if K ~= ii && M ~= ii
                            v_rf1(K,J) = v_rf(K,J);
                            v_rf1(M,J) = v_rf(M,J);
                            temp      = temp +
(conj(v_rf1(K,J)) * B(K,M) * v_rf1(M,J));
                            temp2     = temp2+
(conj(v_rf1(K,J)) * D(K,M) * v_rf1(M,J));
                        end

```

```

        end
        end
        temporary1(ii,J)      = temp;
        temporary2(ii,J)      = temp2;
        si_ijB(ii,J)         = B(ii,ii) +
2*real(temporary1(ii,J));
        si_ijD(ii,J)         = D(ii,ii) +
2*real(temporary2(ii,J));
        temp3    = 0;
        temp4    = 0;
        for L = 1:N_rf
        if L~= ii
            v_rf2(L,J)      =
v_rf(L,J);
            temp3           = temp3
+ (B2(ii,L) * v_rf2(L,J));
            temp4           = temp4
+ (D2(ii,L) * v_rf2(L,J));
        end
        end
        n_ijB(ii,J)          = temp3;
        n_ijD(ii,J)          = temp4;
        c_ij(ii,J)           =
((1+si_ijD(ii,J))*n_ijB(ii,J)) - (si_ijB(ii,J) *
n_ijD(ii,J));
        z_ij(ii,J)           =
imag((2*n_ijB(ii,J)) * n_ijD(ii,J));
        if real(c_ij(ii,J)) >= 0
            psi_ij(ii,J) =
asin(imag(c_ij(ii,J))/abs(c_ij(ii,J)));
        elseif real(c_ij(ii,J)) < 0
            psi_ij(ii,J) = pi -
(asin(imag(c_ij(ii,J))/abs(c_ij(ii,J)))); 
        end
        teta_ij1(ii,J)       = (((-
1)*psi_ij(ii,J)) +
asin(z_ij(ii,J)/abs(c_ij(ii,J)))); 
        teta_ij2(ii,J)       = (pi +
((-1)*psi_ij(ii,J)) -
asin(z_ij(ii,J)/abs(c_ij(ii,J))));


```

```

vrf_ij1(ii,J)      = exp(-
li*angle(teta_ij1(ii,J)));
vrf_ij2(ii,J)      = exp(-
li*angle(teta_ij2(ii,J)));
f_vrf1(ii,J)       = (m *
trace(inv(A))) - (m * ( (si_ijB(ii,J) +
2*real(conj(vrf_ij1(ii,J)) * n_ijB(ii,J)))/(1 +
si_ijD(ii,J) +
2*real(conj(vrf_ij1(ii,J))*n_ijD(ii,J))))));
f_vrf2(ii,J)       = (m *
trace(inv(A))) - (m * ( (si_ijB(ii,J) +
2*real(conj(vrf_ij2(ii,J)) * n_ijB(ii,J)))/(1 +
si_ijD(ii,J) +
2*real(conj(vrf_ij2(ii,J))*n_ijD(ii,J))))));
argmin2(ii,J)      =
argmin(ii,J);
argmin(ii,J)        =
min(angle(f_vrf1(ii,J)),angle(f_vrf2(ii,J)));
if argmin(ii,J) ==
f_vrf1(ii,J) %% INI MENCARI TETA OPTIMUM
teta_opt(ii,J) =
angle(f_vrf1(ii,J));
elseif argmin(ii,J) ==
f_vrf1(ii,J)
teta_opt(ii,J) =
angle(f_vrf2(ii,J));
end
vrf_opt(ii,J)      = exp(-
li*(teta_opt(ii,J))); %%INI MENCARI VRF_OPT --
STEP 8
v_rf(ii,J) = vrf_opt(ii,J);
end
end
selisih = abs(argmin2(ii,J) -
argmin(ii,J));
if selisih <= 0.3
cnt = cnt + 1;
break
end

```

```

        if isnan(A)
            variancekanal = 1;
            h_km =
sqrt(variancekanal/2)*(randn([m],[k])+((1i)*randn([m],[k]))); %small scale fading berdasar
Jumlah antena dan user
            g_km = h_km;
            g_kmt = transpose(g_km);
            Pp = eye(k);

%step 2
            beta_kp = ones([1, 1]);
            v_rf = randi([1], N_tx,
N_rf); %step 1
            end

            cnt = cnt+1;

        end
        cnt = cnt + 1;
        Pmiring = 0;
        for k2 = 1:k
% STEP 12 MEMBUAT P
            vbar_d = vrf_opt' *
g_kmt' * (g_kmt * vrf_opt * vrf_opt' * g_kmt')^-1;
            Qbar = vbar_d' *
vrf_opt' * vrf_opt * vbar_d;
            M1 = vrf_opt' *
g_kmt' * g_kmt * vrf_opt; %UNTUK MENGHITUNG
EIGENVALUE VRF*KANAL
            lambda = svd(M1);
            qkk = Qbar(k2,k2);
            for k3 = 1:1:size(M1,1)
                PK1(k3) = beta_kp/lambda(k3)
- qkk * variance;
                if PK1(k3) >= 0 && PK1(k3)
<= 10
                    PK2 = PK1(k3);
                elseif PK1(k3) <= 0

```

```

        PK2 = 0;
    end
end
Pmirring = Pmirring +
PK2;
pk = 1/qkk * PK2;
Pp(k2,k2) = pk;
PPP = beta_kp *
log2(1+ (pk/variance));
Rk(k2) = log2(1+
(sqrt(pk)/variance));
if Pmirring == 0
    Pmirring = 1;
end
if trace(Qbar*Pp) <= P &&
(log10(Pmirring)*10) >= ((log10(P)*10)-0.5)
%((log10(1/variance)*10)-7) %&& trace(Pp) <= k %
&&
cnt2 = cnt2+1;
break
end
cnt2 = cnt2+1;
end
VD = vbar_d * (Pp)^(1/2);
sum1(SNRsize,n) = sum(Rk);
SE_IRF1 = real(sum1);
%%%%%%%%%%%%%
%%%%%%%%%%%%%
%%%%%%%%%%%%%
%%%%%%%%%%%%%
jumlah_signal = 1000;
for stream = 1:1:jumlah_signal
    jumlah_data = Ns;
    genbpsk(:,stream) =
rand(jumlah_data, 1)>0.5;
    sigbpsk(:,stream) =
2*genbpsk(:,stream) -1;

```

```

y(:,stream) = g_kmt *
vrf_opt * VD * sigbpsk(:,stream);
detektor =
real(y)>0;
for sinyal2= 1:Ns
if detektor(sinyal2,stream) ==1
    sinyal_rx(sinyal2, stream) = 1;
else sinyal_rx(sinyal2,stream) = -1;
end
end
nErr(n,SNRsize) = size(find([detektor-
genbpsk]),1);
nErr(nErr==0) = 1;
end

for n1 = 1:N
g_kmm = [];
thet = 6 + (0.5 - (-6).*rand(1,1));
%pembangkitan theta dari 6 sampai 12 derajat
g = randi([0 1],1,1)>=0.5;
%pembangkitan biner 0 1
g2 = 2*g-1; %pembangkitan bpsk
thett = (g2.*thet);
%theta = asind(thett);

beta_k = 1;

psi = -pi + (pi - (-pi).*randn(k,1)); %pembangkitan psi dari -pi sampai pi
it = randi([0 1],k,1)>=0.5;
itb = (it*2)-1;
psii = (itb.*psi);

for kurlos = 1:1:k
for murlos = 1:1:m
theta_k(murlos,kurlos) = thett +
(5*(kurlos-1)); %selisih 0.5 derajat antar antena

```

```

        ekurung(murlos,kurlos) = ((1*exp((-1i)* (murlos-
1)*pi*sind(theta_k(murlos,kurlos))))));
    end
    ekurungt =
transpose(ekurung);
    g_km2(:,kurlos) = (sqrt(beta_k) ...
.* exp(1i*psii(kurlos))) * ekurungt(kurlos,:);
end
g_kmt1 = transpose(g_km2);

Pp1 = eye(k); %step 2
beta_kp1 = ones([1, 1]);

v_rf1 = randi([1], N_tx, N_rf); %step
1
v_rf11 = randi([1], N_tx, N_rf);
v_rf21 = randi([1], N_tx, N_rf);
vrf_opt1 = randi([1], N_tx, N_rf);
argmin1 = randi([1], N_tx, N_rf)*5;
selisih1 = 1;
temp_topt1 = randi([1], N_tx, N_rf)*20;
teta_opt1 = ones(N_tx, N_rf);
teta_opt21 = ones(N_tx, N_rf);
cnt21 = 0;
while 1
cnt1 = 0;
while 1
for J1 = 1:N_rf%step 1
Hbar1 = Pp1^(-1/2) * g_kmt1;
v_rfj1 = v_rf1;
v_rfj1(:,J) = [];
A1 = Pp1^(-1/2) * g_kmt1
* v_rfj1 * v_rfj1' * g_kmt1' * Pp1^(-1/2);
A21 = inv(A1) * inv(A1);
A11 = inv(A1);
B1 = Hbar1' * A21 *
Hbar1;

```

```

D1          = Hbar1' * A11 *
Hbar1;
B21          = Hbar1' * A21 *
Hbar1;
D21          = Hbar1' * A11 *
Hbar1;
for ii1 = 1:1:N_tx
temp1      = 0;
temp21     = 0;
for K1= 1:1:N_tx
for M1 = 1:1:N_tx
if K1 ~= ii1 && M1 ~=
ii1
v_rf11(K1,J1) =
v_rf11(M1,J1) =
v_rf1(M1,J1);
temp1           = temp1
+ (conj(v_rf11(K1,J1)) * B1(K1,M1) *
v_rf11(M1,J1));
temp21           =
temp21+ (conj(v_rf11(K1,J1)) * D1(K1,M1) *
v_rf11(M1,J1));
end
end
temporary11(ii1,J1)   =
temp1;
temporary21(ii1,J1)   =
temp21;
si_ijB1(ii1,J1)      =
B1(ii1,ii1) + 2*real(temporary11(ii1,J1));
si_ijD1(ii1,J1)      =
D1(ii1,ii1) + 2*real(temporary21(ii1,J1));
temp31    = 0;
temp41    = 0;
for L1 = 1:N_rf
if L1~= ii1
v_rf21(L1,J1)      =
v_rf1(L1,J1);

```

```

temp31 = temp31 + (B21(iil,L1) * v_rf21(L1,J1));
temp41 = temp41 + (D21(iil,L1) * v_rf21(L1,J1));
end
end
n_ijB1(iil,J1) =
temp31;
n_ijD1(iil,J1) =
temp41;
c_ij1(iil,J1) =
((1+si_ijD1(iil,J1))*n_ijB1(iil,J1)) -
(si_ijB1(iil,J1) * n_ijD1(iil,J1));
z_ij1(iil,J1) =
imag((2*n_ijB1(iil,J1)) * n_ijD1(iil,J1));
if real(c_ij1(iil,J1)) >= 0
    psi_ij1(iil,J1) =
asin(imag(c_ij1(iil,J1))/abs(c_ij1(iil,J1)));
elseif real(c_ij1(iil,J1)) <
0
    psi_ij1(iil,J1) = pi -
(asin(imag(c_ij1(iil,J1))/abs(c_ij1(iil,J1))));
end
teta_ij11(iil,J1) = ((((-1)*psi_ij1(iil,J1)) +
asin(z_ij1(iil,J1)/abs(c_ij1(iil,J1)))) +
teta_ij21(iil,J1) = (pi +
((-1)*psi_ij1(iil,J1)) -
asin(z_ij1(iil,J1)/abs(c_ij1(iil,J1)))) +
vrf_ij11(iil,J1) = exp(-
li*angle(teta_ij11(iil,J1)));
vrf_ij21(iil,J1) = exp(-
li*angle(teta_ij21(iil,J1)));
f_vrf11(iil,J1) = (m *
trace(inv(A1))) - (m * ( (si_ijB1(iil,J1) +
2*real(conj(vrf_ij11(iil,J1)) *
n_ijB1(iil,J1)))/(1 + si_ijD1(iil,J1) +
2*real(conj(vrf_ij11(iil,J1)) * n_ijD1(iil,J1)))) )
;
```

```

f_vrf21(iil,J1)      = (m *
trace(inv(A1))) - (m * ( (si_ijB1(iil,J1) +
2*real(conj(vrf_ij21(iil,J1)) *
n_ijB1(iil,J1)))/(1 + si_ijD1(iil,J1) +
2*real(conj(vrf_ij21(iil,J1))*n_ijD1(iil,J1)))) )
;
argmin21(iil,J1)      =
argmin1(iil,J1);
argmin1(iil,J1)      =
min(angle(f_vrf11(iil,J1)),angle(f_vrf21(iil,J1)))
);
if argmin1(iil,J1) ==
f_vrf11(iil,J1) %%INI MENCARI TETA OPTIMUM
teta_opt1(iil,J1) =
angle(f_vrf11(iil,J1));
elseif argmin1(iil,J1) ~=
f_vrf11(iil,J1)
teta_opt1(iil,J1) =
angle(f_vrf21(iil,J1));
end
vrf_opt1(iil,J1)      = exp(-
li*(teta_opt1(iil,J1))); %INI MENCARI VRF_OPT --
STEP 8
v_rfl(iil,J1) =
vrf_opt1(iil,J1);
end
end
selisih1 = abs(argmin21(iil,J1) -
argmin1(iil,J1));
if selisih1 <= 0.3
cnt1 = cnt1 + 1;
break
end

if isnan(A1)
g_kmm = [];
thet   = 6 + (0.5 - (-
6).*rand(1,1)); %pembangkitan theta dari 6
sampai 12 derajat

```

```

g           = randi([0 1],1,1)>=0.5;
%pembangkitan biner 0 1
g2          = 2*g-1; %pembangkitan bpsk
thett       = (g2.*thet);
%theta      = asind(thett);

beta_k     = 1;

psi         = -pi + (pi - (-pi).*randn(k,1)); %pembangkitan psi dari -pi sampai pi
it          = randi([0 1],k,1)>=0.5;
itb         = (it*2)-1;
psii        = (itb.*psi);

for kurlos    = 1:k
for murlos     = 1:m
theta_k(murlos,kurlos) = thett
+ (5*(kurlos-1)); %selisih 0.5 derajat antar antena
ekurung(murlos,kurlos) =
((1*exp((-1i)*(murlos-
1)*pi*sind(theta_k(murlos,kurlos))))));
end
ekurungt      =
transpose(ekurung);
g_km2(:,kurlos) =
(sqrt(beta_k) .* exp(li*psii(kurlos))) *
ekurungt(kurlos,:);
end
g_kmt1       = transpose(g_km2);
end

cnt1 = cnt1+1;

end
cnt1 = cnt1 + 1;
Pmiring1 = 0;
for k21 = 1:k
% STEP 12 MEMBUAT P

```

```

vbar_d1           = vrf_opt1' *
g_kmt1' * (g_kmt1 * vrf_opt1 * vrf_opt1' *
g_kmt1')^-1;
Qbar1           = vbar_d1' *
vrf_opt1' * vrf_opt1 * vbar_d1;
M11             = vrf_opt1' *
g_kmt1' * g_kmt1 * vrf_opt1; %UNTUK MENGHITUNG
EIGENVALUE VRF*KANAL
lambda1          = svd(M11);
qkk1             =
Qbar1(k21,k21);
for k31 = 1:1:size(M11,1)
    PK11(k31) =
beta_kp1/lambda1(k31) - qkk1 * variance;
    if PK11(k31) >= 0 &&
PK11(k31) <= 10
        PK21 = PK11(k31);
    elseif PK11(k31) <= 0
        PK21 = 0;
    end
end
Pmiring1         = Pmiring1 +
PK21;
pk1              = 1/qkk1 *
PK21;
Pp1(k21,k21)     = pk1;
PPP1             = beta_kp1 *
log2(1+ (pk1/variance));
Rk1(k21)          = log2(1+
(sqrt(pk1)/variance));
if Pmiring1 == 0
    Pmiring1 = 1;
end
if trace(Qbar1*Pp1) <= P &&
(log10(Pmiring1)*10) >= ((log10(P)*10)-0.5)
%((log10(1/variance)*10)-7) %&& trace(Pp) <= k %
&&
cnt21 = cnt21+1;
break

```

```

        end
    cnt21 = cnt21+1;
end
VD1 = vbar_d1 * (Pp1)^(1/2);
sum11(SNRsize,n) = sum(Rk1);
SE_URLOS = real(sum11);

%%%%%%%%%%%%%
%%%%%%%%%%%%%
%%%%%%%%%%%%%
%%%%%%%%%%%%%
jumlah_signal1 = 1000;
for stream1 = 1:1:jumlah_signal1
    jumlah_data1 = Ns;
    genbpsk1(:,stream1) =
rand(jumlah_data1, 1)>0.5;
    sigbpsk1(:,stream1) =
2*genbpsk1(:,stream1) -1;
    y1(:,stream1) = g_kmt1 *
vrf_opt1 * VD1 * sigbpsk1(:,stream1);
    detektor1 = real(y1)>0;
    for sinyal21= 1:Ns
        if detektor1(sinyal21,stream1) ==1
            sinyal_rx1(sinyal21, stream1) =
1;
            else sinyal_rx1(sinyal21,stream1) =
-1;
        end
    end
end
nErr1(n,SNRsize) = size(find([detektor1-
genbpsk1]),1);
nErr1(nErr1==0) = 1;
end
end

simBER = nErr/(jumlah_signal*Ns);
simBERurlos= nErr1/(jumlah_signal1*Ns);

figure(1)
plot(SNR_dB, mean(SE_IRF1,2), 'bx-'); hold on;

```

```

plot(SNR_dB, mean(SE_URLOS,2), 'rx-'); hold on;
%plot(SNR_dB, mean(SE_IRF1irf3,2), 'b.-'); hold on;
%plot(SNR_dB, mean(SE_IRF1irf4,2), 'r.-'); hold on;
legend('IRF','URLOS');
xlabel('SNR');
ylabel('Spectral Efficiency');
title('Spectral Efficiency vs SNR HB');

figure(2)
semilogy(SNR_dB,mean(simBER,1), 'bx-'); hold on;
semilogy(SNR_dB,mean(simBERurlos,1), 'rx-'); hold on;
%semilogy(SNR_dB,mean(simBERirf3,1), 'bx-'); hold on;
%semilogy(SNR_dB,mean(simBERirf4,1), 'rx-'); hold on;
axis([-10 30 10^-5 0.5])
grid on
legend('IRF','URLOS');
xlabel('Eb/No, dB');
ylabel('Bit Error Rate');
title('Bit error probability curve for BPSK modulation HB');

```

```
%MATLAB SCRIPT PERBANDINGAN KANAL IRF VS URLOS
FDB

clear all;
close all;
clc;

m = 64; k = 4; %JUMLAH ANTENA
P = 1; %Daya dalam Watt
s = 1; %menurut analisa, WAJIB
[Jml_Ns == Jml_m];
k_user = k;
Ns = s*k_user;
N_tx = m;
N_rf = 2*Ns; %untuk syarat Hybrid Beamforming
%N_rf2 = 2*Ns; %untuk syarat Full Digital Beamforming

SNR_dB = -2:4:30; %range SNR in dB
SNR_lin = 10.^((SNR_dB/10)); % range SNR in linear power
N = 9;

for SNRsiz = 1 : length(SNR_dB)
    SNR = SNR_lin(SNRsiz);
    variance = P/SNR;
    for n = 1:N
        variancekanal = 1;
        h_km =
sqrt(variancekanal/2)*(randn([m],[k]) + ((1i)*randn([m],[k]))); %small scale fading berdasarkan jumlah antena dan user
        g_km = h_km;
        g_kmt = transpose(g_km);
        Pp = eye(k); %step 2
        beta_kp = ones([1, 1]);
        %UNTUK MEMERIKSA KONVERGENSI
        %Pp = inv(g_kmt*g_km);
        %beta_kp = Pp\h_km;
        %UNTUK MEMERIKSA KONVERGENSI
```

```

v_rf          = randi([1], N_tx, N_rf); %step
1
v_rf1         = randi([1], N_tx, N_rf);
v_rf2         = randi([1], N_tx, N_rf);
vrf_opt       = randi([1], N_tx, N_rf);
argmin        = randi([1], N_tx, N_rf)*5;
selisih       = 1;
temp_topt     = randi([1], N_tx, N_rf)*20;
teta_opt      = ones(N_tx, N_rf);
teta_opt2     = ones(N_tx, N_rf);
cnt2 = 0;
while 1
cnt = 0;
    while 1
        for J = 1:1:N_rf%step 1
            Hbar           = Pp^(-1/2) * g_kmt;
            v_rfj          = v_rf;
            v_rfj(:,J)     = [];
            A               = Pp^(-1/2) * g_kmt *
v_rfj * v_rfj' * g_kmt' * Pp^(-1/2);
            A2              = inv(A) * inv(A);
            A1              = inv(A);
            B               = Hbar' * A2 * Hbar;
            D               = Hbar' * A1 * Hbar;
            B2              = Hbar' * A2 * Hbar;
            D2              = Hbar' * A1 * Hbar;
            for ii = 1:1:N_tx
                temp   = 0;
                temp2  = 0;
                for K = 1:1:N_tx
                    for M = 1:1:N_tx
                        if K ~= ii && M ~= ii
                            v_rf1(K,J) = v_rf(K,J);
                            v_rf1(M,J) = v_rf(M,J);
                            temp      = temp +
(conj(v_rf1(K,J)) * B(K,M) * v_rf1(M,J));
                            temp2     = temp2+
(conj(v_rf1(K,J)) * D(K,M) * v_rf1(M,J));
                        end

```

```

        end
        end
        temporary1(ii,J)      = temp;
        temporary2(ii,J)      = temp2;
        si_ijB(ii,J)         = B(ii,ii) +
2*real(temporary1(ii,J));
        si_ijD(ii,J)         = D(ii,ii) +
2*real(temporary2(ii,J));
        temp3    = 0;
        temp4    = 0;
        for L = 1:N_rf
        if L~= ii
            v_rf2(L,J)      =
v_rf(L,J);
            temp3           = temp3
+ (B2(ii,L) * v_rf2(L,J));
            temp4           = temp4
+ (D2(ii,L) * v_rf2(L,J));
        end
        end
        n_ijB(ii,J)          = temp3;
        n_ijD(ii,J)          = temp4;
        c_ij(ii,J)           =
((1+si_ijD(ii,J))*n_ijB(ii,J)) - (si_ijB(ii,J) *
n_ijD(ii,J));
        z_ij(ii,J)           =
imag((2*n_ijB(ii,J)) * n_ijD(ii,J));
        if real(c_ij(ii,J)) >= 0
            psi_ij(ii,J) =
asin(imag(c_ij(ii,J))/abs(c_ij(ii,J)));
        elseif real(c_ij(ii,J)) < 0
            psi_ij(ii,J) = pi -
(asin(imag(c_ij(ii,J))/abs(c_ij(ii,J)))); 
        end
        teta_ij1(ii,J)       = (((-
1)*psi_ij(ii,J)) +
asin(z_ij(ii,J)/abs(c_ij(ii,J)))); 
        teta_ij2(ii,J)       = (pi +
((-1)*psi_ij(ii,J)) -
asin(z_ij(ii,J)/abs(c_ij(ii,J))));


```

```

vrf_ij1(ii,J)      = exp(-
li*angle(teta_ij1(ii,J)));
vrf_ij2(ii,J)      = exp(-
li*angle(teta_ij2(ii,J)));
f_vrf1(ii,J)       = (m *
trace(inv(A))) - (m * ( (si_ijB(ii,J) +
2*real(conj(vrf_ij1(ii,J)) * n_ijB(ii,J)))/(1 +
si_ijD(ii,J) +
2*real(conj(vrf_ij1(ii,J))*n_ijD(ii,J))))));
f_vrf2(ii,J)       = (m *
trace(inv(A))) - (m * ( (si_ijB(ii,J) +
2*real(conj(vrf_ij2(ii,J)) * n_ijB(ii,J)))/(1 +
si_ijD(ii,J) +
2*real(conj(vrf_ij2(ii,J))*n_ijD(ii,J))))));
argmin2(ii,J)      =
argmin(ii,J);
argmin(ii,J)        =
min(angle(f_vrf1(ii,J)),angle(f_vrf2(ii,J)));
if argmin(ii,J) ==
f_vrf1(ii,J) %% INI MENCARI TETA OPTIMUM
teta_opt(ii,J) =
angle(f_vrf1(ii,J));
elseif argmin(ii,J) ==
f_vrf1(ii,J)
teta_opt(ii,J) =
angle(f_vrf2(ii,J));
end
vrf_opt(ii,J)      = exp(-
li*(teta_opt(ii,J))); %%INI MENCARI VRF_OPT --
STEP 8
v_rf(ii,J) = vrf_opt(ii,J);
end
end
selisih = abs(argmin2(ii,J) -
argmin(ii,J));
if selisih <= 0.3
cnt = cnt + 1;
break
end

```

```

if isnan(A)
    variancekanal = 1;
    h_km =
sqrt(variancekanal/2)*(randn([m],[k])+((1i)*randn([m],[k]))); %small scale fading berdasar
Jumlah antena dan user
g_km = h_km;
g_kmt = transpose(g_km);
Pp = eye(k);

%step 2
beta_kp = ones([1, 1]);
v_rf = randi([1], N_tx,
N_rf); %step 1
end

cnt = cnt+1;

end
cnt = cnt + 1;
Pmiring = 0;
for k2 = 1:k
% STEP 12 MEMBUAT P
    vbar_d = vrf_opt' *
g_kmt' * (g_kmt * vrf_opt * vrf_opt' * g_kmt')^-1;
    Qbar = vbar_d' *
vrf_opt' * vrf_opt * vbar_d;
    M1 = vrf_opt' *
g_kmt' * g_kmt * vrf_opt; %UNTUK MENGHITUNG
EIGENVALUE VRF*KANAL
    lambda = svd(M1);
    qkk = Qbar(k2,k2);
    for k3 = 1:1:size(M1,1)
        PK1(k3) = beta_kp/lambda(k3)
- qkk * variance;
        if PK1(k3) >= 0 && PK1(k3)
<= 10
            PK2 = PK1(k3);
        elseif PK1(k3) <= 0

```

```

        PK2 = 0;
    end
end
Pmirring = Pmirring +
PK2;
pk = 1/qkk * PK2;
Pp(k2,k2) = pk;
PPP = beta_kp *
log2(1+ (pk/variance));
Rk(k2) = log2(1+
(sqrt(pk)/variance));
if Pmirring == 0
    Pmirring = 1;
end
if trace(Qbar*Pp) <= P &&
(log10(Pmirring)*10) >= ((log10(P)*10)-0.5)
%((log10(1/variance)*10)-7) %&& trace(Pp) <= k %
&&
cnt2 = cnt2+1;
break
end
cnt2 = cnt2+1;
end
VD = vbar_d * (Pp)^(1/2);
sum1(SNRsize,n) = sum(Rk);
SE_IRF1 = real(sum1);
%%%%%%%%%%%%%
%%%%%%%%%%%%%
%%%%%%%%%%%%%
%%%%%%%%%%%%%
jumlah_signal = 1000;
for stream = 1:1:jumlah_signal
    jumlah_data = Ns;
    genbpsk(:,stream) =
rand(jumlah_data, 1)>0.5;
    sigbpsk(:,stream) =
2*genbpsk(:,stream) -1;

```

```

y(:,stream) = g_kmt *
vrf_opt * VD * sigbpsk(:,stream);
detektor =
real(y)>0;
for sinyal2= 1:Ns
if detektor(sinyal2,stream) ==1
    sinyal_rx(sinyal2, stream) = 1;
else sinyal_rx(sinyal2,stream) = -1;
end
end
nErr(n,SNRsize) = size(find([detektor-
genbpsk]),1);
nErr(nErr==0) = 1;
end

for n1 = 1:N
g_kmm = [];
thet = 6 + (0.5 - (-6).*rand(1,1));
%pembangkitan theta dari 6 sampai 12 derajat
g = randi([0 1],1,1)>=0.5;
%pembangkitan biner 0 1
g2 = 2*g-1; %pembangkitan bpsk
thett = (g2.*thet);
%theta = asind(thett);

beta_k = 1;

psi = -pi + (pi - (-
pi).*randn(k,1)); %pembangkitan psi dari -pi
sampai pi
it = randi([0 1],k,1)>=0.5;
itb = (it*2)-1;
psii = (itb.*psi);

for kurlos = 1:1:k
for murlos = 1:1:m
theta_k(murlos,kurlos) = thett +
(5*(kurlos-1)); %selisih 0.5 derajat antar
antena

```

```

        ekurung(murlos,kurlos) = ((1*exp((-1i)* (murlos-
1)*pi*sind(theta_k(murlos,kurlos))))));
    end
    ekurungt =
transpose(ekurung);
    g_km2(:,kurlos) = (sqrt(beta_k) ...
.* exp(1i*psii(kurlos))) * ekurungt(kurlos,:);
end
g_kmt1 = transpose(g_km2);

Pp1 = eye(k); %step 2
beta_kp1 = ones([1, 1]);

v_rf1 = randi([1], N_tx, N_rf); %step
1
v_rf11 = randi([1], N_tx, N_rf);
v_rf21 = randi([1], N_tx, N_rf);
vrf_opt1 = randi([1], N_tx, N_rf);
argmin1 = randi([1], N_tx, N_rf)*5;
selisih1 = 1;
temp_topt1 = randi([1], N_tx, N_rf)*20;
teta_opt1 = ones(N_tx, N_rf);
teta_opt21 = ones(N_tx, N_rf);
cnt21 = 0;
while 1
cnt1 = 0;
while 1
for J1 = 1:N_rf%step 1
Hbar1 = Pp1^(-1/2) * g_kmt1;
v_rfj1 = v_rf1;
v_rfj1(:,J) = [];
A1 = Pp1^(-1/2) * g_kmt1
* v_rfj1 * v_rfj1' * g_kmt1' * Pp1^(-1/2);
A21 = inv(A1) * inv(A1);
A11 = inv(A1);
B1 = Hbar1' * A21 *
Hbar1;

```

```

D1          = Hbar1' * A11 *
Hbar1;
B21          = Hbar1' * A21 *
Hbar1;
D21          = Hbar1' * A11 *
Hbar1;
for ii1 = 1:1:N_tx
temp1      = 0;
temp21     = 0;
for K1= 1:1:N_tx
for M1 = 1:1:N_tx
if K1 ~= ii1 && M1 ~=
ii1
v_rf11(K1,J1) =
v_rf11(M1,J1) =
v_rf1(M1,J1);
temp1           = temp1
+ (conj(v_rf11(K1,J1)) * B1(K1,M1) *
v_rf11(M1,J1));
temp21           =
temp21+ (conj(v_rf11(K1,J1)) * D1(K1,M1) *
v_rf11(M1,J1));
end
end
temporary11(ii1,J1)   =
temp1;
temporary21(ii1,J1)   =
temp21;
si_ijB1(ii1,J1)      =
B1(ii1,ii1) + 2*real(temporary11(ii1,J1));
si_ijD1(ii1,J1)      =
D1(ii1,ii1) + 2*real(temporary21(ii1,J1));
temp31    = 0;
temp41    = 0;
for L1 = 1:N_rf
if L1~= ii1
v_rf21(L1,J1)      =
v_rf1(L1,J1);

```

```

temp31 = temp31 + (B21(iil,L1) * v_rf21(L1,J1));
temp41 = temp41 + (D21(iil,L1) * v_rf21(L1,J1));
end
end
n_ijB1(iil,J1) =
temp31;
n_ijD1(iil,J1) =
temp41;
c_ij1(iil,J1) =
((1+si_ijD1(iil,J1))*n_ijB1(iil,J1)) -
(si_ijB1(iil,J1) * n_ijD1(iil,J1));
z_ij1(iil,J1) =
imag((2*n_ijB1(iil,J1)) * n_ijD1(iil,J1));
if real(c_ij1(iil,J1)) >= 0
    psi_ij1(iil,J1) =
asin(imag(c_ij1(iil,J1))/abs(c_ij1(iil,J1)));
elseif real(c_ij1(iil,J1)) <
0
    psi_ij1(iil,J1) = pi -
(asin(imag(c_ij1(iil,J1))/abs(c_ij1(iil,J1))));
end
teta_ij11(iil,J1) = ((((-1)*psi_ij1(iil,J1)) +
asin(z_ij1(iil,J1)/abs(c_ij1(iil,J1)))) -
teta_ij21(iil,J1)) = (pi +
((-1)*psi_ij1(iil,J1)) -
asin(z_ij1(iil,J1)/abs(c_ij1(iil,J1)))) -
vrf_ij11(iil,J1) = exp(-
li*angle(teta_ij11(iil,J1)));
vrf_ij21(iil,J1) = exp(-
li*angle(teta_ij21(iil,J1)));
f_vrf11(iil,J1) = (m *
trace(inv(A1))) - (m * ( (si_ijB1(iil,J1) +
2*real(conj(vrf_ij11(iil,J1)) *
n_ijB1(iil,J1)))/(1 + si_ijD1(iil,J1) +
2*real(conj(vrf_ij11(iil,J1)) * n_ijD1(iil,J1)))) )
;
```

```

f_vrf21(iil,J1)      = (m *
trace(inv(A1))) - (m * ( (si_ijB1(iil,J1) +
2*real(conj(vrf_ij21(iil,J1)) *
n_ijB1(iil,J1)))/(1 + si_ijD1(iil,J1) +
2*real(conj(vrf_ij21(iil,J1))*n_ijD1(iil,J1)))) )
;
argmin21(iil,J1)      =
argmin1(iil,J1);
argmin1(iil,J1)      =
min(angle(f_vrf11(iil,J1)),angle(f_vrf21(iil,J1)))
);
if argmin1(iil,J1) ==
f_vrf11(iil,J1) %%INI MENCARI TETA OPTIMUM
teta_opt1(iil,J1) =
angle(f_vrf11(iil,J1));
elseif argmin1(iil,J1) ~=
f_vrf11(iil,J1)
teta_opt1(iil,J1) =
angle(f_vrf21(iil,J1));
end
vrf_opt1(iil,J1)      = exp(-
li*(teta_opt1(iil,J1))); %INI MENCARI VRF_OPT --
STEP 8
v_rfl(iil,J1) =
vrf_opt1(iil,J1);
end
end
selisih1 = abs(argmin21(iil,J1) -
argmin1(iil,J1));
if selisih1 <= 0.3
cnt1 = cnt1 + 1;
break
end

if isnan(A1)
g_kmm = [];
thet    = 6 + (0.5 - (-
6).*rand(1,1)); %pembangkitan theta dari 6
sampai 12 derajat

```

```

g           = randi([0 1],1,1)>=0.5;
%pembangkitan biner 0 1
g2          = 2*g-1; %pembangkitan bpsk
thett      = (g2.*thet);

beta_k     = 1;

psi         = -pi + (pi - (-pi).*randn(k,1)); %pembangkitan psi dari -pi sampai pi
it          = randi([0 1],k,1)>=0.5;
itb         = (it*2)-1;
psii        = (itb.*psi);

for kurlos    = 1:k
for murlos    = 1:m
theta_k(murlos,kurlos) = thett
+ (5*(kurlos-1)); %selisih 0.5 derajat antar antena
ekurung(murlos,kurlos) =
((1*exp((-1i)*(murlos-
1)*pi*sind(theta_k(murlos,kurlos))))));
end
ekurungt      =
transpose(ekurung);
g_km2(:,kurlos) =
(sqrt(beta_k) .* exp(li*psii(kurlos))) *
ekurungt(kurlos,:);
end
g_kmt1       = transpose(g_km2);
end

cnt1 = cnt1+1;

end
cnt1 = cnt1 + 1;
Pmiring1 = 0;
for k21 = 1:k
% STEP 12 MEMBUAT P

```

```

vbar_d1           = vrf_opt1' *
g_kmt1' * (g_kmt1 * vrf_opt1 * vrf_opt1' *
g_kmt1')^-1;
Qbar1           = vbar_d1' *
vrf_opt1' * vrf_opt1 * vbar_d1;
M11             = vrf_opt1' *
g_kmt1' * g_kmt1 * vrf_opt1; %UNTUK MENGHITUNG
EIGENVALUE VRF*KANAL
lambda1          = svd(M11);
qkk1             =
Qbar1(k21,k21);
for k31 = 1:1:size(M11,1)
    PK11(k31) =
beta_kp1/lambda1(k31) - qkk1 * variance;
    if PK11(k31) >= 0 &&
PK11(k31) <= 10
        PK21 = PK11(k31);
    elseif PK11(k31) <= 0
        PK21 = 0;
    end
end
Pmiring1         = Pmiring1 +
PK21;
pk1              = 1/qkk1 *
PK21;
Pp1(k21,k21)     = pk1;
PPP1             = beta_kp1 *
log2(1+ (pk1/variance));
Rk1(k21)          = log2(1+
(sqrt(pk1)/variance));
if Pmiring1 == 0
    Pmiring1 = 1;
end
if trace(Qbar1*Pp1) <= P &&
(log10(Pmiring1)*10) >= ((log10(P)*10)-0.5)
%((log10(1/variance)*10)-7) %&& trace(Pp) <= k %
&&
cnt21 = cnt21+1;
break

```

```

        end
    cnt21 = cnt21+1;
end
VD1           = vbar_d1 * (Pp1)^(1/2);
sum11(SNRsize,n)   = sum(Rk1);
SE_URLOS      = real(sum11);

%%%%%%%%%%%%%
%%%%%%%%%%%%%
%%%%%%%%%%%%%
%%%%%%%%%%%%%
jumlah_signal1 = 1000;
for stream1 = 1:1:jumlah_signal1
    jumlah_data1          = Ns;
    genbpsk1(:,stream1)   =
rand(jumlah_data1, 1)>0.5;
    sigbpsk1(:,stream1)   =
2*genbpsk1(:,stream1) -1;
    y1(:,stream1)          = g_kmt1 *
vrf_opt1 * VD1 * sigbpsk1(:,stream1);
    detektor1              = real(y1)>0;
    for sinyal21= 1:Ns
        if detektor1(sinyal21,stream1) ==1
            sinyal_rx1(sinyal21, stream1) =
1;
            else sinyal_rx1(sinyal21,stream1) =
-1;
        end
    end
end
nErr1(n,SNRsize) = size(find([detektor1-
genbpsk1]),1);
    nErr1(nErr1==0) = 1;
    end
end

simBER      = nErr/(jumlah_signal*Ns);
simBERurlos= nErr1/(jumlah_signal1*Ns);

figure(1)
plot(SNR_dB, mean(SE_IRF1,2), 'bx-'); hold on;

```

```

plot(SNR_dB, mean(SE_URLOS,2), 'rx-'); hold on;
%plot(SNR_dB, mean(SE_IRF1irf3,2), 'b.-'); hold on;
%plot(SNR_dB, mean(SE_IRF1irf4,2), 'r.-'); hold on;
legend('IRF','URLOS');
xlabel('SNR');
ylabel('Spectral Efficiency');
title('Spectral Efficiency vs SNR FDB');

figure(2)
semilogy(SNR_dB,mean(simBER,1), 'bx-'); hold on;
semilogy(SNR_dB,mean(simBERurlos,1), 'rx-'); hold on;
%semilogy(SNR_dB,mean(simBERirf3,1), 'bx-'); hold on;
%semilogy(SNR_dB,mean(simBERirf4,1), 'rx-'); hold on;
axis([-10 30 10^-5 0.5])
grid on
legend('IRF','URLOS');
xlabel('Eb/No, dB');
ylabel('Bit Error Rate');
title('Bit error probability curve for BPSK modulation FDB');

```

```

%%%%%%%%%%%%% MATLAB SCRIPT PERBANDINGAN JUMLAH RF CHAIN IRF
%%%%%%%%%%%%% MATLAB SCRIPT PERBANDINGAN JUMLAH RF CHAIN IRF

clear all;
close all;
clc;

m = 64; k = 4; %JUMLAH ANTENA
P = 1; %Daya dalam Watt
s = 1; %menurut analisa, WAJIB
[Jml_Ns == Jml_m];
k_user = k;
Ns = s*k_user;
N_tx = m;
N_rf = Ns; %untuk syarat Hybrid
Beamforming
N_rf2 = 2*Ns; %untuk syarat Full
Digital Beamforming
N_rf3 = 3*Ns;
N_rf4 = 4*Ns;

SNR_dB = -2:4:30; %range SNR in dB
SNR_lin = 10.^ (SNR_dB/10); % range SNR in linear
power
N = 9;

for SNRsizer = 1 : length(SNR_dB)
    SNR = SNR_lin(SNRsize);
    variance = P/SNR;
    for n = 1:N
        variancekanal = 1;
        h_km =
sqrt(variancekanal/2)*(randn([m], [k])+(1i)*randn([m], [k]))); %small scale fading berdasar
Jumlah antena dan user
        g_km = h_km;
        g_kmt = transpose(g_km);
        Pp = eye(k); %step 2
        beta_kp = ones([1, 1]);

```

```

v_rf          = randi([1], N_tx, N_rf); %step
1
v_rf1         = randi([1], N_tx, N_rf);
v_rf2         = randi([1], N_tx, N_rf);
vrf_opt       = randi([1], N_tx, N_rf);
argmin        = randi([1], N_tx, N_rf)*5;
selisih       = 1;
temp_topt     = randi([1], N_tx, N_rf)*20;
teta_opt      = ones(N_tx, N_rf);
teta_opt2     = ones(N_tx, N_rf);
cnt2 = 0;
while 1
cnt = 0;
    while 1
        for J = 1:1:N_rf%step 1
            Hbar           = Pp^(-1/2) * g_kmt;
            v_rfj          = v_rf;
            v_rfj(:,J)     = [];
            A               = Pp^(-1/2) * g_kmt *
v_rfj * v_rfj' * g_kmt' * Pp^(-1/2);
            A2              = inv(A) * inv(A);
            A1              = inv(A);
            B               = Hbar' * A2 * Hbar;
            D               = Hbar' * A1 * Hbar;
            B2              = Hbar' * A2 * Hbar;
            D2              = Hbar' * A1 * Hbar;
            for ii = 1:1:N_tx
                temp   = 0;
                temp2  = 0;
                for K = 1:1:N_tx
                    for M = 1:1:N_tx
                        if K ~= ii && M ~= ii
                            v_rf1(K,J) = v_rf(K,J);
                            v_rf1(M,J) = v_rf(M,J);
                            temp      = temp +
(conj(v_rf1(K,J)) * B(K,M) * v_rf1(M,J));
                            temp2     = temp2+
(conj(v_rf1(K,J)) * D(K,M) * v_rf1(M,J));
                        end

```

```

        end
        end
        temporary1(ii,J)      = temp;
        temporary2(ii,J)      = temp2;
        si_ijB(ii,J)         = B(ii,ii) +
2*real(temporary1(ii,J));
        si_ijD(ii,J)         = D(ii,ii) +
2*real(temporary2(ii,J));
        temp3    = 0;
        temp4    = 0;
        for L = 1:N_rf
        if L~= ii
            v_rf2(L,J)      =
v_rf(L,J);
            temp3           = temp3
+ (B2(ii,L) * v_rf2(L,J));
            temp4           = temp4
+ (D2(ii,L) * v_rf2(L,J));
        end
        end
        n_ijB(ii,J)          = temp3;
        n_ijD(ii,J)          = temp4;
        c_ij(ii,J)           =
((1+si_ijD(ii,J))*n_ijB(ii,J)) - (si_ijB(ii,J) *
n_ijD(ii,J));
        z_ij(ii,J)           =
imag((2*n_ijB(ii,J)) * n_ijD(ii,J));
        if real(c_ij(ii,J)) >= 0
            psi_ij(ii,J) =
asin(imag(c_ij(ii,J))/abs(c_ij(ii,J)));
        elseif real(c_ij(ii,J)) < 0
            psi_ij(ii,J) = pi -
(asin(imag(c_ij(ii,J))/abs(c_ij(ii,J)))); 
        end
        teta_ij1(ii,J)       = (((-
1)*psi_ij(ii,J)) +
asin(z_ij(ii,J)/abs(c_ij(ii,J)))); 
        teta_ij2(ii,J)       = (pi +
((-1)*psi_ij(ii,J)) -
asin(z_ij(ii,J)/abs(c_ij(ii,J))));


```

```

vrf_ij1(ii,J)      = exp(-
li*angle(teta_ij1(ii,J)));
vrf_ij2(ii,J)      = exp(-
li*angle(teta_ij2(ii,J)));
f_vrf1(ii,J)       = (m *
trace(inv(A))) - (m * ( (si_ijB(ii,J) +
2*real(conj(vrf_ij1(ii,J)) * n_ijB(ii,J)))/(1 +
si_ijD(ii,J) +
2*real(conj(vrf_ij1(ii,J))*n_ijD(ii,J))))));
f_vrf2(ii,J)       = (m *
trace(inv(A))) - (m * ( (si_ijB(ii,J) +
2*real(conj(vrf_ij2(ii,J)) * n_ijB(ii,J)))/(1 +
si_ijD(ii,J) +
2*real(conj(vrf_ij2(ii,J))*n_ijD(ii,J))))));
argmin2(ii,J)      =
argmin(ii,J);
argmin(ii,J)        =
min(angle(f_vrf1(ii,J)),angle(f_vrf2(ii,J)));
if argmin(ii,J) ==
f_vrf1(ii,J) %% INI MENCARI TETA OPTIMUM
teta_opt(ii,J) =
angle(f_vrf1(ii,J));
elseif argmin(ii,J) ==
f_vrf1(ii,J)
teta_opt(ii,J) =
angle(f_vrf2(ii,J));
end
vrf_opt(ii,J)      = exp(-
li*(teta_opt(ii,J))); %%INI MENCARI VRF_OPT --
STEP 8
v_rf(ii,J) = vrf_opt(ii,J);
end
end
selisih = abs(argmin2(ii,J) -
argmin(ii,J));
if selisih <= 0.3
cnt = cnt + 1;
break
end

```

```

        if isnan(A)
            variancekanal = 1;
            h_km =
sqrt(variancekanal/2)*(randn([m],[k])+((1i)*randn([m],[k]))); %small scale fading berdasar
Jumlah antena dan user
            g_km = h_km;
            g_kmt = transpose(g_km);
            Pp = eye(k);

%step 2
            beta_kp = ones([1, 1]);
            v_rf = randi([1], N_tx,
N_rf); %step 1
        end

        cnt = cnt+1;

    end
    cnt = cnt + 1;
    Pmiring = 0;
    for k2 = 1:k
        % STEP 12 MEMBUAT P
        vbar_d = vrf_opt' *
g_kmt' * (g_kmt * vrf_opt * vrf_opt' * g_kmt') ^-
1;
        Qbar = vbar_d' *
vrf_opt' * vrf_opt * vbar_d;
        M1 = vrf_opt' *
g_kmt' * g_kmt * vrf_opt; %UNTUK MENGHITUNG
EIGENVALUE VRF*KANAL
        lambda = svd(M1);
        qkk = Qbar(k2,k2);
        for k3 = 1:1:size(M1,1)
            PK1(k3) = beta_kp/lambda(k3)
- qkk * variance;
            if PK1(k3) >= 0 && PK1(k3)
<= 10
                PK2 = PK1(k3);
            elseif PK1(k3) <= 0
                PK2 = 0;
        end
    end
end

```

```

        end
    end
    Pmiring = Pmiring +
PK2;
    pk = 1/qkk * PK2;
    Pp(k2,k2) = pk;
    PPP = beta_kp *
log2(1+ (pk/variance));
    Rk(k2) = log2(1+
(sqrt(pk)/variance));
    if Pmiring == 0
        Pmiring = 1;
    end
end
if trace(Qbar*Pp) <= P &&
(log10(Pmiring)*10) >= ((log10(P)*10)-0.5)
%((log10(1/variance)*10)-7) %&& trace(Pp) <= k %
&&
cnt2 = cnt2+1;
break
end
cnt2 = cnt2+1;
end
VD = vbar_d * (Pp)^(1/2);
sum1(SNRsize,n) = sum(Rk);
SE_IRF1 = real(sum1);

%%%%%%%%%%%%%
%%%%%%%%%%%%%
%%%%%%%%%%%%%
%%%%%%%%%%%%%
jumlah_signal = 1000;
for stream = 1:1:jumlah_signal
    jumlah_data = Ns;
    genbpsk(:,stream) =
rand(jumlah_data, 1)>0.5;
    sigbpsk(:,stream) =
2*genbpsk(:,stream) -1;

    y(:,stream) = g_kmt *
vrf_opt * VD * sigbpsk(:,stream);

```

```

detektor = 
real(y)>0;
    for sinyal2= 1:Ns
        if detektor(sinyal2,stream) ==1
            sinyal_rx(sinyal2, stream) = 1;
        else sinyal_rx(sinyal2,stream) = -1;
        end
    end
nErr(n,SNRsize) = size(find([detektor-
genbpsk]),1);
    nErr(nErr==0) = 1;
end

for n2 = 1:N
variancekanall = 1;
h_kml =
sqrt(variancekanall/2)*(randn([m],[k])+((1i)*ran-
dn([m],[k]))); %small scale fading berdasar
Jumlah antena dan user
g_kml = h_kml;
g_kmtl = transpose(g_kml);
Pp1 = eye(k); %step 2
beta_kp1 = ones([1, 1]);

v_rf1 = randi([1], N_tx, N_rf2);
%step 1
v_rf11 = randi([1], N_tx, N_rf2);
v_rf21 = randi([1], N_tx, N_rf2);
vrf_opt1 = randi([1], N_tx, N_rf2);
argmin1 = randi([1], N_tx, N_rf2)*5;
selish1 = 1;
temp_topt1 = randi([1], N_tx, N_rf2)*20;
teta_opt1 = ones(N_tx, N_rf2);
teta_opt21 = ones(N_tx, N_rf2);
cnt21 = 0;
while 1
cnt1 = 0;
while 1
    for J1 = 1:1:N_rf2%step 1

```

```

Hbar1          = Pp1^(-1/2) * g_kmt1;
v_rfj1         = v_rf1;
v_rfj1(:,J1)   = [];
A1             = Pp1^(-1/2) * g_kmt1
* v_rfj1 * v_rfj1' * g_kmt1' * Pp1^(-1/2);
A21            = inv(A1) * inv(A1);
A11            = inv(A1);
B1             = Hbar1' * A21 *
Hbar1;
D1             = Hbar1' * A11 *
Hbar1;
B21            = Hbar1' * A21 *
Hbar1;
D21            = Hbar1' * A11 *
Hbar1;
for iil = 1:1:N_tx
temp1    = 0;
temp21   = 0;
for K1= 1:1:N_tx
for M1 = 1:1:N_tx
if K1 ~= iil && M1 ~=
iil
v_rf11(K1,J1) =
v_rf1(K1,J1);
v_rf11(M1,J1) =
v_rf1(M1,J1);
temp1           = temp1
+ (conj(v_rf11(K1,J1)) * B1(K1,M1) *
v_rf11(M1,J1));
temp21           =
temp21+ (conj(v_rf11(K1,J1)) * D1(K1,M1) *
v_rf11(M1,J1));
end
end
temporary11(iil,J1)     =
temp1;
temporary21(iil,J1)     =
temp21;

```

```

        si_ijB1(iil,J1)      =
B1(iil,iil) + 2*real(temporary11(iil,J1));
        si_ijD1(iil,J1)      =
D1(iil,iil) + 2*real(temporary21(iil,J1));
        temp31    = 0;
        temp41    = 0;
        for L1 = 1:N_rf2
        if L1~= iil
            v_rf21(L1,J1)      =
v_rf1(L1,J1);
            temp31             =
temp31 + (B21(iil,L1) * v_rf21(L1,J1));
            temp41             =
temp41 + (D21(iil,L1) * v_rf21(L1,J1));
        end
        end
        n_ijB1(iil,J1)      =
temp31;
        n_ijD1(iil,J1)      =
temp41;
        c_ij1(iil,J1)       =
((1+si_ijD1(iil,J1))*n_ijB1(iil,J1)) -
(si_ijB1(iil,J1) * n_ijD1(iil,J1));
        z_ij1(iil,J1)       =
imag((2*n_ijB1(iil,J1)) * n_ijD1(iil,J1));
        if real(c_ij1(iil,J1)) >= 0
            psi_ij1(iil,J1) =
asin(imag(c_ij1(iil,J1))/abs(c_ij1(iil,J1)));
        elseif real(c_ij1(iil,J1)) <
0
            psi_ij1(iil,J1) = pi -
(asin(imag(c_ij1(iil,J1))/abs(c_ij1(iil,J1)))) ;
        end
        teta_ij11(iil,J1)   = (((-
1)*psi_ij1(iil,J1)) +
asin(z_ij1(iil,J1)/abs(c_ij1(iil,J1))));
        teta_ij21(iil,J1)   = (pi +
((-1)*psi_ij1(iil,J1)) -
asin(z_ij1(iil,J1)/abs(c_ij1(iil,J1))));


```

```

        vrf_ij11(iil,J1)      = exp(-
li*angle(teta_ij11(iil,J1)));
        vrf_ij21(iil,J1)      = exp(-
li*angle(teta_ij21(iil,J1)));
        f_vrf11(iil,J1)      = (m *
trace(inv(A1))) - (m * ( (si_ijB1(iil,J1) +
2*real(conj(vrf_ij11(iil,J1)) *
n_ijB1(iil,J1)))/(1 + si_ijD1(iil,J1) +
2*real(conj(vrf_ij11(iil,J1))*n_ijD1(iil,J1)))) )
;
        f_vrf21(iil,J1)      = (m *
trace(inv(A1))) - (m * ( (si_ijB1(iil,J1) +
2*real(conj(vrf_ij21(iil,J1)) *
n_ijB1(iil,J1)))/(1 + si_ijD1(iil,J1) +
2*real(conj(vrf_ij21(iil,J1))*n_ijD1(iil,J1)))) )
;
        argmin21(iil,J1)      =
argmin1(iil,J1);
        argmin1(iil,J1)      =
min(angle(f_vrf11(iil,J1)),angle(f_vrf21(iil,J1)))
);
        if argmin1(iil,J1) ==
f_vrf11(iil,J1) %%INI MENCARI TETA OPTIMUM
        teta_opt1(iil,J1) =
angle(f_vrf11(iil,J1));
        elseif argmin1(iil,J1) ~=
f_vrf11(iil,J1)
        teta_opt1(iil,J1) =
angle(f_vrf21(iil,J1));
        end
        vrf_opt1(iil,J1)      = exp(-
li*(teta_opt1(iil,J1))); %INI MENCARI VRF_OPT --
STEP 8
        v_rf1(iil,J1) =
vrf_opt1(iil,J1);
        end
        end
        selisih1 = abs(argmin21(iil,J1) -
argmin1(iil,J1));
        if selisih1 <= 0.3

```

```

        cnt1 = cnt1 + 1;
        break
    end

    if isnan(A1)
        variancekanall = 1;
        h_kml =
sqrt(variancekanall/2)*(randn([m],[k]) + ((li)*randn([m],[k]))); %small scale fading berdasar
Jumlah antena dan user
        g_kml = h_kml;
        g_kmt1 = transpose(g_kml);
        Pp1 = eye(k);

%step 2
        beta_kp1 = ones([1, 1]);
        v_rf1 = randi([1], N_tx,
N_rf2); %step 1
    end

    cnt1 = cnt1+1;

end
cnt1 = cnt1 + 1;
Pmiring1 = 0;
for k21 = 1:k
    % STEP 12 MEMBUAT P
    vbar_d1 = vrf_opt1' *
g_kmt1' * (g_kmt1 * vrf_opt1 * vrf_opt1' *
g_kmt1')^-1;
    Qbar1 = vbar_d1' *
vrf_opt1' * vrf_opt1 * vbar_d1;
    M11 = vrf_opt1' *
g_kmt1' * g_kmt1 * vrf_opt1; %UNTUK MENGHITUNG
EIGENVALUE VRF*KANAL
    lambda1 = svd(M11);
    qkk1 =
Qbar1(k21,k21);
    for k31 = 1:size(M11,1)
        PK11(k31) =
beta_kp1/lambda1(k31) - qkk1 * variance;

```

```

        if PK11(k31) >= 0 &&
PK11(k31) <= 10
            PK21 = PK11(k31);
elseif PK11(k31) <= 0
            PK21 = 0;
        end
    end
    Pmiring1 = Pmiring1 +
PK21;
    pk1 = 1/qkk1 *
PK21;
    Pp1(k21,k21) = pk1;
    PPP1 = beta_kp1 *
log2(1+ (pk1/variance));
    Rk1(k21) = log2(1+
(sqrt(pk1)/variance));
    if Pmiring1 == 0
        Pmiring1 = 1;
    end
end
if trace(Qbar1*Pp1) <= P &&
(log10(Pmiring1)*10) >= ((log10(P)*10)-0.5)
%((log10(1/variance)*10)-7) %&& trace(Pp) <= k %
&&
        cnt21 = cnt21+1;
        break
    end
    cnt21 = cnt21+1;
end
VD1 = vbar_d1 * (Pp1)^(1/2);
sum11(SNRsize,n) = sum(Rk1);
SE_IRF1irf2 = real(sum11);

%%%%%%%%%%%%%
%%%%%%%%%%%%%
%%%%%%%%%%%%%
%%%%%%%%%%%%%
jumlah_signall = 1000;
for stream1 = 1:1:jumlah_signall
    jumlah_data1 = Ns;

```



```

vrf_opt11      = randi([1], N_tx, N_rf3);
argmin11       = randi([1], N_tx, N_rf3)*5;
selisih11      = 1;
temp_topt11    = randi([1], N_tx, N_rf3)*20;
teta_opt11     = ones(N_tx, N_rf3);
teta_opt211    = ones(N_tx, N_rf3);
cnt211 = 0;
while 1
cnt11 = 0;
while 1
for J11 = 1:1:N_rf3%step 1
Hbar11          = Pp11^(-1/2) *
g_kmt11;
v_rfj11         = v_rf11;
v_rfj11(:,J11)  = [];
A11             = Pp11^(-1/2) *
g_kmt11 * v_rfj11 * v_rfj11' * g_kmt11' *
Pp11^(-1/2);
A211             = inv(A11) *
inv(A11);
A111            = inv(A11);
B11              = Hbar11' * A211 *
Hbar11;
D11              = Hbar11' * A111 *
Hbar11;
B211            = Hbar11' * A211 *
Hbar11;
D211            = Hbar11' * A111 *
Hbar11;
for i11 = 1:1:N_tx
temp11        = 0;
temp211       = 0;
for K11= 1:1:N_tx
for M11 = 1:1:N_tx
if K11 ~= i11 && M11 ~=
i11
v_rf111(K11,J11) =
v_rf111(K11,J11);
v_rf111(M11,J11) =
v_rf111(M11,J11);

```

```

temp11 = temp11 + (conj(v_rf111(K11,J11)) * B11(K11,M11)
* v_rf111(M11,J11));
temp211 = temp211 + (conj(v_rf111(K11,J11)) * D11(K11,M11)
* v_rf111(M11,J11));
end
end
temporary111(i111,J11) = temp11;
temporary211(i111,J11) = temp211;
si_ijB11(i111,J11) = B11(i111,i111) + 2*real(temporary111(i111,J11));
si_ijD11(i111,J11) = D11(i111,i111) + 2*real(temporary211(i111,J11));
temp311 = 0;
temp411 = 0;
for L11 = 1:N_rf3
if L11~= i111
v_rf211(L11,J11) =
v_rf111(L11,J11);
temp311 = temp311 + (B211(i111,L11) * v_rf211(L11,J11));
temp411 = temp411 + (D211(i111,L11) * v_rf211(L11,J11));
end
end
n_ijB11(i111,J11) = temp311;
n_ijD11(i111,J11) = temp411;
c_ij11(i111,J11) = ((1+si_ijD11(i111,J11))*n_ijB11(i111,J11)) -
(si_ijB11(i111,J11) * n_ijD11(i111,J11));
z_ij11(i111,J11) = imag((2*n_ijB11(i111,J11)) * n_ijD11(i111,J11));
if real(c_ij11(i111,J11)) >= 0

```

```

psi_ij11(iill,J11)   =
asin(imag(c_ij11(iill,J11))/abs(c_ij11(iill,J11))
));
elseif
real(c_ij11(iill,J11)) < 0
psi_ij11(iill,J11)   = pi
-
(asin(imag(c_ij11(iill,J11))/abs(c_ij11(iill,J11
)))));
end
teta_ij11(iill,J11)   =
((( -1)*psi_ij11(iill,J11)) +
asin(z_ij11(iill,J11)/abs(c_ij11(iill,J11)))) ;
teta_ij211(iill,J11)   =
(pi + (( -1)*psi_ij11(iill,J11)) -
asin(z_ij11(iill,J11)/abs(c_ij11(iill,J11)))) ;
vrf_ij111(iill,J11)   =
exp(-li*angle(teta_ij11(iill,J11)));
vrf_ij211(iill,J11)   =
exp(-li*angle(teta_ij211(iill,J11)));
f_vrf111(iill,J11)   = (m
* trace(inv(A11))) - (m * ( (si_ijB11(iill,J11)
+ 2*real(conj(vrf_ij111(iill,J11)) *
n_ijB11(iill,J11)))/(1 + si_ijD11(iill,J11) +
2*real(conj(vrf_ij111(iill,J11))*n_ijD11(iill,J1
1))));;
f_vrf211(iill,J11)   = (m
* trace(inv(A11))) - (m * ( (si_ijB11(iill,J11)
+ 2*real(conj(vrf_ij211(iill,J11)) *
n_ijB11(iill,J11)))/(1 + si_ijD11(iill,J11) +
2*real(conj(vrf_ij211(iill,J11))*n_ijD11(iill,J1
1))));;
argmin211(iill,J11)   =
argmin11(iill,J11);
argmin11(iill,J11)   =
min(angle(f_vrf111(iill,J11)),angle(f_vrf211(iil
l,J11)));
if argmin11(iill,J11) ==
f_vrf111(iill,J11) %%INI MENCARI TETA OPTIMUM

```

```

        teta_opt1(i11,J11) =
angle(f_vrf111(i11,J11));
    elseif argmin11(i11,J11) ~=
f_vrf111(i11,J11)
                teta_opt11(i11,J11) =
angle(f_vrf211(i11,J11));
            end
            vrf_opt11(i11,J11)      =
exp(-li*(teta_opt11(i11,J11))); %INI MENCARI
VRF_OPT -- STEP 8
                v_rf11(i11,J11) =
vrf_opt11(i11,J11);
            end
        end
        selisih11 = abs(argmin211(i11,J11)
- argmin11(i11,J11));
        if selisih11 <= 0.3
            cnt11 = cnt11 + 1;
            break
        end

        if isnan(A11)
            variancekanal11 = 1;
            h_km11 =
sqrt(variancekanal11/2)*(randn([m],[k])+(li)*ra
ndn([m],[k])); %small scale fading berdasar
Jumlah antena dan user
            g_km11 = h_km11;
            g_kmt11 = transpose(g_km11);
            Pp11 = eye(k1);

%step 2
            beta_kp11 = ones([1, 1]);
            v_rf11 = randi([1], N_tx,
N_rf3); %step 1
        end

        cnt11 = cnt11+1;

    end
    cnt11 = cnt11 + 1;

```

```

Pmiring11 = 0;
for k211 = 1:k
    % STEP 12 MEMBUAT P
    vbar_d11 = vrf_opt11'
    * g_kmt11' * (g_kmt11 * vrf_opt11 * vrf_opt11' *
    g_kmt11')^-1;
    Qbar11 = vbar_d11'
    * vrf_opt11' * vrf_opt11 * vbar_d11;
    M111 = vrf_opt11'
    * g_kmt11' * g_kmt11 * vrf_opt11; %UNTUK
    MENGHITUNG EIGENVALUE VRF*KANAL
    lambda111 = svd(M111);
    qkk11 =
Qbar11(k211,k211);
    for k311 = 1:size(M111,1)
        PK111(k311) =
beta_kp11/lambda111(k311) - qkk11 * variance;
        if PK111(k311) >= 0 &&
PK111(k311) <= 10
            PK211 = PK111(k311);
            elseif PK111(k311) <= 0
                PK211 = 0;
            end
        end
    end
    Pmiring11 = Pmiring11
+ PK211;
    pk11 = 1/qkk11 *
PK211;
    Pp11(k211,k211) = pk11;
    PPP11 = beta_kp11
* log2(1+ (pk11/variance));
    Rk11(k211) = log2(1+
(sqrt(pk11)/variance));
    if Pmiring11 == 0
        Pmiring11 = 1;
    end
end
if trace(Qbar11*Pp11) <= P &&
(log10(Pmiring11)*10) >= ((log10(P)*10)-0.5)

```

```

% ((log10(1/variance)*10)-7) %&& trace(Pp) <= k %
&&
    cnt211 = cnt211+1;
    break
end
cnt211 = cnt211+1;
end
VD11 = vbar_d11 *
(Pp11)^(1/2);
sum111(SNRsize,n) = sum(Rk11);
SE_IRFlirf3 = real(sum111);
%%%%%%%%%%%%%
%%%%%%%%%%%%%
%%%%%%%%%%%%%
%%%%%%%%%%%%%
jumlah_signal11 = 1000;
for stream11 = 1:1:jumlah_signal11
    jumlah_data11 = Ns;
    genbpsk11(:,stream11) =
rand(jumlah_data11, 1)>0.5;
    sigbpsk11(:,stream11) =
2*genbpsk11(:,stream11) -1;
    y11(:,stream11) = g_kmt11 *
vrf_opt11 * VD11 * sigbpsk11(:,stream11);
    detektor11 = real(y11)>0;
    for sinyal211= 1:Ns
        if detektor11(sinyal211,stream11)
==1
            sinyal_rx11(sinyal211, stream11)
= 1;
        else sinyal_rx11(sinyal211,stream11)
= -1;
        end
    end
end
nErr11(n,SNRsize) = size(find([detektor11-
genbpsk11]),1);
nErr11(nErr11==0) = 1;

end

```

```

%%%%%%%%%%%%%%%
%%%%%%%%%%%%%%%
for n111 = 1:N
variancekanal111 = 1;
h_kml111 =
sqrt(variancekanal111/2)*(randn([m],[k]) + ((1i)*randn([m],[k]))); %small scale fading berdasar
Jumlah antena dan user
g_kml111 = h_kml111;
g_kmt111 = transpose(g_kml111);
Pp111 = eye(k); %step 2
beta_kp111 = ones([1, 1]);

v_rf111 = randi([1], N_tx, N_rf4);
%step 1
v_rf1111 = randi([1], N_tx, N_rf4);
v_rf2111 = randi([1], N_tx, N_rf4);
vrf_opt111 = randi([1], N_tx, N_rf4);
argmin111 = randi([1], N_tx, N_rf4)*5;
selisih111 = 1;
temp_topt111 = randi([1], N_tx, N_rf4)*20;
teta_opt111 = ones(N_tx, N_rf4);
teta_opt2111 = ones(N_tx, N_rf4);
cnt2111 = 0;
while 1
cnt111 = 0;
while 1
for J111 = 1:1:N_rf4%step 1
Hbar111 = Pp111^(-1/2) *
g_kmt111;
v_rfj111 = v_rf111;
v_rfj111(:,J111) = [];
A111 = Pp111^(-1/2) *
g_kmt111 * v_rfj111 * v_rfj111' * g_kmt111' *
Pp111^(-1/2);
A2111 = inv(A111) *
inv(A111);
A1111 = inv(A111);
B111 = Hbar111' * A2111 *
Hbar111;

```

```

        D111          = Hbar111' * A1111 *
Hbar111;
        B2111          = Hbar111' * A2111 *
Hbar111;
        D2111          = Hbar111' * A1111 *
Hbar111;
        for ii111 = 1:1:N_tx
temp111    = 0;
temp2111    = 0;
        for K111= 1:1:N_tx
        for M111 = 1:1:N_tx
            if K111 ~= ii111 && M111
~= ii111
                v_rf1111(K111,J111) =
v_rf1111(K111,J111);
                v_rf1111(M111,J111) =
v_rf1111(M111,J111);
                temp111          =
temp111 + (conj(v_rf1111(K111,J111)) *
B111(K111,M111) * v_rf1111(M111,J111));
                temp2111          =
temp2111+ (conj(v_rf1111(K111,J111)) *
D111(K111,M111) * v_rf1111(M111,J111));
            end
        end
        temporary1111(ii111,J111)
= temp111;
        temporary2111(ii111,J111)
= temp2111;
        si_ijB111(ii111,J111)      =
B111(ii111,ii111) +
2*real(temporary1111(ii111,J111));
        si_ijD111(ii111,J111)      =
D111(ii111,ii111) +
2*real(temporary2111(ii111,J111));
        temp3111    = 0;
        temp4111    = 0;
        for L111 = 1:N_rf4
if L111~= ii111

```

```

v_rf2111(L111,J111)      =
v_rf111(L111,J111);
temp3111                  =
temp3111 + (B2111(ii111,L111) *
v_rf2111(L111,J111));
temp4111                  =
temp4111 + (D2111(ii111,L111) *
v_rf2111(L111,J111));
end
end
n_ijB111(ii111,J111)      =
temp3111;
n_ijD111(ii111,J111)      =
temp4111;
c_ij111(ii111,J111)      =
((1+si_ijD111(ii111,J111))*n_ijB111(ii111,J111))
- (si_ijB111(ii111,J111) *
n_ijD111(ii111,J111));
z_ij111(ii111,J111)      =
imag((2*n_ijB111(ii111,J111)) *
n_ijD111(ii111,J111));
if real(c_ij111(ii111,J111)) >= 0
psi_ij111(ii111,J111)    =
asin(imag(c_ij111(ii111,J111))/abs(c_ij111(ii111,J111)));
elseif
real(c_ij111(ii111,J111)) < 0
psi_ij111(ii111,J111)    =
pi -
(asin(imag(c_ij111(ii111,J111))/abs(c_ij111(ii111,J111)))) ;
end
teta_ij111(ii111,J111)    =
((-1)*psi_ij111(ii111,J111)) +
asin(z_ij111(ii111,J111)/abs(c_ij111(ii111,J111)));
teta_ij2111(ii111,J111)    =
(pi + ((-1)*psi_ij111(ii111,J111)) -

```

```

asin(z_ij111(ii111,J111)/abs(c_ij111(ii111,J111))
));
vrf_ij111(ii111,J111)      =
exp(-li*angle(teta_ij111(ii111,J111)));
vrf_ij2111(ii111,J111)      =
exp(-li*angle(teta_ij2111(ii111,J111)));
f_vrf1111(ii111,J111)      =
(m * trace(inv(A111))) - (m * (
si_ijB111(ii111,J111) +
2*real(conj(vrf_ij111(ii111,J111)) *
n_ijB111(ii111,J111)))/(1 +
si_ijD111(ii111,J111) +
2*real(conj(vrf_ij111(ii111,J111))*n_ijD111(ii111,J111)))) ;
f_vrf2111(ii111,J111)      =
(m * trace(inv(A111))) - (m * (
si_ijB111(ii111,J111) +
2*real(conj(vrf_ij2111(ii111,J111)) *
n_ijB111(ii111,J111)))/(1 +
si_ijD111(ii111,J111) +
2*real(conj(vrf_ij2111(ii111,J111))*n_ijD111(ii111,J111)))) ;
argmin2111(ii111,J111)      =
argmin111(ii111,J111);
argmin11(ii111,J111)        =
min(angle(f_vrf1111(ii111,J111)),angle(f_vrf2111(ii111,J111)));
if argmin11(ii111,J111) == f_vrf1111(ii111,J111) %%INI MENCARI TETA OPTIMUM
teta_opt1(ii111,J111) = angle(f_vrf1111(ii111,J111));
elseif argmin11(ii111,J111) ~= f_vrf1111(ii111,J111)
teta_opt11(ii111,J111) = angle(f_vrf2111(ii111,J111));
end
vrf_opt111(ii111,J111)      =
exp(-li*(teta_opt111(ii111,J111))); %%INI MENCARI VRF_OPT -- STEP 8

```

```

vrf_rf111(ii111,J111) =
vrf_opt111(ii111,J111);
    end
    end
    selisih111 =
abs(argmin2111(ii111,J111) -
argmin111(ii111,J111));
        if selisih111 <= 0.3
            cnt111 = cnt111 + 1;
            break
        end

        if isnan(A111)
            variancekanal111 = 1;
            h_km111 =
sqrt(variancekanal111/2)*(randn([m],[k]) + ((1i)*randn([m],[k]))); %small scale fading berdasar
Jumlah antena dan user
            g_km111 = h_km111;
            g_kmt111 = transpose(g_km111);
            Pp111 = eye(k);
%step 2
            beta_kp111 = ones([1, 1]);
            vrf111 = randi([1], N_tx,
N_rf4); %step 1
        end

        cnt111 = cnt111+1;

    end
    cnt111 = cnt111 + 1;
    Pmiring111 = 0;
    for k2111 = 1:k
        % STEP 12 MEMBUAT P
        vbar_d111 = vrf_opt111' * g_kmt111' * (g_kmt111 * vrf_opt111
* vrf_opt111' * g_kmt111')^-1;
        Qbar111 =
vbar_d111' * vrf_opt111' * vrf_opt111 *
vbar_d111;

```

```

M1111 = vrf_opt111' * g_kmt111' * g_kmt111 * vrf_opt111;
%UNTUK MENGHITUNG EIGENVALUE VRF*KANAL
lambda111 =
svd(M1111);
qkk111 =
Qbar111(k2111,k2111);
for k3111 = 1:1:size(M1111,1)
PK1111(k3111) =
beta_kp111/lambda111(k3111) - qkk111 * variance;
if PK1111(k3111) >= 0 &&
PK1111(k3111) <= 10
    PK2111 = PK1111(k3111);
elseif PK1111(k3111) <= 0
    PK2111 = 0;
end
end
Pmiring111 =
Pmiring111 + PK2111;
pk111 = 1/qkk111
* PK2111;
Pp111(k2111,k2111) =
pk111;
PPP111 =
beta_kp111 * log2(1+ (pk111/variance));
Rk111(k2111) =
log2(1+ (sqrt(pk111)/variance));
if Pmiring111 == 0
    Pmiring111 = 1;
end
end
if trace(Qbar111*Pp111) <= P &&
(log10(Pmiring111)*10) >= ((log10(P)*10)-0.5)
%((log10(1/variance)*10)-7) %&& trace(Pp) <= k %
&&
cnt2111 = cnt2111+1;
break
end
cnt2111 = cnt2111+1;
end

```

```

    VD111 = vbar_d111 *
(Pp111)^ (1/2);
    sum1111(SNRsize,n) = sum(Rk111);
    SE_IRFlirf4 = real(sum1111);

% % % % % % % % % % % % % % % % % % % % % % % % % % % % %
% % % % % % % % % % % % % % % % % % % % % % % % % % % % %
% % % % % % % % % % % % % % % % % % % % % % % % % % % % %
% % % % % % % % % % % % % % % % % % % % % % % % % % % %

jumlah_signal111 = 1000;
for stream111 = 1:1:jumlah_signal111
    jumlah_data111 = Ns;
    genbpsk111(:,stream111) =
rand(jumlah_data111, 1)>0.5;
    sigbpsk111(:,stream111) =
2*genbpsk111(:,stream111) -1;
    y111(:,stream111) = q_kmt111 *
vrf_opt111 * VD111 * sigbpsk111(:,stream111);
    detektor111 =
real(y111)>0;
    for sinyal2111= 1:Ns
        if detektor111(sinyal2111,stream111)
==1
            sinyal_rx111(sinyal2111,
stream111) = 1;
        else
            sinyal_rx111(sinyal2111,stream111) = -1;
        end
    end
end
nErr111(n,SNRsize) = size(find([detektor111-
genbpsk111]),1);
nErr111(nErr111==0) = 1;

end

end
simBER = nErr/(jumlah_signal*Ns);
simBERirf2 = nErr1/(jumlah_signal1*Ns);

```

```

simBERirf3 = nErr11/(jumlah_signal11*Ns);
simBERirf4 = nErr11/(jumlah_signal11*Ns);

figure(1)
plot(SNR_dB, mean(SE_IRF1,2), 'b.-'); hold on;
plot(SNR_dB, mean(SE_IRF1irf2,2), 'r.-'); hold on;
plot(SNR_dB, mean(SE_IRF1irf3,2), 'g.-'); hold on;
plot(SNR_dB, mean(SE_IRF1irf4,2), 'm.-'); hold on;
legend('NRF1','NRF2','NRF3','NRF4');
xlabel('SNR');
ylabel('Spectral Efficiency');
title('Spectral Efficiency vs SNR kanal IRF');

figure(2)
semilogy(SNR_dB,mean(simBER,1),'bx-'); hold on;
semilogy(SNR_dB,mean(simBERirf2,1),'rx-'); hold on;
semilogy(SNR_dB,mean(simBERirf3,1),'gx-'); hold on;
semilogy(SNR_dB,mean(simBERirf4,1),'mx-'); hold on;
axis([-10 30 10^-5 0.5])
grid on
legend('NRF1','NRF2','NRF3','NRF4');
xlabel('Eb/No, dB');
ylabel('Bit Error Rate');
title('Bit error probability curve for BPSK modulation kanal IRF');

%%%%%%%%%%%%%

```

```

%MATLAB SCRIPT PERBANDINGAN JUMLAH RF CHAIN
URLOS
%%%%%%%%%%%%%%%
clear all;
close all;
clc;

m = 64; k = 4; %JUMLAH ANTENA
P = 1; %Daya dalam Watt
s = 1; %menurut analisa, WAJIB
[Jml_Ns == Jml_m];
k_user = k;
Ns = s*k_user;
N_tx = m;
N_rf = Ns; %untuk syarat Hybrid
Beamforming
N_rf2 = 2*Ns; %untuk syarat Full
Digital Beamforming
N_rf3 = 3*Ns;
N_rf4 = 4*Ns;

SNR_dB = -2:4:30; %range SNR in dB
SNR_lin = 10.^ (SNR_dB/10); % range SNR in linear
power
N = 9;

for SNRsize = 1 : length(SNR_dB)
    SNR = SNR_lin(SNRsize);
    variance = P/SNR;
    for n = 1:N
        g_km = [];
        thet = 6 + (0.5 - (-6).*rand(1,1));
        %pembangkitan theta dari 6 sampai 12 derajat
        g = randi([0 1],1,1)>=0.5;
        %pembangkitan biner 0 1
        g2 = 2*g-1; %pembangkitan bpsk
        thett = (g2.*thet);
        beta_k = 1;
    end
end

```

```

psi          = -pi + (pi - (-
pi).*randn(k,1)); %pembangkitan psi dari -pi
sampai pi
it          = randi([0 1],k,1)>=0.5;
itb         = (it*2)-1;
psii        = (itb.*psi);

for kurlos    = 1:1:k
for murlos     = 1:1:m
theta_k(murlos,kurlos) = thett +
(5*(kurlos-1)); %selisih 0.5 derajat antar
antena
ekurung(murlos,kurlos) = ((1*exp((-1i)* (murlos-
1)*pi*sind(theta_k(murlos,kurlos))))));
end
ekurungt      =
transpose(ekurung);
g_km2(:,kurlos) = (sqrt(beta_k)
.* exp(1i*psii(kurlos))) * ekurungt(kurlos,:);
end
g_kmt       = transpose(g_km2);

Pp          = eye(k);           %step 2
beta_kp     = ones([1, 1]);

v_rf        = randi([1], N_tx, N_rf); %step
1
v_rf1       = randi([1], N_tx, N_rf);
v_rf2       = randi([1], N_tx, N_rf);
vrf_opt     = randi([1], N_tx, N_rf);
argmin      = randi([1], N_tx, N_rf)*5;
selisih     = 1;
temp_topt   = randi([1], N_tx, N_rf)*20;
teta_opt    = ones(N_tx, N_rf);
teta_opt2   = ones(N_tx, N_rf);

```

```

cnt2 = 0;
while 1
cnt = 0;
while 1
for J = 1:1:N_rf%step 1
Hbar = Pp^(-1/2) * g_kmt;
v_rfj = v_rf;
v_rfj(:,J) = [];
A = Pp^(-1/2) * g_kmt *
v_rfj * v_rfj' * g_kmt' * Pp^(-1/2);
A2 = inv(A) * inv(A);
A1 = inv(A);
B = Hbar' * A2 * Hbar;
D = Hbar' * A1 * Hbar;
B2 = Hbar' * A2 * Hbar;
D2 = Hbar' * A1 * Hbar;
for ii = 1:1:N_tx
temp = 0;
temp2 = 0;
for K = 1:1:N_tx
for M = 1:1:N_tx
if K ~= ii && M ~= ii
v_rf1(K,J) = v_rf(K,J);
v_rf1(M,J) = v_rf(M,J);
temp = temp +
(conj(v_rf1(K,J)) * B(K,M) * v_rf1(M,J));
temp2 = temp2+
(conj(v_rf1(K,J)) * D(K,M) * v_rf1(M,J));
end
end
temporary1(ii,J) = temp;
temporary2(ii,J) = temp2;
si_ijB(ii,J) = B(ii,ii) +
2*real(temporary1(ii,J));
si_ijD(ii,J) = D(ii,ii) +
2*real(temporary2(ii,J));
temp3 = 0;
temp4 = 0;
for L = 1:N_rf

```

```

        if L~= ii
            v_rf2(L,J)           =
v_rf(L,J);
                           temp3           = temp3
+ (B2(ii,L) * v_rf2(L,J));
                           temp4           = temp4
+ (D2(ii,L) * v_rf2(L,J));
        end
        end
        n_ijB(ii,J)           = temp3;
        n_ijD(ii,J)           = temp4;
        c_ij(ii,J)             =
((1+si_ijD(ii,J))*n_ijB(ii,J)) - (si_ijB(ii,J) *
n_ijD(ii,J));
        z_ij(ii,J)             =
imag((2*n_ijB(ii,J)) * n_ijD(ii,J));
        if real(c_ij(ii,J)) >= 0
            psi_ij(ii,J)   =
asin(imag(c_ij(ii,J))/abs(c_ij(ii,J)));
        elseif real(c_ij(ii,J)) < 0
            psi_ij(ii,J)   = pi -
(asin(imag(c_ij(ii,J))/abs(c_ij(ii,J)))) ;
        end
        teta_ij1(ii,J)         = (((-
1)*psi_ij(ii,J)) +
asin(z_ij(ii,J)/abs(c_ij(ii,J))));
        teta_ij2(ii,J)         = (pi +
((-1)*psi_ij(ii,J)) -
asin(z_ij(ii,J)/abs(c_ij(ii,J))));
        vrf_ij1(ii,J)          = exp(-
li*angle(teta_ij1(ii,J)));
        vrf_ij2(ii,J)          = exp(-
li*angle(teta_ij2(ii,J)));
        f_vrf1(ii,J)           = (m *
trace(inv(A))) - (m * ( (si_ijB(ii,J) +
2*real(conj(vrf_ij1(ii,J)) * n_ijB(ii,J)))/(1 +
si_ijD(ii,J) +
2*real(conj(vrf_ij1(ii,J)) * n_ijD(ii,J)))); 
        f_vrf2(ii,J)           = (m *
trace(inv(A))) - (m * ( (si_ijB(ii,J) +

```

```

2*real(conj(vrf_ij2(ii,J)) * n_ijB(ii,J)))/(1 +
si_ijD(ii,J) +
2*real(conj(vrf_ij2(ii,J))*n_ijD(ii,J)))) ;
argmin2(ii,J) =
argmin(ii,J);
argmin(ii,J) =
min(angle(f_vrf1(ii,J)),angle(f_vrf2(ii,J)));
if argmin(ii,J) ==
f_vrf1(ii,J) %% INI MENCARI TETA OPTIMUM
teta_opt(ii,J) =
angle(f_vrf1(ii,J));
elseif argmin(ii,J) ==
f_vrf1(ii,J)
teta_opt(ii,J) =
angle(f_vrf2(ii,J));
end
vrf_opt(ii,J) = exp(-
li*(teta_opt(ii,J))); %INI MENCARI VRF_OPT --
STEP 8
v_rf(ii,J) = vrf_opt(ii,J);
end
end
selisih = abs(argmin2(ii,J) -
argmin(ii,J));
if selisih <= 0.3
cnt = cnt + 1;
break
end

if isnan(A)
g_km = [];
thet = 6 + (0.5 - (-
6).*rand(1,1)); %pembangkitan theta dari 6
sampai 12 derajat
g = randi([0 1],1,1)>=0.5;
%pembangkitan biner 0 1
g2 = 2*g-1; %pembangkitan bpsk
thett = (g2.*thet);

beta_k = 1;

```

```

psi          = -pi + (pi - (-pi).*randn(k,1)); %pembangkitan psi dari -pi sampai pi
it           = randi([0 1],k,1)>=0.5;
itb          = (it*2)-1;
psii         = (itb.*psi);

for kurlos    = 1:1:k
for murlos    = 1:1:m
theta_k(murlos,kurlos) = thett +
(5*(kurlos-1)); %selisih 0.5 derajat antar antena
ekurung(murlos,kurlos) = ((1*exp((-1i)*(murlos-
1)*pi*sind(theta_k(murlos,kurlos))))));
end
ekurungt      =
transpose(ekurung);
g_km2(:,kurlos) =
(sqrt(beta_k) .* exp(1i*psii(kurlos))) * ekurungt(kurlos,:);
end
g_kmt        = transpose(g_km2);
end

cnt = cnt+1;

end
cnt = cnt + 1;
Pmiring = 0;
for k2 = 1:k
% STEP 12 MEMBUAT P
vbar_d          = vrf_opt' *
g_kmt' * (g_kmt * vrf_opt * vrf_opt' * g_kmt') ^-
1;
Qbar            = vbar_d' *
vrf_opt' * vrf_opt * vbar_d;

```

```

M1 = vrf_opt' *
g_kmt' * g_kmt * vrf_opt; %UNTUK MENGHITUNG
EIGENVALUE VRF*KANAL
lambda = svd(M1);
qkk = Qbar(k2,k2);
for k3 = 1:1:size(M1,1)
PK1(k3) = beta_kp/lambda(k3)
- qkk * variance;
if PK1(k3) >= 0 && PK1(k3)
<= 10
    PK2 = PK1(k3);
elseif PK1(k3) <= 0
    PK2 = 0;
end
end
Pmiring = Pmiring +
PK2;
pk = 1/qkk * PK2;
Pp(k2,k2) = pk;
PPP = beta_kp *
log2(1+ (pk/variance));
Rk(k2) = log2(1+
(sqrt(pk)/variance));
if Pmiring == 0
    Pmiring = 1;
end
if trace(Qbar*Pp) <= P &&
(log10(Pmiring)*10) >= ((log10(P)*10)-0.5)
%((log10(1/variance)*10)-7) %&& trace(Pp) <= k %
&&
cnt2 = cnt2+1;
break
end
cnt2 = cnt2+1;
end
VD = vbar_d * (Pp)^(1/2);
sum1(SNRsize,n) = sum(Rk);
SE_URLS = real(sum1);

```

```

%%%%%%%%%%%%%
%%%%%%%%%%%%%
%%%%%%%%%%%%%
jumlah_signal = 1000;
for stream = 1:1:jumlah_signal
    jumlah_data = Ns;
    genbpsk(:,stream) =
rand(jumlah_data, 1)>0.5;
    sigbpsk(:,stream) =
2*genbpsk(:,stream) -1;

    y(:,stream) = g_kmt *
vrf_opt * VD * sigbpsk(:,stream);
    detektor =
real(y)>0;
    for sinyal2= 1:Ns
        if detektor(sinyal2,stream) ==1
            sinyal_rx(sinyal2, stream) = 1;
        else sinyal_rx(sinyal2,stream) = -1;
        end
    end
end
nErr(n,SNRsize) = size(find([detektor-
genbpsk]),1);
nErr(nErr==0) = 1;
end

for n2 = 1:N
g_km1 = [];
thet1 = 6 + (0.5 - (-6).*rand(1,1));
%pembangkitan theta dari 6 sampai 12 derajat
g1 = randi([0 1],1,1)>=0.5;
%pembangkitan biner 0 1
g21 = 2*g1-1; %pembangkitan bpsk
thett1 = (g21.*thet1);
beta_k1 = 1;
psi1 = -pi + (pi - (-
pi).*randn(k,1)); %pembangkitan psi dari -pi
sampai pi

```

```

it1          = randi([0 1],k,1)>=0.5;
itb1         = (it1*2)-1;
psiil        = (itb1.*psiil);

for kurlos1    = 1:1:k
for murlos1    = 1:1:m
theta_k1(murlos1,kurlos1) = thett1 +
(5*(kurlos1-1)); %selisih 0.5 derajat antar
antena
ekurung1(murlos1,kurlos1) = ((1*exp((-1i)* (murlos1-
1)*pi*sind(theta_k1(murlos1,kurlos1))))) ;
end
ekurungt1           =
transpose(ekurung1);
g_km21(:,kurlos1)   =
(sqrt(beta_k1) .* exp(1i*psiil(kurlos1))) * ekurungt1(kurlos1,:);
end
g_kmt1           = transpose(g_km21);

Pp1             = eye(k);      %step 2
beta_kp1        = ones([1, 1]);

v_rf1           = randi([1], N_tx, N_rf2);
%step 1
v_rf11          = randi([1], N_tx, N_rf2);
v_rf21          = randi([1], N_tx, N_rf2);
vrf_opt1        = randi([1], N_tx, N_rf2);
argmin1         = randi([1], N_tx, N_rf2)*5;
selish1         = 1;
temp_topt1      = randi([1], N_tx, N_rf2)*20;
teta_opt1       = ones(N_tx, N_rf2);
teta_opt21      = ones(N_tx, N_rf2);
cnt21 = 0;
while 1
cnt1 = 0;
while 1
for J1 = 1:1:N_rf2%step 1

```

```

Hbar1           = Pp1^(-1/2) * g_kmt1;
v_rfj1          = v_rf1;
v_rfj1(:,J1)    = [];
A1              = Pp1^(-1/2) * g_kmt1
* v_rfj1 * v_rfj1' * g_kmt1' * Pp1^(-1/2);
A21             = inv(A1) * inv(A1);
A11             = inv(A1);
B1              = Hbar1' * A21 *
Hbar1;
D1              = Hbar1' * A11 *
Hbar1;
B21             = Hbar1' * A21 *
Hbar1;
D21             = Hbar1' * A11 *
Hbar1;
for iil = 1:1:N_tx
temp1   = 0;
temp21  = 0;
for K1= 1:1:N_tx
for M1 = 1:1:N_tx
if K1 ~= iil && M1 ~=
iil
v_rf11(K1,J1) =
v_rf1(K1,J1);
v_rf11(M1,J1) =
v_rf1(M1,J1);
temp1           = temp1
+ (conj(v_rf11(K1,J1)) * B1(K1,M1) *
v_rf11(M1,J1));
temp21           =
temp21+ (conj(v_rf11(K1,J1)) * D1(K1,M1) *
v_rf11(M1,J1));
end
end
temporary11(iil,J1)   =
temp1;
temporary21(iil,J1)   =
temp21;

```

```

        si_ijB1(iil,J1)      =
B1(iil,iil) + 2*real(temporary11(iil,J1));
        si_ijD1(iil,J1)      =
D1(iil,iil) + 2*real(temporary21(iil,J1));
        temp31    = 0;
        temp41    = 0;
        for L1 = 1:N_rf2
        if L1~= iil
            v_rf21(L1,J1)      =
v_rf1(L1,J1);
            temp31             =
temp31 + (B21(iil,L1) * v_rf21(L1,J1));
            temp41             =
temp41 + (D21(iil,L1) * v_rf21(L1,J1));
        end
        end
        n_ijB1(iil,J1)      =
temp31;
        n_ijD1(iil,J1)      =
temp41;
        c_ij1(iil,J1)       =
((1+si_ijD1(iil,J1))*n_ijB1(iil,J1)) -
(si_ijB1(iil,J1) * n_ijD1(iil,J1));
        z_ij1(iil,J1)       =
imag((2*n_ijB1(iil,J1)) * n_ijD1(iil,J1));
        if real(c_ij1(iil,J1)) >= 0
            psi_ij1(iil,J1) =
asin(imag(c_ij1(iil,J1))/abs(c_ij1(iil,J1)));
        elseif real(c_ij1(iil,J1)) <
0
            psi_ij1(iil,J1) = pi -
(asin(imag(c_ij1(iil,J1))/abs(c_ij1(iil,J1)))) ;
        end
        teta_ij11(iil,J1)   = (((-
1)*psi_ij1(iil,J1)) +
asin(z_ij1(iil,J1)/abs(c_ij1(iil,J1))));
        teta_ij21(iil,J1)   = (pi +
((-1)*psi_ij1(iil,J1)) -
asin(z_ij1(iil,J1)/abs(c_ij1(iil,J1))));


```

```

        vrf_ij11(iil,J1)      = exp(-
li*angle(teta_ij11(iil,J1)));
        vrf_ij21(iil,J1)      = exp(-
li*angle(teta_ij21(iil,J1)));
        f_vrf11(iil,J1)      = (m *
trace(inv(A1))) - (m * ( (si_ijB1(iil,J1) +
2*real(conj(vrf_ij11(iil,J1)) *
n_ijB1(iil,J1)))/(1 + si_ijD1(iil,J1) +
2*real(conj(vrf_ij11(iil,J1))*n_ijD1(iil,J1)))) )
;
        f_vrf21(iil,J1)      = (m *
trace(inv(A1))) - (m * ( (si_ijB1(iil,J1) +
2*real(conj(vrf_ij21(iil,J1)) *
n_ijB1(iil,J1)))/(1 + si_ijD1(iil,J1) +
2*real(conj(vrf_ij21(iil,J1))*n_ijD1(iil,J1)))) )
;
        argmin21(iil,J1)      =
argmin1(iil,J1);
        argmin1(iil,J1)      =
min(angle(f_vrf11(iil,J1)),angle(f_vrf21(iil,J1)))
);
        if argmin1(iil,J1) ==
f_vrf11(iil,J1) %%INI MENCARI TETA OPTIMUM
        teta_opt1(iil,J1) =
angle(f_vrf11(iil,J1));
        elseif argmin1(iil,J1) ~=
f_vrf11(iil,J1)
        teta_opt1(iil,J1) =
angle(f_vrf21(iil,J1));
        end
        vrf_opt1(iil,J1)      = exp(-
li*(teta_opt1(iil,J1))); %INI MENCARI VRF_OPT --
STEP 8
        v_rf1(iil,J1) =
vrf_opt1(iil,J1);
        end
        end
        selisih1 = abs(argmin21(iil,J1) -
argmin1(iil,J1));
        if selisih1 <= 0.3

```

```

        cnt1 = cnt1 + 1;
        break
    end

    if isnan(A1)
        g_kml = [];
        thet1 = 6 + (0.5 - (-6).*rand(1,1)); %pembangkitan theta dari 6 sampai 12 derajat
        g1 = randi([0 1],1,1)>=0.5;
    %pembangkitan biner 0 1
        g21 = 2*g1-1; %pembangkitan bpsk
        thett1 = (g21.*thet1);
        beta_k1 = 1;
        psil = -pi + (pi - (-pi).*randn(k,1)); %pembangkitan psi dari -pi sampai pi
        it1 = randi([0 1],k,1)>=0.5;
        itb1 = (it1*2)-1;
        psiil = (itb1.*psil);

        for kurlos1 = 1:1:k
            for murlos1 = 1:1:m
                theta_k1(murlos1,kurlos1) = thett1 + (5*(kurlos1-1)); %selisih 0.5 derajat antar antena
                ekurung1(murlos1,kurlos1) = ((1*exp((-1i)*(murlos1-1)*pi*sind(theta_k1(murlos1,kurlos1))))));
            end
            ekurungtl = transpose(ekurung1);
            g_km21(:,kurlos1) = (sqrt(beta_k1) .* exp(1i*psiil(kurlos1))) * ekurungtl(kurlos1,:);
        end
        g_kmt1 = transpose(g_km21);
    end

```

```

        cnt1 = cnt1+1;

    end
    cnt1 = cnt1 + 1;
    Pmirroring1 = 0;
    for k21 = 1:k
        % STEP 12 MEMBUAT P
        vbar_d1 = vrf_opt1' *
g_kmt1' * (g_kmt1 * vrf_opt1 * vrf_opt1' *
g_kmt1')^-1;
        Qbar1 = vbar_d1' *
vrf_opt1' * vrf_opt1 * vbar_d1;
        M11 = vrf_opt1' *
g_kmt1' * g_kmt1 * vrf_opt1; %UNTUK MENGHITUNG
EIGENVALUE VRF*KANAL
        lambda1 = svd(M11);
        qkk1 =
Qbar1(k21,k21);
        for k31 = 1:size(M11,1)
            PK11(k31) =
beta_kp1/lambda1(k31) - qkk1 * variance;
            if PK11(k31) >= 0 &&
PK11(k31) <= 10
                PK21 = PK11(k31);
            elseif PK11(k31) <= 0
                PK21 = 0;
            end
        end
        Pmirroring1 = Pmirroring1 +
PK21;
        pk1 = 1/qkk1 *
PK21;
        Pp1(k21,k21) = pk1;
        PPP1 = beta_kp1 *
log2(1+ (pk1/variance));
        Rk1(k21) = log2(1+
(sqrt(pk1)/variance));
        if Pmirroring1 == 0
            Pmirroring1 = 1;

```

```

        end
    end
    if trace(Qbar1*Pp1) <= P &&
(log10(Pmirring1)*10) >= ((log10(P)*10)-0.5)
%((log10(1/variance)*10)-7) %&& trace(Pp) <= k %
&&
        cnt21 = cnt21+1;
        break
    end
    cnt21 = cnt21+1;
end
VD1 = vbar_d1 * (Pp1)^(1/2);
sum11(SNRsize,n) = sum(Rk1);
SE_URLOS2 = real(sum11);

%%%%%%%%%%%%%
%%%%%%%%%%%%%
%%%%%%%%%%%%%
%%%%%%%%%%%%%
jumlah_signall = 1000;
for stream1 = 1:1:jumlah_signall
    jumlah_data1 = Ns;
    genbpsk1(:,stream1) =
rand(jumlah_data1, 1)>0.5;
    sigbpsk1(:,stream1) =
2*genbpsk1(:,stream1) -1;
    y1(:,stream1) = g_kmt1 *
vrf_opt1 * VD1 * sigbpsk1(:,stream1);
    detektor1 = real(y1)>0;
    for sinyal21= 1:Ns
        if detektor1(sinyal21,stream1) ==1
            sinyal_rx1(sinyal21, stream1) =
1;
        else sinyal_rx1(sinyal21,stream1) =
-1;
        end
    end
end
nErr1(n,SNRsize) = size(find([detektor1-
genbpsk1]),1);
nErr1(nErr1==0) = 1;

```



```

Pp11          = eye(k);           %step 2
beta_kp11    = ones([1, 1]);

v_rf11       = randi([1], N_tx, N_rf3);
%step 1
v_rf111      = randi([1], N_tx, N_rf3);
v_rf211      = randi([1], N_tx, N_rf3);
vrf_opt11    = randi([1], N_tx, N_rf3);
argmin11     = randi([1], N_tx, N_rf3)*5;
selisih11    = 1;
temp_topt11  = randi([1], N_tx, N_rf3)*20;
teta_opt11   = ones(N_tx, N_rf3);
teta_opt211  = ones(N_tx, N_rf3);
cnt211 = 0;
while 1
cnt11 = 0;
while 1
for J11 = 1:1:N_rf3%step 1
Hbar11        = Pp11^(-1/2) *
g_kmt11;
v_rfj11       = v_rf11;
v_rfj11(:,J11) = [];
A11           = Pp11^(-1/2) *
g_kmt11 * v_rfj11 * v_rfj11' * g_kmt11' *
Pp11^(-1/2);
A211          = inv(A11) *
inv(A11);
A111          = inv(A11);
B11           = Hbar11' * A211 *
Hbar11;
D11           = Hbar11' * A111 *
Hbar11;
B211          = Hbar11' * A211 *
Hbar11;
D211          = Hbar11' * A111 *
Hbar11;
for ii11 = 1:1:N_tx
temp11      = 0;
temp211     = 0;

```

```

        for K11= 1:1:N_tx
        for M11 = 1:1:N_tx
            if K11 ~= i11 && M11 ~= i11
                v_rf111(K11,J11) =
                v_rf111(M11,J11) =
                temp11 =
                temp11 + (conj(v_rf111(K11,J11)) * B11(K11,M11)
                * v_rf111(M11,J11));
                temp211 =
                temp211 + (conj(v_rf111(K11,J11)) * D11(K11,M11)
                * v_rf111(M11,J11));
            end
        end
        temporary111(i11,J11) =
        temp11;
        temporary211(i11,J11) =
        temp211;
        si_ijB11(i11,J11) =
        B11(i11,i11) + 2*real(temporary111(i11,J11));
        si_ijD11(i11,J11) =
        D11(i11,i11) + 2*real(temporary211(i11,J11));
        temp311 = 0;
        temp411 = 0;
        for L11 = 1:N_rf3
            if L11~= i11
                v_rf211(L11,J11) =
                v_rf111(L11,J11);
                temp311 =
                temp311 + (B211(i11,L11) * v_rf211(L11,J11));
                temp411 =
                temp411 + (D211(i11,L11) * v_rf211(L11,J11));
            end
        end
        n_ijB11(i11,J11) =
        temp311;

```

```

n_ijD11(iill,J11)      =
temp411;
c_ij11(iill,J11)      =
((1+si_ijD11(iill,J11))*n_ijB11(iill,J11)) -
(si_ijB11(iill,J11) * n_ijD11(iill,J11));
z_ij11(iill,J11)      =
imag((2*n_ijB11(iill,J11)) * n_ijD11(iill,J11));
if real(c_ij11(iill,J11)) >=
0
psi_ij11(iill,J11)  =
asin(imag(c_ij11(iill,J11))/abs(c_ij11(iill,J11))
);
elseif
real(c_ij11(iill,J11)) < 0
psi_ij11(iill,J11)  = pi
-
(asin(imag(c_ij11(iill,J11))/abs(c_ij11(iill,J11)
)));
end
teta_ij111(iill,J11)  =
((-1)*psi_ij11(iill,J11)) +
asin(z_ij11(iill,J11)/abs(c_ij11(iill,J11)));
teta_ij211(iill,J11)  =
(pi + ((-1)*psi_ij11(iill,J11)) -
asin(z_ij11(iill,J11)/abs(c_ij11(iill,J11)));
vrf_ij111(iill,J11)  =
exp(-li*angle(teta_ij111(iill,J11)));
vrf_ij211(iill,J11)  =
exp(-li*angle(teta_ij211(iill,J11)));
f_vrf111(iill,J11)  = (m
* trace(inv(A11))) - (m * ( (si_ijB11(iill,J11)
+ 2*real(conj(vrf_ij111(iill,J11)) *
n_ijB11(iill,J11)))/(1 + si_ijD11(iill,J11) +
2*real(conj(vrf_ij111(iill,J11)))*n_ijD11(iill,J1
1)) );
f_vrf211(iill,J11)  = (m
* trace(inv(A11))) - (m * ( (si_ijB11(iill,J11)
+ 2*real(conj(vrf_ij211(iill,J11)) *
n_ijB11(iill,J11)))/(1 + si_ijD11(iill,J11) +

```

```

2*real(conj(vrf_ij211(i111,J11))*n_ijD11(i111,J11)));
argmin211(i111,J11)      =
argmin11(i111,J11);
argmin11(i111,J11)      =
min(angle(f_vrf111(i111,J11)),angle(f_vrf211(i111,J11)));
if argmin11(i111,J11) == f_vrf111(i111,J11) %% INI MENCARI TETA OPTIMUM
    teta_opt1(i111,J11) =
angle(f_vrf111(i111,J11));
elseif argmin11(i111,J11) ~= f_vrf111(i111,J11)
    teta_opt1(i111,J11) =
angle(f_vrf211(i111,J11));
end
vrf_opt1(i111,J11)      =
exp(-1i*(teta_opt1(i111,J11))); %INI MENCARI
VRF_OPT -- STEP 8
v_rf11(i111,J11) =
vrf_opt1(i111,J11);
end
end
selisih11 = abs(argmin211(i111,J11) - argmin11(i111,J11));
if selisih11 <= 0.3
    cnt11 = cnt11 + 1;
    break
end

if isnan(A11)
    g_kml1 = [];
    thet11 = 6 + (0.5 - (-6).*rand(1,1)); %pembangkitan theta dari 6 sampai 12 derajat
    g11 = randi([0 1],1,1)>=0.5;
    %pembangkitan biner 0 1
    g211 = 2*g11-1; %pembangkitan bpsk
    thett11 = (g211.*thet11);

```

```

        beta_k11 = 1;
        psill           = -pi + (pi - (-pi).*randn(k,1)); %pembangkitan psi dari -pi sampai pi
        it11            = randi([0
1],k,1)>=0.5;
        itb11           = (it11*2)-1;
        psi11           = (itb11.*psill);

        for kurlos11      = 1:1:k
        for murlos11      = 1:1:m
            theta_k11(murlos11,kurlos11) =
thettt11 + (5*(kurlos11-1)); %selisih 0.5 derajat antar antena
            ekurung11(murlos11,kurlos11) =
((1*exp((-1i)*(murlos11-
1)*pi*sind(theta_k11(murlos11,kurlos11))))));
        end
        ekurungt11          =
transpose(ekurung11);
        g_km211(:,kurlos11) =
(sqrt(beta_k11) .* exp(1i*psi11(kurlos11))) * ekurungt11(kurlos11,:);
        end
        g_kmt11           = transpose(g_km211);
        end

        cnt11 = cnt11+1;

    end
    cnt11 = cnt11 + 1;
    Pmiring11 = 0;
    for k211 = 1:k
        % STEP 12 MEMBUAT P
        vbar_d11           = vrf_opt11'* g_kmt11' * (g_kmt11 * vrf_opt11 * vrf_opt11' * g_kmt11')^-1;
        Qbar11             = vbar_d11'* vrf_opt11' * vrf_opt11 * vbar_d11;

```

```

M111 = vrf_opt11'
* g_kmt11' * g_kmt11 * vrf_opt11; %UNTUK
MENGHITUNG EIGENVALUE VRF*KANAL
lambda11 = svd(M111);
qkk11 =
Qbar11(k211,k211);
for k311 = 1:1:size(M111,1)
    PK111(k311) =
beta_kp11/lambda11(k311) - qkk11 * variance;
        if PK111(k311) >= 0 &&
PK111(k311) <= 10
            PK211 = PK111(k311);
        elseif PK111(k311) <= 0
            PK211 = 0;
        end
    end
Pmiring11 = Pmiring11
+ PK211;
pk11 = 1/qkk11 *
PK211;
Pp11(k211,k211) = pk11;
PPP11 = beta_kp11
* log2(1+ (pk11/variance));
Rk11(k211) = log2(1+
(sqrt(pk11)/variance));
        if Pmiring11 == 0
            Pmiring11 = 1;
        end
    end
        if trace(Qbar11*Pp11) <= P &&
(log10(Pmiring11)*10) >= ((log10(P)*10)-0.5)
%((log10(1/variance)*10)-7) %&& trace(Pp) <= k %
&&
        cnt211 = cnt211+1;
        break
    end
    cnt211 = cnt211+1;
end
VD11 = vbar_d11 *
(Pp11)^(1/2);

```

```

sum111(SNRsize,n)      = sum(Rk11);
SE_URLOS3              = real(sum111);

%%%%%%%%%%%%%
%%%%%%%%%%%%%
%%%%%%%%%%%%%
%%%%%%%%%%%%%
jumlah_signal11 = 1000;
for stream11 = 1:1:jumlah_signal11
    jumlah_data11           = Ns;
    genbpsk11(:,stream11)   =
rand(jumlah_data11, 1)>0.5;
    sigbpsk11(:,stream11)   =
2*genbpsk11(:,stream11) -1;
    y11(:,stream11)          = g_kmt11 *
vrf_opt11 * VD11 * sigbpsk11(:,stream11);
    detektor11               = real(y11)>0;
    for sinyal211= 1:Ns
        if detektor11(sinyal211,stream11)
==1
            sinyal_rx11(sinyal211, stream11)
= 1;
        else sinyal_rx11(sinyal211,stream11)
= -1;
        end
    end
end
nErr11(n,SNRsize) = size(find([detektor11-
genbpsk11]),1);
nErr11(nErr11==0) = 1;

end
%%%%%%%%%%%%%
%%%%%%%%%%%%%
for n111 = 1:N
g_km111 = [];
thet111   = 6 + (0.5 - (-6).*rand(1,1));
%pembangkitan theta dari 6 sampai 12 derajat
g111      = randi([0 1],1,1)>=0.5;
%pembangkitan biner 0 1
g2111     = 2*g111-1; %pembangkitan bpsk

```

```

thett111    = (g2111.*thet111);
beta_k111   = 1;
psi111       = -pi + (pi - (-
pi).*randn(k,1)); %pembangkitan psi dari -pi
sampai pi
it111        = randi([0 1],k,1)>=0.5;
itb111       = (it111*2)-1;
psii111      = (itb111.*psii111);

for kurlos111      = 1:k
for murlos111      = 1:m
theta_k111(murlos111,kurlos111) =
thett111 + (5*(kurlos111-1)); %selisih 0.5
derajat antar antena
ekurung111(murlos111,kurlos111) =
((1*exp((-1i)*(murlos111-
1)*pi*sind(theta_k111(murlos111,kurlos111))))));
end
ekurungt111      =
transpose(ekurung111);
g_km2111(:,kurlos111) =
(sqrt(beta_k111) .* exp(1i*psii111(kurlos111)))
* ekurungt111(kurlos111,:));
end
g_kmt111        = transpose(g_km2111);

Pp111          = eye(k);           %step 2
beta_kp111     = ones([1, 1]);

v_rf111        = randi([1], N_tx, N_rf4);
%step 1
v_rf1111      = randi([1], N_tx, N_rf4);
v_rf2111      = randi([1], N_tx, N_rf4);
vrf_opt111    = randi([1], N_tx, N_rf4);
argmin111     = randi([1], N_tx, N_rf4)*5;
selisih111    = 1;
temp_topt111  = randi([1], N_tx, N_rf4)*20;
teta_opt111   = ones(N_tx, N_rf4);
teta_opt2111  = ones(N_tx, N_rf4);

```

```

cnt2111 = 0;
while 1
cnt111 = 0;
while 1
for J111 = 1:1:N_rf4%step 1
Hbar111 = Pp111^(-1/2) *
g_kmt111;
v_rfj111 = v_rf111;
v_rfj111(:,J111) = [];
A111 = Pp111^(-1/2) *
g_kmt111 * v_rfj111 * v_rfj111' * g_kmt111' *
Pp111^(-1/2);
A2111 = inv(A111) *
inv(A111);
A1111 = inv(A111);
B111 = Hbar111' * A2111 *
Hbar111;
D111 = Hbar111' * A1111 *
Hbar111;
B2111 = Hbar111' * A2111 *
Hbar111;
D2111 = Hbar111' * A1111 *
Hbar111;
for ii111 = 1:1:N_tx
temp111 = 0;
temp2111 = 0;
for K111= 1:1:N_tx
for M111 = 1:1:N_tx
if K111 ~= ii111 && M111
~= ii111
v_rf1111(K111,J111) =
v_rf111(K111,J111);
v_rf1111(M111,J111) =
v_rf111(M111,J111);
temp111 =
temp111 + (conj(v_rf1111(K111,J111)) *
B111(K111,M111) * v_rf1111(M111,J111));
temp2111 =
temp2111 + (conj(v_rf1111(K111,J111)) *
D111(K111,M111) * v_rf1111(M111,J111));

```

```

        end
    end
    end
    temporary1111(ii111,J111)
= temp111;
    temporary2111(ii111,J111)
= temp2111;
    si_ijB111(ii111,J111)      =
B111(ii111,ii111) + 2*real(temporary1111(ii111,J111));
    si_ijD111(ii111,J111)      =
D111(ii111,ii111) + 2*real(temporary2111(ii111,J111));
    temp3111 = 0;
    temp4111 = 0;
    for L111 = 1:N_rf4
        if L111~= ii111
            v_rf2111(L111,J111)      =
v_rf111(L111,J111);
            temp3111 = temp3111 + (B2111(ii111,L111) *
v_rf2111(L111,J111));
            temp4111 = temp4111 + (D2111(ii111,L111) *
v_rf2111(L111,J111));
        end
    end
    n_ijB111(ii111,J111)      =
temp3111;
    n_ijD111(ii111,J111)      =
temp4111;
    c_ij111(ii111,J111)      =
((1+si_ijD111(ii111,J111))*n_ijB111(ii111,J111)) -
(si_ijB111(ii111,J111) * n_ijD111(ii111,J111));
    z_ij111(ii111,J111)      =
imag((2*n_ijB111(ii111,J111)) *
n_ijD111(ii111,J111));
    if real(c_ij111(ii111,J111)) >= 0

```

```

psi_ij111(ii111,J111) =  

asin(imag(c_ij111(ii111,J111))/abs(c_ij111(ii111,  
J111)));  

elseif  

real(c_ij111(ii111,J111)) < 0  

psi_ij111(ii111,J111) =  

pi -  

(asin(imag(c_ij111(ii111,J111))/abs(c_ij111(ii111,  
J111))));  

end  

teta_ij1111(ii111,J111) =  

((-1)*psi_ij111(ii111,J111)) +  

asin(z_ij111(ii111,J111)/abs(c_ij111(ii111,J111))));  

teta_ij2111(ii111,J111) =  

(pi + ((-1)*psi_ij111(ii111,J111)) -  

asin(z_ij111(ii111,J111)/abs(c_ij111(ii111,J111))));  

vrf_ij1111(ii111,J111) =  

exp(-li*angle(teta_ij1111(ii111,J111)));  

vrf_ij2111(ii111,J111) =  

exp(-li*angle(teta_ij2111(ii111,J111)));  

f_vrf1111(ii111,J111) =  

(m * trace(inv(A111))) - (m * (  

(si_ijB111(ii111,J111) +  

2*real(conj(vrf_ij1111(ii111,J111)) *  

n_ijB111(ii111,J111)))/(1 +  

si_ijD111(ii111,J111) +  

2*real(conj(vrf_ij1111(ii111,J111)) * n_ijD111(ii111,J111))));  

f_vrf2111(ii111,J111) =  

(m * trace(inv(A111))) - (m * (  

(si_ijB111(ii111,J111) +  

2*real(conj(vrf_ij2111(ii111,J111)) *  

n_ijB111(ii111,J111)))/(1 +  

si_ijD111(ii111,J111) +  

2*real(conj(vrf_ij2111(ii111,J111)) * n_ijD111(ii111,J111))));  

argmin2111(ii111,J111) =  

argmin111(ii111,J111);

```

```

        argmin11(ii111,J111)      =
min(angle(f_vrf1111(ii111,J111)),angle(f_vrf2111
(ii111,J111)));
        if argmin11(ii111,J111) == f_vrf1111(ii111,J111) %%INI MENCARI TETA
OPTIMUM
            teta_opt1(ii111,J111) = angle(f_vrf1111(ii111,J111));
            elseif argmin11(ii111,J111)
~= f_vrf1111(ii111,J111)
                teta_opt11(ii111,J111) = angle(f_vrf2111(ii111,J111));
                end
                vrf_opt111(ii111,J111) = exp(-li*(teta_opt11(ii111,J111))); %%INI MENCARI
VRF_OPT -- STEP 8
                vrf_rf111(ii111,J111) =
vrf_opt111(ii111,J111);
                end
                end
                selisih111 =
abs(argmin2111(ii111,J111) -
argmin11(ii111,J111));
                if selisih111 <= 0.3
                    cnt111 = cnt111 + 1;
                    break
                end

                if isnan(A111)
                    g_km111 = [];
                    thet111 = 6 + (0.5 - (-6).*rand(1,1)); %pembangkitan theta dari 6
sampai 12 derajat
                    g111 = randi([0 1],1,1)>=0.5;
%pembangkitan biner 0 1
                    g2111 = 2*g111-1; %pembangkitan
bpsk
                    thett111 = (g2111.*thet111);
                    beta_k111 = 1;

```

```

psi111           = -pi + (pi - (-pi).*randn(k,1)); %pembangkitan psi dari -pi sampai pi
it111            = randi([0
1],k,1)>=0.5;
itb111           = (it111*2)-1;
psii111          = (itb111.*psi111);

for kurlos111    = 1:1:k
for murlos111   = 1:1:m
theta_k111(murlos111,kurlos111) =
thett111 + (5*(kurlos111-1)); %selisih 0.5
derajat antar antena
ekurung111(murlos111,kurlos111) =
((1*exp((-1i)*(murlos111-
1)*pi*sind(theta_k111(murlos111,kurlos111))))));
end
ekurungt111      =
transpose(ekurung111);
g_km2111(:,kurlos111) =
(sqrt(beta_k111) .* exp(1i*psii111(kurlos111)))
* ekurungt111(kurlos111,:));
end
g_kmt111         = transpose(g_km2111);
end

cnt111 = cnt111+1;

end
cnt111 = cnt111 + 1;
Pmiring111 = 0;
for k2111 = 1:k
% STEP 12 MEMBUAT P
vbar_d111        =
vrf_opt111' * g_kmt111' * (g_kmt111 * vrf_opt111
* vrf_opt111' * g_kmt111')^-1;
Qbar111          =
vbar_d111' * vrf_opt111' * vrf_opt111 *
vbar_d111;

```

```

M1111 = vrf_opt111' * g_kmt111' * g_kmt111 * vrf_opt111;
%UNTUK MENGHITUNG EIGENVALUE VRF*KANAL
lambda111 =
svd(M1111);
qkk111 =
Qbar111(k2111,k2111);
for k3111 = 1:1:size(M1111,1)
PK1111(k3111) =
beta_kp111/lambda111(k3111) - qkk111 * variance;
if PK1111(k3111) >= 0 &&
PK1111(k3111) <= 10
    PK2111 = PK1111(k3111);
elseif PK1111(k3111) <= 0
    PK2111 = 0;
end
end
Pmiring111 =
Pmiring111 + PK2111;
pk111 = 1/qkk111
* PK2111;
Pp111(k2111,k2111) =
pk111;
PPP111 =
beta_kp111 * log2(1+ (pk111/variance));
Rk111(k2111) =
log2(1+ (sqrt(pk111)/variance));
if Pmiring111 == 0
    Pmiring111 = 1;
end
end
if trace(Qbar111*Pp111) <= P &&
(log10(Pmiring111)*10) >= ((log10(P)*10)-0.5)
%((log10(1/variance)*10)-7) %&& trace(Pp) <= k %
&&
cnt2111 = cnt2111+1;
break
end
cnt2111 = cnt2111+1;
end

```

```

    VD111 = vbar_d111 *
(Pp111)^ (1/2);
    sum1111(SNRsize,n) = sum(Rk111);
    SE_URLOS4 = real(sum1111);
%%%%%%%%%%%%%
%%%%%%%%%%%%%
%%%%%%%%%%%%%
jumlah_signal111 = 1000;
for stream111 = 1:1:jumlah_signal111
    jumlah_data111 = Ns;
    genbpsk111(:,stream111) =
rand(jumlah_data111, 1)>0.5;
    sigbpsk111(:,stream111) =
2*genbpsk111(:,stream111) -1;
    y111(:,stream111) = q_kmt111 *
vrf_opt111 * VD111 * sigbpsk111(:,stream111);
    detektor111 =
real(y111)>0;
    for sinyal2111= 1:Ns
        if detektor111(sinyal2111,stream111)
==1
            sinyal_rx111(sinyal2111,
stream111) = 1;
        else
            sinyal_rx111(sinyal2111,stream111) = -1;
        end
    end
end
nErr111(n,SNRsize) = size(find([detektor111-
genbpsk111]),1);
nErr111(nErr111==0) = 1;

end

end
simBERurlos = nErr/(jumlah_signal*Ns);
simBERurlos2 = nErr1/(jumlah_signall*Ns);

```

```

simBERurlos3      = nErr11/(jumlah_signal11*Ns);
simBERurlos4      = nErr11/(jumlah_signal11*Ns);

figure(1)
plot(SNR_dB, mean(SE_URLOS,2), 'b.-'); hold on;
plot(SNR_dB, mean(SE_URLOS2,2), 'r.-'); hold on;
plot(SNR_dB, mean(SE_URLOS3,2), 'g.-'); hold on;
plot(SNR_dB, mean(SE_URLOS4,2), 'm.-'); hold on;
legend('NRF1','NRF2','NRF3','NRF4');
xlabel('SNR');
ylabel('Spectral Efficiency');
title('Spectral Efficiency vs SNR kanal URLOS');

figure(2)
semilogy(SNR_dB,mean(simBERurlos,1), 'bx-'); hold on;
semilogy(SNR_dB,mean(simBERurlos2,1), 'rx-');
hold on;
semilogy(SNR_dB,mean(simBERurlos3,1), 'gx-');
hold on;
semilogy(SNR_dB,mean(simBERurlos4,1), 'mx-');
hold on;
axis([-10 30 10^-5 0.5])
grid on
legend('NRF1','NRF2','NRF3','NRF4');
xlabel('Eb/No, dB');
ylabel('Bit Error Rate');
title('Bit error probability curve for BPSK
modulation kanal URLOS');

%%%%%%%%%%%%%
% MATLAB SCRIPT PERBANDINGAN BEDA JUMLAH
PEMANCAR (TX) IRF
%%%%%%%%%%%%%

clear all;
close all;

```

```

clc;

m = 64; k = 4; %JUMLAH ANTENA
mm= 32;
mmmm=64;
P = 1; %Daya dalam Watt
s = 1; %menurut analisa, WAJIB
[Jml_Ns == Jml_m];
k_user = k;
Ns = s*k_user;
N_tx = m;
N_tx2 = mm;
N_tx3 = mmmm;
N_rf = Ns; %untuk syarat Hybrid
Beamforming

SNR_dB = -2:4:30; %range SNR in dB
SNR_lin = 10.^ (SNR_dB/10); % range SNR in linear
power
N =9;

for SNRsize = 1 : length(SNR_dB)
    SNR = SNR_lin(SNRsize);
    variance = P/SNR;
    for n = 1:N
        variancekanal = 1;
        h_km =
sqrt(variancekanal/2)*(randn([m],[k])+(1i)*randn([m],[k])); %small scale fading berdasar
Jumlah antena dan user
        g_km = h_km;
        g_kmt = transpose(g_km);
        Pp = eye(k); %step 2
        beta_kp = ones([1, 1]);
        v_rf = randi([1], N_tx, N_rf); %step
1
        v_rf1 = randi([1], N_tx, N_rf);
        v_rf2 = randi([1], N_tx, N_rf);
        vrf_opt = randi([1], N_tx, N_rf);

```

```

argmin      = randi([1], N_tx, N_rf)*5;
selisih    = 1;
temp_topt   = randi([1], N_tx, N_rf)*20;
teta_opt    = ones(N_tx, N_rf);
teta_opt2   = ones(N_tx, N_rf);
cnt2 = 0;
while 1
cnt = 0;
while 1
for J = 1:1:N_rf%step 1
Hbar          = Pp^(-1/2) * g_kmt;
v_rfj         = v_rf;
v_rfj(:,J)    = [];
A              = Pp^(-1/2) * g_kmt *
v_rfj * v_rfj' * g_kmt' * Pp^(-1/2);
A2             = inv(A) * inv(A);
A1             = inv(A);
B              = Hbar' * A2 * Hbar;
D              = Hbar' * A1 * Hbar;
B2             = Hbar' * A2 * Hbar;
D2             = Hbar' * A1 * Hbar;
for ii = 1:1:N_tx
temp     = 0;
temp2    = 0;
for K = 1:1:N_tx
for M = 1:1:N_tx
if K ~= ii && M ~= ii
v_rf1(K,J) = v_rf(K,J);
v_rf1(M,J) = v_rf(M,J);
temp        = temp +
(conj(v_rf1(K,J)) * B(K,M) * v_rf1(M,J));
temp2       = temp2 +
(conj(v_rf1(K,J)) * D(K,M) * v_rf1(M,J));
end
end
temporary1(ii,J)    = temp;
temporary2(ii,J)    = temp2;
si_ijB(ii,J)       = B(ii,ii) +
2*real(temporary1(ii,J));

```

```

        si_ijD(ii,J)      = D(ii,ii) +
2*real(temporary2(ii,J));
        temp3    = 0;
        temp4    = 0;
        for L = 1:N_rf
        if L~= ii
            v_rf2(L,J)      =
v_rf(L,J);
            temp3          = temp3
+ (B2(ii,L) * v_rf2(L,J));
            temp4          = temp4
+ (D2(ii,L) * v_rf2(L,J));
        end
        end
        n_ijB(ii,J)      = temp3;
        n_ijD(ii,J)      = temp4;
        c_ij(ii,J)       =
((1+si_ijD(ii,J))*n_ijB(ii,J)) - (si_ijB(ii,J) *
n_ijD(ii,J));
        z_ij(ii,J)       =
imag((2*n_ijB(ii,J)) * n_ijD(ii,J));
        if real(c_ij(ii,J)) >= 0
            psi_ij(ii,J) =
asin(imag(c_ij(ii,J))/abs(c_ij(ii,J)));
        elseif real(c_ij(ii,J)) < 0
            psi_ij(ii,J) = pi -
(asin(imag(c_ij(ii,J))/abs(c_ij(ii,J))));
        end
        teta_ij1(ii,J)   = (((-
1)*psi_ij(ii,J)) +
asin(z_ij(ii,J)/abs(c_ij(ii,J))));
        teta_ij2(ii,J)   = (pi +
((-1)*psi_ij(ii,J)) -
asin(z_ij(ii,J)/abs(c_ij(ii,J))));
        vrf_ij1(ii,J)    = exp(-
li*angle(teta_ij1(ii,J)));
        vrf_ij2(ii,J)    = exp(-
li*angle(teta_ij2(ii,J)));
        f_vrf1(ii,J)     = (m *
trace(inv(A))) - (m * ( (si_ijB(ii,J) +

```

```

2*real(conj(vrf_ij1(ii,J)) * n_ijB(ii,J)))/(1 +
si_ijD(ii,J) +
2*real(conj(vrf_ij1(ii,J))*n_ijD(ii,J)))) ;
f_vrf2(ii,J) = (m *
trace(inv(A))) - (m * ( (si_ijB(ii,J) +
2*real(conj(vrf_ij2(ii,J)) * n_ijB(ii,J)))/(1 +
si_ijD(ii,J) +
2*real(conj(vrf_ij2(ii,J))*n_ijD(ii,J)))) ;
argmin2(ii,J) =
argmin(ii,J);
argmin(ii,J) =
min(angle(f_vrf1(ii,J)),angle(f_vrf2(ii,J)));
if argmin(ii,J) ==
f_vrf1(ii,J) %%INI MENCARI TETA OPTIMUM
teta_opt(ii,J) =
angle(f_vrf1(ii,J));
elseif argmin(ii,J) ==
f_vrf1(ii,J)
teta_opt(ii,J) =
angle(f_vrf2(ii,J));
end
vrf_opt(ii,J) = exp(-
li*(teta_opt(ii,J))); %INI MENCARI VRF_OPT --
STEP 8
v_rf(ii,J) = vrf_opt(ii,J);
end
end
selisih = abs(argmin2(ii,J) -
argmin(ii,J));
if selisih <= 0.3
cnt = cnt + 1;
break
end

if isnan(A)
variancekanal = 1;
h_km =
sqrt(variancekanal/2)*(randn([m],[k])+((li)*randn([m],[k]))); %small scale fading berdasar
Jumlah antena dan user

```

```

g_km = h_km;
g_kmt = transpose(g_km);
Pp = eye(k);

%step 2
beta_kp = ones([1, 1]);
v_rf = randi([1], N_tx,
N_rf); %step 1
end

cnt = cnt+1;

end
cnt = cnt + 1;
Pmiring = 0;
for k2 = 1:k
% STEP 12 MEMBUAT P
    vbar_d = vrf_opt' *
g_kmt' * (g_kmt * vrf_opt * vrf_opt' * g_kmt') ^-
1;
    Qbar = vbar_d' *
vrf_opt' * vrf_opt * vbar_d;
    M1 = vrf_opt' *
g_kmt' * g_kmt * vrf_opt; %UNTUK MENGHITUNG
EIGENVALUE VRF*KANAL
    lambda = svd(M1);
    qkk = Qbar(k2, k2);
    for k3 = 1:size(M1, 1)
        PK1(k3) = beta_kp / lambda(k3)
- qkk * variance;
        if PK1(k3) >= 0 && PK1(k3)
<= 10
            PK2 = PK1(k3);
        elseif PK1(k3) <= 0
            PK2 = 0;
        end
    end
    Pmiring = Pmiring +
PK2;
    pk = 1/qkk * PK2;

```

```

Pp(k2,k2) = pk;
PPP = beta_kp *
log2(1+ (pk/variance));
Rk(k2) = log2(1+
(sqrt(pk)/variance));
if Pmirring == 0
    Pmirring = 1;
end
if trace(Qbar*Pp) <= P &&
(log10(Pmirring)*10) >= ((log10(P)*10)-0.5)
%((log10(1/variance)*10)-7) %&& trace(Pp) <= k %
&&
cnt2 = cnt2+1;
break
end
cnt2 = cnt2+1;
end
VD = vbar_d * (Pp)^(1/2);
sum1(SNRsize,n) = sum(Rk);
SE_IRF1 = real(sum1);

jumlah_signal = 1000;
for stream = 1:1:jumlah_signal
    jumlah_data = Ns;
    genbpsk(:,stream) =
rand(jumlah_data, 1)>0.5;
    sigbpsk(:,stream) =
2*genbpsk(:,stream) -1;

    y(:,stream) = g_kmt *
vrf_opt * VD * sigbpsk(:,stream);
    detektor =
real(y)>0;
    for sinyal2= 1:Ns
        if detektor(sinyal2,stream) ==1
            sinyal_rx(sinyal2, stream) = 1;

```

```

        else sinyal_rx(sinyal2,stream) = -1;
    end
end
nErr(n,SNRsize) = size(find([detektor-
genbpsk]),1);
nErr(nErr==0) = 1;
end

for n2 = 1:N
variancekanall = 1;
h_kml =
sqrt(variancekanall/2)*(randn([mm],[k]) + ((li)*ra-
ndn([mm],[k]))); %small scale fading berdasar
Jumlah antena dan user
g_kml = h_kml;
g_kmtl = transpose(g_kml);
Pp1 = eye(k); %step 2
beta_kp1 = ones([1, 1]);

v_rf1 = randi([1], N_tx2, N_rf);
%step 1
v_rf11 = randi([1], N_tx2, N_rf);
v_rf21 = randi([1], N_tx2, N_rf);
vrf_opt1 = randi([1], N_tx2, N_rf);
argmin1 = randi([1], N_tx2, N_rf)*5;
selisih1 = 1;
temp_topt1 = randi([1], N_tx2, N_rf)*20;
teta_opt1 = ones(N_tx2, N_rf);
teta_opt21 = ones(N_tx2, N_rf);
cnt21 = 0;
while 1
cnt1 = 0;
while 1
for J1 = 1:1:N_rf%step 1
Hbar1 = Pp1^(-1/2) * g_kmtl;
v_rfj1 = v_rf1;
v_rfj1(:,J1) = [];
A1 = Pp1^(-1/2) * g_kmtl
* v_rfj1 * v_rfj1' * g_kmtl' * Pp1^(-1/2);

```

```

        A21          = inv(A1) * inv(A1);
        A11          = inv(A1);
        B1           = Hbar1' * A21 *
Hbar1;
        D1           = Hbar1' * A11 *
Hbar1;
        B21          = Hbar1' * A21 *
Hbar1;
        D21          = Hbar1' * A11 *
Hbar1;
        for iil = 1:1:N_tx2
        temp1      = 0;
        temp21     = 0;
        for K1= 1:1:N_tx2
        for M1 = 1:1:N_tx2
            if K1 ~= iil && M1 ~= iil
v_rf1(K1,J1) =
v_rf1(M1,J1) =
v_rf1(M1,J1);
            temp1          = temp1
+ (conj(v_rf1(K1,J1)) * B1(K1,M1) *
v_rf1(M1,J1));
            temp21         =
temp21+ (conj(v_rf1(K1,J1)) * D1(K1,M1) *
v_rf1(M1,J1));
            end
        end
        temporary11(iil,J1)    =
temp1;
        temporary21(iil,J1)    =
temp21;
        si_ijB1(iil,J1)       =
B1(iil,iil) + 2*real(temporary11(iil,J1));
        si_ijD1(iil,J1)       =
D1(iil,iil) + 2*real(temporary21(iil,J1));
        temp31      = 0;
        temp41      = 0;

```

```

        for L1 = 1:N_rf
          if L1~= iil
            v_rf21(L1,J1)      =
v_rf1(L1,J1);
            temp31           =
temp31 + (B21(iil,L1) * v_rf21(L1,J1));
            temp41           =
temp41 + (D21(iil,L1) * v_rf21(L1,J1));
          end
          end
          n_ijB1(iil,J1)      =
temp31;
          n_ijD1(iil,J1)      =
temp41;
          c_ij1(iil,J1)       =
((1+si_ijD1(iil,J1))*n_ijB1(iil,J1)) -
(si_ijB1(iil,J1) * n_ijD1(iil,J1));
          z_ij1(iil,J1)       =
imag((2*n_ijB1(iil,J1)) * n_ijD1(iil,J1));
          if real(c_ij1(iil,J1)) >= 0
            psi_ij1(iil,J1) =
asin(imag(c_ij1(iil,J1))/abs(c_ij1(iil,J1)));
          elseif real(c_ij1(iil,J1)) <
0
            psi_ij1(iil,J1) = pi -
(asin(imag(c_ij1(iil,J1))/abs(c_ij1(iil,J1)))) ;
          end
          teta_ij11(iil,J1)   = (((-1)*psi_ij1(iil,J1)) +
asin(z_ij1(iil,J1)/abs(c_ij1(iil,J1))));
          teta_ij21(iil,J1)   = (pi +
((-1)*psi_ij1(iil,J1)) -
asin(z_ij1(iil,J1)/abs(c_ij1(iil,J1))));
          vrf_ij11(iil,J1)    = exp(-
li*angle(teta_ij11(iil,J1)));
          vrf_ij21(iil,J1)    = exp(-
li*angle(teta_ij21(iil,J1)));
          f_vrf11(iil,J1)     = (mm *
trace(inv(A1))) - (mm * ( (si_ijB1(iil,J1) +
2*real(conj(vrf_ij11(iil,J1)) *

```

```

n_ijB1(iil,J1)))/(1 + si_ijD1(iil,J1) +
2*real(conj(vrf_ij11(iil,J1))*n_ijD1(iil,J1)))))

;

f_vrf21(iil,J1)      = (mm *
trace(inv(A1))) - (mm * ( (si_ijB1(iil,J1) +
2*real(conj(vrf_ij21(iil,J1)) *
n_ijB1(iil,J1)))/(1 + si_ijD1(iil,J1) +
2*real(conj(vrf_ij21(iil,J1))*n_ijD1(iil,J1)))))

;

argmin21(iil,J1)      =
argmin1(iil,J1);

argmin1(iil,J1)      =
min(angle(f_vrf11(iil,J1)),angle(f_vrf21(iil,J1)))
);

if argmin1(iil,J1) ==
f_vrf11(iil,J1) %%INI MENCARI TETA OPTIMUM
teta_opt1(iil,J1) =
angle(f_vrf11(iil,J1));
elseif argmin1(iil,J1) ==
f_vrf11(iil,J1)
teta_opt1(iil,J1) =
angle(f_vrf21(iil,J1));
end
vrf_opt1(iil,J1)      = exp(
li*(teta_opt1(iil,J1))); %%INI MENCARI VRF_OPT --
STEP 8
v_rf1(iil,J1) =
vrf_opt1(iil,J1);
end
end
selisih1 = abs(argmin21(iil,J1) -
argmin1(iil,J1));
if selisih1 <= 0.3
cnt1 = cnt1 + 1;
break
end

if isnan(A1)
variancekanal1 = 1;

```

```

    h_km1 =
sqrt(variancekanal1/2)*(randn([mm],[k]))+((li)*ra
ndn([mm],[k])); %small scale fading berdasar
Jumlah antena dan user
    g_km1 = h_km1;
    g_kmt1 = transpose(g_km1);
    Pp1 = eye(k);
%step 2
    beta_kp1 = ones([1, 1]);
    v_rf1 = randi([1], N_tx2,
N_rf); %step 1
end

cnt1 = cnt1+1;

end
cnt1 = cnt1 + 1;
Pmirning1 = 0;
for k21 = 1:k
% STEP 12 MEMBUAT P
    vbar_d1 = vrf_opt1' *
g_kmt1' * (g_kmt1 * vrf_opt1 * vrf_opt1'* *
g_kmt1')^-1;
    Qbar1 = vbar_d1' *
vrf_opt1' * vrf_opt1 * vbar_d1;
    M11 = vrf_opt1' *
g_kmt1' * g_kmt1 * vrf_opt1; %UNTUK MENGHITUNG
EIGENVALUE VRF*KANAL
    lambda1 = svd(M11);
    qkk1 =
Qbar1(k21,k21);
    for k31 = 1:size(M11,1)
        PK11(k31) =
beta_kp1/lambda1(k31) - qkk1 * variance;
        if PK11(k31) >= 0 &&
PK11(k31) <= 10
            PK21 = PK11(k31);
        elseif PK11(k31) <= 0
            PK21 = 0;
        end

```

```

        end
        Pmiring1          = Pmiring1 +
PK21;
        pk1              = 1/qkk1 *
PK21;
        Pp1(k21,k21)    = pk1;
        PPP1             = beta_kp1 *
log2(1+ (pk1/variance));
        Rk1(k21)         = log2(1+
(sqrt(pk1)/variance));
        if Pmiring1 == 0
            Pmiring1 = 1;
        end
        if trace(Qbar1*Pp1) <= P &&
(log10(Pmiring1)*10) >= ((log10(P)*10)-0.5)
%((log10(1/variance)*10)-7) %&& trace(Pp) <= k %
&&
        cnt21 = cnt21+1;
        break
        end
        cnt21 = cnt21+1;
    end
    VD1                  = vbar_d1 * (Pp1)^(1/2);
    sum11(SNRsize,n)    = sum(Rk1);
    SE_IRF132           = real(sum11);
%%%%%%%%%%%%%
%%%%%%%%%%%%%
%%%%%%%%%%%%%
%%%%%%%%%%%%%
jumlah_signall = 1000;
for stream1 = 1:1:jumlah_signall
    jumlah_data1        = Ns;
    genbpsk1(:,stream1) =
rand(jumlah_data1, 1)>0.5;
    sigbpsk1(:,stream1) =
2*genbpsk1(:,stream1) -1;
    y1(:,stream1)        = g_kmt1 *
vrf_opt1 * VD1 * sigbpsk1(:,stream1);
    detektor1            = real(y1)>0;

```

```

        for sinyal21= 1:Ns
            if detektor1(sinyal21,stream1) ==1
                sinyal_rx1(sinyal21, stream1) =
1;
            else sinyal_rx1(sinyal21,stream1) =
-1;
            end
        end
    end
nErr1(n,SNRsize) = size(find([detektor1-
genbpsk1]),1);
nErr1(nErr1==0) = 1;
end

for n11 = 1:N
variancekanal11 = 1;
h_km11 =
sqrt(variancekanal11/2)*(randn([mmm],[k]) + ((1i)*
randn([mmm],[k]))); %small scale fading berdasar
Jumlah antena dan user
g_km11 = h_km11;
g_kmt11 = transpose(g_km11);
Pp11 = eye(k); %step 2
beta_kp11 = ones([1, 1]);

v_rf11 = randi([1], N_tx3, N_rf);
%step 1
v_rf111 = randi([1], N_tx3, N_rf);
v_rf211 = randi([1], N_tx3, N_rf);
vrf_opt11 = randi([1], N_tx3, N_rf);
argmin11 = randi([1], N_tx3, N_rf)*5;
selisih11 = 1;
temp_topt11 = randi([1], N_tx3, N_rf)*20;
teta_opt11 = ones(N_tx3, N_rf);
teta_opt211 = ones(N_tx3, N_rf);
cnt211 = 0;
while 1
cnt11 = 0;
while 1
for J11 = 1:1:N_rf%step 1

```

```

Hbar11          = Pp11^(-1/2) *
g_kmt11;
v_rfj11        = v_rf11;
v_rfj11(:,J11) = [];
A11            = Pp11^(-1/2) *
g_kmt11 * v_rfj11 * v_rfj11' * g_kmt11' *
Pp11^(-1/2);
A211           = inv(A11) *
inv(A11);
A111           = inv(A11);
B11            = Hbar11' * A211 *
Hbar11;
D11            = Hbar11' * A111 *
Hbar11;
B211           = Hbar11' * A211 *
Hbar11;
D211           = Hbar11' * A111 *
Hbar11;
for i111 = 1:1:N_tx3
temp11 = 0;
temp211 = 0;
for K11= 1:1:N_tx3
for M11 = 1:1:N_tx3
if K11 ~= i111 && M11 ~= i111
v_rf111(K11,J11) =
v_rf111(M11,J11) =
v_rf111(M11,J11);
temp11 =
temp11 + (conj(v_rf111(K11,J11)) * B11(K11,M11) *
v_rf111(M11,J11));
temp211 =
temp211+ (conj(v_rf111(K11,J11)) * D11(K11,M11) *
v_rf111(M11,J11));
end
end
temporary111(i111,J11) =
temp11;

```

```

        temporary211(ii11,J11)      =
temp211;
        si_ijB11(ii11,J11)      =
B11(ii11,ii11) + 2*real(temporary111(ii11,J11));
        si_ijD11(ii11,J11)      =
D11(ii11,ii11) + 2*real(temporary211(ii11,J11));
        temp311      = 0;
        temp411      = 0;
        for L11 = 1:N_rf
        if L11~= ii11
            v_rf211(L11,J11)      =
v_rf11(L11,J11);
            temp311              =
temp311 + (B211(ii11,L11) * v_rf211(L11,J11));
            temp411              =
temp411 + (D211(ii11,L11) * v_rf211(L11,J11));
        end
        end
        n_ijB11(ii11,J11)      =
temp311;
        n_ijD11(ii11,J11)      =
temp411;
        c_ij11(ii11,J11)      =
((1+si_ijD11(ii11,J11))*n_ijB11(ii11,J11)) -
(si_ijB11(ii11,J11) * n_ijD11(ii11,J11));
        z_ij11(ii11,J11)      =
imag((2*n_ijB11(ii11,J11)) * n_ijD11(ii11,J11));
        if real(c_ij11(ii11,J11)) >=
0
            psi_ij11(ii11,J11)  =
asin(imag(c_ij11(ii11,J11))/abs(c_ij11(ii11,J11)))
);
        elseif
real(c_ij11(ii11,J11)) < 0
            psi_ij11(ii11,J11)  = pi -
(asin(imag(c_ij11(ii11,J11))/abs(c_ij11(ii11,J11)))) );
        end

```

```

teta_ij111(iill,J11)      =
((( -1)*psi_ij11(iill,J11)) +
asin(z_ij11(iill,J11)/abs(c_ij11(iill,J11)))) ;
teta_ij211(iill,J11)      =
(pi + (( -1)*psi_ij11(iill,J11)) -
asin(z_ij11(iill,J11)/abs(c_ij11(iill,J11)))) ;
vrf_ij111(iill,J11)      =
exp(-li*angle(teta_ij111(iill,J11))) ;
vrf_ij211(iill,J11)      =
exp(-li*angle(teta_ij211(iill,J11))) ;
f_vrf111(iill,J11)      =
(mmm * trace(inv(A11))) - (mmm * (
si_ijB11(iill,J11) +
2*real(conj(vrf_ij111(iill,J11)) *
n_ijB11(iill,J11)))/(1 + si_ijD11(iill,J11) +
2*real(conj(vrf_ij111(iill,J11))*n_ijD11(iill,J11)))) ;
f_vrf211(iill,J11)      =
(mmm * trace(inv(A11))) - (mmm * (
si_ijB11(iill,J11) +
2*real(conj(vrf_ij211(iill,J11)) *
n_ijB11(iill,J11)))/(1 + si_ijD11(iill,J11) +
2*real(conj(vrf_ij211(iill,J11))*n_ijD11(iill,J11)))) ;
argmin211(iill,J11)      =
argmin11(iill,J11);
argmin11(iill,J11)      =
min(angle(f_vrf111(iill,J11)),angle(f_vrf211(iill,J11)));
if argmin11(iill,J11) ==
f_vrf111(iill,J11) % INI MENCARI TETA OPTIMUM
teta_opt1(iill,J11) =
angle(f_vrf111(iill,J11));
elseif argmin11(iill,J11) ==
f_vrf111(iill,J11)
teta_opt11(iill,J11) =
angle(f_vrf211(iill,J11));
end

```

```

vrf_opt11(i11,J11)      =
exp(-li*(teta_opt11(i11,J11))); %INI MENCARI
VRF_OPT -- STEP 8
vrf_opt11(i11,J11);      v_rf11(i11,J11) =
end
end
selisih11 = abs(argmin211(i11,J11)
- argmin11(i11,J11));
if selisih11 <= 0.3
cnt11 = cnt11 + 1;
break
end

if isnan(A11)
variancekanal11 = 1;
h_km11 =
sqrt(variancekanal11/2)*(randn([mmm],[k])+((1i)*
randn([mmm],[k]))); %small scale fading berdasar
Jumlah antena dan user
g_km11 = h_km11;
g_kmt11 = transpose(g_km11);
Pp11 = eye(k);
%step 2
beta_kp11 = ones([1, 1]);
v_rf11 = randi([1], N_tx3,
N_rf); %step 1
end

cnt11 = cnt11+1;

end
cnt11 = cnt11 + 1;
Pmiring11 = 0;
for k11 = 1:k
% STEP 12 MEMBUAT P
vbar_d11 = vrf_opt11'
* g_kmt11' * (g_kmt11 * vrf_opt11 * vrf_opt11' *
g_kmt11')^-1;

```

```

Qbar11 = vbar_d11'
* vrf_opt11' * vrf_opt11 * vbar_d11;
M111 = vrf_opt11'
* g_kmt11' * g_kmt11 * vrf_opt11; %UNTUK
MENGHITUNG EIGENVALUE VRF*KANAL
lambda11 = svd(M111);
qkk11 =
Qbar11(k211,k211);
for k311 = 1:size(M111,1)
PK111(k311) =
beta_kp11/lambda11(k311) - qkk11 * variance;
if PK111(k311) >= 0 &&
PK111(k311) <= 10
PK211 = PK111(k311);
elseif PK111(k311) <= 0
PK211 = 0;
end
end
Pmiring11 = Pmiring11
+ PK211;
pk11 = 1/qkk11 *
PK211;
Pp11(k211,k211) = pk11;
PPP11 = beta_kp11
* log2(1+ (pk11/variance));
Rk11(k211) = log2(1+
(sqrt(pk11)/variance));
if Pmiring11 == 0
Pmiring11 = 1;
end
end
if trace(Qbar11*Pp11) <= P &&
(log10(Pmiring11)*10) >= ((log10(P)*10)-0.5)
%((log10(1/variance)*10)-7) %&& trace(Pp) <= k %
&&
cnt211 = cnt211+1;
break
end
cnt211 = cnt211+1;
end

```

```

        VD11          = vbar_d11 *
(Pp11)^(1/2);
        sum111(SNRsize,n)    = sum(Rk11);
        SE_IRF181      = real(sum111);

% % % % % % % % % % % % % % % % % % % % % % % % % % % %
% % % % % % % % % % % % % % % % % % % % % % % % % % % %
% % % % % % % % % % % % % % % % % % % % % % % % % % % %
% % % % % % % % % % % % % % % % % % % % % % % % % % % %

jumlah_signal11 = 1000;
for stream11 = 1:1:jumlah_signal11
    jumlah_data11      = Ns;
    genbpsk11(:,stream11)      =
rand(jumlah_data11, 1)>0.5;
    sigbpsk11(:,stream11)      =
2*genbpsk11(:,stream11) -1;
    y11(:,stream11)           = q_kmt11 *
vrf_opt11 * VD11 * sigbpsk11(:,stream11);
    detektor11              = real(y11)>0;
    for sinyal211= 1:Ns
        if detektor11(sinyal211,stream11)
==1
            sinyal_rx11(sinyal211, stream11)
= 1;
            else sinyal_rx11(sinyal211,stream11)
= -1;
        end
    end
end
nErr11(n,SNRsize) = size(find([detektor11-
genbpsk11]),1);
nErr11(nErr11==0) = 1;

end
end

simBER      = nErr/(jumlah_signal*Ns);
simBER32 = nErr11/(jumlah_signal11*Ns);
simBER81 = nErr11/(jumlah_signal11*Ns);

figure(1)

```

```

plot(SNR_dB, mean(SE_IRF132,2), 'g.-'); hold on;
plot(SNR_dB, mean(SE_IRF1,2), 'b.-'); hold on;
plot(SNR_dB, mean(SE_IRF181,2), 'r.-'); hold on;
legend('Tx32','Tx64','Tx81');
xlabel('SNR');
ylabel('Spectral Efficiency');
title('Spectral Efficiency vs SNR kanal IRF dengan beda TX');

figure(2)
semilogy(SNR_dB,mean(simBER32,1), 'gx-'); hold on;
semilogy(SNR_dB,mean(simBER,1), 'bx-'); hold on;
semilogy(SNR_dB,mean(simBER81,1), 'rx-'); hold on;
axis([-10 30 10^-5 0.5])
grid on
legend('Tx32','Tx64','Tx81');
xlabel('Eb/No, dB');
ylabel('Bit Error Rate');
title('Bit error probability curve for BPSK kanal IRF dengan beda Tx');

```

```

%%%%%%%%%%%%%
% MATLAB SCRIPT PERBANDINGAN BEDA JUMLAH
PEMANCAR (TX) URLOS
%%%%%%%%%%%%%

clear all;
close all;
clc;

m = 64; k = 4; %JUMLAH ANTENA
mm= 32;
mmm=64;
P = 1; %Daya dalam Watt
s = 1; %menurut analisa, WAJIB
[Jml_Ns == Jml_m];
k_user = k;
Ns = s*k_user;
N_tx = m;
N_tx2 = mm;
N_tx3 = mmm;
N_rf = Ns; %untuk syarat Hybrid
Beamforming

SNR_dB = -2:4:30; %range SNR in dB
SNR_lin = 10.^ (SNR_dB/10); % range SNR in linear
power
N = 9;

for SNRsiz = 1 : length(SNR_dB)
    SNR = SNR_lin(SNRsiz);
    variance = P/SNR;
    for n = 1:N
        g_km = [];
        thet = 6 + (0.5 - (-6).*rand(1,1));
        %pembangkitan theta dari 6 sampai 12
        g = randi([0 1],1,1)>=0.5;
        %pembangkitan biner 0 1
        g2 = 2*g-1; %pembangkitan bpsk
        thett = (g2.*thet);

```

```

beta_k = 1;

psi = -pi + (pi - (-pi).*randn(k,1)); %pembangkitan psi dari -pi sampai pi
it = randi([0 1],k,1)>=0.5;
itb = (it*2)-1;
psii = (itb.*psi);

for kurlos = 1:k
    for murlos = 1:m
        theta_k(murlos,kurlos) = thett +
(5*(kurlos-1)); %selisih 0.5 derajat antar antena
    end
    ekurung(murlos,kurlos) = ((1*exp((-li)* (murlos-
1)*pi*sind(theta_k(murlos,kurlos))))));
    end
ekurungt =
transpose(ekurung);
g_km2(:,kurlos) = (sqrt(beta_k) .* exp(li*psii(kurlos))) * ekurungt(kurlos,:);
end
g_kmt = transpose(g_km2);

Pp = eye(k); %step 2
beta_kp = ones([1, 1]);

v_rf = randi([1], N_tx, N_rf); %step 1
v_rf1 = randi([1], N_tx, N_rf);
v_rf2 = randi([1], N_tx, N_rf);
vrf_opt = randi([1], N_tx, N_rf);
argmin = randi([1], N_tx, N_rf)*5;
selisih = 1;
temp_topt = randi([1], N_tx, N_rf)*20;
teta_opt = ones(N_tx, N_rf);
teta_opt2 = ones(N_tx, N_rf);

```

```

cnt2 = 0;
while 1
cnt = 0;
while 1
for J = 1:1:N_rf%step 1
Hbar = Pp^(-1/2) * g_kmt;
v_rfj = v_rf;
v_rfj(:,J) = [];
A = Pp^(-1/2) * g_kmt *
v_rfj * v_rfj' * g_kmt' * Pp^(-1/2);
A2 = inv(A) * inv(A);
A1 = inv(A);
B = Hbar' * A2 * Hbar;
D = Hbar' * A1 * Hbar;
B2 = Hbar' * A2 * Hbar;
D2 = Hbar' * A1 * Hbar;
for ii = 1:1:N_tx
temp = 0;
temp2 = 0;
for K = 1:1:N_tx
for M = 1:1:N_tx
if K ~= ii && M ~= ii
v_rf1(K,J) = v_rf(K,J);
v_rf1(M,J) = v_rf(M,J);
temp = temp +
(conj(v_rf1(K,J)) * B(K,M) * v_rf1(M,J));
temp2 = temp2+
(conj(v_rf1(K,J)) * D(K,M) * v_rf1(M,J));
end
end
temporary1(ii,J) = temp;
temporary2(ii,J) = temp2;
si_ijB(ii,J) = B(ii,ii) +
2*real(temporary1(ii,J));
si_ijD(ii,J) = D(ii,ii) +
2*real(temporary2(ii,J));
temp3 = 0;
temp4 = 0;
for L = 1:N_rf

```

```

        if L~= ii
            v_rf2(L,J)           =
v_rf(L,J);
                           temp3           = temp3
+ (B2(ii,L) * v_rf2(L,J));
                           temp4           = temp4
+ (D2(ii,L) * v_rf2(L,J));
        end
        end
        n_ijB(ii,J)           = temp3;
        n_ijD(ii,J)           = temp4;
        c_ij(ii,J)             =
((1+si_ijD(ii,J))*n_ijB(ii,J)) - (si_ijB(ii,J) *
n_ijD(ii,J));
        z_ij(ii,J)             =
imag((2*n_ijB(ii,J)) * n_ijD(ii,J));
        if real(c_ij(ii,J)) >= 0
            psi_ij(ii,J)   =
asin(imag(c_ij(ii,J))/abs(c_ij(ii,J)));
        elseif real(c_ij(ii,J)) < 0
            psi_ij(ii,J)   = pi -
(asin(imag(c_ij(ii,J))/abs(c_ij(ii,J)))); 
        end
        teta_ij1(ii,J)         = (((-
1)*psi_ij(ii,J)) +
asin(z_ij(ii,J)/abs(c_ij(ii,J)))); 
        teta_ij2(ii,J)         = (pi +
((-1)*psi_ij(ii,J)) -
asin(z_ij(ii,J)/abs(c_ij(ii,J)))); 
        vrf_ij1(ii,J)          = exp(-
li*angle(teta_ij1(ii,J)));
        vrf_ij2(ii,J)          = exp(-
li*angle(teta_ij2(ii,J)));
        f_vrf1(ii,J)           = (m *
trace(inv(A))) - (m * ( (si_ijB(ii,J) +
2*real(conj(vrf_ij1(ii,J)) * n_ijB(ii,J)))/(1 +
si_ijD(ii,J) +
2*real(conj(vrf_ij1(ii,J)) * n_ijD(ii,J))))); 
        f_vrf2(ii,J)           = (m *
trace(inv(A))) - (m * ( (si_ijB(ii,J) +

```

```

2*real(conj(vrf_ij2(ii,J)) * n_ijB(ii,J)))/(1 +
si_ijD(ii,J) +
2*real(conj(vrf_ij2(ii,J))*n_ijD(ii,J)))) ;
argmin2(ii,J) = argmin(ii,J);
argmin(ii,J) = min(angle(f_vrf1(ii,J)),angle(f_vrf2(ii,J)));
if argmin(ii,J) ==
f_vrf1(ii,J) %% INI MENCARI TETA OPTIMUM
teta_opt(ii,J) =
angle(f_vrf1(ii,J));
elseif argmin(ii,J) ==
f_vrf1(ii,J)
teta_opt(ii,J) =
angle(f_vrf2(ii,J));
end
vrf_opt(ii,J) = exp(-
li*(teta_opt(ii,J))); %INI MENCARI VRF_OPT --
STEP 8
v_rf(ii,J) = vrf_opt(ii,J);
end
end
selisih = abs(argmin2(ii,J) -
argmin(ii,J));
if selisih <= 0.3
cnt = cnt + 1;
break
end

if isnan(A)
variancekanal = 1;
h_km =
sqrt(variancekanal/2)*(randn([m],[k])+(1i)*randn([m],[k])); %small scale fading berdasar
Jumlah antena dan user
g_km = h_km;
g_kmt = transpose(g_km);
Pp = eye(k);
%step 2
beta_kp = ones([1, 1]);

```

```

v_rf          = randi([1], N_tx,
N_rf); %step 1
end

cnt = cnt+1;

end
cnt = cnt + 1;
Pmiring = 0;
for k2 = 1:k
% STEP 12 MEMBUAT P
    vbar_d           = vrf_opt' *
g_kmt' * (g_kmt * vrf_opt * vrf_opt' * g_kmt') ^-
1;
    Qbar             = vbar_d' *
vrf_opt' * vrf_opt * vbar_d;
    M1               = vrf_opt' *
g_kmt' * g_kmt * vrf_opt; %UNTUK MENGHITUNG
EIGENVALUE VRF*KANAL
    lambda           = svd(M1);
    qkk              = Qbar(k2,k2);
    for k3 = 1:1:size(M1,1)
        PK1(k3) = beta_kp/lambda(k3)
- qkk * variance;
        if PK1(k3) >= 0 && PK1(k3)
<= 10
            PK2 = PK1(k3);
        elseif PK1(k3) <= 0
            PK2 = 0;
        end
    end
    Pmiring          = Pmiring +
PK2;
    pk               = 1/qkk * PK2;
    Pp(k2,k2)        = pk;
    PPP              = beta_kp *
log2(1+ (pk/variance));
    Rk(k2)           = log2(1+
(sqrt(pk)/variance));

```

```

        if Pmirring == 0
            Pmirring = 1;
        end
    end
    if trace(Qbar*Pp) <= P &&
(log10(Pmirring)*10) >= ((log10(P)*10)-0.5)
%((log10(1/variance)*10)-7) %&& trace(Pp) <= k %
&&
        cnt2 = cnt2+1;
        break
    end
    cnt2 = cnt2+1;
end
VD = vbar_d * (Pp)^(1/2);
sum1(SNRsize,n) = sum(Rk);
SE_IRF1 = real(sum1);
%%%%%%%%%%%%%
%%%%%%%%%%%%%
%%%%%%%%%%%%%
%%%%%%%%%%%%%
jumlah_signal = 1000;
for stream = 1:1:jumlah_signal
    jumlah_data = Ns;
    genbpsk(:,stream) =
rand(jumlah_data, 1)>0.5;
    sigbpsk(:,stream) =
2*genbpsk(:,stream) -1;

    y(:,stream) = g_kmt *
vrf_opt * VD * sigbpsk(:,stream);
    detektor =
real(y)>0;
    for sinyal2= 1:Ns
        if detektor(sinyal2,stream) ==1
            sinyal_rx(sinyal2, stream) = 1;
        else sinyal_rx(sinyal2,stream) = -1;
        end
    end
end

```

```

nErr(n,SNRsize) = size(find([detektor-
genbpsk]),1);
nErr(nErr==0) = 1;
end

for n2 = 1:N
g_km1 = [];
thet1 = 6 + (0.5 - (-6).*rand(1,1));
%pembangkitan theta dari 6 sampai 12 derajat
g1 = randi([0 1],1,1)>=0.5;
%pembangkitan biner 0 1
g21 = 2*g1-1; %pembangkitan bpsk
thett1 = (g21.*thet1);
beta_k1 = 1;
psi1 = -pi + (pi - (-pi).*randn(k,1)); %pembangkitan psi dari -pi sampai pi
it1 = randi([0 1],k,1)>=0.5;
itb1 = (it1*2)-1;
psii1 = (itb1.*psi1);

for kurlos1 = 1:1:k
for murlos1 = 1:1:mm
theta_k1(murlos1,kurlos1) = thett1 +
(5*(kurlos1-1)); %selisih 0.5 derajat antar antena
ekurung1(murlos1,kurlos1) = ((1*exp((-1i)* (murlos1-
1)*pi*sind(theta_k1(murlos1,kurlos1))))));
end
ekurungt1 =
transpose(ekurung1);
g_km21(:,kurlos1) =
(sqrt(beta_k1) .* exp(1i*psii1(kurlos1))) * ekurungt1(kurlos1,:);
end
g_kmt1 = transpose(g_km21);

Pp1 = eye(k); %step 2

```

```

beta_kp1          = ones([1, 1]);

v_rf1             = randi([1], N_tx2, N_rf);
%step 1
v_rf11            = randi([1], N_tx2, N_rf);
v_rf21            = randi([1], N_tx2, N_rf);
vrf_opt1          = randi([1], N_tx2, N_rf);
argmin1           = randi([1], N_tx2, N_rf)*5;
selisih1          = 1;
temp_topt1        = randi([1], N_tx2, N_rf)*20;
teta_opt1         = ones(N_tx2, N_rf);
teta_opt21        = ones(N_tx2, N_rf);
cnt21 = 0;
while 1
cnt1 = 0;
while 1
for J1 = 1:1:N_rf%step 1
Hbar1              = Pp1^(-1/2) * g_kmt1;
v_rfj1             = v_rf1;
v_rfj1(:,J1)      = [];
A1                 = Pp1^(-1/2) * g_kmt1
* v_rfj1 * v_rfj1' * g_kmt1' * Pp1^(-1/2);
A21                = inv(A1) * inv(A1);
A11                = inv(A1);
B1                 = Hbar1' * A21 *
Hbar1;
D1                 = Hbar1' * A11 *
Hbar1;
B21                = Hbar1' * A21 *
Hbar1;
D21                = Hbar1' * A11 *
Hbar1;
for ii1 = 1:1:N_tx2
temp1              = 0;
temp21             = 0;
for K1= 1:1:N_tx2
for M1 = 1:1:N_tx2
if K1 ~= ii1 && M1 ~=
ii1

```

```

v_rf11(K1,J1) =
v_rf1(K1,J1);
v_rf1(M1,J1);
+ (conj(v_rf11(K1,J1)) * B1(K1,M1) *
v_rf11(M1,J1));
temp1 = temp1
temp21 = temp21
temp21+ (conj(v_rf11(K1,J1)) * D1(K1,M1) *
v_rf11(M1,J1));
end
end
temporary11(i11,J1) =
temp1;
temporary21(i11,J1) =
temp21;
si_ijB1(i11,J1) =
B1(i11,i11) + 2*real(temporary11(i11,J1));
si_ijD1(i11,J1) =
D1(i11,i11) + 2*real(temporary21(i11,J1));
temp31 = 0;
temp41 = 0;
for L1 = 1:N_rf
if L1~= i11
v_rf21(L1,J1) =
v_rf1(L1,J1);
temp31 =
temp31 + (B21(i11,L1) * v_rf21(L1,J1));
temp41 =
temp41 + (D21(i11,L1) * v_rf21(L1,J1));
end
end
n_ijB1(i11,J1) =
temp31;
n_ijD1(i11,J1) =
temp41;
c_ij1(i11,J1) =
((1+si_ijD1(i11,J1))*n_ijB1(i11,J1)) -
(si_ijB1(i11,J1) * n_ijD1(i11,J1));

```

```

z_ij1(iil,J1)      =
imag((2*n_ijB1(iil,J1)) * n_ijD1(iil,J1));
    if real(c_ij1(iil,J1)) >= 0
        psi_ij1(iil,J1) =
asin(imag(c_ij1(iil,J1))/abs(c_ij1(iil,J1)));
    elseif real(c_ij1(iil,J1)) <
0
        psi_ij1(iil,J1) = pi -
(asin(imag(c_ij1(iil,J1))/abs(c_ij1(iil,J1)))) ;
    end
    teta_ij11(iil,J1) = (((-
1)*psi_ij1(iil,J1)) +
asin(z_ij1(iil,J1)/abs(c_ij1(iil,J1))) ;
    teta_ij21(iil,J1) = (pi +
((-1)*psi_ij1(iil,J1)) -
asin(z_ij1(iil,J1)/abs(c_ij1(iil,J1))) ;
    vrf_ij11(iil,J1) = exp(-
li*angle(teta_ij11(iil,J1)));
    vrf_ij21(iil,J1) = exp(-
li*angle(teta_ij21(iil,J1)));
    f_vrf11(iil,J1) = (mm *
trace(inv(A1))) - (mm * ( (si_ijB1(iil,J1) +
2*real(conj(vrf_ij11(iil,J1)) *
n_ijB1(iil,J1)))/(1 + si_ijD1(iil,J1) +
2*real(conj(vrf_ij11(iil,J1))*n_ijD1(iil,J1)))) ;
    f_vrf21(iil,J1) = (mm *
trace(inv(A1))) - (mm * ( (si_ijB1(iil,J1) +
2*real(conj(vrf_ij21(iil,J1)) *
n_ijB1(iil,J1)))/(1 + si_ijD1(iil,J1) +
2*real(conj(vrf_ij21(iil,J1))*n_ijD1(iil,J1)))) ;
    argmin21(iil,J1) =
argmin1(iil,J1);
    argmin1(iil,J1) =
min(angle(f_vrf11(iil,J1)),angle(f_vrf21(iil,J1)))
);
    if argmin1(iil,J1) ==
f_vrf11(iil,J1) %%INI MENCARI TETA OPTIMUM

```

```

        teta_opt1(iil,J1) =
angle(f_vrf11(iil,J1));
        elseif argmin1(iil,J1) ==
f_vrf11(iil,J1)
        teta_opt1(iil,J1) =
angle(f_vrf21(iil,J1));
        end
        vrf_opt1(iil,J1)      = exp(-
li*(teta_opt1(iil,J1))); %INI MENCARI VRF_OPT --
STEP 8
        v_rf1(iil,J1) =
vrf_opt1(iil,J1);
        end
        end
        selisih1 = abs(argmin21(iil,J1) -
argmin1(iil,J1));
        if selisih1 <= 0.3
        cnt1 = cnt1 + 1;
        break
        end

        if isnan(A1)
variancekanall = 1;
        h_kml =
sqrt(variancekanall/2)*(randn([mm], [k]) + ((li)*ra
ndn([mm], [k]))); %small scale fading berdasar
Jumlah antena dan user
        g_kml = h_kml;
        g_kmt1 = transpose(g_kml);
Pp1 = eye(k);

%step 2
        beta_kp1      = ones([1, 1]);
        v_rf1      = randi([1], N_tx2,
N_rf); %step 1
        end

        cnt1 = cnt1+1;

        end
        cnt1 = cnt1 + 1;

```

```

Pmirroring1 = 0;
for k21 = 1:k
    % STEP 12 MEMBUAT P
        vbar_d1 = vrf_opt1' *
g_kmt1' * (g_kmt1 * vrf_opt1 * vrf_opt1'* *
g_kmt1')^-1;
        Qbar1 = vbar_d1' *
vrf_opt1' * vrf_opt1 * vbar_d1;
        M11 = vrf_opt1' *
g_kmt1' * g_kmt1 * vrf_opt1; %UNTUK MENGHITUNG
EIGENVALUE VRF*KANAL
        lambda1 = svd(M11);
        qkk1 =
Qbar1(k21,k21);
        for k31 = 1:size(M11,1)
            PK11(k31) =
beta_kp1/lambda1(k31) - qkk1 * variance;
            if PK11(k31) >= 0 &&
PK11(k31) <= 10
                PK21 = PK11(k31);
                elseif PK11(k31) <= 0
                    PK21 = 0;
                end
            end
            Pmirroring1 = Pmirroring1 +
PK21;
            pk1 = 1/qkk1 *
PK21;
            Pp1(k21,k21) = pk1;
            PPP1 = beta_kp1 *
log2(1+ (pk1/variance));
            Rk1(k21) = log2(1+
(sqrt(pk1)/variance));
            if Pmirroring1 == 0
                Pmirroring1 = 1;
            end
        end
        if trace(Qbar1*Pp1) <= P &&
(log10(Pmirroring1)*10) >= ((log10(P)*10)-0.5)

```

```

% ((log10(1/variance)*10)-7) %&& trace(Pp) <= k %
&&
    cnt21 = cnt21+1;
    break
end
cnt21 = cnt21+1;
end
VD1 = vbar_d1 * (Pp1)^(1/2);
sum11(SNRsize,n) = sum(Rk1);
SE_IRF132 = real(sum11);
%%%%%%%%%%%%%
%%%%%%%%%%%%%
%%%%%%%%%%%%%
%%%%%%%%%%%%%
jumlah_signal1 = 1000;
for stream1 = 1:1:jumlah_signal1
    jumlah_data1 = Ns;
    genbpsk1(:,stream1) =
rand(jumlah_data1, 1)>0.5;
    sigbpsk1(:,stream1) =
2*genbpsk1(:,stream1) -1;
    y1(:,stream1) = g_kmt1 *
vrf_opt1 * VD1 * sigbpsk1(:,stream1);
    detektor1 = real(y1)>0;
    for sinyal21= 1:Ns
        if detektor1(sinyal21,stream1) ==1
            sinyal_rx1(sinyal21, stream1) =
1;
        else sinyal_rx1(sinyal21,stream1) =
-1;
        end
    end
end
nErr1(n,SNRsize) = size(find([detektor1-
genbpsk1]),1);
nErr1(nErr1==0) = 1;
end

for n11 = 1:N
g_kml1 = [];

```

```

thet11      = 6 + (0.5 - (-6).*rand(1,1));
%pembangkitan theta dari 6 sampai 12 derajat
g11         = randi([0 1],1,1)>=0.5;
%pembangkitan biner 0 1
g211        = 2*g11-1; %pembangkitan bpsk
thett11     = (g211.*thet11);
beta_k11    = 1;
psi11       = -pi + (pi - (-pi).*randn(k,1)); %pembangkitan psi dari -pi sampai pi
it11        = randi([0 1],k,1)>=0.5;
itb11       = (it11*2)-1;
psi11        = (itb11.*psi11);

for kurlos11      = 1:1:k
for murlos11      = 1:1:mmm
theta_k11(murlos11,kurlos11) = thett11
+ (5*(kurlos11-1)); %selisih 0.5 derajat antar antena
ekurung11(murlos11,kurlos11) =
((1*exp((-li)*(murlos11-
1)*pi*sind(theta_k11(murlos11,kurlos11))))));
end
ekurungt11           =
transpose(ekurung11);
g_km211(:,kurlos11)      =
(sqrt(beta_k11) .* exp(li*psi11(kurlos11))) * ekurungt11(kurlos11,:);
end
g_kmt11      = transpose(g_km211);

Pp11          = eye(k);           %step 2
beta_kp11     = ones([1, 1]);

v_rf11        = randi([1], N_tx3, N_rf);
%step 1
v_rf111      = randi([1], N_tx3, N_rf);
v_rf211      = randi([1], N_tx3, N_rf);
vrf_opt11    = randi([1], N_tx3, N_rf);

```

```

argmin11      = randi([1], N_tx3, N_rf)*5;
selisih11    = 1;
temp_topt11   = randi([1], N_tx3, N_rf)*20;
teta_opt11    = ones(N_tx3, N_rf);
teta_opt211   = ones(N_tx3, N_rf);
cnt211 = 0;
while 1
cnt11 = 0;
while 1
for J11 = 1:1:N_rf%step 1
Hbar11        = Pp11^(-1/2) *
g_kmt11;
v_rfj11       = v_rf11;
v_rfj11(:,J11) = [];
A11           = Pp11^(-1/2) *
g_kmt11' * Pp11^(-1/2);
A211          = inv(A11) *
inv(A11);
A111          = inv(A11);
B11           = Hbar11' * A211 *
Hbar11;
D11           = Hbar11' * A111 *
Hbar11;
B211          = Hbar11' * A211 *
Hbar11;
D211          = Hbar11' * A111 *
Hbar11;
for i11 = 1:1:N_tx3
temp11     = 0;
temp211    = 0;
for K11= 1:1:N_tx3
for M11 = 1:1:N_tx3
if K11 ~= i11 && M11 ~= i11
v_rf111(K11,J11) =
v_rf111(K11,J11);
v_rf111(M11,J11) =
v_rf111(M11,J11);

```

```

temp11 = temp11 + (conj(v_rf111(K11,J11)) * B11(K11,M11)
* v_rf111(M11,J11));
temp211 = temp211 + (conj(v_rf111(K11,J11)) * D11(K11,M11)
* v_rf111(M11,J11));
end
end
temporary111(i111,J11) = temp11;
temporary211(i111,J11) = temp211;
si_ijB11(i111,J11) = B11(i111,i111) + 2*real(temporary111(i111,J11));
si_ijD11(i111,J11) = D11(i111,i111) + 2*real(temporary211(i111,J11));
temp311 = 0;
temp411 = 0;
for L11 = 1:N_rf
if L11~= i111
v_rf211(L11,J11) =
v_rf111(L11,J11);
temp311 = temp311 + (B211(i111,L11) * v_rf211(L11,J11));
temp411 = temp411 + (D211(i111,L11) * v_rf211(L11,J11));
end
end
n_ijB11(i111,J11) = temp311;
n_ijD11(i111,J11) = temp411;
c_ij11(i111,J11) = ((1+si_ijD11(i111,J11))*n_ijB11(i111,J11)) -
(si_ijB11(i111,J11) * n_ijD11(i111,J11));
z_ij11(i111,J11) = imag((2*n_ijB11(i111,J11)) * n_ijD11(i111,J11));
if real(c_ij11(i111,J11)) >= 0

```

```

psi_ij11(i111,J11)   =
asin(imag(c_ij11(i111,J11))/abs(c_ij11(i111,J11))
));
elseif
real(c_ij11(i111,J11)) < 0
psi_ij11(i111,J11)   = pi
-
(asin(imag(c_ij11(i111,J11))/abs(c_ij11(i111,J11
)))));
end
teta_ij111(i111,J11)   =
((( -1)*psi_ij11(i111,J11)) +
asin(z_ij11(i111,J11)/abs(c_ij11(i111,J11)))) ;
teta_ij211(i111,J11)   =
(pi + (( -1)*psi_ij11(i111,J11)) -
asin(z_ij11(i111,J11)/abs(c_ij11(i111,J11)))) ;
vrf_ij111(i111,J11)   =
exp(-li*angle(teta_ij111(i111,J11)));
vrf_ij211(i111,J11)   =
exp(-li*angle(teta_ij211(i111,J11)));
f_vrf111(i111,J11)   =
(mmm * trace(inv(A11))) - (mmm * (
si_ijB11(i111,J11) +
2*real(conj(vrf_ij111(i111,J11)) *
n_ijB11(i111,J11)))/(1 + si_ijD11(i111,J11) +
2*real(conj(vrf_ij111(i111,J11))*n_ijD11(i111,J11))));;
f_vrf211(i111,J11)   =
(mmm * trace(inv(A11))) - (mmm * (
si_ijB11(i111,J11) +
2*real(conj(vrf_ij211(i111,J11)) *
n_ijB11(i111,J11)))/(1 + si_ijD11(i111,J11) +
2*real(conj(vrf_ij211(i111,J11))*n_ijD11(i111,J11))));;
argmin211(i111,J11)   =
argmin11(i111,J11);
argmin11(i111,J11)   =
min(angle(f_vrf111(i111,J11)),angle(f_vrf211(i111,J11)));

```

```

        if argmin11(i11,J11) ==
f_vrf111(i11,J11) %%INI MENCARI TETA OPTIMUM
                           teta_opt1(i11,J11) =
angle(f_vrf111(i11,J11));
        elseif argmin11(i11,J11) ~=
f_vrf111(i11,J11)
                           teta_opt11(i11,J11) =
angle(f_vrf211(i11,J11));
        end
                           vrf_opt11(i11,J11) =
exp(-li*(teta_opt11(i11,J11))); %INI MENCARI
VRF_OPT -- STEP 8
                           v_rf11(i11,J11) =
vrf_opt11(i11,J11);
        end
        end
        selisih11 = abs(argmin211(i11,J11)
- argmin11(i11,J11));
        if selisih11 <= 0.3
            cnt11 = cnt11 + 1;
            break
        end

        if isnan(A11)
            variancekanal11 = 1;
            h_km11 =
sqrt(variancekanal11/2)*(randn([mmm],[k])+(li)*
randn([mmm],[k])); %small scale fading berdasar
Jumlah antena dan user
            g_km11 = h_km11;
            g_kmt11 = transpose(g_km11);
            Pp11 = eye(k);
%step 2
            beta_kp11 = ones([1, 1]);
            v_rf11 = randi([1], N_tx3,
N_rf); %step 1
        end

        cnt11 = cnt11+1;

```

```

    end
    cnt11 = cnt11 + 1;
    Pmiring11 = 0;
    for k211 = 1:k
        % STEP 12 MEMBUAT P
            vbar_d11           = vrf_opt11'
* g_kmt11' * (g_kmt11 * vrf_opt11 * vrf_opt11' *
g_kmt11')^-1;
            Qbar11           = vbar_d11'
* vrf_opt11' * vrf_opt11 * vbar_d11;
            M111              = vrf_opt11'
* g_kmt11' * g_kmt11 * vrf_opt11; %UNTUK
MENGHITUNG EIGENVALUE VRF*KANAL
            lambda11          = svd(M111);
            qkk11              =
Qbar11(k211,k211);
            for k311 = 1:size(M111,1)
                PK111(k311) =
beta_kp11/lambda11(k311) - qkk11 * variance;
                if PK111(k311) >= 0 &&
PK111(k311) <= 10
                    PK211 = PK111(k311);
                    elseif PK111(k311) <= 0
                        PK211 = 0;
                    end
                end
            Pmiring11           = Pmiring11
+ PK211;
            pk11               = 1/qkk11 *
PK211;
            Pp11(k211,k211)     = pk11;
            PPP11              = beta_kp11
* log2(1+ (pk11/variance));
            Rk11(k211)          = log2(1+
(sqrt(pk11)/variance));
            if Pmiring11 == 0
                Pmiring11 = 1;
            end
        end
    end

```

```

        if trace(Qbar11*Pp11) <= P &&
(log10(Pmirroring11)*10) >= ((log10(P)*10)-0.5)
%((log10(1/variance)*10)-7) %&& trace(Pp) <= k %
&&
        cnt211 = cnt211+1;
        break
    end
    cnt211 = cnt211+1;
end
VD11 = vbar_d11 *
(Pp11)^(1/2);
sum111(SNRsize,n) = sum(Rk11);
SE_IRF181 = real(sum111);

%%%%%%%%%%%%%
%%%%%%%%%%%%%
%%%%%%%%%%%%%
%%%%%%%%%%%%%
%%%%%%%%%%%%%
jumlah_signal11 = 1000;
for stream11 = 1:1:jumlah_signal11
    jumlah_data11 = Ns;
    genbpsk11(:,stream11) =
rand(jumlah_data11, 1)>0.5;
    sigbpsk11(:,stream11) =
2*genbpsk11(:,stream11) -1;
    y11(:,stream11) = g_kmt11 *
vrf_opt11 * VD11 * sigbpsk11(:,stream11);
    detektor11 = real(y11)>0;
    for sinyal211= 1:Ns
        if detektor11(sinyal211,stream11)
==1
            sinyal_rx11(sinyal211, stream11)
= 1;
            else sinyal_rx11(sinyal211,stream11)
= -1;
        end
    end
end
nErr11(n,SNRsize) = size(find([detektor11-
genbpsk11]),1);
nErr11(nErr11==0) = 1;

```

```

    end
end

simBERurlos      = nErr/(jumlah_signal*Ns);
simBERurlos32   = nErr1/(jumlah_signal1*Ns);
simBERurlos81   = nErr11/(jumlah_signal11*Ns);

figure(1)
plot(SNR_dB, mean(SE_URLOS32,2), 'g.-'); hold on;
plot(SNR_dB, mean(SE_URLOS,2), 'b.-'); hold on;
plot(SNR_dB, mean(SE_URLOS81,2), 'r.-'); hold on;
legend('Tx32','Tx64','Tx81');
xlabel('SNR');
ylabel('Spectral Efficiency');
title('Spectral Efficiency versus SNR kanal URLOS beda Tx');

figure(2)
semilogy(SNR_dB,mean(simBERurlos32,1), 'gx-');
hold on;
semilogy(SNR_dB,mean(simBERurlos,1), 'bx-'); hold on;
semilogy(SNR_dB,mean(simBERurlos81,1), 'rx-');
hold on;
axis([-10 30 10^-5 0.5])
grid on
legend('Tx32','Tx64','Tx81');
xlabel('Eb/No, dB');
ylabel('Bit Error Rate');
title('Bit error probability curve for BPSK modulation kanal URLOS beda Tx');

```

```

%%%%%%%%%%%%% MATLAB SCRIPT PERBANDINGAN BEDA JUMLAH USER IRF %%%%%%
%MATLAB SCRIPT PERBANDINGAN BEDA JUMLAH USER IRF
%%%%%%%%%%%%% MATLAB SCRIPT PERBANDINGAN BEDA JUMLAH USER IRF %%%%%%

clear all;
close all;
clc;

m = 64; k = 4; %JUMLAH ANTENA
kk= 2;
kkk=6;
P = 1; %Daya dalam Watt
s = 1; %menurut analisa, WAJIB
[Jml_Ns == Jml_m];
k_user = k;
Ns = s*k_user;
Ns2 = s*kk;
Ns3 = s*kkk;
N_tx = m;
N_rf = Ns; %untuk syarat Hybrid
Beamforming
N_rf2 = Ns2;
N_rf3 = Ns3;

SNR_dB = -2:4:30; %range SNR in dB
SNR_lin = 10.^ (SNR_dB/10); % range SNR in linear
power
N = 9;

for SNRsiz = 1 : length(SNR_dB)
    SNR = SNR_lin(SNRsiz);
    variance = P/SNR;
    for n = 1:N
        variancekanal = 1;
        h_km =
sqrt(variancekanal/2)*(randn([m],[k])+((1i)*randn([m],[k]))); %small scale fading berdasar
Jumlah antena dan user
        g_km = h_km;
        g_kmt = transpose(g_km);

```

```

Pp = eye(k); %step 2
beta_kp = ones([1, 1]);

v_rf = randi([1], N_tx, N_rf); %step
1
v_rf1 = randi([1], N_tx, N_rf);
v_rf2 = randi([1], N_tx, N_rf);
vrf_opt = randi([1], N_tx, N_rf);
argmin = randi([1], N_tx, N_rf)*5;
selisih = 1;
temp_topt = randi([1], N_tx, N_rf)*20;
teta_opt = ones(N_tx, N_rf);
teta_opt2 = ones(N_tx, N_rf);
cnt2 = 0;
while 1
cnt = 0;
while 1
for J = 1:1:N_rf%step 1
Hbar = Pp^(-1/2) * g_kmt;
v_rfj = v_rf;
v_rfj(:,J) = [];
A = Pp^(-1/2) * g_kmt *
v_rfj * v_rfj' * g_kmt' * Pp^(-1/2);
A2 = inv(A) * inv(A);
A1 = inv(A);
B = Hbar' * A2 * Hbar;
D = Hbar' * A1 * Hbar;
B2 = Hbar' * A2 * Hbar;
D2 = Hbar' * A1 * Hbar;
for ii = 1:1:N_tx
temp = 0;
temp2 = 0;
for K = 1:1:N_tx
for M = 1:1:N_tx
if K == ii && M == ii
v_rf1(K,J) = v_rf(K,J);
v_rf1(M,J) = v_rf(M,J);
temp = temp +
(conj(v_rf1(K,J)) * B(K,M) * v_rf1(M,J));
end
end
end

```

```

temp2          = temp2+
(conj(v_rf1(K,J)) * D(K,M) * v_rf1(M,J));
end
end
temporary1(ii,J)    = temp;
temporary2(ii,J)    = temp2;
si_ijB(ii,J)      = B(ii,ii) +
2*real(temporary1(ii,J));
si_ijD(ii,J)      = D(ii,ii) +
2*real(temporary2(ii,J));
temp3    = 0;
temp4    = 0;
for L = 1:N_rf
if L~= ii
v_rf2(L,J)      =
v_rf(L,J);
temp3          = temp3
+ (B2(ii,L) * v_rf2(L,J));
temp4          = temp4
+ (D2(ii,L) * v_rf2(L,J));
end
end
n_ijB(ii,J)      = temp3;
n_ijD(ii,J)      = temp4;
c_ij(ii,J)       =
((1+si_ijD(ii,J))*n_ijB(ii,J)) - (si_ijB(ii,J) *
n_ijD(ii,J));
z_ij(ii,J)       =
imag((2*n_ijB(ii,J)) * n_ijD(ii,J));
if real(c_ij(ii,J)) >= 0
psi_ij(ii,J)   =
asin(imag(c_ij(ii,J))/abs(c_ij(ii,J)));
elseif real(c_ij(ii,J)) < 0
psi_ij(ii,J)   = pi -
(asin(imag(c_ij(ii,J))/abs(c_ij(ii,J))))-
end
teta_ij1(ii,J)   = (((-
1)*psi_ij(ii,J)) +
asin(z_ij(ii,J)/abs(c_ij(ii,J))));


```

```

teta_ij2(ii,J)      = (pi +
((-1)*psi_ij(ii,J)) - asin(z_ij(ii,J)/abs(c_ij(ii,J)))) ;
vrf_ij1(ii,J)      = exp(-li*angle(teta_ij1(ii,J)));
vrf_ij2(ii,J)      = exp(-li*angle(teta_ij2(ii,J)));
f_vrf1(ii,J)       = (m * trace(inv(A))) - (m * (si_ijB(ii,J) +
2*real(conj(vrf_ij1(ii,J)) * n_ijB(ii,J)))/(1 + si_ijD(ii,J) +
2*real(conj(vrf_ij1(ii,J)) * n_ijD(ii,J)))); f_vrf2(ii,J)       = (m * trace(inv(A))) - (m * (si_ijB(ii,J) +
2*real(conj(vrf_ij2(ii,J)) * n_ijB(ii,J)))/(1 + si_ijD(ii,J) +
2*real(conj(vrf_ij2(ii,J)) * n_ijD(ii,J)))); argmin2(ii,J)     =
argmin(ii,J);
argmin(ii,J)        =
min(angle(f_vrf1(ii,J)),angle(f_vrf2(ii,J)));
if argmin(ii,J) ==
f_vrf1(ii,J) %%INI MENCARI TETA OPTIMUM
teta_opt(ii,J) =
angle(f_vrf1(ii,J));
elseif argmin(ii,J) ~=
f_vrf1(ii,J)
teta_opt(ii,J) =
angle(f_vrf2(ii,J));
end
vrf_opt(ii,J)      = exp(-li*(teta_opt(ii,J))); %%INI MENCARI VRF_OPT --
STEP 8
v_rf(ii,J) = vrf_opt(ii,J);
end
end
selisih = abs(argmin2(ii,J) -
argmin(ii,J));
if selisih <= 0.3
cnt = cnt + 1;

```

```

        break
    end

    if isnan(A)
        variancekanal = 1;
        h_km =
        sqrt(variancekanal/2)*(randn([m],[k])+((1i)*randn([m],[k]))); %small scale fading berdasar
        Jumlah antena dan user
        g_km = h_km;
        g_kmt = transpose(g_km);
        Pp = eye(k);

%step 2
        beta_kp = ones([1, 1]);
        v_rf = randi([1], N_tx,
N_rf); %step 1
    end

    cnt = cnt+1;

end
cnt = cnt + 1;
Pmirning = 0;
for k2 = 1:k
    % STEP 12 MEMBUAT P
    vbar_d = vrf_opt' *
g_kmt' * (g_kmt * vrf_opt * vrf_opt' * g_kmt') ^-
1;
    Qbar = vbar_d' *
vrf_opt' * vrf_opt * vbar_d;
    M1 = vrf_opt' *
g_kmt' * g_kmt * vrf_opt; %UNTUK MENGHITUNG
EIGENVALUE VRF*KANAL
    lambda = svd(M1);
    qkk = Qbar(k2,k2);
    for k3 = 1:1:size(M1,1)
        PK1(k3) = beta_kp/lambda(k3)
    - qkk * variance;

```

```

        if PK1(k3) >= 0 && PK1(k3)
<= 10
            PK2 = PK1(k3);
        elseif PK1(k3) <= 0
            PK2 = 0;
        end
    end
    Pmiring = Pmiring +
PK2;
    pk = 1/qkk * PK2;
    Pp(k2,k2) = pk;
    PPP = beta_kp *
log2(1+ (pk/variance));
    Rk(k2) = log2(1+
(sqrt(pk)/variance));
    if Pmiring == 0
        Pmiring = 1;
    end
    if trace(Qbar*Pp) <= P &&
(log10(Pmiring)*10) >= ((log10(P)*10)-0.5)
%((log10(1/variance)*10)-7) %&& trace(Pp) <= k %
&&
        cnt2 = cnt2+1;
        break
    end
    cnt2 = cnt2+1;
end
VD = vbar_d * (Pp)^(1/2);
sum1(SNRsize,n) = sum(Rk);
SE_IRF1 = real(sum1);

%%%%%%%%%%%%%
jumlah_signal = 1000;
for stream = 1:1:jumlah_signal
    jumlah_data = Ns;
    genbpsk(:,stream) =
rand(jumlah_data, 1)>0.5;

```

```

        sigbpsk(:,stream)      =
2*genbpsk(:,stream) -1;

        y(:,stream)           = g_kmt *
vrf_opt * VD * sigbpsk(:,stream);
        detektor              =
real(y)>0;
        for sinyal2= 1:Ns
            if detektor(sinyal2,stream) ==1
                sinyal_rx(sinyal2, stream) = 1;
            else sinyal_rx(sinyal2,stream) = -1;
            end
        end
    end
    nErr(n,SNRsize) = size(find([detektor-
genbpsk]),1);
    nErr(nErr==0) = 1;
end

for n2 = 1:N
variancekanall = 1;
h_km1 =
sqrt(variancekanall/2)*(randn([m],[kk])+((li)*ra
ndn([m],[kk]))); %small scale fading berdasar
Jumlah antena dan user
g_km1 = h_km1;
g_kmt1 = transpose(g_km1);
Pp1          = eye(kk);           %step 2
beta_kp1     = ones([1, 1]);

v_rf1         = randi([1], N_tx, N_rf2);
%step 1
v_rf11        = randi([1], N_tx, N_rf2);
v_rf21        = randi([1], N_tx, N_rf2);
vrf_opt1      = randi([1], N_tx, N_rf2);
argmin1       = randi([1], N_tx, N_rf2)*5;
selisih1      = 1;
temp_topt1    = randi([1], N_tx, N_rf2)*20;
teta_opt1     = ones(N_tx, N_rf2);
teta_opt21    = ones(N_tx, N_rf2);

```

```

cnt21 = 0;
while 1
cnt1 = 0;
while 1
    for J1 = 1:1:N_rf2%step 1
        Hbar1          = Pp1^(-1/2) * g_kmt1;
        v_rfj1         = v_rf1;
        v_rfj1(:,J1)   = [];
        A1             = Pp1^(-1/2) * g_kmt1
* v_rfj1 * v_rfj1' * g_kmt1' * Pp1^(-1/2);
        A21            = inv(A1) * inv(A1);
        A11            = inv(A1);
        B1              = Hbar1' * A21 *
Hbar1;
        D1              = Hbar1' * A11 *
Hbar1;
        B21            = Hbar1' * A21 *
Hbar1;
        D21            = Hbar1' * A11 *
Hbar1;
        for ii1 = 1:1:N_tx
            temp1      = 0;
            temp21     = 0;
                for K1= 1:1:N_tx
                    for M1 = 1:1:N_tx
                        if K1 ~= ii1 && M1 ~= ii1
                            v_rf11(K1,J1) =
v_rf1(K1,J1);
                            v_rf11(M1,J1) =
v_rf1(M1,J1);
                            temp1           = temp1
+ (conj(v_rf11(K1,J1)) * B1(K1,M1) *
v_rf11(M1,J1));
                            temp21           =
temp21+ (conj(v_rf11(K1,J1)) * D1(K1,M1) *
v_rf11(M1,J1));
                        end
                    end
                end

```

```

temporary11(iil,J1)      =
temp1;
temporary21(iil,J1)      =
temp21;
si_ijB1(iil,J1)          =
B1(iil,iil) + 2*real(temporary11(iil,J1));
si_ijD1(iil,J1)          =
D1(iil,iil) + 2*real(temporary21(iil,J1));
temp31 = 0;
temp41 = 0;
for L1 = 1:N_rf2
if L1~= iil
    v_rf21(L1,J1)      =
v_rf1(L1,J1);
    temp31             =
temp31 + (B21(iil,L1) * v_rf21(L1,J1));
    temp41             =
temp41 + (D21(iil,L1) * v_rf21(L1,J1));
end
end
n_ijB1(iil,J1)          =
temp31;
n_ijD1(iil,J1)          =
temp41;
c_ij1(iil,J1)           =
((1+si_ijD1(iil,J1))*n_ijB1(iil,J1)) -
(si_ijB1(iil,J1) * n_ijD1(iil,J1));
z_ij1(iil,J1)           =
imag((2*n_ijB1(iil,J1) * n_ijD1(iil,J1));
if real(c_ij1(iil,J1)) >= 0
    psi_ij1(iil,J1)   =
asin(imag(c_ij1(iil,J1))/abs(c_ij1(iil,J1)));
elseif real(c_ij1(iil,J1)) <
0
    psi_ij1(iil,J1)   = pi -
(asin(imag(c_ij1(iil,J1))/abs(c_ij1(iil,J1)))); 
end
teta_ij11(iil,J1)       = (((-
1)*psi_ij1(iil,J1)) +
asin(z_ij1(iil,J1)/abs(c_ij1(iil,J1))));
```

```

teta_ij21(iil,J1)      = (pi +
((-1)*psi_ij1(iil,J1)) -
asin(z_ij1(iil,J1)/abs(c_ij1(iil,J1)))) ;
vrf_ij11(iil,J1)      = exp(-
li*angle(teta_ij11(iil,J1)));
vrf_ij21(iil,J1)      = exp(-
li*angle(teta_ij21(iil,J1));
f_vrf11(iil,J1)       = (m *
trace(inv(A1))) - (m * (si_ijB1(iil,J1) +
2*real(conj(vrf_ij11(iil,J1)) *
n_ijB1(iil,J1)))/(1 + si_ijD1(iil,J1) +
2*real(conj(vrf_ij11(iil,J1))*n_ijD1(iil,J1)))) )
;
f_vrf21(iil,J1)       = (m *
trace(inv(A1))) - (m * (si_ijB1(iil,J1) +
2*real(conj(vrf_ij21(iil,J1)) *
n_ijB1(iil,J1)))/(1 + si_ijD1(iil,J1) +
2*real(conj(vrf_ij21(iil,J1))*n_ijD1(iil,J1)))) )
;
argmin21(iil,J1)      =
argmin1(iil,J1);
argmin1(iil,J1)      =
min(angle(f_vrf11(iil,J1)),angle(f_vrf21(iil,J1)))
);
if argmin1(iil,J1) ==
f_vrf11(iil,J1) %%INI MENCARI TETA OPTIMUM
teta_opt1(iil,J1) =
angle(f_vrf11(iil,J1));
elseif argmin1(iil,J1) ~=
f_vrf11(iil,J1)
teta_opt1(iil,J1) =
angle(f_vrf21(iil,J1));
end
vrf_opt1(iil,J1)      = exp(-
li*(teta_opt1(iil,J1))); %%INI MENCARI VRF_OPT --
STEP 8
v_rf1(iil,J1) =
vrf_opt1(iil,J1);
end
end

```

```

        selisih1 = abs(argmin21(iil,J1) -
argmin1(iil,J1));
        if selisih1 <= 0.3
            cnt1 = cnt1 + 1;
            break
        end

        if isnan(A1)
            variancekanall = 1;
            h_kml =
sqrt(variancekanall/2)*(randn([m],[kk])+((li)*ra
ndn([m],[kk]))); %small scale fading berdasar
Jumlah antena dan user
            g_kml = h_kml;
            g_kmt1 = transpose(g_kml);
            Pp1 = eye(kk);

%step 2
            beta_kp1 = ones([1, 1]);
            v_rfl = randi([1], N_tx,
N_rf2); %step 1
        end

        cnt1 = cnt1+1;

    end
    cnt1 = cnt1 + 1;
    Pmirng1 = 0;
    for k21 = 1:kk
        % STEP 12 MEMBUAT P
        vbar_d1 = vrf_opt1' *
g_kmt1' * (g_kmt1 * vrf_opt1 * vrf_opt1' *
g_kmt1')^-1;
        Qbar1 = vbar_d1' *
vrf_opt1' * vrf_opt1 * vbar_d1;
        M11 = vrf_opt1' *
g_kmt1' * g_kmt1 * vrf_opt1; %UNTUK MENGHITUNG
EIGENVALUE VRF*KANAL
        lambda1 = svd(M11);
        qkk1 =
Qbar1(k21,k21);
    end

```

```

        for k31 = 1:size(M11,1)
            PK11(k31) =
beta_kp1/lambda1(k31) - qkk1 * variance;
                if PK11(k31) >= 0 &&
PK11(k31) <= 10
                    PK21 = PK11(k31);
                elseif PK11(k31) <= 0
                    PK21 = 0;
                end
            end
            Pmiring1 = Pmiring1 +
PK21;
            pk1 = 1/qkk1 *
PK21;
            Pp1(k21,k21) = pk1;
            PPP1 = beta_kp1 *
log2(1+ (pk1/variance));
            Rk1(k21) = log2(1+
(sqrt(pk1)/variance));
            if Pmiring1 == 0
                Pmiring1 = 1;
            end
        end
        if trace(Qbar1*Pp1) <= P &&
(log10(Pmiring1)*10) >= ((log10(P)*10)-0.5)
%((log10(1/variance)*10)-7) %&& trace(Pp) <= k %
&&
            cnt21 = cnt21+1;
            break
        end
        cnt21 = cnt21+1;
    end
    VD1 = vbar_d1 * (Pp1)^(1/2);
    sum11(SNRsize,n) = sum(Rk1);
    SE_IRF1_u2 = real(sum11);
%%%%%%%%%%%%%
%%%%%%%%%%%%%
%%%%%%%%%%%%%
%%%%%%%%%%%%%
%%%%%%%%%%%%%
jumlah_signall = 1000;

```

```

for stream1 = 1:1:jumlah_signal1
    jumlah_data1          = Ns2;
    genbpsk1(:,stream1)   =
rand(jumlah_data1, 1)>0.5;
    sigbpsk1(:,stream1)   =
2*genbpsk1(:,stream1) -1;
    y1(:,stream1)          = g_kmt1 *
vrf_opt1 * VD1 * sigbpsk1(:,stream1);
    detektor1              = real(y1)>0;
    for sinyal21= 1:Ns2
        if detektor1(sinyal21,stream1) ==1
            sinyal_rx1(sinyal21, stream1) =
1;
        else sinyal_rx1(sinyal21,stream1) =
-1;
        end
    end
end
nErr1(n,SNRsize) = size(find([detektor1-
genbpsk1]),1);
nErr1(nErr1==0) = 1;
end

for n11 = 1:N
variancekanal11 = 1;
h_km11 =
sqrt(variancekanal11/2)*(randn([m], [kkk])+((1i)*
randn([m], [kkk]))); %small scale fading berdasar
Jumlah antena dan user
g_km11 = h_km11;
g_kmt11 = transpose(g_km11);
Pp11           = eye(kkk);           %step 2
beta_kp11     = ones([1, 1]);

v_rf11       = randi([1], N_tx, N_rf3);
%step 1
v_rf111      = randi([1], N_tx, N_rf3);
v_rf211      = randi([1], N_tx, N_rf3);
vrf_opt11    = randi([1], N_tx, N_rf3);
argmin11     = randi([1], N_tx, N_rf3)*5;

```

```

selisih11      = 1;
temp_topt11    = randi([1], N_tx, N_rf3)*20;
teta_opt11     = ones(N_tx, N_rf3);
teta_opt211    = ones(N_tx, N_rf3);
cnt211 = 0;
while 1
    cnt11 = 0;
    while 1
        for J11 = 1:1:N_rf3%step 1
            Hbar11           = Pp11^(-1/2) *
g_kmt11;
            v_rfj11          = v_rf11;
            v_rfj11(:,J11)   = [];
            A11              = Pp11^(-1/2) *
g_kmt11 * v_rfj11 * v_rfj11' * g_kmt11' *
Pp11^(-1/2);
            A211             = inv(A11) *
inv(A11);
            A111             = inv(A11);
            B11              = Hbar11' * A211 *
Hbar11;
            D11              = Hbar11' * A111 *
Hbar11;
            B211             = Hbar11' * A211 *
Hbar11;
            D211             = Hbar11' * A111 *
Hbar11;
            for i111 = 1:1:N_tx
                temp11    = 0;
                temp211    = 0;
                for K11= 1:1:N_tx
                    for M11 = 1:1:N_tx
                        if K11 ~= i111 && M11 ~=
i111
                            v_rf111(K11,J11) =
v_rf111(K11,J11);
                            v_rf111(M11,J11) =
v_rf111(M11,J11);

```

```

temp11 = temp11 + (conj(v_rf111(K11,J11)) * B11(K11,M11)
* v_rf111(M11,J11));
temp211 = temp211 + (conj(v_rf111(K11,J11)) * D11(K11,M11)
* v_rf111(M11,J11));
end
end
temporary111(i111,J11) = temp11;
temporary211(i111,J11) = temp211;
si_ijB11(i111,J11) = B11(i111,i111) + 2*real(temporary111(i111,J11));
si_ijD11(i111,J11) = D11(i111,i111) + 2*real(temporary211(i111,J11));
temp311 = 0;
temp411 = 0;
for L11 = 1:N_rf3
if L11~= i111
v_rf211(L11,J11) =
v_rf111(L11,J11);
temp311 = temp311 + (B211(i111,L11) * v_rf211(L11,J11));
temp411 = temp411 + (D211(i111,L11) * v_rf211(L11,J11));
end
end
n_ijB11(i111,J11) = temp311;
n_ijD11(i111,J11) = temp411;
c_ij11(i111,J11) = ((1+si_ijD11(i111,J11))*n_ijB11(i111,J11)) -
(si_ijB11(i111,J11) * n_ijD11(i111,J11));
z_ij11(i111,J11) = imag((2*n_ijB11(i111,J11)) * n_ijD11(i111,J11));
if real(c_ij11(i111,J11)) >= 0

```

```

psi_ij11(iill,J11)   =
asin(imag(c_ij11(iill,J11))/abs(c_ij11(iill,J11))
));
elseif
real(c_ij11(iill,J11)) < 0
psi_ij11(iill,J11)   = pi
-
(asin(imag(c_ij11(iill,J11))/abs(c_ij11(iill,J11
)))));
end
teta_ij11(iill,J11)   =
((( -1)*psi_ij11(iill,J11)) +
asin(z_ij11(iill,J11)/abs(c_ij11(iill,J11)))) ;
teta_ij211(iill,J11)   =
(pi + (( -1)*psi_ij11(iill,J11)) -
asin(z_ij11(iill,J11)/abs(c_ij11(iill,J11)))) ;
vrf_ij111(iill,J11)   =
exp(-li*angle(teta_ij11(iill,J11)));
vrf_ij211(iill,J11)   =
exp(-li*angle(teta_ij211(iill,J11)));
f_vrf111(iill,J11)   = (m
* trace(inv(A11))) - (m * ( (si_ijB11(iill,J11)
+ 2*real(conj(vrf_ij111(iill,J11)) *
n_ijB11(iill,J11)))/(1 + si_ijD11(iill,J11) +
2*real(conj(vrf_ij111(iill,J11))*n_ijD11(iill,J1
1))));;
f_vrf211(iill,J11)   = (m
* trace(inv(A11))) - (m * ( (si_ijB11(iill,J11)
+ 2*real(conj(vrf_ij211(iill,J11)) *
n_ijB11(iill,J11)))/(1 + si_ijD11(iill,J11) +
2*real(conj(vrf_ij211(iill,J11))*n_ijD11(iill,J1
1))));;
argmin211(iill,J11)   =
argmin11(iill,J11);
argmin11(iill,J11)   =
min(angle(f_vrf111(iill,J11)),angle(f_vrf211(iil
l,J11)));
if argmin11(iill,J11) ==
f_vrf111(iill,J11) %% INI MENCARI TETA OPTIMUM

```

```

        teta_opt1(i11,J11) =
angle(f_vrf111(i11,J11));
    elseif argmin11(i11,J11) ~=
f_vrf111(i11,J11)
                teta_opt11(i11,J11) =
angle(f_vrf211(i11,J11));
            end
            vrf_opt11(i11,J11)      =
exp(-li*(teta_opt11(i11,J11))); %INI MENCARI
VRF_OPT -- STEP 8
                v_rf11(i11,J11) =
vrf_opt11(i11,J11);
            end
        end
        selisih11 = abs(argmin211(i11,J11)
- argmin11(i11,J11));
        if selisih11 <= 0.3
            cnt11 = cnt11 + 1;
            break
        end

        if isnan(A11)
            variancekanal11 = 1;
            h_km11 =
sqrt(variancekanal11/2)*(randn([m], [kkk])+((1i)*
randn([m], [kkk]))); %small scale fading berdasar
Jumlah antena dan user
            g_km11 = h_km11;
            g_kmt11 = transpose(g_km11);
            Pp11 = eye(kkk);

%step 2
            beta_kp11 = ones([1, 1]);
            v_rf11 = randi([1], N_tx,
N_rf3); %step 1
        end

        cnt11 = cnt11+1;

    end
    cnt11 = cnt11 + 1;

```

```

Pmiring11 = 0;
for k211 = 1:kkk
% STEP 12 MEMBUAT P
    vbar_d11 = vrf_opt11'
* g_kmt11' * (g_kmt11 * vrf_opt11 * vrf_opt11' *
g_kmt11')^-1;
    Qbar11 = vbar_d11'
* vrf_opt11' * vrf_opt11 * vbar_d11;
    M111 = vrf_opt11'
* g_kmt11' * g_kmt11 * vrf_opt11; %UNTUK
MENGHITUNG EIGENVALUE VRF*KANAL
    lambda111 = svd(M111);
    qkk11 =
Qbar11(k211,k211);
    for k311 = 1:1:size(M111,1)
        PK111(k311) =
beta_kp11/lambda111(k311) - qkk11 * variance;
        if PK111(k311) >= 0 &&
PK111(k311) <= 10
            PK211 = PK111(k311);
        elseif PK111(k311) <= 0
            PK211 = 0;
        end
    end
    Pmiring11 = Pmiring11
+ PK211;
    pk11 = 1/qkk11 *
PK211;
    Pp11(k211,k211) = pk11;
    PPP11 = beta_kp11
* log2(1+ (pk11/variance));
    Rk11(k211) = log2(1+
(sqrt(pk11)/variance));
    if Pmiring11 == 0
        Pmiring11 = 1;
    end
end
if trace(Qbar11*Pp11) <= P &&
(log10(Pmiring11)*10) >= ((log10(P)*10)-0.5)

```

```

% ((log10(1/variance)*10)-7) %&& trace(Pp) <= k %
&&
    cnt211 = cnt211+1;
    break
    end
    cnt211 = cnt211+1;
end
VD11 = vbar_d11 *
(Pp11)^(1/2);
sum111(SNRsize,n) = sum(Rk11);
SE_IRF1_6 = real(sum111);
%%%%%%%%%%%%%
%%%%%%%%%%%%%
%%%%%%%%%%%%%
%%%%%%%%%%%%%
jumlah_signal11 = 1000;
for stream11 = 1:1:jumlah_signal11
    jumlah_data11 = Ns3;
    genbpsk11(:,stream11) =
rand(jumlah_data11, 1)>0.5;
    sigbpsk11(:,stream11) =
2*genbpsk11(:,stream11) -1;
    y11(:,stream11) = g_kmt11 *
vrf_opt11 * VD11 * sigbpsk11(:,stream11);
    detektor11 = real(y11)>0;
    for sinyal211= 1:Ns3
        if detektor11(sinyal211,stream11)
==1
            sinyal_rx11(sinyal211, stream11)
= 1;
        else sinyal_rx11(sinyal211,stream11)
= -1;
        end
    end
end
nErr11(n,SNRsize) = size(find([detektor11-
genbpsk11]),1);
nErr11(nErr11==0) = 1;

end

```

```

end

simBER           = nErr/(jumlah_signal*Ns);
simBERirf_u2    = nErr1/(jumlah_signal1*Ns2);
simBER_6         = nErr11/(jumlah_signal11*Ns3);

figure(1)
plot(SNR_dB, mean(SE_IRF1_u2,2), 'g.-'); hold on;
plot(SNR_dB, mean(SE_IRF1,2), 'b.-'); hold on;
plot(SNR_dB, mean(SE_IRF1_6,2), 'r.-'); hold on;
legend('2 User','4 User','6 User');
xlabel('SNR');
ylabel('Spectral Efficiency');
title('Spectral Efficiency vs SNR kanal IRF beda user');

figure(2)
semilogy(SNR_dB,mean(simBERirf_u2,1), 'gx-');
hold on;
semilogy(SNR_dB,mean(simBER,1), 'bx-'); hold on;
semilogy(SNR_dB,mean(simBER_6,1), 'rx-'); hold on;
axis([-10 30 10^-5 0.5])
grid on
legend('2 User','4 User','6 User');
xlabel('Eb/No, dB');
ylabel('Bit Error Rate');
title('Bit error probability curve for BPSK kanal IRF beda user');

```

```

%%%%%%%%%%%%%
% MATLAB SCRIPT PERBANDINGAN BEDA JUMLAH USER
URLOS
%%%%%%%%%%%%%

clear all;
close all;
clc;

m = 64; k = 4; %JUMLAH ANTENA
kk= 2;
kkk=6;
P = 1; %Daya dalam Watt
s = 1; %menurut analisa, WAJIB
[Jml_Ns == Jml_m];
k_user = k;
Ns = s*k_user;
Ns2 = s*kk;
Ns3 = s*kkk;
N_tx = m;
N_rf = Ns; %untuk syarat Hybrid
Beamforming
N_rf2 = Ns2;
N_rf3 = Ns3;

SNR_dB = -2:4:30; %range SNR in dB
SNR_lin = 10.^ (SNR_dB/10); % range SNR in linear
power
N = 9;

for SNRsizer = 1 : length(SNR_dB)
    SNR = SNR_lin(SNRsizer);
    variance = P/SNR;
    for n = 1:N
        g_km = [];
        thet = 6 + (0.5 - (-6).*rand(1,1));
        %pembangkitan theta dari 6 sampai 12 derajat
        g = randi([0 1],1,1)>=0.5;
        %pembangkitan biner 0 1
        g2 = 2*g-1; %pembangkitan bpsk

```

```

thett      = (g2.*thet);
beta_k    = 1;
psi        = -pi + (pi - (-
pi).*randn(k,1)); %pembangkitan psi dari -pi
sampai pi
it          = randi([0 1],k,1)>=0.5;
itb         = (it*2)-1;
psii        = (itb.*psi);

for kurlos      = 1:1:k
for murlos      = 1:1:m
    theta_k(murlos,kurlos) = thett +
(5*(kurlos-1)); %selisih 0.5 derajat antar
antena
    ekurung(murlos,kurlos) = ((1*exp((-1i)* (murlos-
1)*pi*sind(theta_k(murlos,kurlos))))));
end
ekurungt           =
transpose(ekurung);
g_km2(:,kurlos)   = (sqrt(beta_k)
.* exp(1i*psii(kurlos))) * ekurungt(kurlos,:);
end
g_kmt      = transpose(g_km2);

Pp          = eye(k);           %step 2
beta_kp    = ones([1, 1]);

v_rf        = randi([1], N_tx, N_rf); %step
1
v_rf1       = randi([1], N_tx, N_rf);
v_rf2       = randi([1], N_tx, N_rf);
vrf_opt    = randi([1], N_tx, N_rf);
argmin     = randi([1], N_tx, N_rf)*5;
selisih    = 1;
temp_topt  = randi([1], N_tx, N_rf)*20;
teta_opt   = ones(N_tx, N_rf);
teta_opt2  = ones(N_tx, N_rf);
cnt2 = 0;

```

```

while 1
cnt = 0;
while 1
  for J = 1:1:N_rf%step 1
    Hbar          = Pp^(-1/2) * g_kmt;
    v_rfj         = v_rf;
    v_rfj(:,J)   = [];
    A             = Pp^(-1/2) * g_kmt *
v_rfj * v_rfj' * g_kmt' * Pp^(-1/2);
    A2            = inv(A) * inv(A);
    A1            = inv(A);
    B             = Hbar' * A2 * Hbar;
    D             = Hbar' * A1 * Hbar;
    B2            = Hbar' * A2 * Hbar;
    D2            = Hbar' * A1 * Hbar;
    for ii = 1:1:N_tx
      temp        = 0;
      temp2       = 0;
      for K = 1:1:N_tx
        for M = 1:1:N_tx
          if K ~= ii && M ~= ii
            v_rf1(K,J) = v_rf(K,J);
            v_rf1(M,J) = v_rf(M,J);
            temp        = temp +
(conj(v_rf1(K,J)) * B(K,M) * v_rf1(M,J));
            temp2       = temp2+
(conj(v_rf1(K,J)) * D(K,M) * v_rf1(M,J));
          end
        end
      temporary1(ii,J)     = temp;
      temporary2(ii,J)     = temp2;
      si_ijB(ii,J)        = B(ii,ii) +
2*real(temporary1(ii,J));
      si_ijD(ii,J)        = D(ii,ii) +
2*real(temporary2(ii,J));
      temp3        = 0;
      temp4        = 0;
      for L = 1:N_rf
        if L~= ii

```

```

v_rf2(L,J) = v_rf(L,J);
temp3 = temp3 + (B2(ii,L) * v_rf2(L,J));
temp4 = temp4 + (D2(ii,L) * v_rf2(L,J));
end
end
n_ijB(ii,J) = temp3;
n_ijD(ii,J) = temp4;
c_ij(ii,J) =
((1+si_ijD(ii,J))*n_ijB(ii,J)) - (si_ijB(ii,J) *
n_ijD(ii,J));
z_ij(ii,J) =
imag((2*n_ijB(ii,J)) * n_ijD(ii,J));
if real(c_ij(ii,J)) >= 0
psi_ij(ii,J) =
asin(imag(c_ij(ii,J))/abs(c_ij(ii,J)));
elseif real(c_ij(ii,J)) < 0
psi_ij(ii,J) = pi -
(asin(imag(c_ij(ii,J))/abs(c_ij(ii,J)))) ;
end
teta_ij1(ii,J) = ((((-1)*psi_ij(ii,J)) +
asin(z_ij(ii,J)/abs(c_ij(ii,J)))) ;
teta_ij2(ii,J) = (pi +
((-1)*psi_ij(ii,J)) -
asin(z_ij(ii,J)/abs(c_ij(ii,J)))) ;
vrf_ij1(ii,J) = exp(-
li*angle(teta_ij1(ii,J)));
vrf_ij2(ii,J) = exp(-
li*angle(teta_ij2(ii,J)));
f_vrf1(ii,J) = (m *
trace(inv(A))) - (m * ( (si_ijB(ii,J) +
2*real(conj(vrf_ij1(ii,J)) * n_ijB(ii,J))) / (1 +
si_ijD(ii,J) +
2*real(conj(vrf_ij1(ii,J)) * n_ijD(ii,J)))) );
f_vrf2(ii,J) = (m *
trace(inv(A))) - (m * ( (si_ijB(ii,J) +
2*real(conj(vrf_ij2(ii,J)) * n_ijB(ii,J))) / (1 +

```

```

si_ijD(ii,J) +
2*real(conj(vrf_ij2(ii,J))*n_ijD(ii,J)))); argmin2(ii,J) =
argmin(ii,J); argmin(ii,J) = min(angle(f_vrf1(ii,J)),angle(f_vrf2(ii,J)));
if argmin(ii,J) == f_vrf1(ii,J) %% INI MENCARI TETA OPTIMUM teta_opt(ii,J) =
angle(f_vrf1(ii,J));
elseif argmin(ii,J) ==
f_vrf1(ii,J) teta_opt(ii,J) = angle(f_vrf2(ii,J));
end vrf_opt(ii,J) = exp(-li*(teta_opt(ii,J))); %INI MENCARI VRF_OPT --
STEP 8 v_rf(ii,J) = vrf_opt(ii,J);
end end selisih = abs(argmin2(ii,J) - argmin(ii,J));
if selisih <= 0.3 cnt = cnt + 1;
break end

if isnan(A)
g_km = [];
thet = 6 + (0.5 - (-6).*rand(1,1)); %pembangkitan theta dari 6 sampai 12 derajat
g = randi([0 1],1,1)>=0.5;
%pembangkitan biner 0 1
g2 = 2*g-1; %pembangkitan bpsk
thett = (g2.*thet11);
beta_k = 1;

```

```

psi = -pi + (pi - (-pi).*randn(k,1)); %pembangkitan psi dari -pi sampai pi
it = randi([0 1],k,1)>=0.5;
itb = (it*2)-1;
psii = (itb.*psi);

for kurlos = 1:k
    for murlos = 1:m
        theta_k(murlos,kurlos) =
thett11 + (5*(kurlos-1)); %selisih 0.5 derajat antar antena
        ekurung(murlos,kurlos11) =
((1*exp((-1i)*(murlos-
1)*pi*sind(theta_k(murlos,kurlos))))));
    end
    ekurungt =
transpose(ekurung);
    g_km2(:,kurlos) =
(sqrt(beta_k) .* exp(li*psii(kurlos))) *
ekurungt(kurlos,:);
    end
    g_kmt = transpose(g_km2);
end

cnt = cnt+1;

end
cnt = cnt + 1;
Pmiring = 0;
for k2 = 1:k
% STEP 12 MEMBUAT P
    vbar_d = vrf_opt' *
g_kmt' * (g_kmt * vrf_opt * vrf_opt' * g_kmt') ^-
1;
    Qbar = vbar_d' *
vrf_opt' * vrf_opt * vbar_d;

```

```

M1 = vrf_opt' *
g_kmt' * g_kmt * vrf_opt; %UNTUK MENGHITUNG
EIGENVALUE VRF*KANAL
lambda = svd(M1);
qkk = Qbar(k2,k2);
for k3 = 1:1:size(M1,1)
PK1(k3) = beta_kp/lambda(k3)
- qkk * variance;
if PK1(k3) >= 0 && PK1(k3)
<= 10
    PK2 = PK1(k3);
elseif PK1(k3) <= 0
    PK2 = 0;
end
end
Pmiring = Pmiring +
PK2;
pk = 1/qkk * PK2;
Pp(k2,k2) = pk;
PPP = beta_kp *
log2(1+ (pk/variance));
Rk(k2) = log2(1+
(sqrt(pk)/variance));
if Pmiring == 0
    Pmiring = 1;
end
if trace(Qbar*Pp) <= P &&
(log10(Pmiring)*10) >= ((log10(P)*10)-0.5)
%((log10(1/variance)*10)-7) %&& trace(Pp) <= k %
&&
cnt2 = cnt2+1;
break
end
cnt2 = cnt2+1;
end
VD = vbar_d * (Pp)^(1/2);
sum1(SNRsize,n) = sum(Rk);
SE_URLS = real(sum1);

```

```

%%%%%%%%%%%%%
%%%%%%%%%%%%%
%%%%%%%%%%%%%
jumlah_signal = 1000;
for stream = 1:1:jumlah_signal
    jumlah_data = Ns;
    genbpsk(:,stream) =
rand(jumlah_data, 1)>0.5;
    sigbpsk(:,stream) =
2*genbpsk(:,stream) -1;

    y(:,stream) = g_kmt *
vrf_opt * VD * sigbpsk(:,stream);
    detektor =
real(y)>0;
    for sinyal2= 1:Ns
        if detektor(sinyal2,stream) ==1
            sinyal_rx(sinyal2, stream) = 1;
        else sinyal_rx(sinyal2,stream) = -1;
        end
    end
end
nErr(n,SNRsize) = size(find([detektor-
genbpsk]),1);
nErr(nErr==0) = 1;
end

for n2 = 1:N
g_km1 = [];
thet1 = 6 + (0.5 - (-6).*rand(1,1));
%pembangkitan theta dari 6 sampai 12 derajat
g1 = randi([0 1],1,1)>=0.5;
%pembangkitan biner 0 1
g21 = 2*g1-1; %pembangkitan bpsk
thett1 = (g21.*thet1);
beta_k1 = 1;
psi1 = -pi + (pi - (-
pi).*randn(kk,1)); %pembangkitan psi dari -pi
sampai pi

```

```

it1          = randi([0 1],kk,1)>=0.5;
itb1         = (it1*2)-1;
psiil        = (itb1.*psiil);

for kurlos1    = 1:1:kk
for murlos1    = 1:1:m
theta_k1(murlos1,kurlos1) = thett1 +
(5*(kurlos1-1)); %selisih 0.5 derajat antar
antena
ekurung1(murlos1,kurlos1) = ((1*exp((-1i)* (murlos1-
1)*pi*sind(theta_k1(murlos1,kurlos1))))) ;
end
ekurungt1           =
transpose(ekurung1);
g_km21(:,kurlos1)      =
(sqrt(beta_k1) .* exp(1i*psiil(kurlos1))) * ekurungt1(kurlos1,:);
end
g_kmt1           = transpose(g_km21);

Pp1            = eye(kk);           %step 2
beta_kp1       = ones([1, 1]);

v_rf1          = randi([1], N_tx, N_rf2);
%step 1
v_rf11         = randi([1], N_tx, N_rf2);
v_rf21         = randi([1], N_tx, N_rf2);
vrf_opt1       = randi([1], N_tx, N_rf2);
argmin1        = randi([1], N_tx, N_rf2)*5;
selish1        = 1;
temp_topt1     = randi([1], N_tx, N_rf2)*20;
teta_opt1      = ones(N_tx, N_rf2);
teta_opt21     = ones(N_tx, N_rf2);
cnt21 = 0;
while 1
cnt1 = 0;
while 1
for J1 = 1:1:N_rf2%step 1

```

```

Hbar1           = Pp1^(-1/2) * g_kmt1;
v_rfj1          = v_rf1;
v_rfj1(:,J1)    = [];
A1              = Pp1^(-1/2) * g_kmt1
* v_rfj1 * v_rfj1' * g_kmt1' * Pp1^(-1/2);
A21             = inv(A1) * inv(A1);
A11             = inv(A1);
B1              = Hbar1' * A21 *
Hbar1;
D1              = Hbar1' * A11 *
Hbar1;
B21             = Hbar1' * A21 *
Hbar1;
D21             = Hbar1' * A11 *
Hbar1;
for iil = 1:1:N_tx
temp1   = 0;
temp21  = 0;
for K1= 1:1:N_tx
for M1 = 1:1:N_tx
if K1 ~= iil && M1 ~=
iil
v_rf11(K1,J1) =
v_rf1(K1,J1);
v_rf11(M1,J1) =
v_rf1(M1,J1);
temp1           = temp1
+ (conj(v_rf11(K1,J1)) * B1(K1,M1) *
v_rf11(M1,J1));
temp21           =
temp21+ (conj(v_rf11(K1,J1)) * D1(K1,M1) *
v_rf11(M1,J1));
end
end
temporary11(iil,J1)   =
temp1;
temporary21(iil,J1)   =
temp21;

```

```

        si_ijB1(iil,J1)      =
B1(iil,iil) + 2*real(temporary11(iil,J1));
        si_ijD1(iil,J1)      =
D1(iil,iil) + 2*real(temporary21(iil,J1));
        temp31    = 0;
        temp41    = 0;
        for L1 = 1:N_rf2
        if L1~= iil
            v_rf21(L1,J1)      =
v_rf1(L1,J1);
            temp31             =
temp31 + (B21(iil,L1) * v_rf21(L1,J1));
            temp41             =
temp41 + (D21(iil,L1) * v_rf21(L1,J1));
        end
        end
        n_ijB1(iil,J1)      =
temp31;
        n_ijD1(iil,J1)      =
temp41;
        c_ij1(iil,J1)       =
((1+si_ijD1(iil,J1))*n_ijB1(iil,J1)) -
(si_ijB1(iil,J1) * n_ijD1(iil,J1));
        z_ij1(iil,J1)       =
imag((2*n_ijB1(iil,J1)) * n_ijD1(iil,J1));
        if real(c_ij1(iil,J1)) >= 0
            psi_ij1(iil,J1) =
asin(imag(c_ij1(iil,J1))/abs(c_ij1(iil,J1)));
        elseif real(c_ij1(iil,J1)) <
0
            psi_ij1(iil,J1) = pi -
(asin(imag(c_ij1(iil,J1))/abs(c_ij1(iil,J1)))) ;
        end
        teta_ij11(iil,J1)   = (((-
1)*psi_ij1(iil,J1)) +
asin(z_ij1(iil,J1)/abs(c_ij1(iil,J1))));
        teta_ij21(iil,J1)   = (pi +
((-1)*psi_ij1(iil,J1)) -
asin(z_ij1(iil,J1)/abs(c_ij1(iil,J1))));


```

```

        vrf_ij11(iil,J1)      = exp(-
li*angle(teta_ij11(iil,J1)));
        vrf_ij21(iil,J1)      = exp(-
li*angle(teta_ij21(iil,J1)));
        f_vrf11(iil,J1)      = (m *
trace(inv(A1))) - (m * ( (si_ijB1(iil,J1) +
2*real(conj(vrf_ij11(iil,J1)) *
n_ijB1(iil,J1)))/(1 + si_ijD1(iil,J1) +
2*real(conj(vrf_ij11(iil,J1))*n_ijD1(iil,J1)))) )
;
        f_vrf21(iil,J1)      = (m *
trace(inv(A1))) - (m * ( (si_ijB1(iil,J1) +
2*real(conj(vrf_ij21(iil,J1)) *
n_ijB1(iil,J1)))/(1 + si_ijD1(iil,J1) +
2*real(conj(vrf_ij21(iil,J1))*n_ijD1(iil,J1)))) )
;
        argmin21(iil,J1)      =
argmin1(iil,J1);
        argmin1(iil,J1)      =
min(angle(f_vrf11(iil,J1)),angle(f_vrf21(iil,J1)))
);
        if argmin1(iil,J1) ==
f_vrf11(iil,J1) %%INI MENCARI TETA OPTIMUM
        teta_opt1(iil,J1) =
angle(f_vrf11(iil,J1));
        elseif argmin1(iil,J1) ~=
f_vrf11(iil,J1)
        teta_opt1(iil,J1) =
angle(f_vrf21(iil,J1));
        end
        vrf_opt1(iil,J1)      = exp(-
li*(teta_opt1(iil,J1))); %INI MENCARI VRF_OPT --
STEP 8
        v_rf1(iil,J1) =
vrf_opt1(iil,J1);
        end
        end
        selisih1 = abs(argmin21(iil,J1) -
argmin1(iil,J1));
        if selisih1 <= 0.3

```

```

        cnt1 = cnt1 + 1;
        break
    end

    if isnan(A1)
        g_kml = [];
        thet1 = 6 + (0.5 - (-6).*rand(1,1)); %pembangkitan theta dari 6 sampai 12 derajat
        g1 = randi([0 1],1,1)>=0.5;
        %pembangkitan biner 0 1
        g21 = 2*g1-1; %pembangkitan bpsk
        thett1 = (g21.*thet1);
        beta_k1 = 1;
        psil = -pi + (pi - (-pi).*randn(kk,1)); %pembangkitan psi dari -pi sampai pi
        it1 = randi([0 1],kk,1)>=0.5;
        itb1 = (it1*2)-1;
        psiil = (itb1.*psil);

        for kurlos1 = 1:1:kk
            for murlos1 = 1:1:m
                theta_k1(murlos1,kurlos1) =
                thett1 + (5*(kurlos1-1)); %selisih 0.5 derajat antar antena
                ekurung1(murlos1,kurlos1) =
                ((1*exp((-1i)*(murlos1-1)*pi*sind(theta_k1(murlos1,kurlos1))))));
            end
            ekurungtl = transpose(ekurung1);
            g_km21(:,kurlos1) =
            (sqrt(beta_k1) .* exp(1i*psiil(kurlos1))) * ekurungtl(kurlos1,:);
        end
        g_kmt1 = transpose(g_km21);
    end

```

```

        cnt1 = cnt1+1;

    end
    cnt1 = cnt1 + 1;
    Pmirroring1 = 0;
    for k21 = 1:kk
        % STEP 12 MEMBUAT P
        vbar_d1 = vrf_opt1' *
g_kmt1' * (g_kmt1 * vrf_opt1 * vrf_opt1' *
g_kmt1')^-1;
        Qbar1 = vbar_d1' *
vrf_opt1' * vrf_opt1 * vbar_d1;
        M11 = vrf_opt1' *
g_kmt1' * g_kmt1 * vrf_opt1; %UNTUK MENGHITUNG
EIGENVALUE VRF*KANAL
        lambda1 = svd(M11);
        qkk1 =
Qbar1(k21,k21);
        for k31 = 1:size(M11,1)
            PK11(k31) =
beta_kp1/lambda1(k31) - qkk1 * variance;
            if PK11(k31) >= 0 &&
PK11(k31) <= 10
                PK21 = PK11(k31);
            elseif PK11(k31) <= 0
                PK21 = 0;
            end
        end
        Pmirroring1 = Pmirroring1 +
PK21;
        pk1 = 1/qkk1 *
PK21;
        Pp1(k21,k21) = pk1;
        PPP1 = beta_kp1 *
log2(1+ (pk1/variance));
        Rk1(k21) = log2(1+
(sqrt(pk1)/variance));
        if Pmirroring1 == 0
            Pmirroring1 = 1;

```

```

        end
    end
    if trace(Qbar1*Pp1) <= P &&
(log10(Pmirring1)*10) >= ((log10(P)*10)-0.5)
%((log10(1/variance)*10)-7) %&& trace(Pp) <= k %
&&
        cnt21 = cnt21+1;
        break
    end
    cnt21 = cnt21+1;
end
VD1 = vbar_d1 * (Pp1)^(1/2);
sum11(SNRsize,n) = sum(Rk1);
SE_URLoS_u2 = real(sum11);

%%%%%%%%%%%%%
%%%%%%%%%%%%%
%%%%%%%%%%%%%
%%%%%%%%%%%%%
jumlah_signall = 1000;
for stream1 = 1:1:jumlah_signall
    jumlah_data1 = Ns2;
    genbpsk1(:,stream1) =
rand(jumlah_data1, 1)>0.5;
    sigbpsk1(:,stream1) =
2*genbpsk1(:,stream1) -1;
    y1(:,stream1) = g_kmt1 *
vrf_opt1 * VD1 * sigbpsk1(:,stream1);
    detektor1 = real(y1)>0;
    for sinyal21= 1:Ns2
        if detektor1(sinyal21,stream1) ==1
            sinyal_rx1(sinyal21, stream1) =
1;
        else sinyal_rx1(sinyal21,stream1) =
-1;
        end
    end
end
nErr1(n,SNRsize) = size(find([detektor1-
genbpsk1]),1);
nErr1(nErr1==0) = 1;

```

```

end

for n11 = 1:N
g_kml1 = [];
thet11 = 6 + (0.5 - (-6).*rand(1,1));
%pembangkitan theta dari 6 sampai 12 derajat
g11 = randi([0 1],1,1)>=0.5;
%pembangkitan biner 0 1
g211 = 2*g11-1; %pembangkitan bpsk
thett11 = (g211.*thet11);
beta_k11 = 1;
psi11 = -pi + (pi - (-pi).*randn(kkk,1)); %pembangkitan psi dari -pi sampai pi
it11 = randi([0 1],kkk,1)>=0.5;
itb11 = (it11*2)-1;
psiill = (itb11.*psill);

for kurlos11 = 1:1:kkk
for murlos11 = 1:1:m
theta_k11(murlos11,kurlos11) = thett11
+ (5*(kurlos11-1)); %selisih 0.5 derajat antar antena
ekurung11(murlos11,kurlos11) =
((1*exp((-1i)*(murlos11-
1)*pi*sind(theta_k11(murlos11,kurlos11))))));
end
ekurungt11 =
transpose(ekurung11);
g_km211(:,kurlos11) =
(sqrt(beta_k11) .* exp(1i*psiill(kurlos11))) *
ekurungt11(kurlos11,:);
end
g_kmt11 = transpose(g_km211);

Pp11 = eye(kkk); %step 2
beta_kp11 = ones([1, 1]);

```

```

v_rf11           = randi([1], N_tx, N_rf3);
%step 1
v_rf111          = randi([1], N_tx, N_rf3);
v_rf211          = randi([1], N_tx, N_rf3);
vrf_opt11         = randi([1], N_tx, N_rf3);
argmin11          = randi([1], N_tx, N_rf3)*5;
selisih11         = 1;
temp_topt11       = randi([1], N_tx, N_rf3)*20;
teta_opt11         = ones(N_tx, N_rf3);
teta_opt211        = ones(N_tx, N_rf3);
cnt211 = 0;
while 1
cnt11 = 0;
while 1
for J11 = 1:1:N_rf3%step 1
Hbar11           = Pp11^(-1/2) *
g_kmt11;
v_rfj11           = v_rf11;
v_rfj11(:,J11)    = [];
A11               = Pp11^(-1/2) *
g_kmt11' * Pp11^(-1/2);
A211              = inv(A11) *
inv(A11);
A111              = inv(A11);
B11               = Hbar11' * A211 *
Hbar11;
D11               = Hbar11' * A111 *
Hbar11;
B211              = Hbar11' * A211 *
Hbar11;
D211              = Hbar11' * A111 *
Hbar11;
for i11 = 1:1:N_tx
temp11   = 0;
temp211   = 0;
for K11= 1:1:N_tx
for M11 = 1:1:N_tx
if K11 ~= i11 && M11 ~= i11

```

```

v_rf111(K11,J11) =
v_rf11(K11,J11);
v_rf11(M11,J11) =
temp11 =
temp11 + (conj(v_rf111(K11,J11)) * B11(K11,M11)
* v_rf111(M11,J11));
temp211 =
temp211 + (conj(v_rf111(K11,J11)) * D11(K11,M11)
* v_rf111(M11,J11));
end
end
temporary111(i111,J11) =
temp11;
temporary211(i111,J11) =
temp211;
si_ijB11(i111,J11) =
B11(i111,i111) + 2*real(temporary111(i111,J11));
si_ijD11(i111,J11) =
D11(i111,i111) + 2*real(temporary211(i111,J11));
temp311 = 0;
temp411 = 0;
for L11 = 1:N_rf3
if L11~= i111
v_rf211(L11,J11) =
v_rf11(L11,J11);
temp311 =
temp311 + (B211(i111,L11) * v_rf211(L11,J11));
temp411 =
temp411 + (D211(i111,L11) * v_rf211(L11,J11));
end
end
n_ijB11(i111,J11) =
temp311;
n_ijD11(i111,J11) =
temp411;
c_ij11(i111,J11) =
((1+si_ijD11(i111,J11))*n_ijB11(i111,J11)) -
(si_ijB11(i111,J11) * n_ijD11(i111,J11));

```

```

z_ij11(i111,J11)      =
imag((2*n_ijB11(i111,J11)) * n_ijD11(i111,J11));
if real(c_ij11(i111,J11)) >=
0
psi_ij11(i111,J11)   =
asin(imag(c_ij11(i111,J11))/abs(c_ij11(i111,J11)))
);
elseif
real(c_ij11(i111,J11)) < 0
psi_ij11(i111,J11)   = pi
-
(asin(imag(c_ij11(i111,J11))/abs(c_ij11(i111,J11)))) ;
end
teta_ij111(i111,J11)   =
((( -1)*psi_ij11(i111,J11)) +
asin(z_ij11(i111,J11)/abs(c_ij11(i111,J11))) );
teta_ij211(i111,J11)   =
(pi + (( -1)*psi_ij11(i111,J11)) -
asin(z_ij11(i111,J11)/abs(c_ij11(i111,J11))) );
vrf_ij111(i111,J11)   =
exp(-li*angle(teta_ij111(i111,J11)));
vrf_ij211(i111,J11)   =
exp(-li*angle(teta_ij211(i111,J11)));
f_vrf111(i111,J11)   = (m
* trace(inv(A11))) - (m * ( (si_ijB11(i111,J11)
+ 2*real(conj(vrf_ij111(i111,J11)) *
n_ijB11(i111,J11)))/(1 + si_ijD11(i111,J11) +
2*real(conj(vrf_ij111(i111,J11))*n_ijD11(i111,J11)))) ;
f_vrf211(i111,J11)   = (m
* trace(inv(A11))) - (m * ( (si_ijB11(i111,J11)
+ 2*real(conj(vrf_ij211(i111,J11)) *
n_ijB11(i111,J11)))/(1 + si_ijD11(i111,J11) +
2*real(conj(vrf_ij211(i111,J11))*n_ijD11(i111,J11)))) ;
argmin211(i111,J11)   =
argmin11(i111,J11);

```

```

        argmin11(i111,J11)      =
min(angle(f_vrf111(i111,J11)),angle(f_vrf211(i111,J11)));
        if argmin11(i111,J11) ==
f_vrf111(i111,J11) %%INI MENCARI TETA OPTIMUM
            teta_opt1(i111,J11) =
angle(f_vrf111(i111,J11));
        elseif argmin11(i111,J11) ~=
f_vrf111(i111,J11)
            teta_opt11(i111,J11) =
angle(f_vrf211(i111,J11));
        end
            vrf_opt11(i111,J11)      =
exp(-1i*(teta_opt11(i111,J11))); %INI MENCARI
VRF_OPT -- STEP 8
        v_rf11(i111,J11) =
vrf_opt11(i111,J11);
    end
    end
    selisih11 = abs(argmin211(i111,J11)
- argmin11(i111,J11));
    if selisih11 <= 0.3
        cnt11 = cnt11 + 1;
        break
    end

    if isnan(A11)
        g_km11 = [];
        thet11 = 6 + (0.5 - (-
6).*rand(1,1)); %pembangkitan theta dari 6
        sampai 12 derajat
        g11 = randi([0 1],1,1)>=0.5;
        %pembangkitan biner 0 1
        g211 = 2*g11-1; %pembangkitan
        bpsk
        thett11 = (g211.*thet11);
        beta_k11 = 1;
        psil1 = -pi + (pi - (-
pi).*randn(kk,1)); %pembangkitan psi dari -pi
        sampai pi

```

```

        it11          = randi([0
1],kk,1)>=0.5;
        itb11         = (it11*2)-1;
        psii11        = (itb11.*psill);

        for kurlos11    = 1:1:kk
        for murlos11   = 1:1:m
            theta_k11(murlos11,kurlos11) =
thett11 + (5*(kurlos11-1)); %selisih 0.5 derajat
antar antena
            ekurung11(murlos11,kurlos11) =
((1*exp((-1i)*(murlos11-
1)*pi*sind(theta_k11(murlos11,kurlos11))))));
            end
            ekurungt11           =
transpose(ekurung11);
            g_km211(:,kurlos11)      =
(sqrt(beta_k11) .* exp(1i*psii11(kurlos11))) * 
ekurungt11(kurlos11,:);
            end
            g_kmt11       = transpose(g_km211);
            end

            cnt11 = cnt11+1;

        end
        cnt11 = cnt11 + 1;
        Pmiring11 = 0;
        for k211 = 1:kkk
% STEP 12 MEMBUAT P
            vbar_d11          = vrf_opt11'* 
g_kmt11' * (g_kmt11 * vrf_opt11 * vrf_opt11' * 
g_kmt11')^-1;
            Qbar11           = vbar_d11'* 
vrf_opt11' * vrf_opt11 * vbar_d11;
            M111              = vrf_opt11'* 
g_kmt11' * g_kmt11 * vrf_opt11; %UNTUK
MENGHITUNG EIGENVALUE VRF*KANAL
            lambda11          = svd(M111);

```

```

qkk11 = Qbar11(k211,k211);
for k311 = 1:1:size(M111,1)
    PK111(k311) =
beta_kp11/lambdall(k311) - qkk11 * variance;
        if PK111(k311) >= 0 &&
PK111(k311) <= 10
            PK211 = PK111(k311);
        elseif PK111(k311) <= 0
            PK211 = 0;
        end
    end
Pmiring11 = Pmiring11 + PK211;
pk11 = 1/qkk11 *
PK211;
Pp11(k211,k211) = pk11;
PPP11 = beta_kp11
* log2(1+ (pk11/variance));
Rk11(k211) = log2(1+
(sqrt(pk11)/variance));
if Pmiring11 == 0
    Pmiring11 = 1;
end
if trace(Qbar11*Pp11) <= P &&
(log10(Pmiring11)*10) >= ((log10(P)*10)-0.5)
%((log10(1/variance)*10)-7) %&& trace(Pp) <= k %
&&
cnt211 = cnt211+1;
break
end
cnt211 = cnt211+1;
end
VD11 = vbar_d11 *
(Pp11)^(1/2);
sum111(SNRsize,n) = sum(Rk11);
SE_URLOS_u6 = real(sum111);
%%%%%%%%%%%%%
%%%%%%%%%%%%%

```

```

%%%%%%%%%%%%%
%%%%%%%%%%%%%
jumlah_signal11 = 1000;
for stream11 = 1:1:jumlah_signal11
    jumlah_data11           = Ns3;
    genbpsk11(:,stream11)   =
rand(jumlah_data11, 1)>0.5;
    sigbpsk11(:,stream11)   =
2*genbpsk11(:,stream11) -1;
    y11(:,stream11)          = g_kmt11 *
vrf_opt11 * VD11 * sigbpsk11(:,stream11);
    detektor11               = real(y11)>0;
    for sinyal211= 1:Ns3
        if detektor11(sinyal211,stream11)
==1
            sinyal_rx11(sinyal211, stream11)
= 1;
        else sinyal_rx11(sinyal211,stream11)
= -1;
        end
    end
end
nErr11(n,SNRsize) = size(find([detektor11-
genbpsk11]),1);
nErr11(nErr11==0) = 1;

end
end

simBERurlos      = nErr/(jumlah_signal*Ns);
simBERurlos_u2   = nErr1/(jumlah_signal1*Ns2);
simBERurlos_u6   =
nErr11/(jumlah_signal11*Ns3);

figure(1)
plot(SNR_dB, mean(SE_URLOS_u2,2), 'g.-'); hold on;
plot(SNR_dB, mean(SE_URLOS,2), 'b.-'); hold on;
plot(SNR_dB, mean(SE_URLOS_u6,2), 'r.-'); hold on;

```

```

legend('2 User','4 User','6 User');
xlabel('SNR');
ylabel('Spectral Efficiency');
title('Spectral Efficiency vs SNR kanal URLOS beda user');

figure(2)
semilogy(SNR_dB,mean(simBERurlos_u2,1), 'gx-');
hold on;
semilogy(SNR_dB,mean(simBERurlos,1), 'bx-'); hold on;
semilogy(SNR_dB,mean(simBERurlos_u6,1), 'rx-');
hold on;
axis([-10 30 10^-5 0.5])
grid on
legend('2 User','4 User','6 User');
xlabel('Eb/No, dB');
ylabel('Bit Error Rate');
title('Bit error probability curve for BPSK modulation kanal URLOS beda user');

```

```

%%%%%%%%%%%%%%%
% MATLAB SCRIPT PLOT POLA RADIASI POLAR DAN
RECTANGULAR METODE HB PADA KANAL IRF
%%%%%%%%%%%%%%%
clear all;
close all;
clc;
load('matlab.mat');
m = 64; k=4;
VT = vrf_opt * VD;
antenaIRF = sum(VT,2);
amplitudo_AFIRF = abs(antenaIRF);
fasa_AFIRF = angle(antenaIRF);
AF = zeros(m, 360);

for tx_irf = 1:m
    beta = 2*pi;
    d = 1/2;
    N1 = 64 ;
    j = sqrt(-1);
    An = amplitudo_AFIRF(tx_irf,:);
    alpha = fasa_AFIRF(tx_irf,:);
    for theta= 1 : 360
        rad(theta) = (theta*pi)/180;
        for n = 1 : N1
            AF(tx_irf,theta) = AF(tx_irf,theta)
+ An*exp(j*(n-1)*((beta * d * sin(rad(theta)) )
+ alpha));
        end
        AF(tx_irf,theta) =
abs(AF(tx_irf,theta));
    end
end
polaradiasi = sum(AF,1);
polaradiasi_norm = polaradiasi/max(polaradiasi);
polaradiasi_dB = 20*log10(polaradiasi_norm);

figure(1)
polar(rad,polaradiasi_norm)

```

```
title('Pola Radiasi BS pada kanal IRF');

figure(2)
plot(polaradiasi_norm)
title('Pola Radiasi BS pada kanal IRF');
xlabel('Sudut');
ylabel('Amplitudo');

%%% PLOT POLA RADIASI PADA INPUT TX
figure(3);
ax = polaraxes;
polarplot(ax,polaradiasi_norm);
ax.ThetaDir = 'clockwise';
ax.ThetaZeroLocation = 'bottom';
title('Pola Radiasi TX pada kanal IRF');
thetalim([90 270]);
```

```

%%%%% MATLAB SCRIPT PLOT POLA RADIASI POLAR DAN
RECTANGULAR METODE HB PADA KANAL URLOS 5 derajat
%%%%%
clear all;
close all;
clc;
load('ulworkspace_5.mat');
m = 64; k=4;
VT = vrf_opt * VD;
antenaURLOS = sum(VT,2);
amplitudo_AFURLOS = abs(antenaURLOS);
fasa_AFURLOS = angle(antenaURLOS);
AF = zeros(m, 360);

for tx_urlos = 1:m
    beta = 2*pi;
    d = 1/2;
    N1 = 64 ;
    j = sqrt(-1);
    An = amplitudo_AFURLOS(tx_urlos,:);
    alpha = fasa_AFURLOS(tx_urlos,:);
    for theta= 1 : 360
        rad(theta) = (theta*pi)/180;
        for n = 1 : N1
            AF(tx_urlos,theta) =
AF(tx_urlos,theta) + An*exp(j*(n-1)*((beta * d *
sin(rad(theta)) ) + alpha));
        end
        AF(tx_urlos,theta) =
abs(AF(tx_urlos,theta))/N1;
    end
end
polaradiasi = sum(AF,1);
polaradiasi_norm = polaradiasi/max(polaradiasi);
polaradiasi_dB = 20*log10(polaradiasi_norm);

figure(1)
polar(rad,polaradiasi_norm)

```

```
title('Pola Radiasi BS pada kanal urlos');

figure(2)
plot(polaradiasi_norm)
title('Pola Radiasi BS pada kanal urlos');
xlabel('Sudut');
ylabel('Amplitudo');

%% PLOT POLA RADIASI PADA INPUT TX
figure(3);
ax = polaraxes;
polarplot(ax,polaradiasi_norm);
ax.ThetaDir = 'clockwise';
ax.ThetaZeroLocation = 'bottom';
title('Pola Radiasi TX pada kanal URLoS');
thetalim([90 270]);
```

```

%%%%% MATLAB SCRIPT PLOT POLA RADIASI POLAR DAN
%MATLAB SCRIPT PLOT POLA RADIASI POLAR DAN
RECTANGULAR METODE HB PADA KANAL URLOS 20
derajat
%%%%%
clear all;
close all;
clc;
load('u1_workspace_20drjt.mat');
m = 64; k=4;
VT = vrf_opt * VD;
antenaURLOS = sum(VT,2);
amplitudo_AFURLOS = abs(antenaURLOS);
fasa_AFURLOS = angle(antenaURLOS);
AF = zeros(m, 360);

for tx_urlos = 1:m
    beta = 2*pi;
    d = 1/2;
    N1 = 64 ;
    j = sqrt(-1);
    An = amplitudo_AFURLOS(tx_urlos,:);
    alpha = fasa_AFURLOS(tx_urlos,:);
    for theta= 1 : 360
        rad(theta) = (theta*pi)/180;
        for n = 1 : N1
            AF(tx_urlos,theta) =
AF(tx_urlos,theta) + An*exp(j*(n-1)*((beta * d *
sin(rad(theta)) ) + alpha));
        end
        AF(tx_urlos,theta) =
abs(AF(tx_urlos,theta))/N1;
    end
end
polaradiasi = sum(AF,1);
polaradiasi_norm = polaradiasi/max(polaradiasi);
polaradiasi_dB = 20*log10(polaradiasi_norm);

figure(1)
polar(rad,polaradiasi_norm)

```

```
title('Pola Radiasi BS pada kanal urlos');

figure(2)
plot(polaradiasi_norm)
title('Pola Radiasi BS pada kanal urlos');
xlabel('Sudut');
ylabel('Amplitudo');

%% PLOT POLA RADIASI PADA INPUT TX
figure(3);
ax = polaraxes;
polarplot(ax,polaradiasi_norm);
ax.ThetaDir = 'clockwise';
ax.ThetaZeroLocation = 'bottom';
title('Pola Radiasi TX pada kanal URLoS');
thetalim([90 270]);
```

## BIOGRAFI PENULIS



Penulis buku Tugas Akhir dengan judul “Analisa Kinerja Teknik Hybrid Beamforming pada Sistem Large Scale Array dengan Multiuser MISO terhadap Kanal Acak” bernama lengkap Dicky Rahmadi Prasetya. Penulis lahir di Surabaya, 16 Maret 1998. Penulis menempuh Pendidikan dasar di SD Muhammadiyah Situbondo dari kelas 1 hingga kelas 3 SD, kemudian penulis pindah ke Probolinggo dan

meneruskan sekolah dasar di SD Sukabumi 3 hingga lulus dan meneruskan di SMP 1 Probolinggo, akan tetapi pada kelas 2 SMP penulis pindah ke SMP 1 Situbondo hingga lulus. Kemudian meneruskan sekolah di SMAN 2 Lumajang hingga lulus. Dan meneruskan kuliah di Institut Teknologi Sepuluh Nopember. Selama masa perkuliahan, penulis aktif di organisasi mahasiswa HIMATEKTRO ITS. Penulis memiliki moto hidup “*aku adalah apa yang aku pikirkan*”.